

การหารูปทรง 3 มิติจากภาพ 2 มิติ

RECOVERY OF THE 3-D SHAPE FROM SINGLE 2-D IMAGE

กาญจนา กาญจนพิบูลย์

KANCHANA KANCHANAPIBOON



วิทยานิพนธ์สำหรับปริญญาวิทยาศาสตรมหาบัณฑิต

สาขาวิศวกรรมไฟฟ้า

บัณฑิตวิทยาลัย

สถาบันเทคโนโลยีพระจอมเกล้าเจ้าคุณทหารลาดกระบัง

ปีการศึกษา 2531

เอกสารนี้เป็นเอกสารที่สงวนไว้สำหรับการใช้งานเพื่อการศึกษาเท่านั้น ไม่อนุญาตให้นำไปใช้ประโยชน์ด้านการค้า  
ไม่ว่ากรณีใดๆทั้งสิ้น อีกทั้งห้ามมิให้ตัดแปลงเนื้อหา และต้องอ้างอิงถึงเจ้าของเอกสารทุกครั้งที่มีการนำไปใช้



## บทคัดย่อ

การคืนรูปทรง 3 มิติจากภาพ 2 มิติ คือการพิจารณาวิธีการคำนวณหาส่วนโค้ง และ พื้นผิวที่ปรากฏบนภาพ 2 มิติ จากคอมพิวเตอร์กราฟิกเราได้พบว่าข้อมูล 3 มิติ นั้น ได้สูญเสียไปเนื่องจากการโปรเจกชันภาพลงบนระนาบ 2 มิติ และข้อมูลบางส่วนที่สูญเสียไปสามารถชดเชยได้ด้วยระดับความเข้มของแสงที่ปรากฏบนภาพวัตถุ ซึ่งสัมพันธ์กับทิศทางแหล่งกำเนิดแสงและตำแหน่งผู้สังเกต แต่การที่จะคืนรูปทรงของวัตถุจากภาพ 2 มิติเพียงภาพเดียว จำเป็นต้องกำหนดเงื่อนไขของภาพวัตถุนั้น เพื่อให้สามารถคำนวณหาลักษณะพื้นผิวได้ถูกต้อง

ดังนั้นวิทยานิพนธ์เล่มนี้กล่าวถึงการคืนรูปทรง 3 มิติจากภาพ 2 มิติเพียงภาพเดียว ภายใต้เงื่อนไขว่าแหล่งกำเนิดแสงและตำแหน่งผู้สังเกตอยู่ในทิศทางเดียวกัน และพื้นที่ของวัตถุจะต้องมีความกลมกลืนต่อเนื่องกันไป ภาพที่ใช้ทดลองนั้นเป็นภาพที่เกิดจากการจำลองภาพวัตถุด้วยคอมพิวเตอร์กราฟิกและภาพวัตถุจริงตามธรรมชาติซึ่งถ่ายจากกล้องวิดีโอทัศน์ เราใช้ข้อมูลของภาพจากบริเวณที่เรียกว่า occluding boundary และอัตราความแตกต่างของระดับความเข้มแสงนำมาเป็นค่าเริ่มต้นในการคำนวณหาลักษณะพื้นผิวของวัตถุโดยวิธี iterative ผลของการคำนวณจะให้ความชัน  $f, g$  ซึ่งเป็นค่าบนระนาบ stereographic บ่งบอกลักษณะพื้นผิวเล็ก ๆ แต่ละตำแหน่งบนภาพวัตถุ เราใช้ทฤษฎีเรขาคณิตคำนวณระดับความสูงของพื้นผิวและเขียนรูปทรงของวัตถุที่คำนวณได้นั้นด้วยคอมพิวเตอร์กราฟิก

จากการกำหนดภาพ 2 มิติเพียงภาพเดียว ทำให้ข้อมูลพื้นผิวบริเวณที่ถูกบังจากสายตา ไม่สามารถนำคืนกลับมาได้ รูปทรงของวัตถุที่คำนวณได้นั้นจึงเป็นค่าพื้นผิว  $2\frac{1}{2}$  มิติเท่านั้น

## ABSTRACT

Recovery of a 3-D shape of objects from a 2-D image is the determination of the 3-D spatial curves and surfaces appearing in an image. From computer graphics, depth information is lost by a projection to 2-D picture plane. We can define some of depth information from irradiance which depends on the position of a light source and viewpoint. However, in order to fully recover 3-D shape from only a single 2-D image, additional constraint is required for a unique solution.

This thesis presents a procedure for recovery of 3-D shapes from single 2-D images under restrictions that the light source is near the viewer and that surface is relatively smooth. The 2-D pictures used are those generated by a computer and taken by a camera. An iteration method for computing shape from shading using occluding boundary and gradient is proposed. The calculation give us both  $f$  and  $g$ , which are the reflectance function on stereographic plane. Using interpolation and computer graphics, 3-D images are produced.

Given a single picture, we can not recover hidden surfaces and the recovery shape of objects are all most 2½ model.

## สารบัญ

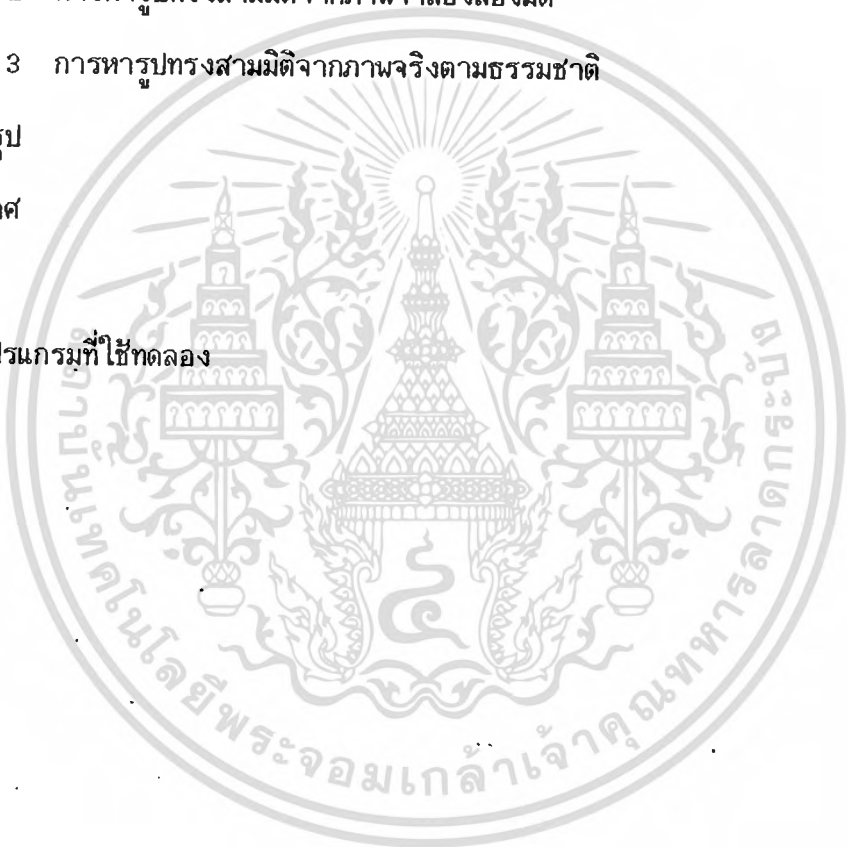
	หน้า
บทคัดย่อ	ก
Abstract	ข
บทที่ 1 บทนำ	1
บทที่ 2 ทศนาการโดยคอมพิวเตอร์	4
2.1 ธรรมชาติของการมองเห็น	4
2.2 การแปลงภาพจริงเป็นข้อมูลภาพ	10
2.3 กระบวนการเกี่ยวกับภาพ โดยคอมพิวเตอร์	11
2.3.1 การกำจัดสัญญาณรบกวนบนข้อมูลภาพโดยวิธีการเฉลี่ย	11
2.3.2 การกำจัดสัญญาณรบกวนบนข้อมูลภาพโดยคุณสมบัติทางสถิติ	15
2.3.3 คุณลักษณะของขอบภาพ	16
2.3.4 การหาขอบภาพในหนึ่งมิติ	18
2.3.5 การหาขอบภาพในสองมิติ	21
2.3.6 การพิจารณาจุดขอบภาพ	23
2.3.7 การเปลี่ยนแปลงที่ตำแหน่งข้ามศูนย์	24
2.3.8 การติดตามขอบวัตถุโดยใช้หลักการหมุนเวกเตอร์	28
2.3.9 การจัดกลุ่มขอบภาพโดยการแปลงพารามิเตอร์	30
บทที่ 3 คอมพิวเตอร์กราฟิก	32
3.1 เส้นขอบของวัตถุในระบบสามมิติ	32
3.1.1 วิธีทดสอบการมองเห็น	33
3.1.2 ค่าสัดขอดของภาพ	34
3.1.3 จุดตัดของเส้นขอบ	35
3.1.4 บริเวณภาพซึ่งบรรจุในภาพอื่น	37

เอกสารนี้เป็นเอกสารที่สงวนไว้สำหรับการใช้งานเพื่อการศึกษาเท่านั้น ไม่อนุญาตให้นำไปใช้ประโยชน์ด้านการค้า  
ไม่ว่ากรณีใดๆทั้งสิ้น อีกทั้งห้ามมิให้ตัดแปลงเนื้อหา และต้องอ้างอิงถึงเจ้าของเอกสารทุกครั้งที่มีการนำไปใช้



	หน้า
3.1.5 ความลึกของภาพ	39
3.2 การจำลองภาพ	40
3.2.1 ความเข้มแสงบนวัตถุ	40
3.2.2 การหาทิศทางของพื้นผิว	43
3.2.3 การคำนวณทิศทางแสงสะท้อน	44
3.2.4 เฉลี่ยความเข้มแสงบนภาพวัตถุ	45
บทที่ 4 การหารูปทรงจากระดับความเข้มแสง	47
4.1 ความรู้พื้นฐาน	47
4.1.1 ค่าความลาดชันในเชิงคณิตศาสตร์	48
4.1.2 วิธีคำนวณหารูปทรง	49
4.1.3 โพลีเมตริกซ์ สเตอริโอ	51
4.2 แนวทางวิเคราะห์	52
4.2.1 รูปทรงกลมเกาส์เซียนและฟังก์ชัน Reflectance Map	52
4.2.2 ความสัมพันธ์ระหว่างความสว่างบนพื้นผิวและทรงกลมเกาส์เซียน	53
4.3 การโปรเจคแบบทรงกลม	54
4.3.1 เปรียบเทียบกับการโปรเจคชนิดอื่น	55
4.3.2 Gaussian sphere และ Image sphere	56
4.3.3 การโปรเจคของทรงกลมเกาส์เซียน	57
4.3.4 การโปรเจคแบบ สเตอริโอกราฟฟิก	58
4.3.5 Occluding boundary	59
4.3.6 Specular point และ Singular point	60
4.4 การเกิดภาพวัตถุ	62
4.4.1 ลักษณะของพื้นผิว	62
4.4.2 ความเข้มแสงของภาพ	63

	หน้า
4.4.3 Reflectance Map	64
4.4.4 การหาค่า Reflectance Map	66
4.5 การหารูปทรงสามมิติจากภาพส่องมิติ	67
บทที่ 5 การทดลอง	69
5.1 การจำลองภาพ	69
5.2 การหารูปทรงสามมิติจากภาพจำลองส่องมิติ	75
5.3 การหารูปทรงสามมิติจากภาพจริงตามธรรมชาติ	80
บทที่ 6 บทสรุป	86
กิตติกรรมประกาศ	87
บรรณานุกรม	88
ภาคผนวก โปรแกรมที่ใช้ทดลอง	90



## สารบัญภาพประกอบ

	หน้า
รูปที่ 2.1 โครงสร้างของการมองเห็น	5
รูปที่ 2.2 ภาพตัดขวางอย่างง่ายของดวงตามนุษย์	5
รูปที่ 2.3 การวางตัวของ rod และ cone ที่ระยะห่างจากศูนย์กลางของ fovea	6
รูปที่ 2.4 แสดง rod (ซ้าย) และ cone (ขวา)	7
รูปที่ 2.5 แสดงอิทธิพลจากพื้นฉากรอบด้านต่อความเป็นสีเทา	7
รูปที่ 2.6 แสดงการทำงานสองลักษณะของช่องตา	8
รูปที่ 2.7 การโปรเจกต์จุดบนเรตินา	9
รูปที่ 2.8 contrast ระหว่างวัตถุกับฉากโดยรอบ	10
รูปที่ 2.9 เป็นการแสดงตัวสแกนและ digitizer ของอินพุท	11
รูปที่ 2.10 ตัวอย่างของการ regularization ใน 1 มิติ	11
รูปที่ 2.11 ตัวอย่างของการ regularization ใน 2 มิติ	13
รูปที่ 2.12 ตัวอย่างของการ regularization ใน 2 มิติ	13
รูปที่ 2.13 ตัวอย่างของการ regularization ใน 2 มิติ	13
รูปที่ 2.14 ตัวอย่างของการ regularization ใน 2 มิติ	13
รูปที่ 2.15 ฟังก์ชันของขอบภาพในอุดมคติ	16
รูปที่ 2.16 แสดงโครงสร้างของขอบและผิวด้านหน้าของรูปเหลี่ยม โดยระยะความลึก	17
รูปที่ 2.17 ลายเส้นของความเข้มแสงและผลจากการหาความแตกต่าง	19
รูปที่ 2.18 เป็นการหาค่าเฉลี่ยแบบ 2 มิติจากวิธีการหาค่าความแตกต่าง	19
รูปที่ 2.19 ค่าความเข้มแสงขนาดช่องหน้าต่าง 3 x 3	21
รูปที่ 2.20 การพิจารณาขีดเริ่มเปลี่ยนและตำแหน่งของขอบภาพ	22
รูปที่ 2.21 การหาขอบภาพจากตำแหน่งข้ามศูนย์	24
รูปที่ 2.22 ภาพตัดขวางของ $\nabla^2 G(r)$	25

เอกสารนี้เป็นเอกสารที่สงวนไว้สำหรับการใช้งานเพื่อการศึกษาเท่านั้น ไม่อนุญาตให้นำไปใช้ประโยชน์ด้านการค้า  
ไม่ว่ากรณีใดๆทั้งสิ้น อีกทั้งห้ามมิให้ดัดแปลงเนื้อหา และต้องอ้างอิงถึงเจ้าของเอกสารทุกครั้งที่มีการนำไปใช้

	หน้า	
รูปที่ 2.23	ฟูเรียร์ทรานฟอร์มของ $\nabla^2 G$	26
รูปที่ 2.24	การหาจุดภาพโดยวิธีการหมุนซ้ายเมื่อไม่พบวัตถุและหมุนขวาเมื่อพบวัตถุ	27
รูปที่ 2.25	เปรียบเทียบระหว่างวิธีเดิมและวิธีการหมุนเวกเตอร์	28
รูปที่ 2.26	ความหมายของเรขาคณิตของสมการเส้นตรง	29
รูปที่ 2.27	การหาเส้นตรงโดยการแปลงพารามิเตอร์ของ Hough	29
รูปที่ 2.28	การแปลงขอบภาพโดยวิธีการของ Hough	30
รูปที่ 3.1	แผนภูมิการทดสอบการมองเห็นภาพวัตถุ	32
รูปที่ 3.2	เวกเตอร์ที่ใช้ในการทดสอบบริเวณพื้นที่ซึ่งมองเห็น	33
รูปที่ 3.3	การพิจารณาการซ้อนของภาพจากค่าสุดยอด	35
รูปที่ 3.4	กรณีที่เงื่อนไขการทดสอบไม่เป็นจริงแต่ภาพวัตถุไม่ซ้อนกัน	35
รูปที่ 3.5	จุดตัดของเส้นขอบภาพ	36
รูปที่ 3.6	ทดสอบบริเวณของภาพซึ่งบรรจุในภาพอื่นโดยผลบวกของมุม	38
รูปที่ 3.7	ทดสอบบริเวณของภาพซึ่งบรรจุในภาพอื่นโดยวิธีครึ่งหนึ่งระนาบ	38
รูปที่ 3.8	การประมาณพื้นผิวตั้งฉากของยอดมุมเหลี่ยมของวัตถุรูปเหลี่ยม	43
รูปที่ 3.9	การเฉลี่ยความเข้มโดยวิธีของ Gouraud	45
รูปที่ 4.1	ลักษณะของวิธีการ Strip-expansion	49
รูปที่ 4.2	ค่าความลาดชันที่เป็นไปได้ของจุด P1 และ P2	50
รูปที่ 4.3	การ integral วงปิดของ $(p, q)$	50
รูปที่ 4.4	พิจารณาลักษณะพื้นผิวของจุดซึ่งกำหนดบนภาพโดยวิธี photometric stereo	52
รูปที่ 4.5	บริเวณพื้นผิวเล็ก ๆ ของวัตถุ	53
รูปที่ 4.6	แสดงค่าความสว่างที่ปรากฏบนแต่ละจุดของทรงกลม	53
รูปที่ 4.7	แสดง image sphere	54
รูปที่ 4.8	คุณลักษณะของการโปรเจคแบบ spherical perspective	55
รูปที่ 4.9	(ก) การโปรเจคแบบ orthographic	56

เอกสารนี้เป็นเอกสารที่สงวนไว้สำหรับการใช้งานเพื่อการศึกษาเท่านั้น ไม่อนุญาตให้นำไปใช้ประโยชน์ด้านการค้า

ไม่ว่ากรณีใดๆทั้งสิ้น อีกทั้งห้ามมิให้ตัดแปลงเนื้อหา และต้องอ้างอิงถึงเจ้าของเอกสารทุกครั้งที่มีการนำไปใช้

## (ข) การโปรเจคแบบ plane perspective

รูปที่ 4.10	ทรงกลมเกาส์เขียนและทรงกลมภาพ	57
รูปที่ 4.11	การโปรเจคแต่ละจุดบนผิวทรงกลมตามแนวเส้นจากขั้วด้านหนึ่ง ไปสู่ขั้วตรงข้าม	58
รูปที่ 4.12	การโปรเจคเส้นศูนย์สูตรเป็นวงกลมรัศมี 2 หน่วย	59
รูปที่ 4.13	เส้นสัมผัสของ occluding boundary	60
รูปที่ 4.14	การโปรเจคภาพทางเรขาคณิต	62
รูปที่ 4.15	ลักษณะของผิววัตถุตามคำจำกัดความ	63
รูปที่ 4.16	ลักษณะมุมตกรกระทบ มุมสะท้อน และมุม phase	63
รูปที่ 4.17	เส้นทางเดินของ $E = \cos(e)$	65
รูปที่ 4.18	ผังงานของการหารูปทรง 3 มิติ จากภาพ 2 มิติ	68
รูปที่ 5.1	ส่วนประกอบเล็ก ๆ บนพื้นวัตถุ	69
รูปที่ 5.2	พื้นระนาบของรูปเหลี่ยม	70
รูปที่ 5.3	การพิจารณาชิ้นส่วนที่มองเห็นได้ของวัตถุ	70
รูปที่ 5.4	เวกเตอร์ที่ใช้คำนวณความเข้มของผิววัตถุ	71
รูป 5.5	การโปรเจคภาพชิ้นส่วนวัตถุบนพื้นระนาบ 2 มิติ 127 ระดับ	72
รูปที่ 5.6	ภาพจำลองที่มีระดับความเข้มบนแต่ละชั้นภาพไม่ต่อเนื่อง	73
รูปที่ 5.7	แสดงการเฉลี่ยความเข้มระดับแสงบนพื้นวัตถุ	73
รูปที่ 5.8	ตัวอย่างภาพจำลองวัตถุ	74
รูปที่ 5.9	รูปจำลองของวัตถุอีกลักษณะ	74
รูปที่ 5.10	แสดงรูปทรงกลมจำลองบนจอมอนิเตอร์ 256 ระดับ	75
รูปที่ 5.11	แสดงลักษณะพื้นผิวจากบริเวณ occluding boundary	76
รูปที่ 5.12	แสดงผลของการคำนวณพื้นผิวภาพจำลองด้วย needle diagram	77
รูปที่ 5.13	แสดงพื้นผิวของวัตถุจำลองในระบบแกนมิติ	77
รูปที่ 5.14	ภาพจำลองรูปโดนัท	78

เอกสารนี้เป็นเอกสารที่สงวนไว้สำหรับการใช้งานเพื่อการศึกษาเท่านั้น ไม่อนุญาตให้นำไปใช้ประโยชน์ด้านการค้า  
ไม่ว่ากรณีใดๆทั้งสิ้น อีกทั้งห้ามมิให้ตัดแปลงเนื้อหา และต้องอ้างอิงถึงเจ้าของเอกสารทุกครั้งที่มีการนำไปใช้

	หน้า
รูปที่ 5.15 แสดง needle diagram ของรูปโดนัท	78
รูปที่ 5.16 แสดงพื้นผิวของวัตถุจำลองรูปโดนัทในระบบแกนมิติ	79
รูปที่ 5.17 แสดงพื้นผิวของวัตถุจำลองรูปโดนัทในระบบแกนมิติ	79
รูปที่ 5.18 แสดงรูปวัตถุจากกล้องบนจอมอนิเตอร์	80
รูปที่ 5.19 แสดงผลของการคำนวณพื้นผิวของไซโก้ด้วย needle diagram	81
รูปที่ 5.20 แสดงพื้นผิวของ ไซโก้ในระบบแกนมิติ	81
รูปที่ 5.21 ค่าผิดพลาดต่อมุมของเส้นสัมผัสกับจุดบนพื้นผิววัตถุ	83
รูปที่ 5.22 แสดงรูปลูกปิงปองจากกล้องบนจอมอนิเตอร์	84
รูปที่ 5.23 แสดงผลของการคำนวณพื้นผิวของลูกปิงปองด้วย needle diagram	84
รูปที่ 5.24 แสดงพื้นผิวของลูกปิงปองในระบบแกนมิติ	85



## บทที่ 1

## บทนำ

ในระบบการมองเห็นได้โดยคอมพิวเตอร์นั้น มีจุดประสงค์เพื่อให้เครื่องคอมพิวเตอร์สามารถที่จะวิเคราะห์เข้าใจในส่วนประกอบต่าง ๆ ของข้อมูลที่ได้มา พยายามที่จะยึดถือแนวทางที่จะเลียนแบบความฉลาดของมนุษย์ วัตถุที่นำมาเป็นข้อมูลสำหรับเครื่องคอมพิวเตอร์ อาจเป็นภาพวัตถุภายในห้องทดลอง ภาพตามธรรมชาติ ตัวอักษร หรือกลไกต่าง ๆ ในทางปฏิบัติการส่วนใหญ่จะเป็นภาพที่เกี่ยวข้องกับภาพ 2 มิติ ส่วนในระบบการมองเห็นของคอมพิวเตอร์ 3 มิติ นั้น ส่วนประกอบต่าง ๆ จะเป็นส่วนประกอบบนแกน 3 มิติ อาจเป็นภาพจากความต่างระดับความเข้มของแสงสว่าง ภาพสี หรือภาพที่แสดงขอบเขตของข้อมูล

วิธีการในระบบภาพ 3 มิติถูกพัฒนาในแต่ละแนวทาง เช่น การจัดสัญญาณรบกวน การแยกคุณลักษณะของภาพ การจดจำรูปแบบของวัตถุ ซึ่งในวิทยานิพนธ์ฉบับนี้เห็นถึงการวิจัยในระบบ 3 มิติ จากระดับความเข้มแสงและเส้นขอบภาพ เพื่อค้นหารูปทรงในโครงสร้าง 3 มิติของวัตถุที่ปรากฏในรูปภาพนั้น ในบทที่ 2 และบทที่ 3 เป็นการบรรยายถึงทฤษฎีต่าง ๆ ซึ่งเป็นพื้นฐานในการนำเข้าสู่ความเข้าใจ ส่วนในทฤษฎีบทที่ 4 เป็นข้อมูลที่ได้มาจากบทความที่ตีพิมพ์ในวารสารต่างประเทศ ซึ่งอธิบายถึงแนวความคิดซึ่งได้มีการทดลองและผลการทดลองด้วยวิธีการต่าง ๆ ในหัวข้อสุดท้าย 4.5 ของบทที่ 4 เป็นการสรุปผลจากการค้นคว้าและกำหนดวิธีการที่ใช้ในการทดลองสำหรับหัวข้อวิทยานิพนธ์นี้

## บทที่ 2 ทศนาการโดยคอมพิวเตอร์

เป็นการอธิบายการทำโครงสร้าง ในความหมายทางฟิสิกส์ของวัตถุที่ปรากฏบนภาพการมองเห็นด้วยสายตามนุษย์ทางด้านชีววิทยา

ภาพซึ่งเกิดโดยธรรมชาติ เมื่อถูกนำมาใช้เป็นข้อมูลให้เครื่องคอมพิวเตอร์ ส่วนมากจะอยู่ในรูปของภาพ 2 มิติที่มีความต่างระดับของสัญญาณแสง ซึ่งเป็นค่าบ่งบอกระดับความสูงของวัตถุดังกล่าว ดังนั้นภาพเหล่านี้จะต้องถูกนำมาแปลงให้เป็นข้อมูลภาพด้วยฮาร์ดแวร์ สำหรับให้สามารถประมวลผลด้วยเครื่องคอมพิวเตอร์ได้

กระบวนการเกี่ยวกับภาพจะเริ่มต้นจากการจัดสัญญาณรบกวน ซึ่งเป็นการรบกวนในสัญญาณภาพที่มีค่าความต่างระดับของสัญญาณความเข้มแสง ด้วยวิธีการที่จะทำให้อาจไม่เกิดการสูญเสียขอบถ้าเอกสารนี้เป็นเอกสารที่สงวนลิขสิทธิ์หรือสงวนลิขสิทธิ์โดยเจ้าของเอกสารทุกครั้งที่มีการนำไปใช้ไม่ว่ากรณีใดๆทั้งสิ้น อีกทั้งห้ามมิให้ตัดแปลงเนื้อหา และต้องอ้างอิงถึงเจ้าของเอกสารทุกครั้งที่มีการนำไปใช้

ภาพ เพราะในระบบภาพ 3 มิตินั้นเส้นขอบภาพทุกเส้นจะให้ความหมายของข้อมูล 3 มิติหลายอย่าง และแตกต่างกันไปตามลักษณะการเกิดของขอบภาพนั้น สัญญาณขอบภาพที่ได้มักใช้เป็นข้อมูลเบื้องต้นในการเริ่มต้นหาค่ารูปทรง 3 มิติของรูปวัตถุ จากภาพวัตถุที่มีค่าความต่างระดับความเข้มแสง

### บทที่ 3 คอมพิวเตอร์กราฟิก

คอมพิวเตอร์กราฟิกคือการสร้างรูปภาพในความหมายของคอมพิวเตอร์ เป็นแนวทางซึ่งย้อนกลับกับการมองเห็นด้วยระบบของเครื่องคอมพิวเตอร์ ข้อมูลที่นำมาใช้ป้อนเข้าในคอมพิวเตอร์กราฟิก เป็นภาพโครงสร้าง 3 มิติจากภาพจริงของวัตถุ ซึ่งภาพเหล่านั้นจะถูกนำมาสร้างใหม่เพื่อสื่อความหมายแทนรูปภาพจริง หรือผลการปฏิบัติการ ให้กับบุคคลทั่ว ๆ ไป

จากทฤษฎีของคอมพิวเตอร์กราฟิกนี้ทำให้สามารถศึกษาโครงสร้างของวัตถุ ในระบบ 3 มิติ เพื่อหาความสัมพันธ์กับระบบภาพใน 2 มิติ เช่นภาพถ่ายจากกล้องถ่ายรูป หรือภาพวิดิทัศน์ จากการกำหนดโครงสร้างของมิติในระบบ 3 มิติ และจำลองภาพโดยกำหนดตำแหน่งแสง ตำแหน่งการมอง ภาพที่ถูกจำลองจึงมีความเหมือนภาพที่ปรากฏจริงของวัตถุตามธรรมชาติ

### บทที่ 4 การหารูปทรงจากระดับความเข้มแสง

สามารถหาได้จากความสัมพันธ์ระหว่างความเข้มแสงที่ปรากฏในภาพ และรูปร่างทางเรขาคณิตของวัตถุ จากการศึกษารวมกันของพื้นผิวระนาบ และ พื้นผิวที่มีความกลมกลืนต่อเนื่อง ลักษณะทางเรขาคณิตของความลาดชันของพื้นผิวมาสัมพันธ์กับคณิตศาสตร์ของความเข้มแสง จะได้เป็นค่าของ reflectance map ซึ่งบ่งบอกความเกี่ยวเนื่องของความลึกของภาพกับความเข้มแสงที่ตำแหน่งนั้น

แนวทางการวิเคราะห์ ซึ่งได้จากการโปรเจกของภาพหลายแบบ และศึกษาการแทนค่าพื้นผิวด้วยรูปทรงกลมเกาส์เซียน ซึ่งอธิบายถึง เวกเตอร์ของความสัมพันธ์ของสภาพพื้นผิวในความลาดชัน ความเอียงในระดับต่าง ๆ รวมทั้งการเกิดเส้นขอบของวัตถุที่ปรากฏบนภาพในเงื่อนไขที่สัมพันธ์กับลักษณะของแสง ซึ่งขอบภาพเหล่านี้จะให้ข้อมูลของพื้นผิวบริเวณขอบภาพ โดยเฉพาะขอบภาพที่เกิดจากการสัมผัสของพื้นผิวนั้นกับทิศทางของแสง

### บทที่ 5 การทดลอง

การทดลองได้แบ่งออกเป็นสองขั้นตอน ในขั้นตอนแรกเป็นการจำลองภาพของวัตถุในลักษณะภาพกราฟิก 3 มิติบนจอภาพ 2 มิติ ด้วยหลักการของคอมพิวเตอร์กราฟิกที่กำหนดตำแหน่งของเอ็กซาคอนไดรเซอร์ให้เคลื่อนที่ไปมาบนจอภาพ โดยให้เอ็กซาคอนไดรเซอร์เคลื่อนที่ไปมาบนจอภาพ ไม่ว่าการณีใดๆทั้งสิ้น อีกทั้งห้ามมิให้ตัดแปลงเนื้อหา และต้องอ้างอิงถึงเจ้าของเอกสารทุกครั้งที่มีการนำไปใช้

ภาพ เมื่อมีการเคลื่อนที่ของวัตถุจากแกนของมิติ การคำนวณเพื่อแสดงความสัมพันธ์ระหว่างทิศทางจุดกำหนดแสง แสงสะท้อน ตำแหน่งวัตถุ และเงาที่ปรากฏ โดยการเปลี่ยนตำแหน่งของจุดมอง แสง และวัตถุได้ทุกตำแหน่ง เน้นถึงการสร้างแสงและเงาบนภาพวัตถุให้เห็นความเด่นชัดของภาพ ประยุกต์วิธีการที่เหมาะสม เพื่อให้เกิดความต่อเนื่องของความโค้งและเว้าบนผิวของวัตถุได้ตามความเป็นจริง

จากนั้นจึงเริ่มพิจารณาขั้นตอนของการแปลงภาพ 3 มิติมาเป็นภาพ 2 มิติ ได้พบว่าเกิดการสูญเสียข้อมูลของโครงสร้าง 3 มิติไป เช่น บริเวณของภาพที่เกิดการถูกบังตามแนวทิศทางการมอง ซึ่งเป็นข้อมูลที่ไม่อาจนำคืนมาได้ไม่ว่าในกรณีใด ๆ และการสูญเสียข้อมูลเกี่ยวกับความลึกของวัตถุ ในขณะที่โปรเจคภาพลงบนระนาบ 2 มิติ แต่ข้อมูลเหล่านี้จะสามารถนำคืนมาได้โดยวิธีใด เพื่อที่จะคืนรูปทรง 3 มิติเหล่านี้ เราได้เลือกวิธีการที่จะนำเอาระดับความแตกต่างของสัญญาณแสง และคุณสมบัติของขอบวัตถุที่ปรากฏบนภาพมาเป็นข้อมูลในกระบวนการ จากการหาค่าความสัมพันธ์ระหว่างสมการแสงบนภาพวัตถุ กับ reflectance map ทำให้สามารถคำนวณหาค่าความลึกของวัตถุจากนั้นนำคืนมาได้ ภาพที่ได้นำมาทดลองนั้นเป็นภาพซึ่งเกิดจากการจำลองภาพวัตถุ และภาพที่เกิดจากการถ่ายด้วยกล้องวิดีโอที่ค้นจากวัตถุตามธรรมชาติ

บทที่ 6 บทสรุป

สรุปผลการทดลองตามทฤษฎีในบทที่ 5

## บทที่ 2

### ทัศนศาสตร์โดยคอมพิวเตอร์

เทคนิคการใช้คอมพิวเตอร์ประมวลผลของรูปภาพ ได้ถูกนำมาพัฒนาและใช้ประโยชน์อย่างกว้างขวาง ถึงแม้ว่าเครื่องมือในการนำข้อมูลภาพเข้ามาวิเคราะห์จะมีความยุ่งยากซับซ้อน โดยทั่วไประบบของ image-proceccing ในคอมพิวเตอร์มีขั้นตอนการทำงานซึ่งเน้นถึง การเกิดภาพ วิธี การนำภาพเข้าประมวลผล การคำนวณเกี่ยวกับภาพ และผลที่ได้ การบรรยายในบทนี้เกี่ยวกับการเกิดภาพในลักษณะของฟิสิกส์ ซึ่งสัมพันธ์กับการมองเห็นได้ของมนุษย์ ส่วนกระบวนการเกี่ยวกับภาพโดยคอมพิวเตอร์จะเน้นเฉพาะส่วนที่เกี่ยวข้องกับขอบภาพ เนื่องจากการหารูปทรง 3 มิติจากภาพ 2 มิตินั้นส่วน ข้อมูลที่จำเป็นในการที่จะเริ่มต้นประมวลผลโครงสร้าง 3 มิติของภาพ คือข้อมูลจากลักษณะลายเส้นบน ขอบภาพของวัตถุ ซึ่งรูปภาพต่าง ๆ ที่ถูกนำมาใช้เป็นภาพสำหรับการประมวลผลจากเครื่องคอมพิวเตอร์ มีหลายประเภทด้วยคุณลักษณะต่าง ๆ กัน เราอาจแบ่งการพิจารณาออกได้เป็น 2 กรณีคือจากแหล่งกำเนิดแสงและสภาวะทางเรขาคณิต

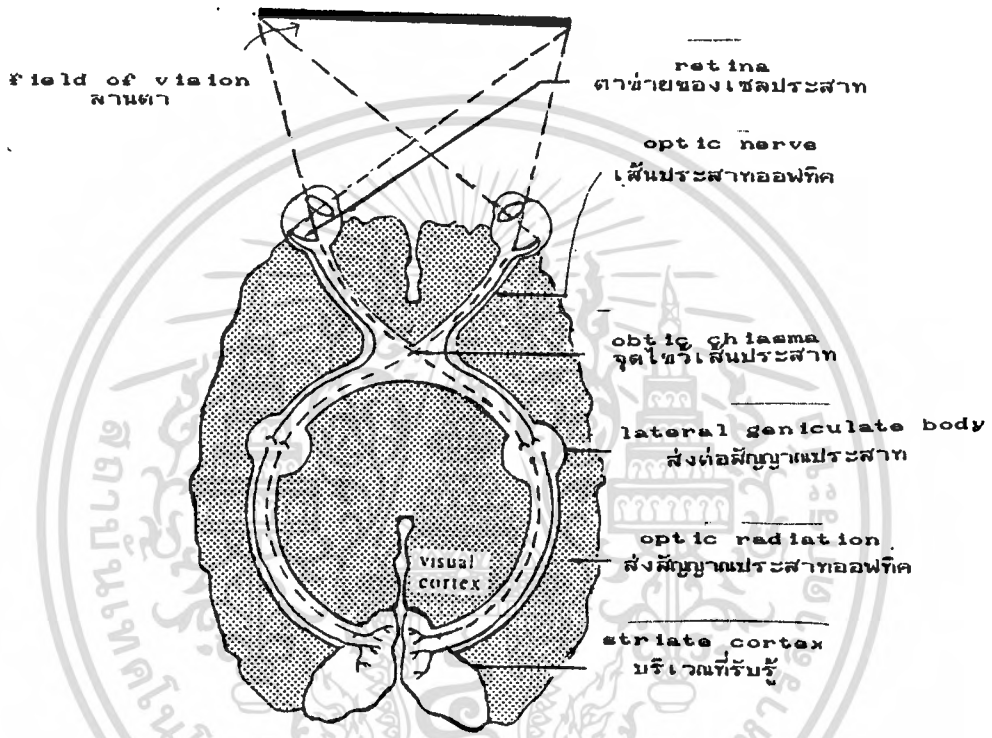
#### 2.1 ชรรวมชาติแห่งการมองเห็น<sup>[16]</sup>

จากการศึกษากระบวนการความสามารถแห่งการมองเห็นได้ของมนุษย์ ทำให้เกิดความเคลื่อนไหวในแนวทางที่จะพัฒนาการมองเห็นได้ของคอมพิวเตอร์ งานใดที่ทำได้ด้วยความสามารถของมนุษย์ย่อมเป็นการยากที่จะกล่าวว่างานนั้นไม่สามารถทำได้ด้วยเครื่องกล หรือกล่าวอีกอย่างได้ว่า จากการศึกษาทางด้านกระบวนการของรูปภาพและการจดจำ มีบทบาทสำคัญที่ให้ความหวังในการสร้างประสิทธิภาพของเครื่องคอมพิวเตอร์ให้รับรู้สภาวะทางฟิสิกส์ได้มากขึ้น

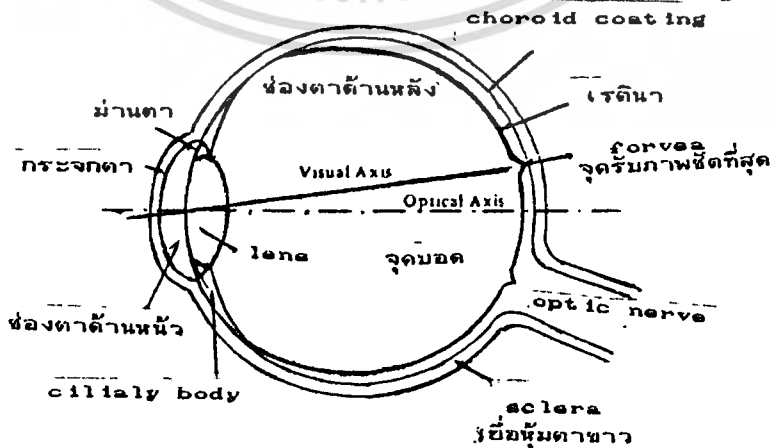
ในเรื่องส่วนนี้เป็นที่กล่าวสั้น ๆ ถึงคุณลักษณะของระบบการมองเห็นและพารามิเตอร์ซึ่งสำคัญในการออกแบบเทคนิคของกระบวนการรูปภาพ เนื่องจากผลของกระบวนการรูปภาพนี้ประเมินจากการสังเกตและการตัดสินใจ ดังนั้นจึงเป็นสิ่งสำคัญที่สร้างระบบการมองเห็นเหมือนจริงบนรูปภาพที่ได้ ขึ้นแรกเราต้องพิจารณาถึงการมองเห็นโดยธรรมชาติอย่างแท้จริง หลักฐานจากการบรรยายของ Cornsweet (1970) ว่า แผลงเตอร์ที่สำคัญเกี่ยวกับคุณลักษณะของการมองเห็นคือฟิสิกส์และสรีรศาสตร์

เอกสารนี้เป็นเอกสารระบบการรับภาพสามารถอธิบายได้ดีที่สุดด้วยรายละเอียดทางกายวิภาคของระบบการมองเห็นไม่ว่ากรณีใดๆทั้งสิ้น อีกทั้งห้ามมิให้คัดแปลงเนื้อหา และต้องอ้างอิงถึงเจ้าของเอกสารทุกครั้งที่มีการนำไปใช้

มองเห็น (VHS) แบ่งเป็นองค์ประกอบสี่ส่วน กล่าวคือ ดวงตา ประสาทเชื่อมโยงจากดวงตา ส่วน lateral geniculate body และส่วนของ visual cortex ดังแสดงในรูป 2.1 จากปรากฏบนเรตินาทั้งด้านซ้ายและขวา ผ่านกระบวนการทางเคมีภายในเปลี่ยนพลังงานแสงไปเป็นพัลส์ทางไฟฟ้า พัลส์เหล่านี้จะส่งผ่านไปสู่อptic chiasma ผ่าน lateral geniculate bodies และในที่สุดก็เข้าสู่บริเวณ visual cortex ใน opticital lobe ของสมอง



รูป 2.1 โครงสร้างของระบบการมองเห็น



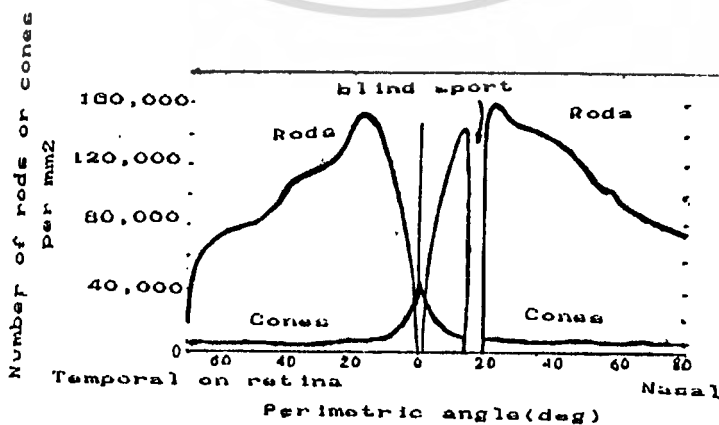
รูป 2.2 ภาพตัดขวางอย่างง่ายของดวงตามนุษย์

เอกสารนี้เป็นเอกสารที่สงวนไว้สำหรับการใช้งานเพื่อการศึกษาเท่านั้น ไม่อนุญาตให้นำไปใช้ประโยชน์ด้านการค้า ไม่ว่าจะกรณีใดๆทั้งสิ้น อีกทั้งห้ามมิให้ตัดแปลงเนื้อหา และต้องอ้างอิงถึงเจ้าของเอกสารทุกครั้งที่มีการนำไปใช้

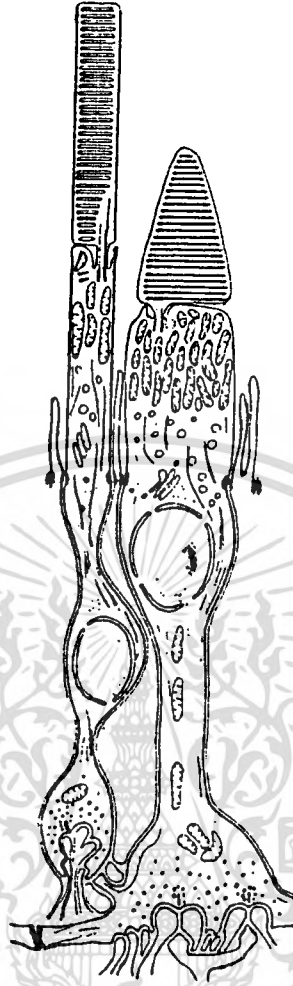
จากภาพตัดขวางดวงตามนุษย์ในรูป 2.2 เนื้อเยื่อที่อยู่ที่ชั้นนอกสุด sclera มีรูปร่างเกือบเป็นทรงกลมซึ่งมีรัศมีประมาณ 11 ม.ม และความหนา 1 ม.ม ที่ส่วนด้านหน้าของดวงตาเนื้อเยื่อ sclera จะกลมกลืนกันไปกับ cornea ซึ่งพองออกมาด้านหน้าด้วยรัศมีประมาณ 8 ม.ม หนา 1 ม.ม ทางด้านหลัง optic nerve สอดเข้าไปในส่วน sclera จากทางด้านจุก ส่วน ciliary body อยู่บริเวณด้านหลังจุกรอยต่อระหว่าง cornea และ sclera ด้านหน้าของ ciliary body เป็น Iris ซึ่งเป็นช่องเกือบเป็นรูวงกลมและเป็นองค์ประกอบของแก้วตา ขนาดการเปิดของแก้วตาเปลี่ยนแปลงได้ประมาณ 2 ถึง 8 ม.ม. โดยการหดและคลายตัวของกล้ามเนื้อที่ควบคุม Iris ปรากฏเป็นการตอบสนองความสัมพันธ์ระหว่างแสงและสรีรศาสตร์

ภายในแก้วตานั้นเลนส์กลมทั้งสองด้านลอยอยู่ในลักษณะที่เปลี่ยนรูปร่างได้ การเปลี่ยนรูปร่างได้นี้มีผลต่อการเปลี่ยนความยาวโฟกัสของเลนส์ ทำให้สามารถปรับระยะทางของการมองเห็นได้ ช่องที่แยกจากกันโดยเลนส์จึงเกิดขึ้น anterior chamber เป็นส่วนที่มีของเหลวค้ำน้ำซึ่งอยู่ ขณะที่ส่วนของ posterior chamber เต็มไปด้วยของเหลวที่มีความเหนียว ชั้นในสุดของดวงตาปกคลุมด้วยส่วนที่มีความไวต่อแสงคือเรตินา

บนผิวเรตินาประกอบด้วยเซลล์รับแสงที่มีความหนาแน่นไม่เท่ากัน เรียกว่า rod และ cone ดังรูป 2.4 การกระจายตัวของมันแสดงดังรูป 2.3 ช่วงตรงกลางซึ่งมีความแคบประมาณ 0.4 ม.ม. เรียกว่า fovea ประกอบด้วยส่วนที่เป็น cone เท่านั้น เนื่องจากตำแหน่งและความหนาแน่นของ cone ทำให้เป็นส่วนที่รับสีที่ดีที่สุด rod มีความหนาประมาณ 1-2  $\mu\text{m}$  และยาว 60  $\mu\text{m}$  สำหรับ

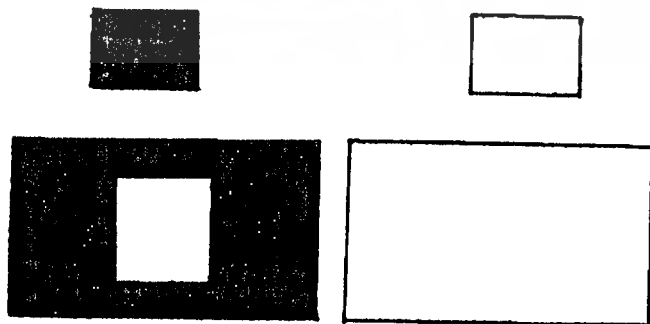


รูป 2.3 การวางตัวของ rod และ cone ที่ระยะทางห่างจากศูนย์กลางของ fovea



รูป 2.4 แสดง rod (ซี่ขาว) และ cone (ขาว)

cone มีขนาดแตกต่างกันไป แต่ส่วนที่อยู่บริเวณศูนย์กลางของ fovea มีความหนาประมาณ 1-2  $\mu\text{m}$  เช่นเดียวกัน จำนวนของ cone มีประมาณ 5-7 ล้านและจำนวน rod ประมาณ 75-150 ล้าน ใน



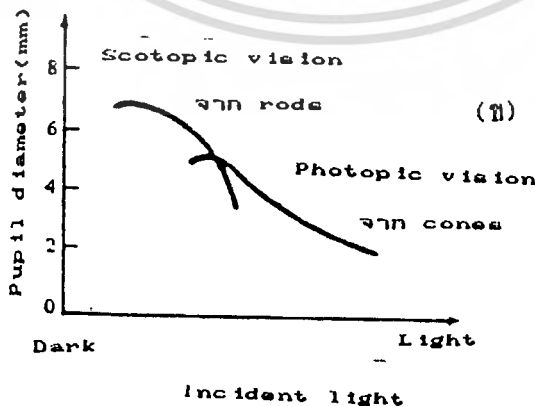
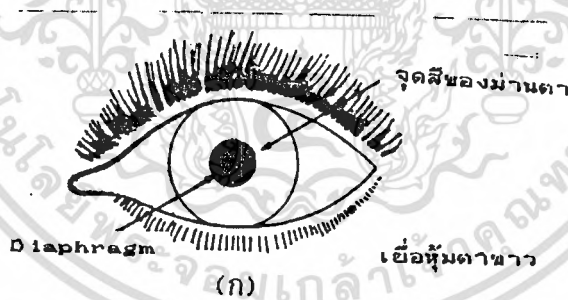
รูป 2.5 แสดงอิทธิพลจากพื้นฉากรอบด้านต่อความเป็นสีเทา

เอกสารนี้เป็นเอกสารที่สงวนไว้สำหรับการใช้งานเพื่อการศึกษาเท่านั้น ไม่อนุญาตให้นำไปใช้ประโยชน์ด้านการค้า ไม่ว่าจะกรณีใดๆทั้งสิ้น อีกทั้งห้ามมิให้ตัดแปลงเนื้อหา และต้องอ้างอิงถึงเจ้าของเอกสารทุกครั้งที่มีการนำไปใช้

บริเวณ fovea การเชื่อมต่อระหว่าง cone กับ optical fibers ประมาณค่าเป็นหนึ่งต่อหนึ่ง เมื่อระยะทางจาก fovea เพิ่มขึ้น จำนวนของการเชื่อมต่องี้มีค่ามากขึ้น rod จะมีความไวต่อความส่องสว่างต่ำและมีการตอบสนอง scotopic ส่วน cone ซึ่งมีความหนาแน่นมากในบริเวณ fovea อยู่ในตำแหน่งตามเส้นทางการมองเห็น และตอบสนองกับระบบการมองเห็น photopic มากที่สุด

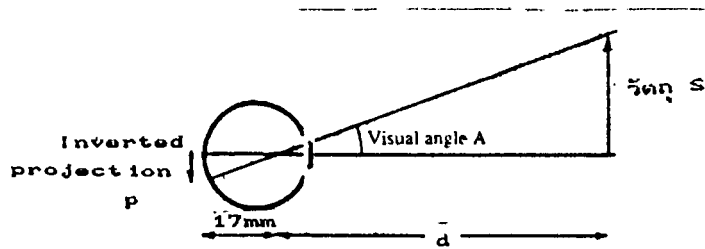
ช่องเปิดของลูกตาจะเปิดกว้างขึ้นเมื่อมีแสงสว่างปริมาณมากขึ้น เพื่อลดจำนวนแสงที่ตกกระทบบนเรตินา อย่างไรก็ตามเมื่อเวลาผ่านไประยะหนึ่งเรตินาจะปรับตัวเข้าสู่ระดับใหม่ และช่องเปิดกลับเข้าสู่ระดับเดิม ช่องเปิดนี้สามารถควบคุมปริมาณแสงด้วยแฟกเตอร์ 30 เรตินานั้นสามารถปรับตามขนาดของแสงได้เช่นกันแต่ด้วยแฟกเตอร์  $10^{10}$

หลังจากแสงผ่าน aqueous humor มันจะผ่านช่องเปิดของตาบริเวณศูนย์กลางของม่านตา จากคุณสมบัติของเมื่อดิสก์ม่านตาเป็นเหตุให้เกิดสีต่างๆของดวงตา ดวงตาของผู้หญิงมีช่องเปิดดวงตาใหญ่กว่าผู้ชาย ม่านตาทำหน้าที่คล้ายเครื่องกลในการควบคุมการปิดเปิดช่องตา ดังรูป 2.6 (ก) เป็นภาพด้านหน้าของดวงตามนุษย์ การเปลี่ยนแปลงขนาดของแผ่นปิดเปิดนี้ขึ้นอยู่กับกลไกเนื้อสองชนิดคือ



รูป 2.6 แสดงการทำงานสองลักษณะของช่องตา

เอกสารนี้เป็นเอกสารที่สงวนลิขสิทธิ์ไว้เพื่อการศึกษาเท่านั้น ไม่อนุญาตให้นำไปใช้ประโยชน์ด้านการค้า (ก) ภาพดวงตาของมนุษย์ (ข) การเปลี่ยนแปลงของช่องตาตามฟังก์ชันของแสง ไม่ว่าจะกรณีใดๆทั้งสิ้น อีกทั้งห้ามมิให้ตัดแปลงเนื้อหา และต้องอ้างอิงถึงเจ้าของเอกสารทุกครั้งที่มีการนำไปใช้



รูป 2.7 การโปรเจคของวัตถุบนเรตินา

sphincter และ dilator pupillae กล้ามเนื้อส่วน sphincter ใช้สำหรับการบีบรัดโดยเคลื่อนที่ขนานไปกับวงกลมของม่านตา และ dilator ใช้สำหรับการขยายขนาดของช่องว่างตามฟังก์ชันแสงตกกระทบนั้นแสดงดังรูป 2.6 (ข)

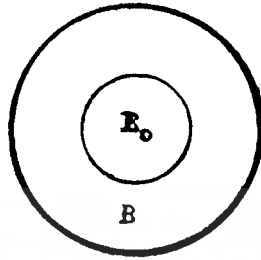
การเปลี่ยนแปลงของช่องตานั้นสนองต่อ 3 วัตถุประสงค์ คือผลต่อฟังก์ชันการสะท้อนแสงเพื่อปรับขนาดปริมาณของแสงที่เข้าสู่ดวงตา การปรับสายตาเพื่อรับวัตถุ และปรับภาพภายใต้เงื่อนไขจากแสงที่สว่างมาก

ภาพถูกปรับระยะการมองเห็นได้ โดยเปลี่ยนระยะ โฟกัสให้ภาพตกลงที่เรตินา และผลความสูงของภาพกลับหัวบนพื้นเรตินาจะสัมพันธ์กับวัตถุดังรูป 2.7

พารามิเตอร์ที่สัมพันธ์กับการมองเห็น และใช้ประโยชน์ในกระบวนการรูปภาพ เพื่ออธิบายให้เข้าใจในรายละเอียดคุณสมบัติเกี่ยวกับการมองเห็น จากแนวคิดพื้นฐานทั่วไปพารามิเตอร์เหล่านี้คือ ความสว่าง ความชัด ความละเอียด และความคม

Brightness เป็นแนวคิดทางจิตศาสตร์หรือเป็นความรู้สึกสัมพันธ์กับจำนวนของแสงที่ถูกสร้างขึ้น เนื่องจากดวงตามนุษย์มีความสามารถปรับตัวตามขนาดของแสงอย่างมาก ดังนั้นมนุษย์จึงไม่สามารถจะตัดสินใจเกี่ยวกับค่าปริมาณแสงสว่างได้อย่างถูกต้อง

Lightness นั้นสัมพันธ์กับการรับรู้ของผู้สังเกตของความแตกต่างในความเป็นสีดำขาว หรือความเป็นสีเทาระหว่างวัตถุ ดังนั้นจึงแตกต่างจาก brightness คำว่า contrast ใช้สำหรับบ่งบอกลักษณะความแตกต่างในความสว่างนั้น ค่าความเป็นสีเทาขึ้นอยู่กับฉากเปรียบเทียบเบื้องหลังรูป 2.5 แสดงคุณสมบัติทางธรรมชาติซึ่งเรียกว่า simultaneous contrast โดยปกติถ้าอัตราส่วนไม่เท่ากันใด ๆ ทั้งสิ้น อีกทั้งห้ามมิให้ตัดแปลงเนื้อหา และต้องอ้างอิงถึงเจ้าของเอกสารทุกครั้งที่มีการนำไปใช้



รูป 2.8 contrast ระหว่างวัตถุกับฉากโดยรอบ

ของ contrast ระหว่างวัตถุและฉากเบื้องหลังมีค่าคงที่ ค่า lightness จะคงที่เช่นกัน

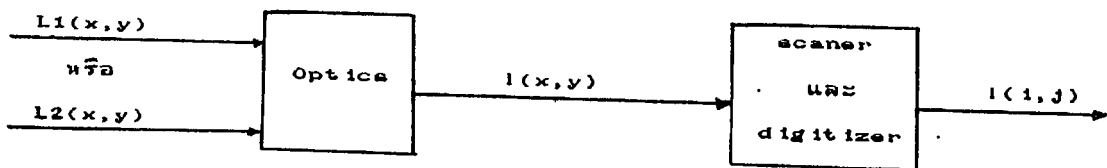
วิธีการวัด contrast ที่ใช้กันอย่างกว้างขวางนั้น ค่า  $C$  เป็นอัตราของ contrast ระหว่างวัตถุ  $B_0$  และพื้นที่โดยรอบในขณะนั้น  $B$  ดังแสดงในรูป 2.8

$$C = (B_0 - B)/B \quad (2.1)$$

จากนิยามนี้ค่าของ contrast สามารถเป็นได้ทั้งค่าบวกและลบ ถ้าค่าเป็นลบนั้นหมายถึงค่าความสว่างของวัตถุมีค่าน้อยกว่าพื้นฉากโดยรอบ

## 2.2 การแปลงภาพจริงเป็นข้อมูลภาพ

เราพิจารณาแหล่งพื้นฐานของข้อมูลภาพ 2 ลักษณะ กรณีแรกคือการสร้างสัญญาณของสิ่งมีชีวิตจากภาพจริง และในกรณีของการคืนภาพเดิมจากข้อมูลที่เก็บไว้ในตัวกลางทางฟิสิกส์ ถ้าเราสังเกตจากรูป 2.9 ที่ขั้นตอน optic ซึ่งจะสร้างสัญญาณภาพ  $I(x,y)$  ป้อนให้กับส่วนของการสแกน และ digitizer เป็นส่วนของการนำข้อมูลของภาพเข้าสู่คอมพิวเตอร์ ภาพนาลอก  $L_1(x,y)$  หรือ  $L_2(x,y)$  ถูกเปลี่ยนเป็นภาพสัญญาณดิจิทัล  $I(x,y)$  และบางครั้งเรียกว่าเป็นส่วนเรตินาของคอมพิวเตอร์ เราจะอธิบายถึง hardware ในส่วนที่จำเป็นสำหรับการให้รูปภาพเป็นอินพุทของคอมพิวเตอร์ เรากำหนดให้ภาพดิจิทัล  $I(i,j)$  เป็นฟังก์ชันจริง 2 แกนของตัวแปร discrete ค่า  $i, j$  ซึ่งเป็นค่าอ้างอิงแสงและเงา สี ระดับที่ปรากฏบนภาพ ค่าเหล่านี้สัมพันธ์กับอินพุท  $L_1(x,y)$  หรือ  $L_2(x,y)$  อย่างใดอย่างหนึ่ง ในบริเวณ  $(x,y)$  ในบริเวณนั้นเป็นค่า discrete ของจุดต่าง ๆ บนภาพและเรียกว่าไมวากรณีใดๆทั้งสิ้น อีกทั้งห้ามมิให้ตัดแปลงเนื้อหา และต้องอ้างอิงถึงเจ้าของเอกสารทุกครั้งที่มีการนำไปใช้



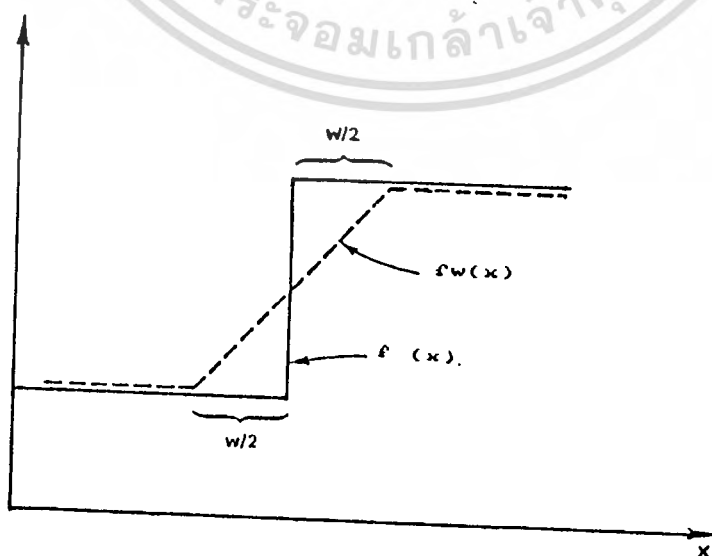
รูป 2.9 เป็นการแสดงตัวสแกนและ digitizer ของอินพุท

pixel ในเรื่องของ hardware มีการทำงานสองขั้นตอน คือส่วนของการสุ่มข้อมูลจากภาพเป็น pixels และการทำ quantize ของระดับสีเทา ขนาดแนวกว้างยาวของภาพจะเป็น 128 x 128 256 x 256 และ 512 x 512 แต่เราอาจขยายขึ้นถึงอันดับ 2048 x 2048 ซึ่งมักจะไม่ใช่ในงานปกติของ remote sensing ระดับของ gray level นั้นมีระดับความแตกต่างกันเพียง 64 ระดับก็สามารถให้ความสมบูรณ์พอเพียง ถึงแม้ว่าในบางครั้งมีการใช้ถึง 256 ระดับ

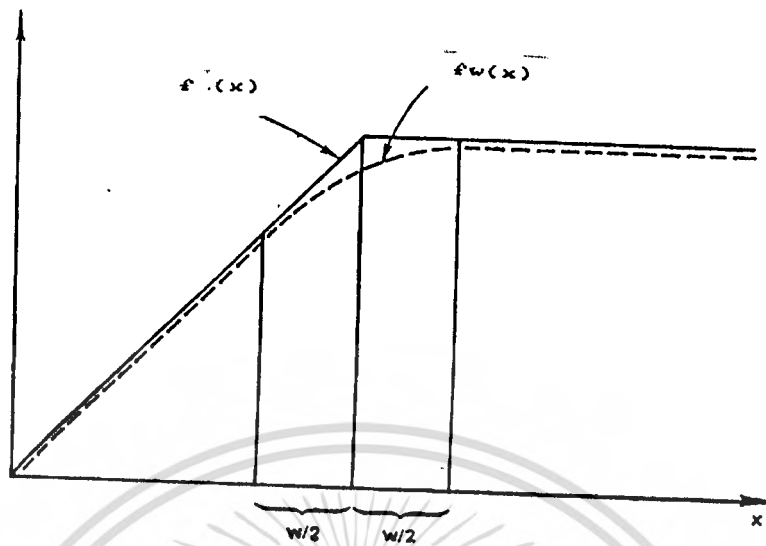
2.3 กระบวนการเกี่ยวกับภาพโดยคอมพิวเตอร์<sup>[22]</sup>

2.3.1 การกำจัดสัญญาณรบกวนของภาพโดยวิธีการเฉลี่ย

เทคนิคการกำจัดสัญญาณรบกวนซึ่งพบบ่อยกับภาพ เราใช้วิธีการเฉลี่ย ถึงแม้ว่าจุดประสงค์ของเราคือการประมาณค่าอัตราการใช้เปลี่ยนแปลงของฟังก์ชันก็ตาม แต่เทคนิคการเฉลี่ยนี้



รูป 2.10 (ก) ตัวอย่างของ regularization ในหนึ่งมิติ



รูป 2.10 (ข) ตัวอย่างอีกแบบหนึ่งของ regularization ในหนึ่งมิติ  
 สามารถทำให้ภาพที่มีลักษณะขอบเรียบขึ้น ด้วยความคิดพื้นฐานว่าลักษณะที่จุดใดๆ แทนได้โดยค่าเฉลี่ย  
 ของฟังก์ชันภาพในบริเวณใกล้เคียง ในกรณีของฟังก์ชันภาพทางอนาล็อก  $f(x)$  หนึ่งมิติ เรานิยามค่า  
 ความกลมกลืน  $f_w$  นี้ด้วย

$$f_w = \frac{1}{W} \int_{x-w/2}^{x+w/2} f(u) du \quad (2.2)$$

การประมวลผลนี้เรียกว่า regularization ของฟังก์ชัน ซึ่งไม่เป็นการยากในการคำนวณ  
 เพื่อพิสูจน์ว่า regularization ของฟังก์ชันความกลมกลืนนั้นถูกต้อง ถ้า  $f(x)$  เป็นค่าไม่ต่อเนื่องค่า  
 $f_w(x)$  จะต่อเนื่อง และถ้า  $f(x)$  ต่อเนื่องแล้ว  $f_w(x)$  มีค่าอนุพันธ์ที่ต่อเนื่อง คุณสมบัตินี้แสดงในรูป  
 2.10 (ก) และ (ข) สังเกตได้ว่าความกว้างของบริเวณที่เปลี่ยนแปลงใน  $f_w(x)$  ขึ้นอยู่กับขนาดของ  
 หน้าต่างภาพ การเพิ่ม  $w$  เป็นผลทำให้ภาพมัวไม่ชัด ในทางกลับกันถ้าขนาดของ  $w$  ลดลงทำให้  $f_w(x)$   
 มีค่าประมาณเท่ากับ  $f(x)$  เราเรียกฟังก์ชัน regularization นี้ว่า slide หรือการเฉลี่ยเคลื่อนที่  
 ของ  $f(x)$

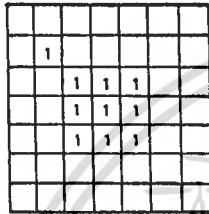
การขยายวิธีประมวลผลออกเป็นสองมิติโดยตรง ถ้าให้ฟังก์ชันภาพทางอนาล็อกเป็น  
 $f(x,y)$  เรานิยามฟังก์ชัน regularization  $f_w(x,y)$  ได้ดังนี้

$$f_w(x,y) = \frac{1}{A_w} \iint f(u,v) du dv \quad (2.3)$$

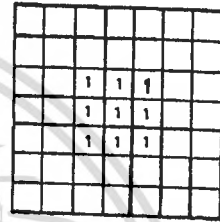
เอกสารนี้เป็นเอกสารที่สงวนไว้สำหรับการใช้งานเพื่อการศึกษาเท่านั้น ไม่อนุญาตให้นำไปใช้ประโยชน์ด้านการค้า  
 ไม่ว่ากรณีใดๆทั้งสิ้น อีกทั้งห้ามมิให้ตัดแปลงเนื้อหา และต้องอ้างอิงถึงเจ้าของเอกสารทุกครั้งที่มีการนำไปใช้

โดย  $w(x,y)$  เป็นค่าของหน้าต่างภาพของพื้นที่  $A_w$  ซึ่งมีจุดกึ่งกลางบนเซลล์  $(i,j)$  โดยเฉพาะอย่างยิ่งถ้าใช้หน้าต่างภาพที่เป็นรูปทรงเรขาคณิต หากเราใช้หน้าต่างภาพเป็นรูปสี่เหลี่ยมผืนผ้าที่มีความยาวฐานเป็น  $(2b+1)$  และสูง  $(2h+1)$  แล้ว regularized ของ  $f(i,j)$  จะเป็น

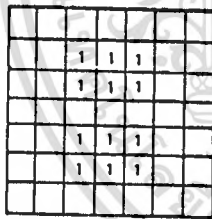
$$f_w(i,j) = \frac{\sum_{-b \leq m \leq b} \sum_{-h \leq n \leq h} f(i+m,j+n)}{(2b+1)(2h+1)} \quad (2.4)$$



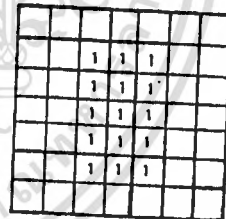
รูป 2.11



รูป 2.12



รูป 2.13



รูป 2.14

ตัวอย่างของ regularization ใน 2 มิติ

การ regularizing จะมีผลเช่นเดียวกับการทำให้กล่องไม่อยู่ในไฟกัส และด้วยขนาดของหน้าต่างภาพของการเฉลี่ยก็ยังทำให้กล่องออกนอกไฟกัสมากขึ้นนี้ เป็นผลที่ไม่ต้องการ เราต้องการภาพที่มีความคมชัดเท่าที่เป็นไปได้ ดังนั้นเราต้องจัดการ regularization ให้เป็นไปตามจุดประสงค์ตามความต้องการ และเหมาะสมที่นำมาใช้กับภาพไบนารีดิจิทัล ภาพไบนารีคือภาพที่มีสองระดับ ขาว(1) ดำ(0) เท่านั้น กลุ่มของเซลล์  $f(i,j) = 1$  เรียกว่า ภาพ (figure) กลุ่มของเอกสารนี้เป็นเอกสารที่สงวนไว้สำหรับการใช้งานเพื่อการศึกษาเท่านั้น ไม่อนุญาตให้นำไปใช้ประโยชน์ด้านการค้าไม่ว่ากรณีใดๆทั้งสิ้น อีกทั้งห้ามมิให้ดัดแปลงเนื้อหา และต้องอ้างอิงถึงเจ้าของเอกสารทุกครั้งที่มีการนำไปใช้

$f(i,j) = 0$  เรียกว่า พื้น (ground) รูปภาพไบนารีที่มีความน่าสนใจอย่างมาก เพราะผลจากการประมวลอื่นๆ การทำภาพไบนารี  $f(i,j)$  ให้มีระดับกลมกลืน โดยการเปรียบเทียบ  $f_w(i,j)$  กับสัญญาณเทรสิโสด์ ถ้าเทรสิโสด์มีค่ามากกว่าแล้ว ค่าฟังก์ชันความกลมกลืนเป็น 1 หรือน้อยกว่าจะมีค่าเป็น 0 การกระทำแบบนี้จะทำให้สร้างลายเส้นคอนทัวร์ของภาพไบนารีได้คงที่ ตัวอย่างเช่นถ้าเรากำหนดค่าเทรสิโสด์ ไว้ที่ 0.4 การกระทำนี้จะกำหนดให้เซลล์ใน  $(i,j)$  ในภาพที่กลมกลืนแล้วมีค่าเป็น 1 ถ้าเซลล์ 4 เซลรอบ ๆ จุด  $(i,j)$  ใด ๆ ในหน้าต่างเป็น 1 ภาพไบนารีในรูป 2.11 ถูกทำให้กลมกลืน ได้ผลลัพธ์ดังรูป 2.12 โดยส่วนที่ขึ้นบนรูปด้านซ้ายบนถูกนำออกไป (เซลล์ที่ว่างเป็น 0) ในอีกกรณีหนึ่งเมื่อนำการกระทำนี้มาใช้กับภาพที่ไม่ต่อเนื่องแสดงในรูป 2.13 ผลลัพธ์แสดงในรูป 2.14 โดยสังเกตได้ว่าช่องว่างซึ่งแยกรูปเป็นสองส่วนถูกเติมให้เต็ม ถ้าเราพิจารณาช่องว่างหนึ่งในรูปภาพเป็นสำคัญ เราจะเห็นว่าจุดนี้เป็นจุดที่บ่งชี้ของวิธีการนี้ แม้ว่าจะเป็นตัวอย่างง่าย ๆ แต่แสดงให้เห็นว่าวิธีการนี้ก็มีจุดบ่งชี้เช่นกัน

ถ้าเราทำเกี่ยวกับภาพไบนารีมีเทคนิคของการทำภาพให้กลมกลืน และสามารถควบคุมให้ถูกต้องมากกว่า regularization เทคนิคอันนี้เรียกว่า logical smoothing หรือ logical averaging ซึ่งเป็นพื้นฐานของการสังเกตว่าองค์ประกอบของภาพที่ปรากฏภายในหน้าต่างของการเฉลี่ยสามารถใช้ฟังก์ชันบูลีนหรือตัวแปรทาง logic ค่าของภาพที่กลมกลืนที่จุด ๆ หนึ่งสามารถนิยามโดยฟังก์ชันคณิตศาสตร์บูลีนของตัวแปรเหล่านี้ ดังตัวอย่างถ้าเราต้องการสร้าง ตัวกระทำภาพให้กลมกลืนทาง logic กำหนดดังต่อไปนี้

ก) เซล "0" จะเปลี่ยนเป็นเซลล์ "1" ถ้าเซลล์อยู่ข้างเคียงเป็น "1"

ข) เซล "1" จะเปลี่ยนเป็นเซลล์ "0" ถ้าเซลล์อยู่ข้างเคียงเป็น "0"

ข้อกำหนดนี้ของตัวกระทำจะทำให้เกิดการกลับค่าของ "1" หรือ "0" ที่โดดเดี่ยวเท่านั้นแต่จะไม่เปลี่ยน

a	b	c
d	e	f
g	h	i

เรานิยาม  $e$  ค่าของภาพใหม่ที่จุดกึ่งกลางเซลล์ของหน้าตาภาพเป็น

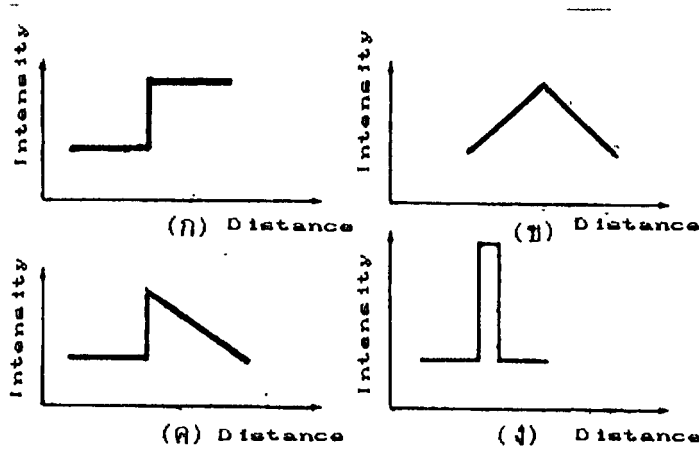
$$e = \bar{e} \cdot (a.b.c.d.e.f.g.h.i) \vee e (a \vee b \vee c \vee d \vee e \vee f \vee g \vee h \vee i)$$

โดย  $a \vee b$  คือ  $a$  or  $b$   $\bar{a}$  คือ "not  $a$ " และ  $a.b$  คือ "a and b" เราจะเห็นว่าฟังก์ชันทางตรรกวิทยาสามารถออกแบบได้ง่าย ค่าใหม่  $e$  เป็น "1" ถ้า  $e$  เป็น "0" และค่าข้างเคียงทั้งหมดเป็น "1" หรือค่า  $e$  เป็น "1" ถ้าค่าข้างเคียงอย่างน้อยที่สุดหนึ่งจุดเป็น "1" เราจะเห็นข้อได้เปรียบของ logical smoothing กว่า regularization แล้วคือสามารถให้เรากำหนดเงื่อนไขที่สร้างขึ้นที่จะทำให้ค่าของเซลล์ใด ๆ เปลี่ยนแปลงได้ เราอาจพิจารณาจากความเป็นจริงว่าการทำภาพให้กลมกลืนโดยวิธี regularization ของภาพไบนารีเป็นกรณีพิเศษของ logical smoothing เพราะการกระทำโดยวิธี regularization ทางตัวเลขสามารถนิยามได้ด้วยการแสดงผลทางวิธีการของ boolean

### 2.3.2 การกำจัดสัญญาณรบกวนบนข้อมูลภาพโดยคุณสมบัติทางสถิติ

ข้อมูลใด ๆ ที่มีค่าแตกต่างไปจากข้อมูลข้างเคียงซึ่งถือ เป็นสัญญาณรบกวนนั้น จะถูกปรับค่าให้ใกล้เคียงกับกลุ่มข้อมูลที่ล้อมรอบข้างเคียง โดยไม่ทำให้ภาพเสียความคมชัด ซึ่งการให้ความหมายของข้อมูลภาพผิดพลาดไป จากการหาความกลมกลืนของภาพ โดยวิธีการเฉลี่ยดังที่ได้กล่าวมาแล้วนั้น เมื่อนำไปใช้กับภาพที่มีความซับซ้อนจะทำให้สูญเสียรายละเอียดของข้อมูลภาพไป โดยเกิดการเลือนหายของบริเวณขอบภาพไม่คมชัด การแก้ไขโดยวิธีการอาศัยคุณสมบัติทางสถิติ จากการทำให้กลมกลืน ด้วยการแทนค่าเฉลี่ยของสัญญาณที่ตำแหน่งนั้นด้วยค่าเฉลี่ยของสัญญาณที่มีความเป็นเนื้อเดียวกัน (homogeneous) สูงสุดจากพื้นที่ที่มีรูปร่างลักษณะต่าง ๆ โดยแต่ละพื้นที่จะมีจำนวนจุดภาพเท่ากันและมีจุดภาพ  $n$  ตำแหน่งที่ต้องการนั้นเป็นจุดร่วมของทุกพื้นที่

กระบวนการกำจัดสัญญาณรบกวนโดยที่ยังรักษาความคมชัดของขอบเขตของภาพมีวิธีการกล่าวคือ ขั้นตอนแรกสร้างพื้นที่ที่มีลักษณะต่าง ๆ โดยแต่ละพื้นที่มีจำนวนจุดภาพเท่ากันและให้พื้นที่ที่มีความเป็นเนื้อเดียวกันมากที่สุด ในขั้นตอนที่สองคือการคำนวณหาค่าเฉลี่ย (mean) และค่าความผันผวน (variance) ของพื้นที่ดังกล่าวทั้งหมด ตรวจสอบค่าความผันผวนต่ำสุดซึ่งแสดงว่าพื้นที่นั้น เป็นพื้นที่ที่มีความเป็นเนื้อเดียวกันของภาพมากที่สุด นำเอาค่าเฉลี่ยของพื้นที่นี้ไป เป็นค่าความเข้มของระดับสัญญาณ เอกสารนี้เป็นเอกสารที่สงวนไว้สำหรับการใช้งานเพื่อการศึกษาเท่านั้น ไม่อนุญาตให้นำไปใช้ประโยชน์ด้านการค้า ไม่ว่ากรณีใดๆทั้งสิ้น อีกทั้งห้ามมิให้ตัดแปลงเนื้อหา และต้องอ้างอิงถึงเจ้าของเอกสารทุกครั้งที่มีการนำไปใช้



รูป 2.15 ฟังก์ชันของขอบภาพในอุดมคติ

- (ก) ฟังก์ชันหนึ่งหน่วย (ข) เปลี่ยนแบบรูปหลังคา  
(ค) ผสมระหว่างรูปแบบหลังคาและฟังก์ชันหนึ่งหน่วย (ง) ขอบยอดแหลม

เทาของภาพที่ตำแหน่งนั้น

ผลลัพธ์ในการจำกัดการรบกวนด้วยวิธีนี้ สามารถรักษาความคมชัดของขอบภาพไว้ได้

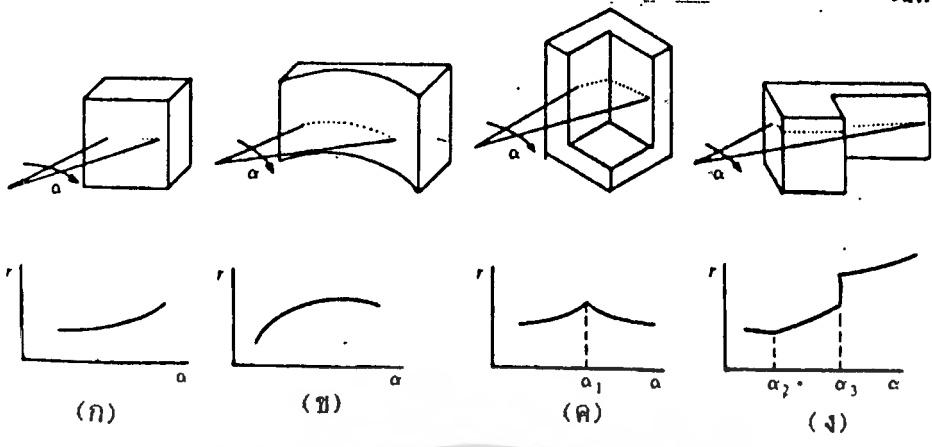
### 2.3.3 คุณลักษณะของขอบภาพ

ขอบภาพอาจให้ความหมายว่าเป็นบริเวณที่ขาดการต่อเนื่องของระดับสัญญาณเทา หรือ สัญญาณสี โดยทั่วไปขอบภาพจะมีขนาดต่าง ๆ กัน ทั้งขนาดเส้นและยาว รูปแบบของขอบในอุดมคติมักใช้แทนด้วยฟังก์ชันทางคณิตศาสตร์ในรูปแบบใด ๆ รูปแบบหนึ่ง

รูปแบบตามอุดมคติของขอบภาพ แทนได้ด้วยฟังก์ชันทางคณิตศาสตร์ดังตัวอย่างในรูป

2.15 (ก) ซึ่งเป็นการแสดงลักษณะของขอบภาพที่คล้ายคลึงกับความรู้สึกของเรา รูปภาพที่ประกอบด้วยวัตถุที่มีพื้นผิวเป็นรูปเหลี่ยม ย่อมแสดงการหักมุมของขอบในคุณลักษณะของความเข้มแสงต่อระยะทางดังรูป 2.15 (ข) เป็นสัญญาณรูปหลังคาประกอบด้วยสัญญาณลาดเอียงสองรูป และเราอาจรวมระหว่างฟังก์ชันหนึ่งหน่วยกับสัญญาณลาดเอียงดังรูป 2.15 (ค) ภาพที่มีลายเส้นที่มีความแตกต่างอย่างกระชากกัน อาจแสดงลายเส้นนั้นดังรูป 2.15 (ง) ซึ่งเป็นการสร้างจากฟังก์ชันหนึ่งหน่วยสองรูป บางครั้งเราเรียกขอบยอดแหลม (sprike edge)

ที่ศูนย์รวมของลายเส้นในภาพหนึ่งมิติ ย่อมสัมพันธ์กับส่วนของเรขาคณิตในภาพสามมิติ สำหรับรูปทึบหลายเหลี่ยม เส้นขอบบนภาพจะปรากฏบริเวณตัดกันของผิวหน้ารูปเหลี่ยมนั้น ชนิดต่าง ๆ ของขอบที่สามารถสังเกตเห็นได้ตามลักษณะความลึก แสดงดังรูป 2.16 ขอบเหล่านี้เขียนเป็นรูปกราฟ เอกสารนี้เป็นเอกสารที่สงวนไว้สำหรับการใช้งานเพื่อการศึกษาเท่านั้น ไม่อนุญาตให้นำไปใช้ประโยชน์ด้านการค้า ไม่ว่ากรณีใดๆทั้งสิ้น อีกทั้งห้ามมิให้ตัดแปลงเนื้อหา และต้องอ้างอิงถึงเจ้าของเอกสารทุกครั้งที่มีการนำไปใช้



รูป 2.16 แสดงโครงสร้างของขอบและผิวหน้าของรูปเหลี่ยม โดยระยะความลึก

แสดงอยู่ด้านล่าง ซึ่งเขียนแสดงระยะทางจากผู้สังเกตครอบคลุมไปตามแนวผิวหน้าด้วยมุม  $\alpha$  ในรูป 2.16 (ก) และ (ข) เส้นสแกมมีความต่อเนื่องและกราฟมีลักษณะกลมกลืน มุมเง้า  $\alpha_1$  ในรูปที่ 2.16 (ค) และมุมยื่น  $\alpha_2$  ในรูป 2.16 (ง) จะเกิดการไม่ต่อเนื่องที่ระยะทาง  $r$  ทั้งสองชนิดแตกต่างที่เครื่องหมาย บนผิวหน้าต่างกันของวัตถุอาจเกิดการขาดตอนในแนวความลึก ดังรูป 2.16 (ง) ที่มุม  $\alpha_3$  ลักษณะขอบแบบนี้เรียกว่า *occluding* หรือ *disoccluding* ขึ้นอยู่กับว่ามีพื้นที่จากหลังคลุมตลอดพื้นที่หรือไม่ อีกชนิดหนึ่งคือเส้นทางเดินของขอบ (*contour edge*) แสดงให้เห็นแนวเส้นของขอบกับพื้นของฉาก ซึ่งอาจปรากฏบนภาพ 2.16 ถ้าขยายขอบเขตการสแกมออกไปทั้งทางด้านซ้ายและขวา

ภาพลายเส้นของวัตถุนั้นบางครั้งอาจเกี่ยวข้องกับลักษณะพื้นผิวหลายแบบ ตัวอย่างเช่น ยอดแหลม หรือภาพยอดแหลมซึ่งปรากฏบนฟังก์ชันหนึ่งหน่วย อาจเป็นผลของขอบที่ยื่นออกมา ในทำนองเดียวกันรูปหลังคาหรือรูปหลังคาซ้อนอยู่บนฟังก์ชันหนึ่งหน่วย เป็นลักษณะของขอบเว้าเข้า รวมทั้งรูปยอดแหลมหรือรูปยอดแหลมซ้อนบนฟังก์ชันหนึ่งหน่วย เป็นทั้งลักษณะของขอบยื่นและขอบเว้า กรณีดังกล่าวมานั้น เป็นกรณีที่พบได้บ่อยครั้ง ถ้าเราสามารถจัดวิธีการย้อนกลับในการเกิดภาพลายเส้นนี้ได้ ย่อมทำให้การหารูปทรงสามมิติจากภาพสองมิติมีความง่ายขึ้น

สัญญาณในกรณีอุดมคตินั้น มักจะไม่ปรากฏในข้อมูลจริง มีการแสดงออกในรูปแบบหลายชนิดขึ้นอยู่กับอิทธิพลของสภาพแวดล้อม สิ่งหนึ่งที่สำคัญคือการส่องสว่างของแหล่งกำเนิดแสงที่เรียกว่าขอบความส่องสว่าง เป็นต้นเหตุให้เห็นความส่องสว่างบนผิวหน้า กำหนดคุณลักษณะโดยตำแหน่งและความลาดเอียงในสามมิติจากแหล่งกำเนิดแสงเมื่อเปรียบเทียบกับผิววัตถุนั้น ยกตัวอย่างเช่นขอบภาพไม่ว่ากรณีใดๆทั้งสิ้น อีกทั้งห้ามมิให้ตัดแปลงเนื้อหา และต้องอ้างอิงถึงเจ้าของเอกสารทุกครั้งที่มีการนำไปใช้

จากเงา ขอบภาพในกรณีนี้ขึ้นอยู่กับการสะท้อนของผิวหน้าวัตถุในสามมิติ และเรียกว่าขอบของการสะท้อน (reflecitivity edge) เป็นที่น่าสนใจว่ามนุษย์แยกขอบที่เกิดจากทั้งสองกรณีได้โดยพื้นฐานของความสัมพันธ์ระหว่างพื้นผิวหน้าใกล้เคียง ซึ่งต่างจากความรู้สึกจากค่าความส่องสว่างที่ปรากฏบนเรตินา อุปกรณ์ทางด้านตัวแปลงเป็นเชิงเลขทำให้เกิดสัญญาณรบกวนและความสามารถในการแยกขอบภาพมีค่าต่ำลง กระบวนการสุ่มตัวอย่างเป็นต้นเหตุของความผิดพลาดเช่นกัน รวมทั้งข้อมูลตามธรรมชาติที่นั่นมีส่วนประกอบครอบคลุมหลายลักษณะ เช่นทำให้เกิดขนาดต่าง ๆ ของสัญญาณเทาคลปะกันไปทุกช่วงของภาพ เราเรียกโครงสร้างผิวหน้าแบบนี้ว่า texture ซึ่งเป็นผลจากอิทธิพลของแหล่งกำเนิดการส่องสว่างและผิวหน้ามัน

ขอบภาพมีความสำคัญสำหรับระบบการมองของสิ่งมีชีวิตและระบบคอมพิวเตอร์ เพราะเป็นส่วนที่แสดงให้เห็นเด่นชัดถึงรูปทรงของวัตถุในรูปภาพ แต่กระนั้นก็ยังไม่สมบูรณ์ สิ่งที่เราต้องแก้ปัญหาต่อไปก็คือ เราจะใช้วิธีการใดเพื่อหาลักษณะข้อมูลที่ปรากฏอยู่ในขอบเหล่านี้

#### 2.3.4 การหาขอบภาพในหนึ่งมิติ<sup>[17]</sup>

การหาขอบของภาพในกรณีนี้จะกล่าวนี้เป็นการศึกษาค่าจากระดับความต่างของความเข้มแสง ถ้ากำหนดให้  $i$  เป็นตำแหน่งเป็นตำแหน่งของจุดต่าง ๆ ในทิศทางตั้งฉากกับแนวเส้นของขอบภาพ วิธีการที่ง่ายในการคำนวณคือ

$$D_d(i) = f(i+d) - f(i-d) \quad (2.5)$$

ถ้า  $D_d(i)$  เป็นค่าบวก แสดงว่าขอบภาพเป็นแบบฟังก์ชันหนึ่งหน่วยซึ่งมีค่าเพิ่มขึ้นทางด้านบวก และถ้าเป็นค่าลบขอบภาพก็มีลักษณะตรงข้าม ในรูป 2.17 แสดงหลายเส้นที่ได้ผลจากการใช้สมการนี้โดยกำหนดค่า  $d$  เท่ากับ 1 รูป 2.17 (ข) เป็นกรณีที่ขอบอยู่ตรงกลางของจุดภาพ ค่าของ  $D_d(i)$  อาจมีค่าสูงมากถ้าเป็นบริเวณที่เกิดสัญญาณรบกวนมาก เพื่อลดผลจากเหตุนี้ เราจะเฉลี่ยค่าความแตกต่างเป็น

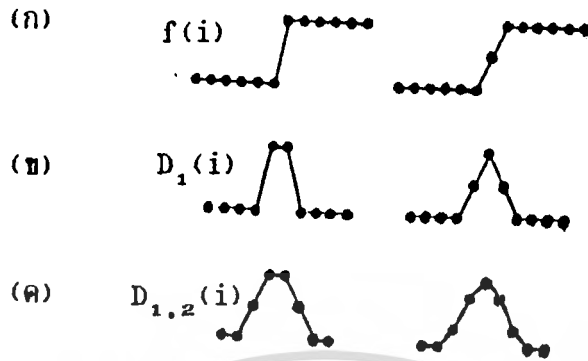
$$D_{d_1, d_2}(i) = \sum_{k=d_1}^{d_2} \{f(i+k) - f(i-k)\} / (d_2 - d_1 + 1) \quad (2.6)$$

โดยปกติแล้วค่า  $d_1 = 1$  และค่า  $d_2$  มีค่าระหว่าง 2 ถึง 5 ซึ่งในรูปที่ 2.17 แสดงผลของการเฉลี่ย

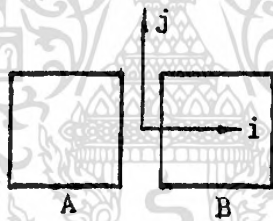
กำหนดค่า  $d_1 = 1$  และ  $d_2 = 2$  เห็นได้ว่าเสมือนกับการเฉลี่ยค่าของ  $D_d(i)$  ดังตัวอย่าง

เอกสารนี้เป็นเอกสารที่สงวนไว้สำหรับการใช้งานเพื่อการศึกษาเท่านั้น ไม่อนุญาตให้เผยแพร่ไปใช้ประโยชน์ด้านการค้า

ไม่ว่ากรณีใดๆทั้งสิ้น อีกทั้งห้ามมิให้ตัดแปลงเนื้อหา และต้องอ้างอิงถึงเจ้าของเอกสารทุกครั้งที่มีการนำไปใช้



รูป 2.17 ลายเส้นของความเข้มแสงและผลจากการหาค่าความแตกต่าง



รูป 2.18 เป็นการหาค่าเฉลี่ยแบบ 2 มิติจากวิธีการหาค่าความแตกต่าง

$$D_{1,3}(i) = \sum_{k=-1}^1 D_2(i+k)/3 \tag{2.7}$$

ถ้าเราต้องใช้วิธีการดังกล่าวกับทุก ๆ จุดภาพ(ยกเว้นบริเวณจุดภาพภายนอก) เราสามารถคำนวณได้ มีประสิทธิภาพดีขึ้นถ้าใช้วิธีการทำ smooth ภาพเสียก่อน แทนที่จะใช้วิธีการ  $D_{1,2}$  เราใช้สมการดังต่อไปนี้เป็นการ smooth

$$f_1(i) = \sum_{k=-1}^1 f(i+k) \tag{2.8}$$

จากนั้นจึงใช้  $D_2(i)$  กระทำต่อ  $f_1(i)$  อีกครั้งหนึ่ง

การใช้วิธีนี้สามารถใช้เป็นค่าเฉลี่ยแบบ 2 มิติได้ดังรูป 2.18 ซึ่ง  $j$  เป็นทิศทางของเอกสารนี้เป็นเอกสารที่สงวนไว้สำหรับการใช้งานเพื่อการศึกษาเท่านั้น ไม่อนุญาตให้นำไปใช้ประโยชน์ด้านการค้าไม่ว่ากรณีใดๆทั้งสิ้น อีกทั้งห้ามมิให้ตัดแปลงเนื้อหา และต้องอ้างอิงถึงเจ้าของเอกสารทุกครั้งที่มีการนำไปใช้

ขอบภาพตั้งฉากกับ  $i$  ผลลัพธ์ของการกระทำจะเป็นค่าแตกต่างระหว่างบริเวณแต่ละด้าน ถ้าค่า  $A$  และ  $B$  ใช้กำหนดเป็นบริเวณสองแห่ง ดังรูป เราสามารถเขียนสมการได้ดังนี้

$$DD(i,j) = \sum_{(k,l) \in B} f(k,l)/|B| - \sum_{(k,l) \in A} f(k,l)/|A| \quad (2.9)$$

ผลที่ได้รับก็ไม่แตกต่างกันจากวิธีคำนวณอย่างง่าย ๆ ดังในสมการที่ 2.5

วิธีการต่อมานั้นได้ปรับปรุงมาจากการกระทำแบบขอบฟังก์ชันหนึ่งหน่วย ขอบที่มีลักษณะรูปแบบหลังคา สามารถหาได้จากการเปรียบเทียบความชันของลายเส้นสองด้าน ความชันที่ตำแหน่ง  $i$  แทนด้วยสมการ  $D_d(i)/2d$  ดังนั้นขอบรูปหลังคาจะกระทำด้วยสมการดังนี้

$$L_{d,d'}(i) = \{D_d(i+d') - D_d(i-d')\}/2d \quad (2.10)$$

เครื่องหมายของผลลัพธ์จะบอกได้ว่าขอบรูปหลังคามีทิศทางใด เพราะพารามิเตอร์  $d$  มีค่าคงที่ สมการที่ 2.10 สามารถเขียนให้ง่ายเป็น

$$L_{d,d'}(i) = \{D_d(i+d') - D_d(i-d')\} \quad (2.11)$$

สมการ 2.11 เป็นการหาค่าความแตกต่างในอันดับสอง และค่าพารามิเตอร์ทั้งสอง  $d$  และ  $d'$  นั้นแทนด้วยค่าเท่ากัน และใช้  $L_d(i)$  เขียนแทน  $L_{d,d}(i)$  เราจะได้

$$\begin{aligned} L_d(i) &= \{D_d(i+d) - D_d(i-d)\} \\ &= f(i+2d) + f(i-2d) - 2f(i) \end{aligned} \quad (2.12)$$

ซึ่งวิธีการนี้ก็สามารถปรับปรุงวิธีการลดสัญญาณรบกวน ในทำนองเดียวกันกับวิธีการแบบฟังก์ชันหนึ่งหน่วย

ผลของการหาค่าขอบจากค่าความแตกต่างของระดับความเข้มแสงในแต่ละด้าน วิธีการที่ง่ายที่สุดโดยการใช้  $L_d(i)$  ในสมการที่ 2.12 ซึ่งค่าของ  $d$  จะต้องมีค่าน้อย ( $d=1$  หรือ  $d=1/2$ ) ถ้าค่าผลลัพธ์มีค่าเป็นบวก แสดงว่าเส้นขอบมีผลเป็นชนิดขอบลบ และในทำนองกลับกันถ้าค่าผลลัพธ์ของการกระทำเป็นลบแสดงว่าเส้นขอบมีผลเป็นชนิดขอบบวก การหาค่าขอบโดยวิธีนี้ เราลดค่าสัญญาณรบกวนได้จากการเฉลี่ยดังตัวอย่าง

$$L_{d,m}(i) = \sum_{k=-m}^m L_d(i+k)/(2m+1) \quad (2.13)$$

จากตัวอย่างที่ได้แสดงขอบภาพในลักษณะต่าง ๆ แล้วนั้น การอธิบายต่อไปอ้างถึงรูปขอบชนิดแบบฟังก์ชันหนึ่งหน่วย

จากฟังก์ชันของตัวกระทำต่าง ๆ มักเป็นแบบเชิงเส้นของ  $f(i)$  ดังนั้นจึงสามารถเอกสสารนี้เป็นเอกสสารที่สวนงวไว้สำหรับการใช้งานเพื่อการศึกษาเท่านั้น ไม่อนุญาตให้นำไปใช้ประโยชน์ด้านการค้าไม่ว่ากรณีใดๆทั้งสิ้น อีกทั้งห้ามมิให้ตัดแปลงเนื้อหา และต้องอ้างอิงถึงเจ้าของเอกสารทุกครั้งที่มีการนำไปใช้

แทนได้โดยการคอนโวลูชันของภาพ กับช่องหน้าต่างของฟังก์ชันน้ำหนัก (weighting function) ดังตัวอย่าง  $D_{d_1, d_2}(i)$  ในสมการ 2.6 สามารถเขียนได้ใหม่ดังนี้

$$D_{d_1, d_2}(i) = \sum_{k=-d_2}^{d_2} \{f(i+k)w(k)\} / (d_2 - d_1 + 1) \tag{2.14}$$

ซึ่ง

$$w(k) = \begin{cases} -1 & -d_2 \leq k \leq -d_1 \\ 0 & -d_1 < k < d_1 \\ 1 & d_1 \leq k \leq d_2 \end{cases} \tag{2.15}$$

2.3.5 การหาขอบในสองมิติ<sup>[17]</sup>

ถ้าทิศทางของขอบภาพไม่อาจคาดหมายทิศทางได้ วิธีการหาขอบแบบสองมิติจะถูกนำมาเพื่อหาเส้นของขอบภาพในทุกทิศทาง จุดของภาพที่อยู่ข้างเคียงถูกนำมาว่าจุดใดเป็นบริเวณขอบหรือไม่ ค่าของจุดข้างเคียงเหล่านั้นขึ้นอยู่กับช่องหน้าต่างในการกระทำ โดยทั่วไปช่องหน้าต่างที่มีขนาดเล็กจะพิจารณาความละเอียดได้มากกว่าและการคำนวณย่อมง่ายกว่าด้วย

เมื่อ Roberts (1975) ได้พัฒนาโปรแกรมสำหรับจดจำภาพรูปทรงเหลี่ยมหลายหน้า ใช้ช่องหน้าต่างขนาด 2x2 เพื่อหาขอบภาพ (สำหรับฟังก์ชันหนึ่งหน่วย) เป็นการหาความแตกต่างชนิด

A	B	C
D	E	F
G	H	I

รูป 2.19 ค่าความเข้มแสงขนาดช่องหน้าต่างต่าง 3x3

สองมิติ

$$D_2(i, j) = [ \{f(i, j) - f(i+1, j+1)\}^2 + \{f(i+1, j) - f(i, j+1)\}^2 ]^{1/2} \tag{2.16}$$

สมการที่ 2.16 มีค่าเสมือนการหาค่าความชัน  $f(i, j)$  สมการนี้สามารถปรับปรุงจากการใช้ค่าผลบวกของสมการกำลังสองมาเป็นการใช้ผลบวกของค่าสมบูรณ์แทน เพื่อประหยัดเวลาในการคำนวณ

ช่องหน้าต่างที่ใช้เป็นตัวกระทำส่วนมากเป็นขนาด 3x3 เพราะสามารถบรรจุค่าของเอกสารนี้เป็นเอกสารที่สงวนไว้สำหรับการใช้งานเพื่อการศึกษาเท่านั้น ไม่นอนุญาตให้นำไปใช้ประโยชน์ในการค้าไม่ว่ากรณีใดๆทั้งสิ้น อีกทั้งห้ามมิให้ตัดแปลงเนื้อหา และต้องอ้างอิงถึงเจ้าของเอกสารทุกครั้งที่มีการนำไปใช้

จุดภาพโดยรอบได้หมด ดังรูป 2.19 เราสามารถคำนวณค่าความลาดชัน  $G$  ที่จุดภาพใด ๆ จากการคำนวณส่วนของ  $G_x$  และ  $G_y$  จากการคำนวณค่าความเข้มของแสงสว่างจากจุดภาพข้างเคียงดังนี้

$$G_x = (C+2F+I)-(A+2D+G)$$

$$G_y = (A+2B+C)-(G+2H+I) \quad (2.17)$$

$$G = (G_x, G_y)$$

ถ้าค่าขนาดความชัน  $|G|$  มีค่ามาก ทิศทางความชันสูงสุด ( $\alpha$ ) และทิศทางของขอบ

ภาพ (๑) หาได้จาก

$$\alpha = \tan(G_y/G_x)$$

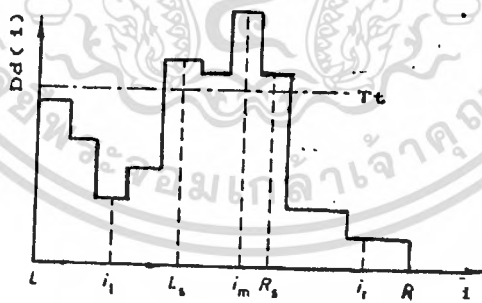
$$\theta = \alpha + \pi/2 \quad (2.18)$$

ซึ่งอาจจะประมาณโดยสมการง่ายขึ้นดังนี้

$$G_x = (C+F+I)-(A+D+G)$$

$$G_y = (A+B+C)-(G+H+I) \quad (2.19)$$

$$|G| = |G_x| + |G_y|$$



รูป 2.20 การพิจารณาขีดเริ่มเปลี่ยนและตำแหน่งของขอบภาพ

สำหรับขอบรูปหลังคาหรือรูปยอดแหลม จุดซึ่งเป็นขอบภาพจะใช้การกระทำแบบ Laplacian วิธีการนี้ใช้กับฟังก์ชันที่มีความต่อเนื่อง  $f(x,y)$

$$\nabla^2 f(x,y) = \partial^2 f(x,y)/\partial x^2 + \partial^2 f(x,y)/\partial y^2 \quad (2.20)$$

เอกสารนี้เป็นเอกสารที่สงวนไว้สำหรับการใช้งานเพื่อการศึกษาเท่านั้น ไม่อนุญาตให้นำไปใช้ประโยชน์ด้านการค้า ไม่ว่ากรณีใดๆทั้งสิ้น อีกทั้งห้ามมิให้ตัดแปลงเนื้อหา และต้องอ้างอิงถึงเจ้าของเอกสารทุกครั้งที่มีการนำไปใช้

สำหรับภาพดิจิทัล วิธีการ Laplacian โดยใช้ช่องหน้าต่างขนาด  $3 \times 3$  และค่าข้างเคียง 4 จุดภาพ ดังนี้

$$DD_2 = (B+D+F+H-4E)/4 \quad (2.21)$$

และใช้ค่าข้างเคียง 8 จุดภาพดังนี้

$$DD_2 = (A+B+C+D+F+G+H+I-8E)/8 \quad (2.22)$$

การหาขอบแบบ 2 มิติเหล่านี้เป็นวิธีการพื้นฐาน ซึ่งวิธีการเหล่านี้จะถูกนำไปประยุกต์ใช้แล้วแต่กรณี และช่องหน้าต่างอาจใช้ขนาดต่าง ๆ ไป เพื่อลดผลอันเกิดจากสัญญาณรบกวน

### 2.3.6 การพิจารณาจุดขอบภาพ<sup>[17]</sup>

จากวิธีการที่ได้อธิบายการหาจุดขอบภาพ ผลลัพธ์ที่ได้จากการกระทำดังกล่าวนั้น ต้องนำมาพิจารณาต่อไปอีก จุดขอบภาพจะมีหรือไม่และถ้ามีจุดขอบภาพเกิดขึ้น จุดเหล่านั้นควรอยู่ที่ใด

วิธีการง่ายที่สุดคือการพิจารณาค่าเทรสไฮลด์ของผลลัพธ์จากการกระทำนั้น ตัวอย่างเช่น ค่า  $D_{1,2}(i)$  ของรูป 2.17 ซึ่งค่าสูงสุดขึ้นอยู่กับภาพ วิธีการนี้มักจะทำการ smooth เสียก่อน เพื่อเป็นการลดผลจากสัญญาณรบกวน อันจะทำให้เกิดค่าสูงมาก ค่าผลลัพธ์ที่ได้จากการหาขอบภาพโดยไม่มี การ smooth จะมีผลกระทบจากลักษณะขั้วลง ดังตัวอย่างจากการหาค่า  $D_d(i)$  ในรูป 2.20 ขอบของภาพชนิดฟังก์ชันหนึ่งหน่วยถูกพิจารณาที่ช่วงระหว่าง  $L, R$

ถ้ามีขอบของภาพเกิดขึ้นจะพิจารณาภายใต้เงื่อนไขต่อไปนี้

1. มีค่าสูงสุดของ  $D_d(i)$  ที่จุด  $i_m$  ซึ่ง  $i_m$  เป็นจุดใด ๆ ที่ไม่ใช่  $L, R$
2. จะต้องมียุทธค่าของ  $D_d(i_m) > T_u$  ซึ่ง  $T_u$  เป็นเทรสไฮลด์ความสูงของภาพที่กำหนดไว้
3. จะต้องมียุทธค่าต่ำสุดของ  $D_d(i)$  ที่  $i=i_1$  ระหว่าง  $L$  กับ  $i_m$  และค่าต่ำสุดของ  $D_d(i)$

ที่  $i=i_r$  ระหว่าง  $i_m$  และ  $R$  ซึ่ง

$$D_d(i_m) - D_d(i_1) > T_r$$

$$D_d(i_m) - D_d(i_r) > T_r$$

(2.23)

ค่า  $T_r$  เป็นค่าเทรสไฮลด์สัมพัทธ์ที่กำหนดไว้

ค่า  $T_u$  มักจะพิจารณาจากคุณลักษณะทั้งหมดของรูปภาพ และค่า  $T_r$  พิจารณาจาก

คุณลักษณะเฉพาะส่วนของภาพ ตัวอย่างเช่น ค่า  $D_d(i_m)$

เอกสารนี้เป็นเอกสารที่สงวนไว้สำหรับการใช้งานเพื่อการศึกษาเท่านั้น ไม่อนุญาตให้นำไปใช้ประโยชน์ด้านการค้า

ไม่ว่ากรณีใดๆทั้งสิ้น อีกทั้งห้ามมิให้ดัดแปลงเนื้อหา และต้องอ้างอิงถึงเจ้าของเอกสารทุกครั้งที่มีการนำไปใช้

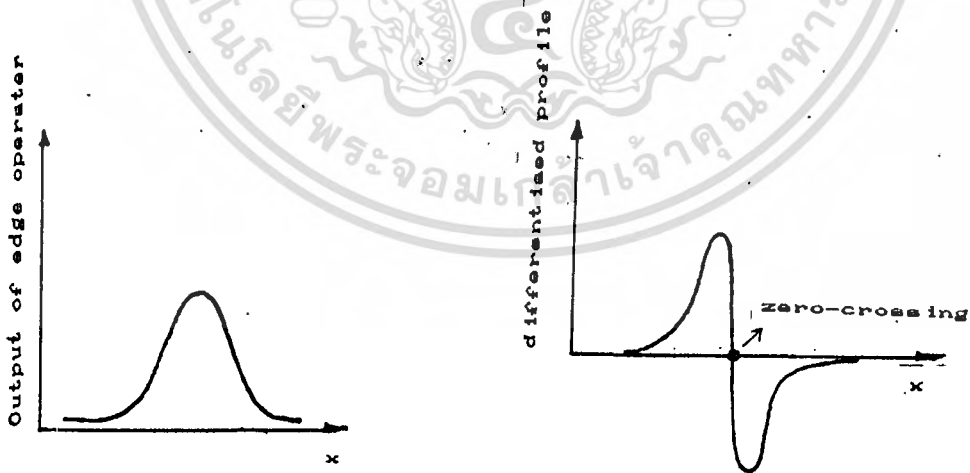
ถ้าเป็นไปได้ตามเงื่อนไขทั้งสาม หมายความว่าเมื่อขอบภาพเกิดขึ้น ส่วนยอดที่ผ่านการทดสอบมักจะมีขอบเขตกว้าง แบนราบ สัญญาณรบกวนเพียงเล็กน้อยอาจทำให้ความกว้างของส่วนบนยอดขอบภาพขยายมากขึ้น ดังนั้นการเก็บค่าของขอบจึงไม่เก็บในรูปค่าการตัดยอด แต่จะเก็บเป็นค่าจุดกลางระหว่างช่วงกว้างของความคมขอบภาพ ที่ขอบซ้าย  $L_u$  และขอบขวา  $R_u$  เป็นค่าที่ใกล้ที่สุดของจุดตัดระหว่าง  $D_u(i)$  และเส้นตามแนวนอนของ  $T_r$  ดังรูป 2.20 ค่า  $T_r$  พิจารณาจากสมการต่อไปนี้

$$T_r = C_1 D_u(i_m) + C_0 \tag{2.24}$$

ซึ่ง  $C_0 (>0)$  และ  $C_1 (0 < C_1 < 1)$  เป็นค่าคงที่

### 2.3.7 การเปลี่ยนแปลงที่ตำแหน่งข้ามศูนย์ (Zero-Crossing)

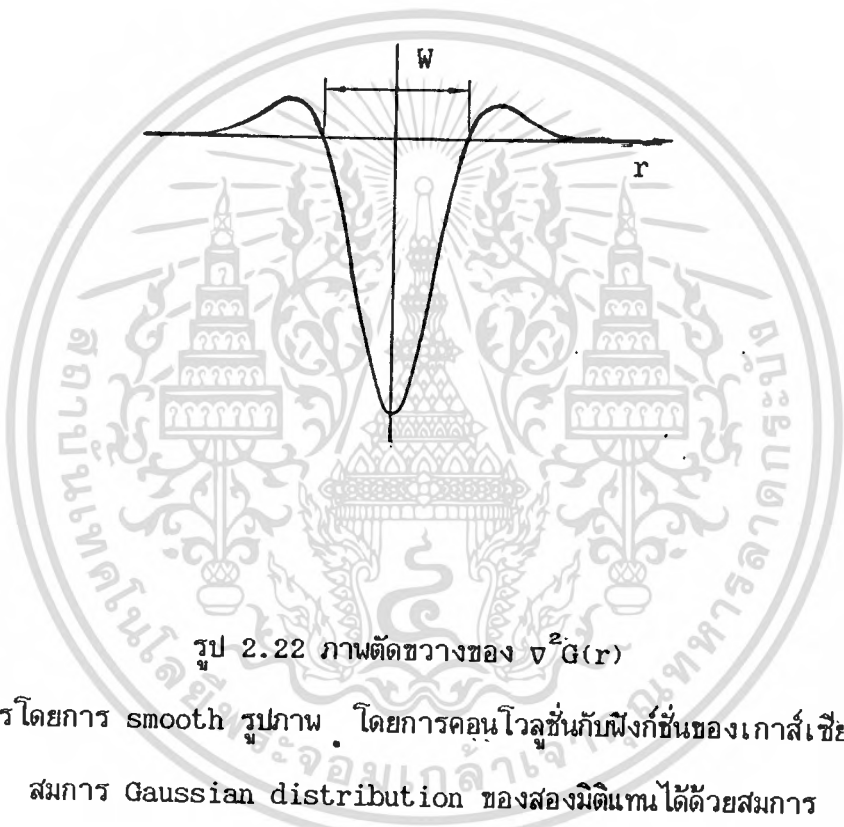
หลักการของการเปลี่ยนแปลงที่ตำแหน่งข้ามศูนย์เป็นการหาค่าลายเส้นความแตกต่างของระดับความเข้มแสงที่ผ่านจุดศูนย์ แทนการหาค่าสูงสุดตามที่ได้อธิบายในหัวข้อที่ผ่านมา การหาขอบภาพในหนึ่งมิติเป็นการหาค่าความแตกต่างของระดับแสง ซึ่งเพิ่มค่าอย่างรวดเร็วทำให้เกิดรูปทรงที่มียอดสูงสุดตรงกลางในอนุพันธ์อันดับแรก และวิธีการเปลี่ยนแปลงที่ตำแหน่งข้ามศูนย์ เป็นการกระทำในอนุพันธ์อันดับสอง ซึ่งเมื่อขยายเป็นระดับแสงในรูปสองมิติ คุณสมบัติดังกล่าวยังคงเป็นจริง



รูป 2.21 การหาขอบภาพจากตำแหน่งข้ามศูนย์

เอกสารนี้เป็นเอกสารที่สงวนไว้สำหรับการใช้งานเพื่อการศึกษาเท่านั้น ไม่อนุญาตให้นำไปใช้ประโยชน์ด้านการค้า ไม่ว่ากรณีใดๆทั้งสิ้น อีกทั้งห้ามมิให้ตัดแปลงเนื้อหา และต้องอ้างอิงถึงเจ้าของเอกสารทุกครั้งที่มีการนำไปใช้

ถึงแม้ว่าสามารถกำหนดหลักการที่เหมาะสมเกี่ยวกับทิศทางของอนุพันธ์ เพื่อประยุกต์ใช้ในรูปภาพได้ แต่ในทางปฏิบัตินั้นเป็นการสิ้นเปลือง เนื่องจากต้องมีการนิยามกลุ่มของการกระทำในแต่ละทิศทาง รวมทั้งการคอนโวลูชันซึ่งสิ้นเปลืองเวลาในการคำนวณมาก การใช้วิธีการกระทำแบบไม่คิดทิศทางเป็นวิธีการหนึ่งที่ลดการคำนวณคอนโวลูชันได้ และวิธีการอนุพันธ์อันดับสองที่ไม่คิดทิศทางคือวิธี Laplacian สามารถนำมาใช้แทนการอนุพันธ์แบบคิดทิศทาง อย่างไรก็ตามในทางปฏิบัติรูปภาพนั้น



รูป 2.22 ภาพตัดขวางของ  $\nabla^2 G(r)$

ควรถูกเตรียมการโดยการ smooth รูปภาพ โดยการคอนโวลูชันกับฟังก์ชันของเกาส์เขียนเสียก่อน สมการ Gaussian distribution ของสองมิติแทนได้ด้วยสมการ

$$G(x,y) = (1/2\pi\sigma^2) \exp(-(x^2+y^2)/2\sigma^2) \tag{2.25}$$

ซึ่ง  $\sigma$  เป็นค่าของความเบี่ยงเบนมาตรฐาน ดังนั้นการกระทำทั้งหมดกับรูปภาพจริงมีรูปแบบดังนี้

$$\nabla^2 [G(x,y)*f(x,y)] = \nabla^2 G(x,y)*f(x,y) \tag{2.26}$$

ค่า  $\nabla^2 G(x,y)$  แทนค่าด้วย

$$\nabla^2 G(r) = \{(r^2-2\sigma^2)/2\pi\sigma^4\} \exp(-r^2/2\sigma^2) \tag{2.27}$$

ซึ่ง  $r = (x^2+y^2)^{1/2}$

ฟังก์ชันที่ได้เป็นฟังก์ชันที่เหมือนกันโดยรอบด้านดังแสดงในรูป 2.22 เส้นผ่าศูนย์กลางของวงกลมส่วนที่เอกสารนี้เป็นเอกสารที่สงวนไว้สำหรับการใช้งานเพื่อการศึกษาเท่านั้น ไม่อนุญาตให้นำไปใช้ประโยชน์ด้านการค้า ไม่ว่ากรณีใดๆทั้งสิ้น อีกทั้งห้ามมิให้ตัดแปลงเนื้อหา และต้องอ้างอิงถึงเจ้าของเอกสารทุกครั้งที่มีการนำไปใช้

เป็นค่าลบในรูปมีค่า

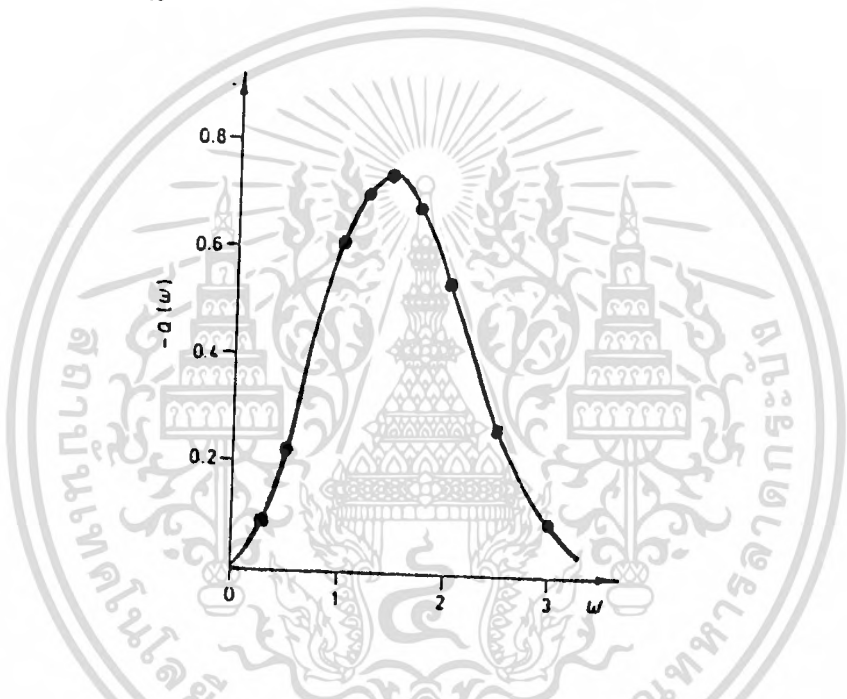
$$w = 2(2\sigma)^{1/2} \tag{2.28}$$

ขนาดของช่องหน้าต่างที่ใช้หาขอบโดยวิธีนี้ กำหนดได้จาก  $w$  หรือ  $\sigma$

คุณลักษณะทางความถี่ของการดำเนินการวิธีนี้ สามารถวิเคราะห์ได้โดยการใช้การแปลงค่าแบบฟูเรียร์ 2 มิติ ในสมการที่ 2.26 จะได้ว่า

$$F\{[\nabla^2 G(x,y)]*f(x,y)\} = F\{\nabla^2 G(x,y)\} F\{f(x,y)\} \tag{2.29}$$

พจน์แรกทางขวามือจะ ได้ดังนี้



รูป 2.23 ฟูเรียร์ทรานฟอร์มของ  $\nabla^2 G$

$$\begin{aligned} F\{\nabla^2 G(x,y)\} &= Q(u,v) = -(u^2+v^2) \exp(-\sigma^2(u^2+v^2)/2) \\ &= -w^2 \exp(-\sigma^2 w^2/2) \end{aligned} \tag{2.30}$$

ซึ่ง  $w^2 = u^2 + v^2$  รูป 2.23 แสดงฟังก์ชัน  $-Q(w)$  จะเห็นว่าการกระทำของสมการเป็นไปในลักษณะของวงจรรองผ่านแถบมีศูนย์กลางความถี่ที่  $w = (2/\sigma)^{1/2}$

ค่าการเปลี่ยนแปลงที่ตำแหน่งข้ามศูนย์ของภาพที่ปราศจากสัญญาณรบกวนจะให้คำตอบสนองตามขอบของภาพนั้น แต่อย่างไรก็ดีการเปลี่ยนแปลงเพียงเล็กน้อยในพื้นที่ผิวเนื้อเดียวกันย่อมทำให้เกิดค่าการเปลี่ยนแปลงที่ตำแหน่งข้ามศูนย์ได้ เพื่อหลีกเลี่ยงผลของการรบกวนดังกล่าวจึงไม่ควรใช้วิธีการนี้กับระดับความเข้มแสงที่มีการเปลี่ยนแปลงน้อย เราสามารถจะตรวจสอบเพื่อเลือกวิธีการหาค่าเอกสารนี้เป็นเอกสารที่สงวนไว้สำหรับการใช้งานเพื่อการศึกษาเท่านั้น ไม่อนุญาตให้นำไปใช้ประโยชน์ด้านการค้าไม่ว่ากรณีใดๆทั้งสิ้น อีกทั้งห้ามมิให้ดัดแปลงเนื้อหา และต้องอ้างอิงถึงเจ้าของเอกสารทุกครั้งที่มีการนำไปใช้

ความแตกต่าง  $f(x,y)$  หรือ  $G(x,y)*f(x,y)$  ได้ ถ้าค่าความแตกต่าง  $f(x,y)$  มีค่าน้อยมาก ในกรณีนี้ไม่ควรใช้วิธีของการเปลี่ยนแปลงตำแหน่งข้ามศูนย์

2.3.8 การติดตามขอบวัตถุโดยใช้หลักการหมุนของเวกเตอร์

การตรวจหาจุดขอบของวัตถุทำได้โดยอาศัยกฎเกณฑ์โดยสรุปดังนี้ เมื่อพบจุดภาพที่ไม่ใช่จุดภาพของวัตถุให้หมุนตัวไปทางซ้ายหนึ่งตำแหน่ง เมื่อพบจุดภาพที่เป็นจุดภาพของวัตถุให้หมุนตัวไปทางขวา



รูป 2.24 การหาจุดภาพโดยวิธีการหมุนซ้ายเมื่อไม่พบวัตถุและหมุนขวาเมื่อพบวัตถุ

หนึ่งตำแหน่งดังรูป 2.24 ด้วยหลักการดังกล่าวทำให้ได้ขอบภาพที่หนาเกินความจำเป็น เมื่อใช้เทคนิคของการหมุนเวกเตอร์ในแบบ 8 ทิศทางโดยใช้ช่องหน้าต่างขนาด 3x3 วางทับไปบนจุดภาพที่เป็นจุดขอบของวัตถุ และเริ่มหมุนซ้ายหรือขวาในทิศทางใดทิศทางหนึ่งเท่านั้น ซึ่งต้องใช้ทิศทางเดียวตลอดกระบวนการทั้งหมด

การใช้ทฤษฎีของคอมพิวเตอร์กราฟิก มาประยุกต์เพื่อกำหนดตำแหน่งของจุดภาพเมื่อได้หมุนไปนั้น เราใช้จากสมการสำหรับการหมุนทวนเข็มนาฬิกาเป็นมุม  $\theta$

$$(x',y') = (x\cos\theta - y\sin\theta, x\sin\theta + y\cos\theta) \tag{2.31}$$

และสมการสำหรับหมุนตามเข็มนาฬิกาเป็นมุม  $\theta$

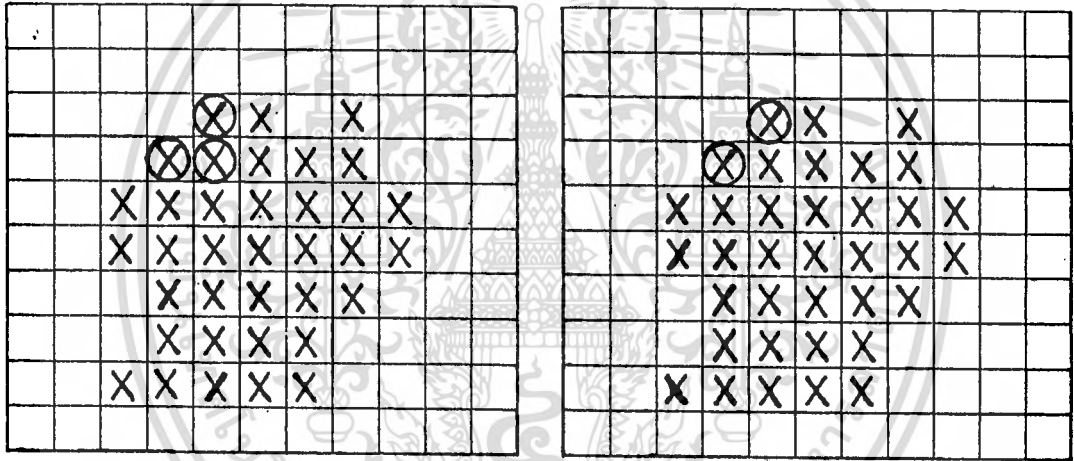
$$(x',y') = (x\cos\theta + y\sin\theta, -x\sin\theta + y\cos\theta) \tag{2.32}$$

โดยที่  $x,y$  เป็นจุดพิกัดเดิมก่อนการหมุนโดยรอบจุดพิกัด  $0,0$  และ  $x',y'$  เป็นจุดพิกัดหลังจากการหมุน เนื่องจากค่าตำแหน่งของช่องหน้าต่างเป็นจำนวนเต็ม และกำหนดพิกัดเฉพาะในตาราง 3x3 เท่านั้น เอกสารนี้เป็นเอกสารที่สงวนไว้สำหรับการใช้งานเพื่อการศึกษาเท่านั้น ไม่นอนุญาตให้นำไปใช้ประโยชน์ในเชิงพาณิชย์อื่นใดทั้งสิ้น อีกทั้งห้ามมิให้ตัดแปลงเนื้อหา และต้องอ้างอิงถึงเจ้าของเอกสารทุกครั้งที่มีการนำไปใช้

ค่าที่อยู่ตรงกลางของช่องตาราง ให้เป็นค่า  $i, j$  ( $i=y, j=x$ ) ดังนั้นเราจะกำหนดตำแหน่งของตาราง  $i', j'$  หลังการหมุนทวนเข็มนาฬิกาได้จากความสัมพันธ์ของเครื่องหมายในสมการที่ 2.31 และการหมุนตามเข็มนาฬิกาของสมการที่ 2.32 และค่า  $i, j$  ที่เปลี่ยนไปมีค่าเพิ่มขึ้นครั้งละ  $\pm 1$  เท่านั้น

การใช้วิธีการหมุนเวกเตอร์ 8 ทิศทางนี้คือการหมุนไปครั้งละ 45 องศาเสมอ ซึ่งอาจสรุปวิธีการได้ดังนี้

1. สแกนหาจุดขอบแรกของวัตถุ
2. กำหนดทิศทางหมุนซ้าย(หรือขวา)
3. ทาบตาราง  $3 \times 3$  โดยให้จุดกลางที่อยู่กับขอบภาพแรก



รูป 2.25 เปรียบเทียบระหว่างวิธีเดิมและวิธีการหมุนเวกเตอร์

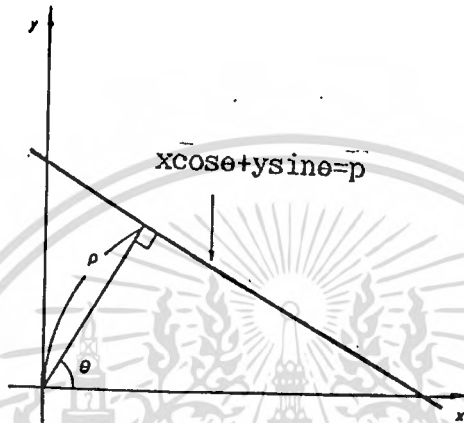
4. ลากเวกเตอร์จากจุดกลางช่องหน้าต่างไปทางซ้าย(หมุนทวนเข็มนาฬิกา 180 องศา)
5. ถ้าตำแหน่งจุดภาพที่หมุนไปไม่ใช่จุดภาพ ให้หมุนทวนเข็มนาฬิกาต่อไปครั้งละ 45 องศา
6. ถ้าหมุนครบ 8 ทิศไม่พบจุดภาพแสดงว่า จุดแรกที่พบนั้นไม่เชื่อมต่อกับจุดภาพใดเลย
7. เมื่อพบจุดภาพให้เลื่อนช่องหน้าต่างมาที่จุดภาพใหม่ ให้จุดกลางช่องทับจุดภาพใหม่พอดี
8. ลากเวกเตอร์จากจุดภาพใหม่กลับไปสู่จุดขอบภาพเดิม (เพื่อหาตำแหน่งเริ่มต้นการหมุน)
9. ใช้จุดขอบภาพใหม่เป็นศูนย์กลางการหมุน ตามช่องหน้าต่างที่วางทาบไว้
10. จากแนวเวกเตอร์ในข้อ 8 หมุนเวกเตอร์ตามข้อ 9 ทวนเข็มนาฬิกาเพิ่มขึ้นต่อไปครั้ง

เอกสารนี้เป็นเอกสารที่สงวนไว้สำหรับการใช้งานเพื่อการศึกษาเท่านั้น ไม่อนุญาตให้นำไปใช้ประโยชน์ด้านการค้า ไม่ว่ากรณีใดๆทั้งสิ้น อีกทั้งห้ามมิให้ตัดแปลงเนื้อหา และต้องอ้างอิงถึงเจ้าของเอกสารทุกครั้งที่มีการนำไปใช้

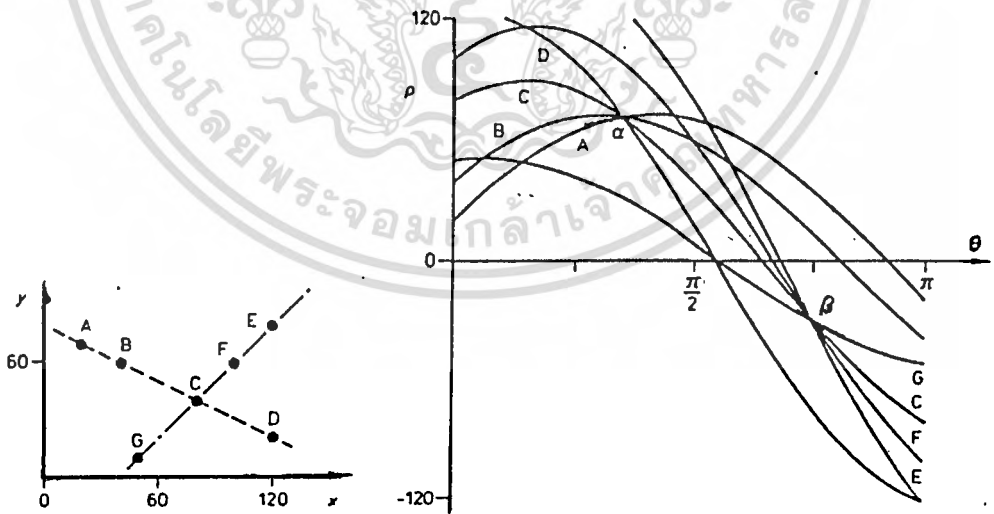
ละ 45 องศาจนกว่าจะพบจุดขอบภาพใหม่ (ถ้าจุดภาพเป็นจุดขอบภาพแรกถือว่าสิ้นสุดการตามขอบภาพ)

11. ทำตามขั้นตอนที่ 7 ถึง 10 ข้างต่อไปจนกว่าจะพบจุดขอบภาพจุดแรก

ผลของวิธีการหมุนเวกเตอร์ตามแนวร่องหน้าต่าง  $3 \times 3$  ทำให้สามารถลดจำนวนจุดของขอบภาพลงได้



รูป 2.26 ความหมายทางเรขาคณิตของสมการเส้นตรง



รูป 2.27 การหาเส้นตรงโดยการใช้การแปลงพารามิเตอร์ของ Hough

จุดภาพบนระนาบ x-y และแนวทางการเดินในมิติของพารามิเตอร์

เอกสารนี้เป็นเอกสารที่สงวนไว้สำหรับการใช้งานเพื่อการศึกษาเท่านั้น ไม่อนุญาตให้นำไปใช้ประโยชน์ด้านการค้า ไม่ว่ากรณีใดๆทั้งสิ้น อีกทั้งห้ามมิให้ดัดแปลงเนื้อหา และต้องอ้างอิงถึงเจ้าของเอกสารทุกครั้งที่มีการนำไปใช้

### 2.3.9 การจัดกลุ่มขอบภาพโดยการแปลงพารามิเตอร์<sup>[17]</sup>

ถ้ามีจำนวนจุดขอบภาพอยู่บนระนาบของรูปภาพ การที่จะแยกจุดของเส้นขอบต่าง ๆ ว่าเป็นเส้นขอบของกลุ่มใด ถ้ากำหนดให้ขอบภาพเป็นเส้นตรงซึ่งมีสมการอยู่ในรูปของพารามิเตอร์ ถ้าจุดขอบภาพเหล่านี้ถูกประมาณด้วยการแปลงค่าไปอยู่ในรูปของพารามิเตอร์อื่น เพื่อจุดประสงค์ในการจัดกลุ่มเส้นขอบ วิธีการแรกคิดโดย Hough สำหรับการหาเส้นตรง ซึ่งต่อมาสามารถขยายวิธีการที่จะหาคุณลักษณะอื่น ๆ เช่น รูปทรงโค้งหรือรูปทรงที่ถูกกำหนดไว้ .

การหาเส้นตรงจากกลุ่มของจุดขอบ โดยไม่อาจกำหนดทิศทาง จึงแทนสมการเส้นตรงด้วย  $y = ax + b$  และต่อมา Duda และ Hart (1972)<sup>[17]</sup> ได้แทนด้วยสมการใหม่ดังนี้

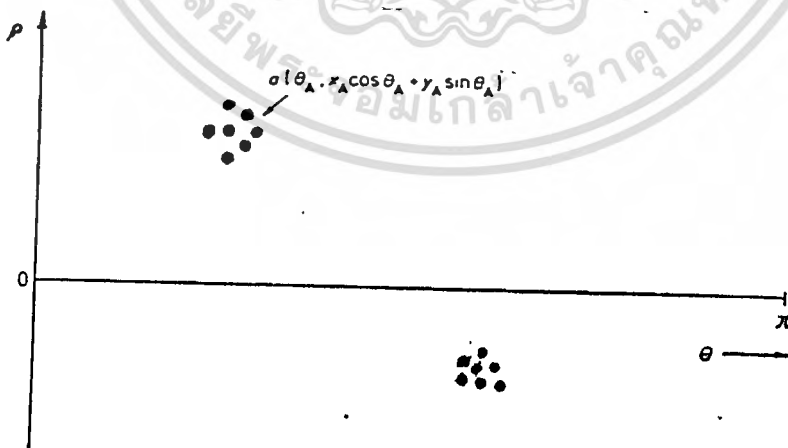
$$x \cos \theta + y \sin \theta = p \quad (2.33)$$

พารามิเตอร์ของสมการใหม่คือ  $\theta$  และ  $p$  ซึ่งเป็นสิ่งที่กำหนดการเปลี่ยนแปลงทิศทางของเส้นตรง ถ้า  $p$  ในสมการ 2.33 เป็นค่าลบได้ ดังนั้นเส้นตรงทุกเส้นถูกแทนค่าด้วย  $p$  และ  $\theta$  ( $0 < \theta < \pi$ )

สมมุติว่าจุดภาพ A อยู่บนระนาบของภาพ เส้นตรงทุกเส้นที่ผ่านจุด A สามารถแทนได้ด้วยสมการ

$$x_A \cos \theta + y_A \sin \theta = p \quad (2.34)$$

ซึ่ง  $(x_A, y_A)$  คือตำแหน่งพิกัดของ A



รูป 2.28 การแปลงขอบภาพโดยวิธีของ Hough ซึ่งรู้จักทิศทาง

เอกสารนี้เป็นเอกสารที่สงวนไว้สำหรับการใช้งานเพื่อการศึกษาเท่านั้น เมื่อนำไปใช้ประโยชน์ด้านการค้าไม่ว่ากรณีใดๆทั้งสิ้น อีกทั้งห้ามมิให้ตัดแปลงเนื้อหา และต้องอ้างอิงถึงเจ้าของเอกสารทุกครั้งที่มีการนำไปใช้

ถ้าเราจะพิจารณาในระบบ 2 มิติบนแกนพารามิเตอร์  $p$  และ  $\theta$  ดังรูป 2.27 เส้นตรงหนึ่งเส้นบนระนาบของภาพ จะถูกแทนด้วยจุดหนึ่งจุดบนแกนมิติของพารามิเตอร์  $p$  และ  $\theta$  และเส้นตรงทุกเส้นที่ผ่านจุด  $A$  จะวางอยู่บนเส้นโค้งรูปช้ายันที่ได้จากสมการ 2.34

สมมติว่า  $A, B, C$  และ  $D$  วางอยู่บนเส้นตรงเดียวกันในภาพ เส้นตรงทุกเส้นที่ผ่านจุดเหล่านี้ จะถูกแปลงในมิติของพารามิเตอร์เป็นเส้นโค้งที่มีความคล้ายคลึงกัน และเส้นโค้งทุกเส้นเหล่านี้จะผ่านที่จุดเดียวกัน (ที่จุด  $\alpha$  ในรูป 2.27) เพื่อเป็นที่สังเกตว่าเป็นเส้นตรงในระนาบของภาพ ส่วนจุดอื่นที่ปรากฏคือ  $\beta$  แทนกลุ่มของจุดซึ่งวางอยู่บนเส้นตรงอีกเส้นหนึ่งบนระนาบภาพ

กลุ่มของจุดบนเส้นตรงเดียวกันอาจไม่ตัดกันที่จุดเดียวกันเนื่องจากการรบกวนหรือผลของการแปลงเป็นสัญญาณดิจิทัลในการคำนวณด้วยคอมพิวเตอร์

วิธีการของ Hough สามารถขยายขอบเขตการวิเคราะห์ทิศทางของขอบภาพ สมมติว่าทิศทางของขอบภาพ  $A$  สามารถรู้ได้ ( $\theta_A$ ) สมการที่ผ่านจุดนี้จะพิจารณาได้เหมือนกันคือ

$$x \cos \theta_A + y \sin \theta_A = x_A \cos \theta_A + y_A \sin \theta_A \quad (2.35)$$

เส้นตรงทั้งเส้นจะถูกแปลงไปเป็น  $a(\theta, x \cos \theta_A + y \sin \theta_A)$  ดังรูป 2.27 ทำให้สามารถจัดกลุ่มได้ง่าย

การประยุกต์ด้านอื่นเช่นการหาขอบเส้นโค้งซึ่งรู้ค่าพารามิเตอร์ สมมติว่าสมการเส้นโค้งนั้นเขียนได้เป็น

$$y = ax^2 + c \quad (2.36)$$

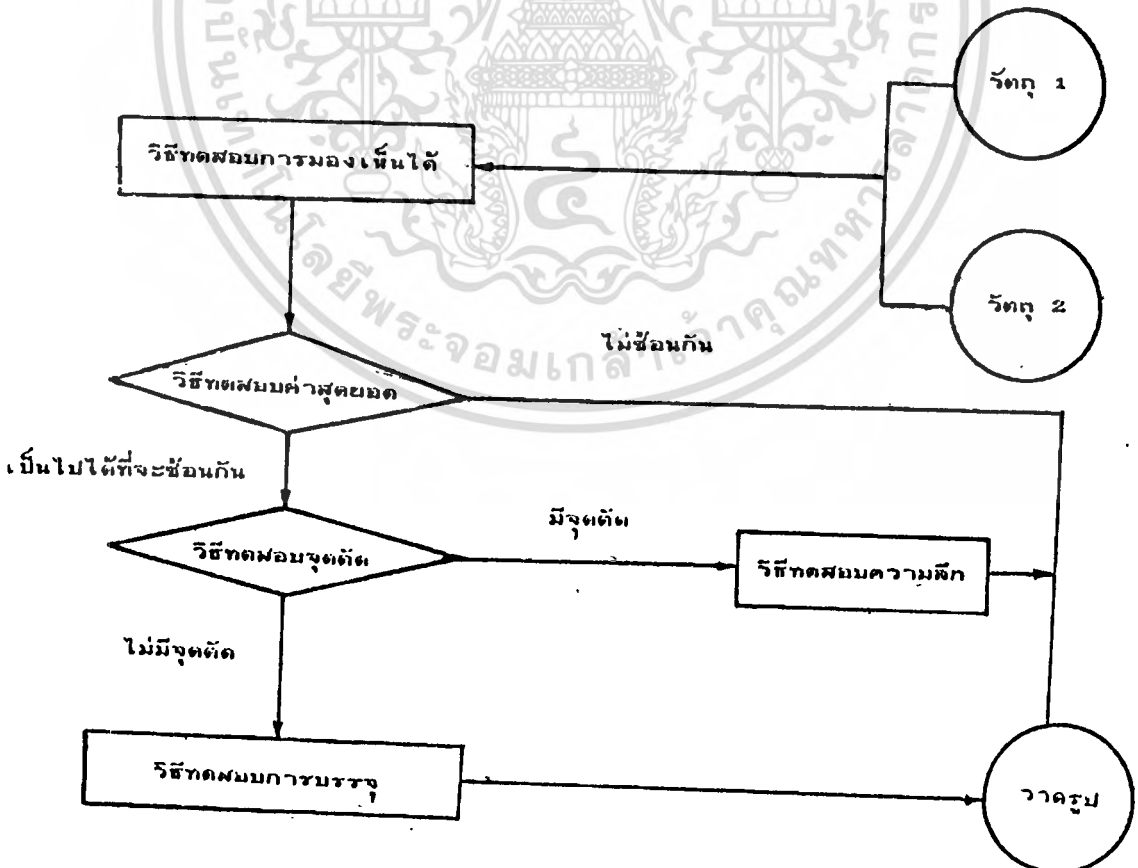
ค่าพารามิเตอร์ใหม่บนแกนมิติ  $a$  และ  $c$  จะต้องกำหนด สำหรับแต่ละจุดของขอบภาพ จะเกิดลายเส้นโค้งบนแกนมิติของพารามิเตอร์

คอมพิวเตอร์กราฟิก

ในการวิเคราะห์ภาพตามธรรมชาตินั้น ต้องคำนึงถึงสภาวะทางฟิสิกส์ เช่น ตำแหน่ง โครงสร้าง สี และรายละเอียดอื่น ๆ ซึ่งปรากฏบนภาพแบบสองมิติ เน้นถึงลักษณะของคอมพิวเตอร์ กราฟิกเกี่ยวกับการเปลี่ยนรูปแบบตามหลักการของเรขาคณิต รวมทั้งส่วนของเส้นต่าง ๆ ประกอบด้วย ส่วนที่ถูกบังไว้จากสายตาและส่วนที่มองเห็นได้ ระดับความเข้มของแสง สัมพันธ์กับสภาพทางเรขาคณิตของรูปทรงวัตถุ ในเบื้องต้นนี้เราพิจารณาถึงรูปแบบของการมองเห็นภาพ ซึ่งง่ายต่อการเข้าใจ

3.1 เส้นขอบของวัตถุในระบบ 3 มิติ<sup>[14]</sup>

การที่จะพิจารณาพื้นผิวของวัตถุหรือส่วนของเส้นต่าง ๆ ที่ปรากฏบนภาพวัตถุ 3 มิติ ว่าส่วนใดเป็นส่วนที่มองเห็นได้ และส่วนใดที่ถูกบังไว้จากการมองจากมุมต่าง ๆ ย่อมเป็นการยากที่จะ คาดคะเนและอาจเกิดการสับสนได้ เมื่อมีรูปวัตถุหรือภาพลายเส้นอยู่แล้ว การที่จะเขียนภาพส่วนอื่น เพิ่มเติม จำเป็นต้องพิจารณาถึงส่วนของวัตถุหรือภาพเหล่านั้นว่ามีส่วนที่ซ้อนกันหรือไม่ กระบวนการดัง



รูป 3.1 แผนภูมิการทดสอบการมองเห็นภาพวัตถุ

เอกสารนี้เป็นเอกสารที่สงวนไว้สำหรับการใช้งานเพื่อการศึกษาเท่านั้น เมื่อผู้ใช้ให้ไปใช้ประโยชน์ด้านการค้า ไม่ว่าจะวิธีใดทั้งสิ้น อีกทั้งห้ามมิให้ดัดแปลงเนื้อหา และต้องอ้างอิงถึงเจ้าของเอกสารทุกครั้งที่มีการนำไปใช้

กล่าวอาจแบ่งได้เป็น 3 ขั้นตอนดังนี้

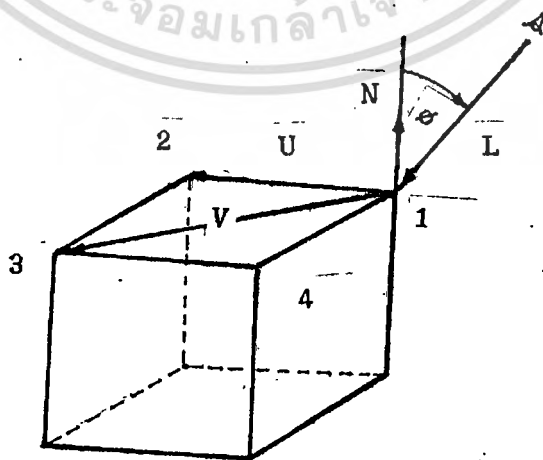
1. ส่วนของบริเวณภาพนั้นสามารถมองเห็นหรือไม่
2. ถ้าเป็นส่วนที่มองเห็นได้ ส่วนดังกล่าวมีการซ่อนหรือบังกันจากจุดมุมมองหรือไม่
3. ถ้าเป็นส่วนที่มีการซ่อนกัน จะต้องพิจารณาหาจุดตัด ทดสอบความลึกของภาพ

และลำดับก่อนหลังของตำแหน่งภาพวัตถุ หากไม่มีจุดตัดเกิดขึ้นจะต้องพิจารณาต่อไปว่ามีภาพวัตถุใดซ่อนอยู่ภายในภาพวัตถุอื่นหรือไม่ หากไม่ปรากฏกรณีเหล่านี้ย่อมหมายความว่าภาพวัตถุทั้งสองไม่มีความสัมพันธ์ใด ๆ ต่อกัน เราสามารถเขียนแผนภูมิแสดงขั้นตอนการทดสอบได้ดังรูปที่ 3.1

### 3.1.1 วิธีทดสอบการมองเห็น

ทำการทดสอบโดยกำหนดให้จุดตำแหน่งการมองเป็นจุด P มีพิกัด  $(D, \theta, \phi)$  และให้รูปสี่เหลี่ยมลูกบาศก์เป็นวัตถุที่จะทำการทดสอบว่ามีผิวหน้าที่มองเห็นจำนวนเท่าใด ให้ศูนย์กลางการมองเป็นจุดยอดที่ 1 และให้มุมจุดยอดต่อไปในทิศทางทวนเข็มนาฬิกาเป็นจุดที่ 2, 3, 4 ตามลำดับ เส้นตรงที่ตั้งฉากกับผิวระนาบที่จุด 1 แทนด้วยเวกเตอร์  $N$  เส้นตรงที่ลากจากจุด P ไปยังจุด 1 แทนด้วยเวกเตอร์  $L$  เส้นตรงที่ลากจากจุด 1 ไปจุด 2 และจุด 1 ไปจุด 3 แทนด้วยเวกเตอร์  $U$  และ  $V$  ตามลำดับมุมเวกเตอร์  $N$  กับ  $L$  แทนด้วยมุม  $\theta$  ซึ่งค่าต่าง ๆ แสดงดังรูปที่ 3.2

เวกเตอร์  $U$  เป็นค่าเวกเตอร์ซึ่งได้จากการใช้ตำแหน่งของจุดปลายลบด้วยจุดเริ่มต้น แทนค่าของเวกเตอร์ด้วย  $(a, b, c)$



รูปที่ 3.2 เวกเตอร์ที่ใช้ในการทดสอบบริเวณที่มองเห็น

เอกสารนี้เป็นเอกสารที่สงวนไว้สำหรับการใช้งานเพื่อการศึกษาเท่านั้น ไม่อนุญาตให้นำไปใช้ประโยชน์ด้านการค้าไม่ว่ากรณีใดๆทั้งสิ้น อีกทั้งห้ามมิให้ตัดแปลงเนื้อหา และต้องอ้างอิงถึงเจ้าของเอกสารทุกครั้งที่มีการนำไปใช้

เวกเตอร์  $V$  แทนค่าด้วย  $(d, e, f)$

ค่าของ  $N$  จะหาได้จาก

$$U \times V = (bf - ce, cd - af, ae - bd) \quad (3.1)$$

ค่าของ  $L$  จะหาได้จาก

$$L = (D \sin \theta \cos \theta, D \sin \theta \sin \theta, D \cos \theta) - (x_1, y_1, z_1) \quad (3.2)$$

ค่า  $x_1, y_1, z_1$  เป็นค่าตำแหน่งของจุด 1

ค่ามุม  $\theta$  หาได้จาก

$$\theta = \arccos \left[ \frac{N \cdot L}{(|N| \cdot |L|)} \right] \quad (3.3)$$

เมื่อ

$$\begin{aligned} N \cdot L &= (\bar{n}_1, \bar{n}_2, \bar{n}_3) \cdot (\bar{l}_1, \bar{l}_2, \bar{l}_3) \\ &= n_1 l_1 + n_2 l_2 + n_3 l_3 \end{aligned}$$

เมื่อ  $|N|$  เป็นความยาวของเวกเตอร์  $N$  และ  $|L|$  เป็นความยาวของเวกเตอร์  $L$  ถ้าผลของการคำนวณได้ค่ามุม  $\theta$  มีค่ามากกว่า  $0$  และไม่เกิน  $90$  องศา หมายความว่าพื้นที่บริเวณนั้นเป็นบริเวณที่ผิวที่สามารคมองเห็นได้ แต่ถ้าผลการคำนวณได้ผลของมุม  $\theta$  น้อยกว่า  $0$  หรือมากกว่า  $90$  องศา พื้นที่นั้นเป็นพื้นผิวที่ถูกบังอยู่ไม่สามารถมองเห็นได้ โดยปกติรูปลูกบาศก์นั้นสามารถมองเห็นได้ถึง 3 ผนังจากจุดกำหนดการมองที่ตำแหน่งหนึ่ง จำนวนผนังซึ่งมองเห็นได้สามารถทดสอบได้จากวิธีการที่ได้อธิบายมาแล้ว

### 3.1.2 ค่าสุดยอดของภาพ

กำหนดภาพวัตถุ  $A$  และ  $B$  เป็นวัตถุที่จะทำการทดสอบ การพิจารณานั้นจะต้องทำการโปรเจกต์ภาพทั้งสองให้อยู่ในระนาบเดียวกัน ค่ามากที่สุด ( $\max$ ) และค่าต่ำสุด ( $\min$ ) ของภาพวัตถุทั้งสองจะถูกนำมาเปรียบเทียบกันตามเงื่อนไขต่อไปนี้

1.  $\max x_A < \min x_B$
2.  $\max x_B < \min x_A$
3.  $\max y_A < \min y_B$
4.  $\max y_B < \min y_A$

โดยที่ค่า  $x_A, x_B$  เป็นค่าตามแนวแกน  $X$  ของวัตถุ  $A$  และ  $B$  ตามลำดับ

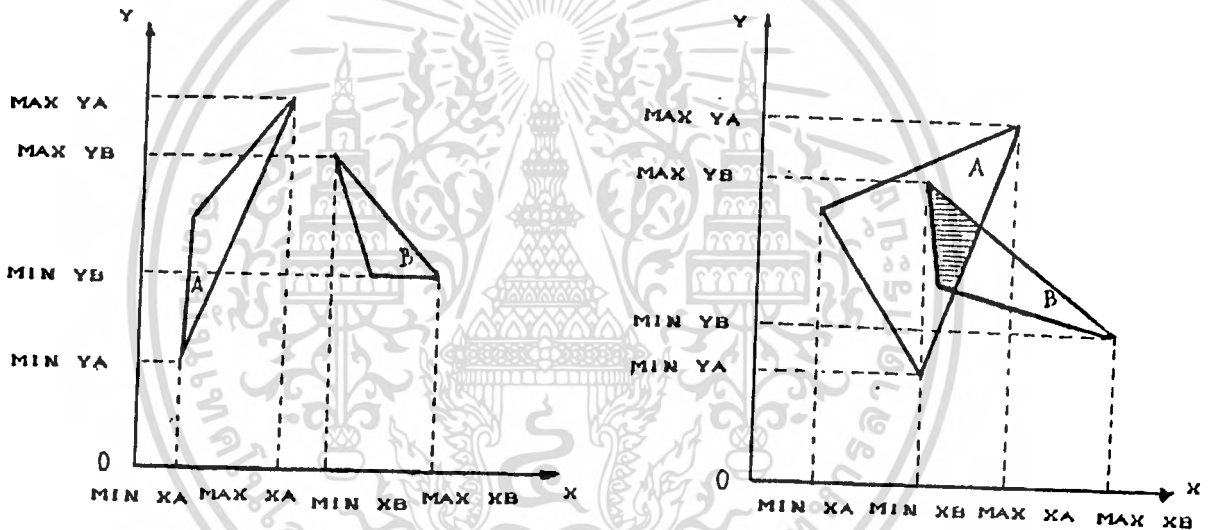
เอกสารนี้เป็นเอกสารที่สงวนไว้สำหรับการใช้งานเพื่อการศึกษาเท่านั้น ไม่อนุญาตให้นำไปใช้ประโยชน์ด้านการค้า ไม่ว่ากรณีใดๆทั้งสิ้น อีกทั้งห้ามมิให้ตัดแปลงเนื้อหา และต้องอ้างอิงถึงเจ้าของเอกสารทุกครั้งที่มีการนำไปใช้

$y_A, y_B$  เป็นค่าตามแนวแกน Y ของวัตถุ A และ B ตามลำดับ

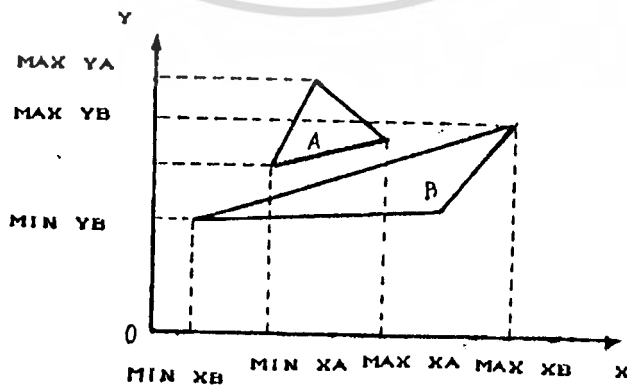
ถ้าค่าการเปรียบเทียบพบว่า เงื่อนไขใดเป็นจริงแสดงว่าภาพวัตถุทั้งสองนั้นไม่ซ้อนกัน แต่ถ้าพบว่ามีสภาวะใดเป็นจริงเลย ย่อมแสดงว่าวัตถุทั้งสองอาจจะซ้อนกัน ซึ่งจะต้องทดสอบในขั้นตอนต่อไป เช่นในบางกรณีแม้ทุกสภาวะของเงื่อนไขไม่เป็นจริง วัตถุทั้งสองไม่ซ้อนกันเลยดังรูป 3.4

3.1.3 จุดตัดของเส้นขอบ

เราสามารถสร้างสมการทางนิพจน์เพื่อหาจุดตัดของเส้นตรงสองเส้นได้โดย ให้เส้นตรง L มีสมการเป็น  $A_1x+B_1y+C_1y$  และสมการของเส้นตรง L' มีสมการเป็น  $A_2x+B_2y+C_2y$



รูป 3.3 การพิจารณาการซ้อนของภาพจากค่าสุดขีด



รูป 3.4 กรณีที่เงื่อนไขการทดสอบไม่เป็นจริงแต่ภาพวัตถุไม่ซ้อนกัน

เอกสารนี้เป็นเอกสารที่สงวนไว้สำหรับการใช้งานเพื่อการศึกษาเท่านั้น ไม่อนุญาตให้เผยแพร่ไปใช้ประโยชน์ด้านการค้าไม่ว่ากรณีใดๆทั้งสิ้น อีกทั้งห้ามมิให้ตัดแปลงเนื้อหา และต้องอ้างอิงถึงเจ้าของเอกสารทุกครั้งที่มีการนำไปใช้

โดยที่  $A_1, B_1, A_2$  และ  $B_2$  มีค่าไม่เท่ากับ 0

พิจารณาค่าความเป็นไปได้ของสมการทั้งสองใน 3 กรณี ดังนี้

1. ถ้า  $A_1B_2 - B_1A_2 = 0$  แล้วเส้นตรงทั้งสองจะขนานกันและไม่มีจุดตัดกัน
2. ถ้า  $A_1/A_2 = B_1/B_2 = C_1/C_2$  แล้ว เส้นตรงทั้งสองเส้นจะเป็นเส้นตรงเดียวกันและจะตัดกันที่อนันต์
3. หากไม่เป็นไปตามสองกรณีแรกแล้ว เส้นตรงทั้งสองเส้นจะตัดกันที่จุด  $(x_1, y_1)$  โดยที่

ค่าของ

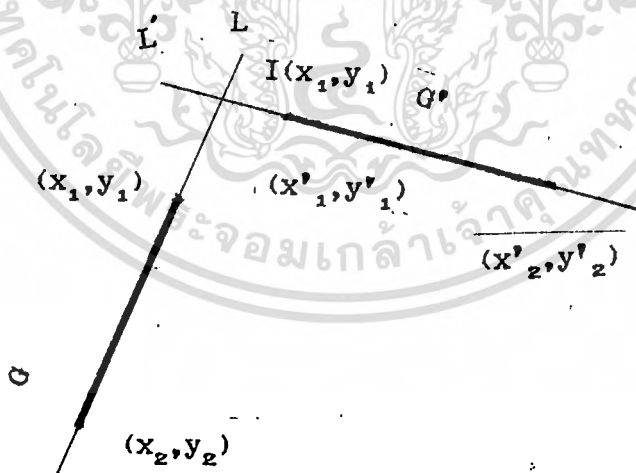
$$x_1 = (B_1C_2 - B_2C_1) / (A_1B_2 - A_2B_1)$$

$$y_1 = (C_1A_2 - C_2A_1) / (A_1B_2 - A_2B_1) \quad (3.4)$$

การหาจุดตัดกันของเส้นตรง จะทำได้โดยสมมติให้  $G$  และ  $G'$  เป็นส่วนของเส้นตรง  $L$  และ  $L'$  เส้นตรง  $G$  และ  $G'$  เป็นเส้นตรงอยู่ในระหว่างพิกัด  $(x_1, y_1)$  กับ  $(x_2, y_2)$  และ พิกัด  $(x'_1, y'_1)$  กับ  $(x'_2, y'_2)$  ตามลำดับ และให้จุดตัดของเส้นตรงตัดกันที่จุด  $I$  มีพิกัดอยู่ที่  $(x_1, y_1)$  ซึ่งเส้นตรง  $G$  และ  $G'$  จะไม่ตัดกันถ้ามีสภาวะดังต่อไปนี้

$$x_1 < A_1, \quad x_1 > B_1, \quad x_1 < C_1, \quad x_1 > D_1$$

$$y_1 < A_2, \quad y_1 > B_2, \quad y_1 < C_2, \quad y_1 > D_2$$



รูป 3.5 จุดตัดของเส้นขอบภาพ

ซึ่ง

$$A_1 = \min(x_1, x_2); \quad B_1 = \max(x_1, x_2); \quad C_1 = \min(x'_1, x'_2); \quad D_1 = \max(x'_1, x'_2)$$

$$A_2 = \min(y_1, y_2); \quad B_2 = \max(y_1, y_2); \quad C_2 = \min(y'_1, y'_2); \quad D_2 = \max(y'_1, y'_2)$$

เอกสารนี้เป็นเอกสารที่สงวนไว้สำหรับการใช้งานเพื่อการศึกษาเท่านั้น ไม่อนุญาตให้นำไปใช้ประโยชน์ด้านการค้า ไม่ว่ากรณีใดๆทั้งสิ้น อีกทั้งห้ามมิให้ตัดแปลงเนื้อหา และต้องอ้างอิงถึงเจ้าของเอกสารทุกครั้งที่มีการนำไปใช้

นอกจากสภาวะดังกล่าวนี้ ส่วนของเส้นตรง  $G$  และ  $G'$  จะตัดกันที่จุด  $I(x_1, y_1)$  ดังรูป 3.5

เราไม่ได้พิจารณาแต่เพียงว่าเส้นขอบของรูปเหลี่ยมทั้งสองตัดกันหรือไม่ แต่ย่อมต้องพิจารณาหาตำแหน่งของจุดซึ่งเส้นขอบทั้งสองตัดกันด้วย เส้นขอบของภาพรูปเหลี่ยมทั้งสองนั้น เราหาได้จากตำแหน่งของจุดปลายทั้งสองของขอบภาพ หรือเป็นยอดเหลี่ยมของภาพวัตถุนั้น ถ้าจุด  $(x_1, y_1)$  และ  $(x_2, y_2)$  เป็นจุดปลายของเส้นขอบบนรูปเหลี่ยม  $A$  สมการเส้นตรงของเส้นขอบนี้เขียนได้เป็น

$$y = y_1 + m(x - x_1)$$

ซึ่ง 
$$m = (y_2 - y_1) / (x_2 - x_1) \quad (3.5)$$

ในทำนองเดียวกัน 
$$m' = (y'_2 - y'_1) / (x'_2 - x'_1) \quad (3.6)$$

เพื่อที่จะหาค่าตัดกันของจุดตัดกันของเส้นขอบของรูปเหลี่ยมทั้งสองเป็นขั้นตอนดังนี้

**ขั้นตอน 1** คำนวณหาค่า  $m' - m$  ถ้าค่า  $m' - m = 0$  ดังนั้นเส้นขอบทั้งสองเส้นจะขนานกัน และให้ข้ามไปยังขั้นตอนที่ 5 ส่วนกรณีอื่นให้ทำขั้นตอนที่ 2 ต่อไป

**ขั้นตอน 2** ถ้า  $m/m' = 1 = (y_1 - mx_1) / (y'_1 - m'x'_1)$  แสดงว่าเส้นตรงทั้งสองทับกัน ให้ไปทำในขั้นตอนที่ 5 ถ้ากรณีอื่นไปทำขั้นตอน 3

**ขั้นตอน 3** คำนวณหาจุดตัดจากสมการ

$$\begin{aligned} x_1 &= [(y_1 - y'_1) - (mx_1 - m'x'_1)] / (m' - m) \\ y_1 &= [(y_1 - mx_1)m' - (y'_1 - m'x'_1)m] / (m' - m) \end{aligned} \quad (3.7)$$

**ขั้นตอน 4** ใช้เงื่อนไขดังที่อธิบายมาแล้วพิจารณาว่า เส้นขอบทั้งสองได้ตัดกันที่จุด  $I(x_1, y_1)$

**ขั้นตอน 5** เลือกเส้นขอบเส้นอื่นของรูปเหลี่ยม  $B$  และทำกระบวนการซ้ำเช่นเดิมจนครบทุกเส้นขอบของการเปรียบเทียบรูปเหลี่ยมทั้งสอง จึงเสร็จสิ้นกระบวนการหาจุดตัด

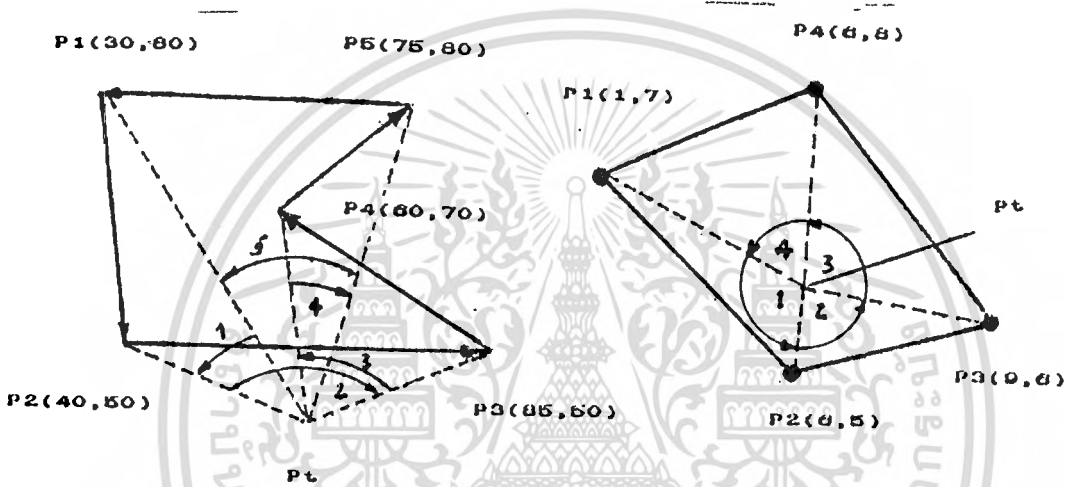
#### 3.1.4 บริเวณภาพซึ่งบรรจุในภาพอื่น

เมื่อไม่มีจุดตัดกันระหว่างรูปเหลี่ยมสองรูป ย่อมหมายถึงรูปใดรูปหนึ่งบรรจุอยู่ภายในอีกรูปหนึ่ง หรือมีฉะนั้นรูปเหลี่ยมทั้งสองไม่มีส่วนซ้อนกันเลย เพื่อจะแยกสองกรณีให้เห็นชัดเจน จะต้องทดสอบยอดมุมต่าง ๆ ของรูปเหลี่ยมรูปซึ่งซ้อนอยู่ในรูปเหลี่ยมรูปอื่น

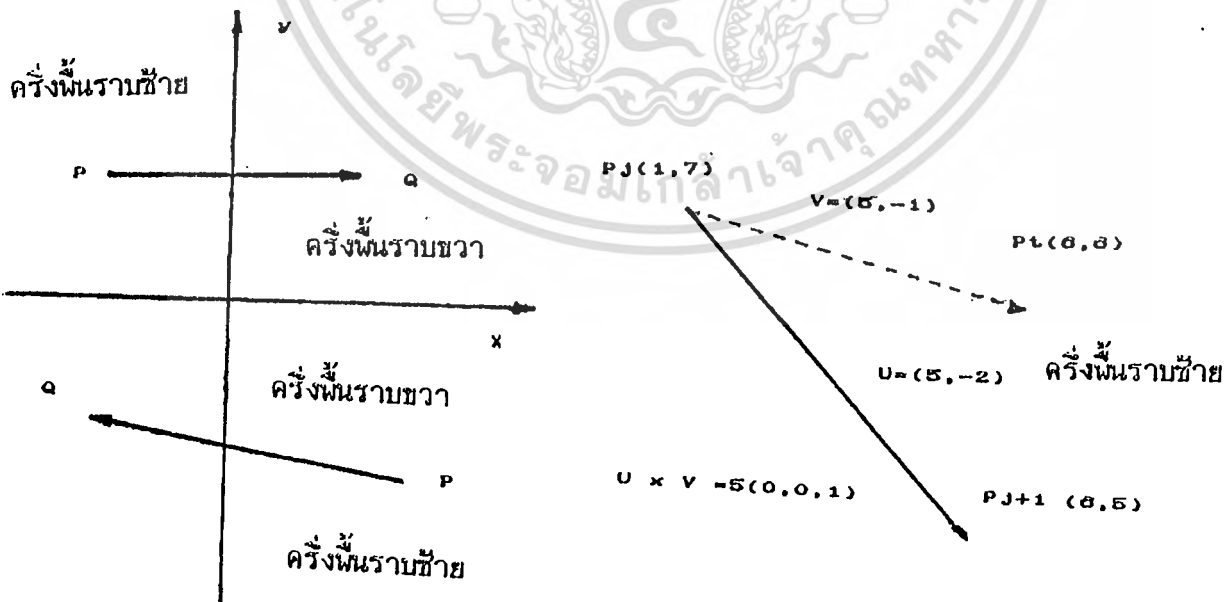
##### 1. ทดสอบโดยคำนวณผลรวมของมุม

เราใช้การรวมค่าจากมุมยอดที่เกิดจากจุดทดสอบซึ่งเป็นยอดเหลี่ยมบนรูปเหลี่ยม  $A$  เอกสารนี้เป็นเอกสารที่สงวนไว้สำหรับการใช้งานเพื่อการศึกษาเท่านั้น ไม่นอนุญาตให้นำไปเผยแพร่โดยไม่ได้รับอนุญาตจากเจ้าของลิขสิทธิ์ หากมีการนำออกไปใช้ไม่ว่ากรณีใดๆ ทั้งสิ้น อีกทั้งห้ามมิให้คัดลอกเนื้อหา และต้องอ้างอิงถึงเจ้าของเอกสารทุกครั้งที่มีการนำไปใช้

ลากไปสู่มุมยอดต่าง ๆ ของรูปเหลี่ยม B กำหนดตำแหน่งของจุดยอดบนรูปเหลี่ยม B ให้เป็นลำดับเรียง  
ทวนเข็มนาฬิกา วัดค่าของมุมจากเส้นต่อมุมยอดแรกบนรูป B กับจุดยอดทดสอบของ A ไปสู่เส้นที่ลาก  
จากจุดที่สองและวัดค่ามุมจากเส้นลากจุดยอดมุมที่สอง (ไปสู่จุดยอดทดสอบ) กับจุดที่ลากจากมุมยอดของ B  
ต่อ ๆ ไป จนกลับมาสู่เส้นแรก ค่ามุมซึ่งทวนเข็มนาฬิกาถือเป็นค่าบวก มุมตามเข็มนาฬิกาเป็นค่าลบ  
ผลรวมของมุมทั้งหมดถ้าเท่ากับ 0 หมายความว่าจุดยอดของ A ซึ่งเป็นจุดทดสอบนั้นอยู่ภายนอกรูปเหลี่ยม  
B แต่ถ้าผลรวมมีค่าเท่ากับ 360 องศา หมายความว่าจุดทดสอบซึ่งเป็นจุดยอดจุดหนึ่งของรูป A อยู่ภายใน  
รูปเหลี่ยม B



รูป 3.6 ทดสอบบริเวณภายในซึ่งถูกบรรจุภายในภาพอื่นโดยผลบวกของมุม



รูป 3.7 ทดสอบบริเวณของภาพที่บรรจุในภาพอื่นโดยวิธีครึ่งนรอบ

เอกสารนี้เป็นเอกสารที่สงวนไว้สำหรับการใช้งานเพื่อการศึกษาเท่านั้น ไม่อนุญาตให้นำไปใช้ประโยชน์ด้านการค้า  
ไม่ว่ากรณีใดๆทั้งสิ้น อีกทั้งห้ามมิให้ตัดแปลงเนื้อหา และต้องอ้างอิงถึงเจ้าของเอกสารทุกครั้งที่มีการนำไปใช้

## 2. ทดสอบโดยวิธีครึ่งนระนาบ

จากการกำหนดหมายเลขตำแหน่งของจุดมุมยอดบนรูปเหลี่ยม เป็นลำดับตามทิศทางทวนเข็มนาฬิกา ทิศทางของเวกเตอร์ลากลูกศรจากหมายเลขน้อยมาสู่หมายเลขมากตามลำดับ และเมื่อถึงค่าสุดท้ายเวกเตอร์จะถูกลากหัวลูกศรกลับเข้าสู่หมายเลขตำแหน่งแรก ดังรูปที่ 3.7 ถ้าเรามองตามทิศทางเวกเตอร์ของเส้นขอบภาพไปตามทิศทางหัวลูกศร จะพบว่าถ้าจุดใด ๆ อยู่ทางด้านซ้ายมือของทิศทางลูกศร จุดนั้นจะเป็นจุดซึ่งบรรจุอยู่ภายในรูปเหลี่ยม และถ้าจุดใดอยู่ทางด้านขวามือของทิศทางลูกศร จุดนั้นจะอยู่ภายนอกรูปเหลี่ยมนั้นเสมอ

วิธีการที่จะทดสอบว่าจุดนั้น ๆ อยู่ทางด้านซ้ายหรือด้านขวา ของเวกเตอร์บนเส้นขอบภาพ เราใช้ทฤษฎีของสมการพื้นระนาบมาพิจารณา โดยการหาค่าสมการจากการคูณทางเวกเตอร์ระหว่างเวกเตอร์บนเส้นขอบภาพตามทิศทางจากต้นลูกศรถึงปลายลูกศร ( $u$ ) กับเวกเตอร์ที่ลากจากจุดต้นลูกศรนั้นมายังจุดที่ต้องการทดสอบ ( $v$ ) ผลของการคูณทางเวกเตอร์ (cross product)  $u \times v$  ถ้าได้ผลเป็นบวกแสดงว่าอยู่ทางด้านซ้าย และถ้าผลเป็นค่าลบแสดงว่าจุดทดสอบนั้นอยู่ทางด้านขวาของขอบภาพ

สรุปได้ว่าถ้าจุดทดสอบนั้นอยู่ทางด้านซ้ายของเวกเตอร์บนขอบภาพของรูปเหลี่ยม ในแต่ละด้าน ย่อมหมายความว่าจุดทดสอบนั้นอยู่ภายในบริเวณรูปเหลี่ยมนั้น และจุดทดสอบนั้นจะอยู่ภายนอกบริเวณรูปเหลี่ยม ถ้าอยู่ทางด้านขวามือของเวกเตอร์บนขอบภาพของรูปเหลี่ยมแม้เพียงด้านหนึ่งด้านใดก็ตาม

### 3.1.5 ความลึกของภาพ

การพิจารณาความลึกของภาพนั้น เราจะแปลงจากระบบแกนมิติที่มองด้วยสายตา มาเป็นระบบแกนมิติซึ่งตั้งอยู่กับพื้นระนาบบนจอภาพ

จากสมการของพื้นระนาบ ค่าสัมประสิทธิ์ในสมการสามารถหาได้จากนั้นผิวของรูปเหลี่ยมนั้น และถ้าจุดยอดของรูปเหลี่ยมมีลักษณะไม่เป็นเชิงเส้นร่วมกัน เราสามารถหาค่าเวกเตอร์ซึ่งความสัมพันธ์กับคุณลักษณะของพื้นระนาบนั้นได้ จากจุดยอดสามจุดของรูปเหลี่ยมนั้น การคูณกันทางเวกเตอร์ที่สร้างจากจุดยอดดังกล่าวทำให้สามารถกำหนดค่าสัมประสิทธิ์ของสมการพื้นระนาบ ดังนี้

$$Ax + By + Cz + D = 0 \quad (3.8)$$

เอกสารนี้เป็นเอกสารที่สงวนไว้สำหรับการใช้งานเพื่อการศึกษาเท่านั้น ไม่อนุญาตให้นำไปใช้ประโยชน์ด้านการค้าไม่ว่ากรณีใดๆทั้งสิ้น อีกทั้งห้ามมิให้คัดแปลงเนื้อหา และต้องอ้างอิงถึงเจ้าของเอกสารทุกครั้งที่มีการนำไปใช้

$$\text{ถ้า } u = P1-P2 = (x_2, y_2, z_2) - (x_1, y_1, z_1)$$

$$v = P1-P3 = (x_3, y_3, z_3) - (x_1, y_1, z_1)$$

$$\text{ดังนั้นค่า } A, B, C \text{ คำนวณได้จากสมการ } (A, B, C) = u \times v \quad (3.9)$$

$$A = y_1(z_2 - z_3) + y_2(z_3 - z_1) + y_3(z_1 - z_2),$$

$$B = z_1(x_2 - x_3) + z_2(x_3 - x_1) + z_3(x_1 - x_2),$$

$$C = x_1(y_2 - y_3) + x_2(y_3 - y_1) + x_3(y_1 - y_2),$$

$$\text{และ } D = -Ax_1 - By_1 - Cz_1 \quad (3.10)$$

การพิจารณาลำดับก่อนหลังของภาพวัตถุจากตำแหน่งมองเห็น ใช้การคำนวณสองขั้นตอนย่อมพอเพียง ในการคำนวณแรกก็คือการคำนวณหาจุดตัดของรูปเหลี่ยม ซึ่งอาจมีได้หลายค่าแต่เราใช้เพียงค่าเดียวสำหรับทดสอบความลึก การคำนวณที่สองคือคำนวณหาค่า  $z_u$  ของแต่ละรูปเหลี่ยมที่จุดตัดกันนั้น ตัวอย่างเช่น

กำหนดให้  $(x_1, y_1)$  เป็นจุดตัดบนระบบแกนมิติของจอภาพ

หาค่าสมการนัยระนาบของรูปเหลี่ยมในระบบแกนมิติของจอภาพ

$$a_1 x_u + b_1 y_u + c_1 z_u + d_1 = 0 \text{ สำหรับรูปเหลี่ยมที่ 1}$$

$$a_2 x_u + b_2 y_u + c_2 z_u + d_2 = 0 \text{ สำหรับรูปเหลี่ยมที่ 2}$$

แทนค่า  $x_u = x_1$  และ  $y_u = y_1$  และหาค่า  $z_u$  จากสมการ

เปรียบเทียบค่า  $z_u$  ของทั้งสองรูป ซึ่งค่า  $z_u$  ที่มีค่าน้อยกว่าย่อมอยู่ใกล้กว่า

### 3.2 การจำลองภาพ<sup>[20]</sup>

การจำลองภาพด้วยการใช้ทฤษฎีการมองเห็นแสงบนวัตถุของ Lambert ในขั้นตอนแรกเราต้องพิจารณาลงถึงโครงสร้างใน 3 มิติของวัตถุนั้น แบ่งชิ้นส่วนของวัตถุเป็นส่วนเล็ก ๆ เรียงตามลำดับ และนำส่วนต่าง ๆ เหล่านี้มาคำนวณหาความสว่างที่จะปรากฏในตำแหน่งทิศทางการมองเห็น รวมทั้งพิจารณาสภาวะการมองเห็นได้เนื่องจากการซ้อนกัน หรือบังทิศทางของการมองเห็นบนชิ้นวัตถุนั้น ชิ้นส่วนต่าง ๆ ที่สามารถมองเห็นได้จะถูกนำมาคำนวณ

#### 3.2.1 ความเข้มแสงบนภาพวัตถุ

เมื่อแสงตกกระทบพื้นผิว แสงนั้นอาจถูกดูดกลืน สะท้อน หรือผ่านไปได้ แสงส่วนที่ถูกดูดกลืนจะกลายเป็นความร้อน ส่วนที่เหลือเป็นส่วนที่ทำให้เรามองเห็นวัตถุได้ สิ่งที่ยืนยันว่าพลังงานเอกสารนี้เป็นเอกสารที่สงวนไว้สำหรับการใช้งานเพื่อการศึกษาเท่านั้น ไม่นอนุญาตให้นำไปใช้ประโยชน์ด้านการค้าไม่ว่ากรณีใดๆทั้งสิ้น อีกทั้งห้ามมิให้ดัดแปลงเนื้อหา และต้องอ้างอิงถึงเจ้าของเอกสารทุกครั้งที่มีการนำไปใช้

จะถูกดูดกลืนหรือสะท้อนก็คือความยาวคลื่นของแสง เช่นบนวัตถุซึ่งสามารถดูดกลืนแสงได้ทุกความถี่เท่ากัน ดังนั้นเมื่อมีแสงสีขาวมาตกกระทบ เราจะเห็นวัตถุนั้นเป็นสีขาว ถ้าวัตถุนั้นถูกดูดกลืนแสงได้มาก วัตถุนั้นจะมองเห็นเป็นสีดำ แต่ถ้าวัตถุนั้นสามารถดูดกลืนได้เป็นบางช่วงของความยาวคลื่น วัตถุนั้นจะมองเห็นเป็นสีของความยาวคลื่นที่ไม่ถูกดูดกลืน

คุณสมบัติของการสะท้อนจากพื้นผิวของวัตถุขึ้นอยู่กับส่วนประกอบของ ทิศทาง คุณสมบัติทางเรขาคณิตของแหล่งกำเนิดแสง รูปทรงของวัตถุและคุณสมบัติของพื้นผิววัตถุ แสงที่สะท้อนออกมาจากวัตถุสามารถแบ่งตามคุณสมบัติได้เป็น 2 ชนิดคือ

1. Diffusely Reflected คือแสงส่วนที่ผ่านพื้นผิวของวัตถุมีบางส่วนที่ถูกดูดกลืนและสะท้อนออกมา คุณสมบัติของแสงสะท้อนแบบนี้คือจะสะท้อนออกมาเท่ากันทุกทิศทาง ขึ้นอยู่กับตำแหน่งของผู้สังเกต
2. Specularly Reflected คือแสงที่สะท้อนจากพื้นผิวภายนอกของวัตถุตาม Lambert's cosine law กล่าวคือแสงจากแหล่งกำเนิดที่เป็นจุด เมื่อส่องไปบนวัตถุที่มีการสะท้อนอย่างสมบูรณ์จะทำให้เกิดความเข้มตามสัดส่วนเป็นค่า cosine ของมุมระหว่างทิศทางของแสงกับเส้นตั้งฉากของพื้นผิว

$$I = I_0 * K_d * \cos \theta \quad (3.11)$$

$$0 < K_d < 1, \quad 0 < \theta < \pi/2$$

- เมื่อ
- I คือ ความเข้มของแสงสะท้อน
  - $I_0$  คือ ความเข้มของแสงที่ตกกระทบ
  - $K_d$  คือ ค่าคงที่ Diffuse Reflected ขึ้นอยู่กับชนิดของวัตถุและมีความสัมพันธ์กับความยาวคลื่นของแสง
  - $\theta$  คือ มุมของแสงตกกระทบกับเส้นตั้งฉากของพื้นผิว
- ถ้า  $\theta > \pi/2$  แสดงว่าแหล่งกำเนิดอยู่หลังวัตถุ

ภาพวัตถุที่ทำการ Shading ด้วยวิธีการกำหนดแหล่งกำเนิดแสงเป็นจุดนั้น ปรากฏเป็นภาพที่ไม่กลมกลืน เนื่องจากความเป็นจริงวัตถุได้รับแสงกระจายจากสิ่งแวดล้อม ดังนั้นต้องพิจารณาเอกสารนี้เป็นเอกสารที่สงวนไว้สำหรับการใช้งานเพื่อการศึกษาเท่านั้น ไม่อนุญาตให้นำไปใช้ประโยชน์ด้านการค้า ไม่ว่ากรณีใดๆทั้งสิ้น อีกทั้งห้ามมิให้ดัดแปลงเนื้อหา และต้องอ้างอิงถึงเจ้าของเอกสารทุกครั้งที่มีการนำไปใช้

แสงจากแสงสะท้อนของสิ่งแวดล้อม ดังความสัมพันธ์

$$I = I_u * K_u + I_1 * K_d * \cos \theta \quad (3.12)$$

$$0 < K_u < 1$$

$I_u$  คือ ความเข้มของแสงตกกระทบเนื่องจากการสะท้อนของสิ่งแวดล้อม

$K_u$  คือ ค่าคงที่การสะท้อนของสิ่งแวดล้อม

จากวิธีการข้างบนในกรณีที่วัตถุมีรูปทรงเหมือนกันทุกประการ แต่อยู่ที่ระยะทางต่างกันจะทำให้ได้ความเข้มเท่ากัน ดังนั้นเมื่อวัตถุสองชิ้นอยู่เหลื่อมล้ำกัน เราจะไม่สามารถแยกความแตกต่างได้ ซึ่งในความเป็นจริงความเข้มของแสงจะเป็นปรากฏการณ์กับระยะทางกำลังสอง ถ้าในภาพใช้ระบบ Perspective Transformation ระยะทางระหว่างจุดมองถึงวัตถุสามารถกำหนดให้เป็นค่าคงที่  $d$  แต่อย่างไรก็ตาม เมื่อจุดมองอยู่ใกล้วัตถุ เทอม  $1/d$  จะมีค่าเปลี่ยนแปลงอย่างรวดเร็ว ทำให้ได้ภาพที่มีความเข้มผิดจากความเป็นจริง เราสามารถแก้ไขปัญหานี้ได้โดยใช้กฎ Linear Attenuation ดังนี้

$$I = I_u * K_u + (I_1 * K_d * \cos \theta) / (d+k) \quad (3.13)$$

เมื่อ  $k$  คือ ค่าคงที่ใด ๆ

ค่าความเข้มของแสงที่เกิดจาก Specular Reflected ขึ้นอยู่กับแสงตกกระทบ ความยาวคลื่นของแสงตกกระทบและคุณสมบัติของเนื้อวัตถุ ในกรณีของวัตถุที่มีการสะท้อนโดยสมบูรณ์ เช่น กระจกเงา ค่ามุมของแสงตกกระทบจะเท่าของแสงสะท้อน ดังนั้นผู้สังเกตจะสามารถเห็นวัตถุได้เมื่ออยู่ในระนาบเดียวกับทิศทางสะท้อนของแสง เท่านั้น สำหรับในกรณีที่วัตถุที่มีการสะท้อนอย่างไม่สมบูรณ์ แสงที่สะท้อนมายังผู้สังเกตขึ้นอยู่กับการกระจายในระนาบต่าง ๆ ของ Specular Reflected ค่าการกระจายนี้จะขึ้นอยู่กับการกระจายของวัตถุด้วย คือวัตถุผิวเรียบการกระจายจะเป็นลำรังสีที่แคบ ๆ และในทางกลับกัน เมื่อผิวของวัตถุขรุขระ การกระจายจะมีลักษณะที่แผ่ออกไปไม่จำกัดเป็นลำรังสี

ในทางธรรมชาติความเข้มที่จุดใด ๆ ของวัตถุยังขึ้นอยู่กับแสงสะท้อนจากสิ่งแวดล้อม และ Diffuse Reflection อีก ดังนั้นเมื่อนำผลทั้ง 3 อย่างมารวมกับค่า Specularly Reflected

$$I = I_u * K_u + I_1 * (K_d * \cos \theta + w(i, \lambda) * \cos^n \alpha) / (d+k) \quad (3.14)$$

เอกสารนี้เป็นเอกสารที่สงวนไว้สำหรับการใช้งานเพื่อการศึกษาเท่านั้น เมื่อนักศึกษาได้ใช้ประโยชน์ในการศึกษาไม่ว่ากรณีใดๆทั้งสิ้น อีกทั้งห้ามมิให้ตัดแปลงเนื้อหา และต้องอ้างอิงถึงเจ้าของเอกสารทุกครั้งที่มีการนำไปใช้

ค่า  $w(i, \lambda)$  เป็นความสัมพันธ์ที่ยู่ยากมาก ดังนั้นจากการทดลองสามารถแทนได้ค่าด้วยค่าคงที่  $K_u$

$$I = I_u * K_u + I_1 * (K_d * \cos \theta + K_u * \cos^n \alpha) / (d+k) \tag{3.15}$$

$$\cos \theta = (n.L) / |n||L| = n.L$$

เมื่อ  $n$  และ  $L$  เป็น ยูนิตเวกเตอร์ ของพื้นผิวและทิศทางของแสงตามลำดับ ในทำนองเดียวกัน

$$\cos \alpha = (R.S) / |R||S| = R.S$$

เมื่อ  $R$  และ  $S$  เป็น ยูนิตเวกเตอร์ ของรังสีสะท้อนและทิศทางของผู้สังเกตตามลำดับ ดังนั้นสมการของความเข้มสามารถเขียนสามารถเขียนได้อีกแบบหนึ่ง คือ

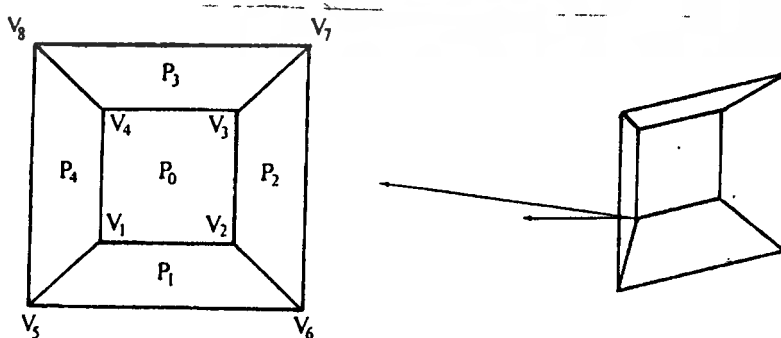
$$I = I_u * K_u + I_1 * [ K_d * (n.L) + K_u * (R.S) ] / (d+k) \tag{3.16}$$

### 3.2.2 การหาทิศทางตั้งฉากของยอดเหลี่ยม

ทิศทางของพื้นผิวหาได้จากลักษณะความโค้งของพื้นผิวในบริเวณนั้น และย่อมหาค่าได้หากมีข้อมูลในภาพวิเคราะห์เพียงพอ สำหรับรูปเหลี่ยมที่สามารถหาค่าสมการของพื้นระนาบที่ประกอบเป็นมุมเหลี่ยมนั้น ก็สามารถนำมาพิจารณาเป็นทิศทางของพื้นผิวตรงยอดเหลี่ยมนั้นได้ ซึ่งทิศทางประมาณของเวกเตอร์ตั้งฉากกับยอดมุมเหลี่ยมดังรูป 3.8 นั้น เขียนได้เป็น

$$nv_1 = (a_0+a_1+a_4)i + (b_0+b_1+b_4)j + (c_0+c_1+c_4)k \tag{3.17}$$

ซึ่ง  $a_0, a_1, a_4, b_0, b_1, b_4, c_0, c_1, c_4$  เป็นสัมประสิทธิ์ของสมการพื้นระนาบของพื้นเหลี่ยม  $P_0, P_1, P_4$  ซึ่งเป็นพื้นระนาบที่ล้อมรอบยอดเหลี่ยม  $V_1$  แต่ถ้าไม่อาจหาสมการของพื้นระนาบ เราหาค่าทิศทางตั้งฉากของยอดเหลี่ยมจากการเฉลี่ยผลคูณทางเวกเตอร์ของเส้นขอบ ซึ่งเส้นขอบนั้นเชื่อมต่อกับยอดเหลี่ยมนั้น ถ้าเราใช้  $V_1$  เป็นตัวอย่าง เราจะเขียนสมการได้เป็น



รูป 3.8 การประมาณพื้นผิวตั้งฉากของยอดมุมเหลี่ยมของวัตถุรูปเหลี่ยม

เอกสารนี้เป็นเอกสารที่สงวนไว้สำหรับการใช้งานเพื่อการศึกษาเท่านั้น ไม่นอนุญาตให้นำไปใช้ประโยชน์ด้านการค้าไม่ว่ากรณีใดๆทั้งสิ้น อีกทั้งห้ามมิให้ตัดแปลงเนื้อหา และต้องอ้างอิงถึงเจ้าของเอกสารทุกครั้งที่มีการนำไปใช้

$$nv_1 = V1V2 \times V1V4 + V1V5 \times V1V2 + V1V4 \times V1V5 \quad (3.18)$$

ซึ่งค่าประมาณที่ได้นั้นขึ้นอยู่กับจำนวนและพื้นที่ของแต่ละรูปเหลี่ยม หรือจำนวนและความยาวของแต่ละเส้นขอบ ผลของความเข้มแสงที่ได้จากการประมาณจึงแตกต่างกันขึ้นอยู่กับวิธีการที่นำไปใช้

### 3.2.3 การคำนวณทิศทางแสงสะท้อน<sup>[20]</sup>

การคำนวณขึ้นอยู่กับเงื่อนไขได้เงื่อนไขว่า เวกเตอร์ทั้งสามของ ทิศทางตั้งฉากพื้นผิว ทิศทางของแสงตกกระทบ และทิศทางของแสงสะท้อน ต้องอยู่บนพื้นระนาบเดียวกัน ซึ่งค่าผลของการคูณเวกเตอร์ dot product ของยูนิตทิศทางตั้งฉากกับยูนิตของแสงและทิศทางแสงสะท้อนจะต้องเป็นค่าที่แสดงว่า มุมของแสงตกกระทบต้องเท่ากับมุมของแสงสะท้อน เราจึงได้เงื่อนไข

$$n \times L = R \times n \quad (3.19)$$

หรือ

$$(n_y L_z - n_z L_y) i + (n_z L_x - L_z n_x) j + (n_x L_y - L_x n_y) k = (n_z R_y - n_y R_z) i + (n_x R_z - n_z R_x) j + (n_y R_x - n_x R_y) k \quad (3.20)$$

ซึ่งจะได้ว่า

$$\begin{aligned} -n_z R_y + n_y R_z &= n_z L_y - n_y L_z \\ n_z R_x & \quad -n_x R_z = n_x L_z - n_z L_x \\ -n_y R_x + n_x R_y &= n_y L_x - n_x L_y \end{aligned} \quad (3.21)$$

จากสมการที่ได้ยังไม่พอเพียง เราจึงใช้เงื่อนไขจากค่ามุมสะท้อนและมุมตกกระทบของแสงยอมเท่ากัน

$$n \cdot L = n \cdot R \quad (3.22)$$

หรือ

$$n_x R_x + n_y R_y + n_z R_z = n_x L_x + n_y L_y + n_z L_z \quad (3.23)$$

ถ้าเรานำมาเขียนเมทริกซ์ในแบบสี่เงื่อนไข และค่าที่ไม่รู้สามค่า คือ  $R_x, R_y, R_z$  คือ

$$\begin{array}{ccc|c|c|c} 0 & -n_z & n_y & R_x & = & n_z L_y - n_y L_z \\ n_z & 0 & -n_x & R_y & = & n_x L_z - n_z L_x \\ -n_y & n_x & 0 & R_z & = & n_y L_x - n_x L_y \\ n_x & n_y & n_z & & & n_x L_x - n_y L_y + n_z L_z \end{array}$$

เอกสารนี้เป็นเอกสารที่สงวนไว้สำหรับการศึกษาเท่านั้น ไม่อนุญาตให้นำไปใช้ประโยชน์ด้านการค้าไม่ว่ากรณีใดๆทั้งสิ้น อีกทั้งห้ามมิให้ตัดแปลงเนื้อหา และต้องอ้างอิงถึงเจ้าของเอกสารทุกครั้งที่มีการนำไปใช้

หรือ

$$[N][R] = [B]$$

เนื่องจาก  $[N]$  ไม่เป็นแมทริกซ์แบบจตุรัส เราจึงใช้วิธีการในการหาคำตอบดังนี้

$$[R] = [ [N]^T [N] ]^{-1} [N]^T [B]$$

จะได้ผลลัพธ์ดังนี้

$$\begin{aligned} R_x &= -L_x + [2n_x(n_x L_x + n_y L_y + n_z L_z)] / (n_x^2 + n_y^2 + n_z^2) \\ R_y &= -L_y + [2n_y(n_x L_x + n_y L_y + n_z L_z)] / (n_x^2 + n_y^2 + n_z^2) \\ R_z &= -L_z + [2n_z(n_x L_x + n_y L_y + n_z L_z)] / (n_x^2 + n_y^2 + n_z^2) \end{aligned} \quad (3.24)$$

### 3.2.4 การเฉลี่ยความเข้มแสงบนภาพวัตถุ <sup>[12]</sup>

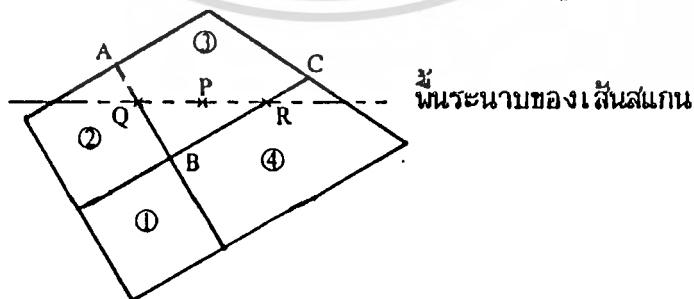
ภาพจำลองสามารถสร้างได้จากค่าความเข้มของแสงที่ตำแหน่งต่าง ๆ ของวัตถุ โดยแบ่งพื้นที่ผิวของวัตถุเป็นรูปเหลี่ยมขนาดเล็กมาประกอบกัน ความเข้มจากการคำนวณจากรูปเหลี่ยมดังกล่าวจะไม่ต่อเนื่องกัน ทำให้ภาพที่ปรากฏไม่เหมือนวัตถุจริง เราต้องเฉลี่ยตามความเข้มของแสงบนรูปเหลี่ยมขนาดเล็กอีกขั้นตอนหนึ่ง ดังรูป 3.9 เป็นการเฉลี่ยแสง โดยวิธี Gouraud Shading จากรูป ในการที่จะหาความเข้มที่ P จำเป็นจะต้องหาความเข้มที่จุด Q และ R ก่อนดังต่อไปนี้

$$I_Q = uI_A + (1-u)I_B \quad (3.25)$$

$$0 < u < 1$$

เมื่อ

$$u = QB / AB$$



รูป 3.9 การเฉลี่ยความเข้มโดยวิธีของ Gouraud

เอกสารนี้เป็นเอกสารที่สงวนไว้สำหรับการใช้งานเพื่อการศึกษาเท่านั้น ไม่อนุญาตให้นำไปใช้ประโยชน์ด้านการค้า ไม่ว่ากรณีใดๆทั้งสิ้น อีกทั้งห้ามมิให้ตัดแปลงเนื้อหา และต้องอ้างอิงถึงเจ้าของเอกสารทุกครั้งที่มีการนำไปใช้

$$I_r = wI_b + (1+w)I_c \quad (3.26)$$

$$0 < w < 1$$

เมื่อ

$$w = RC / BC$$

ในที่สุดจะได้

$$I_p = tI_q + (1-t)I_r \quad (3.27)$$

$$0 < t < 1$$

เมื่อ

$$t = PR / QR$$

จากวิธีการดังกล่าว เราสามารถคำนวณหาความเข้มทุกจุดบนภาพวัตถุได้ จากการใช้วิธีการเฉลี่ยค่าความเข้มแสงแบบ linearly interpolation ตามแนวเส้นสแกน ความเข้มที่ได้ยังไม่สอดคล้องกับลักษณะความโค้งของพื้นผิววัตถุ เนื่องจากการเฉลี่ยของความเข้มแสงที่แท้จริงนั้น ไม่ได้เป็นเชิงเส้นตามแนวเส้นสแกน แต่สัมพันธ์โดยตรงกับเวกเตอร์ตั้งฉากกับพื้นผิวความโค้งของวัตถุนั้น จากวิธีการของ Phong shading ได้แก้ไขการประมาณค่าเฉลี่ยความเข้มแสงได้ดีขึ้น โดยในขั้นตอนแรก เริ่มต้นด้วยการประมาณค่าทิศทางตั้งฉากที่จุดยอดของแต่ละมุมเหลี่ยมเสียก่อน จากนั้นจึงทำการเฉลี่ยค่าเวกเตอร์ของทิศทางตั้งฉากในลักษณะ linearly interpolation ทุกจุดบนภาพวัตถุ เช่นหาค่า Q จากระหว่าง A และ B หาค่า R ระหว่าง B และ C ในที่สุดก็จะได้ค่าทิศทางตั้งฉากที่จุด P จากค่าระหว่าง Q และ R ดังนี้

$$n_q = un_a + (1-u)n_b \quad 0 \leq u \leq 1 \quad (3.28)$$

$$n_r = wn_b + (1-w)n_c \quad 0 \leq w \leq 1 \quad (3.29)$$

$$n_p = tn_q + (1-t)n_r \quad 0 \leq t \leq 1 \quad (3.30)$$

ซึ่งค่า  $u = BQ/AB, w=CR/BC, t=RP/QR$ , จากนั้นเราก็สามารถคำนวณหาค่าเวกเตอร์ตั้งฉากพื้นผิวค่าอื่นได้ต่อไปโดยวิธีที่บรรยายมานี้ทำให้สามารถหาค่าเฉลี่ยได้ทุกตำแหน่งบนพื้นผิวของวัตถุ โดยสัมพันธ์กับความโค้งของพื้นผิววัตถุ จากนั้นจึงนำค่าเวกเตอร์ที่ได้มาคำนวณหาค่าระดับความเข้มแสงบนแต่ละจุดนั้น ค่าความเข้มแสงบนวัตถุซึ่งประมาณด้วยวิธีการนี้จะมีความสิ้นเปลืองเวลาคำนวณมาก แต่ภาพของวัตถุที่จำลองมานั้น จะมีความกลมกลืนสอดคล้องกับลักษณะความโค้งของพื้นผิววัตถุดีขึ้น และมีความเหมือนจริงมากยิ่งขึ้น

## บทที่ 4

## การหารูปทรงจากระดับความเข้มแสง

ในบทนี้บรรยายถึงความสัมพันธ์ระหว่างระดับความเข้มของแสงที่ปรากฏภาพ และรูปร่างของวัตถุนั้น โดยปกติเรายังใช้ประโยชน์จากค่าของความเข้มแสงไม่มากนัก ส่วนใหญ่เพียงแต่เป็นการเปรียบเทียบค่าของความเข้มแสงกับระดับเฉลี่ยของความเข้มแสงในระดับเดียวกัน ซึ่งค่าความเข้มของแสงนั้นสามารถให้ข้อมูลอื่น ๆ โดยเฉพาะในสิ่งที่เกี่ยวกับระดับของพื้นผิวภาพ

การคำนวณหารูปทรงของวัตถุ จากระดับของแสงในภาพ คือการหาระดับความสูงของวัตถุจากระดับของพื้นระนาบที่อยู่เบื้องหลังของวัตถุนั้น หรือกล่าวได้ว่าเป็นการหาระดับของพื้นผิวที่ต้องการจากพื้นผิวอื่น ๆ ข้อมูลที่ปรากฏในแต่ละจุดบนภาพนำมาคำนวณหาระดับพื้นผิวของวัตถุที่ตำแหน่งเดียวกับจุดบนภาพได้ โดยการตั้งสมมติฐานว่าพื้นผิวมีระนาบต่อเนื่องกันไป ซึ่งแตกต่างจากวิธีการของ machine-vision ซึ่งวิเคราะห์ความลึกของพื้นผิวจากลักษณะพื้นผิวที่ไม่ต่อเนื่อง และข้อมูลจากลักษณะที่เป็นขอบเท่านั้น

4.1 ความรู้พื้นฐาน<sup>[3]</sup>

ระดับของแสงที่นำมาพิจารณานั้นพื้นผิวของวัตถุนั้น ถูกจัดอยู่ในรูปแบบของสมการอนุพันธ์อันดับหนึ่งไม่เป็นเชิงเส้น มีจำนวนไม่ทราบค่า 2 จำนวนซึ่งสามารถหาค่าได้โดยใช้วิธีการของ strip expansion

reflectance map แสดงถึงความเกี่ยวเนื่องระหว่างระดับความลึกของพื้นผิวและระดับความเข้มของแสง ใช้กำหนดเป็นค่า gradient space ถ้าเราสมมติให้ภาพที่เกิดขึ้นเป็น orthographic projection และทิศทางการมองภาพขนานกับแกน z รูปทรงของวัตถุแสดงระดับความสูง z ซึ่งวางอยู่ในระนาบ x-y ถ้า p และ q เป็น partial derivative ของ z ดังนี้

$$p = \partial z / \partial x \quad \text{และ} \quad q = \partial z / \partial y \quad (4.1)$$

และระนาบ p-q ในที่นี้ถูกอ้างอิงเป็น gradient space เนื่องจากทุก ๆ ค่าบนระนาบ p-q สัมพันธ์กับความชันของผิว ระยะห่างจากจุดกำเนิดของ gradient space มีค่าเท่ากับความชันของผิว และขณะเดียวกันทิศทางของมันเป็นทิศทางของ steepest ascent

จากการกำหนดแสงที่คงที่ คุณสมบัติการสะท้อนของผิวและคุณลักษณะทางเรขาคณิต เอกสารนี้เป็นเอกสารที่สงวนไว้สำหรับการใช้งานเพื่อการศึกษาเท่านั้น ไม่นอนุญาตให้นำไปใช้โดยไม่ได้รับอนุญาต  
ไม่ว่ากรณีใดๆทั้งสิ้น อีกทั้งห้ามมิให้ตัดแปลงเนื้อหา และต้องอ้างอิงถึงเจ้าของเอกสารทุกครั้งที่มีการนำไปใช้

เป็นแนวทางให้เห็นชัดเจนถึงความสัมพันธ์โดยตรงของระดับความเข้มในภาพไปสู่ระดับความสูงของพื้นผิววัตถุ ถ้าเราหาหลักการสะท้อนของผิววัตถุ ให้เป็นฟังก์ชันของทิศทางของแสง ทิศทางการมองและมุมระหว่างทิศทางทั้งสองได้ ดังนั้นเราสามารถจะวิเคราะห์ความสัมพันธ์ทางทฤษฎีได้ และคำนวณหา reflectance map ได้

reflectance map ใช้อธิบายคุณลักษณะของระดับความเข้มของแสงในภาพ ถ้าค่า  $E(x,y)$  เป็นค่าความเข้มของแสงที่จุดใด ๆ ย่อมเกี่ยวเนื่องไปถึงระดับความลาดชันของพื้นผิวที่จุดนั้นได้ ระดับความเข้มของแสงซึ่งวัดได้จากภาพนำไปสู่การคำนวณหาระดับของพื้นผิวบนวัตถุภายใต้ข้อบังคับซึ่งเรียกว่าสมการ image-irradiance

$$R(p,q) = E(x,y) \quad (4.2)$$

$p, q$  เป็นค่าความลาดชันที่ควรจะเป็นไปได้ และ  $E(x,y)$  คือค่าความเข้มของแสงที่จุด  $(x,y)$  โดยปกติค่าซึ่งวัดได้เพียงค่าเดียวไม่อาจกำหนดค่า  $p$  และ  $q$  ทั้งสองค่าได้ เพียงแต่กำหนดค่าความสัมพันธ์ระหว่างตัวแปร  $p$  และ  $q$  เท่านั้น เรายังต้องการข้อจำกัดอื่นเพิ่มเติมเพื่อให้ได้ค่า  $p$  และ  $q$  ที่ถูกต้อง ดังนั้นจำเป็นต้องตั้งสมมติฐานบางอย่างจากลักษณะของพื้นผิว

#### 4.1.1 ค่าความลาดชันในเชิงคณิตศาสตร์<sup>[3]</sup>

จากสมการ partial differential ที่ได้กล่าวไว้ นำมาแทนที่ด้วยกลุ่มสมการอนุพันธ์ทั่วไปของ  $x, y, z, p$  และ  $q$  ถ้า  $s$  เป็นระยะทางเคลื่อนที่ตามแนว strip

$$dx/ds = R_p \quad \text{และ} \quad dy/ds = R_q$$

$$dz/ds = pR_p + qR_q$$

$$dp/ds = E_x \quad \text{และ} \quad dq/ds = E_y \quad (4.3)$$

ซึ่ง  $R_p$  และ  $R_q$  เป็น partial derivative ของ  $p$  และ  $q$  ตามลำดับ ในขณะที่  $E_x$  และ  $E_y$  เป็น partial derivative ของ  $x, y$  ตามลำดับ

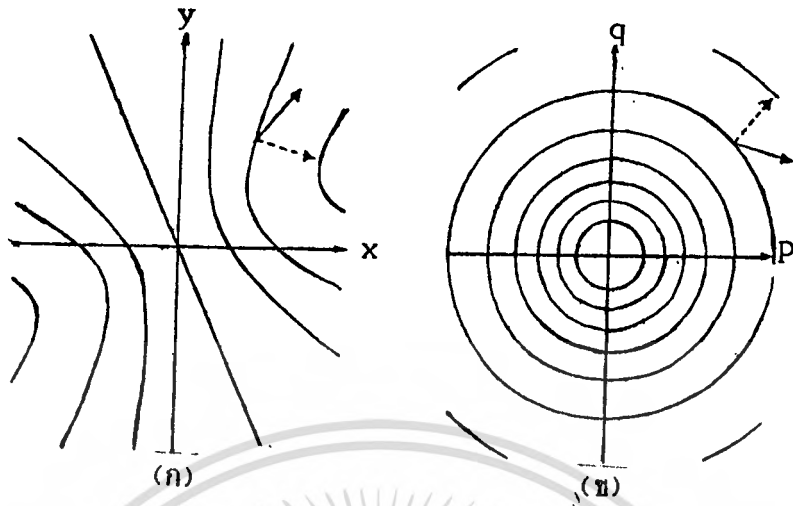
จะเห็นได้ว่าความลาดชัน  $(p, q)$  บนพื้นผิวของวัตถุจะสัมพันธ์กับตำแหน่ง  $(x, y)$  บนภาพ และผลลัพธ์ต่อเนื่องจากจุดนี้หาได้โดยเปลี่ยนค่า  $(x, y)$  ไปเล็กน้อยในทิศทางที่พิจารณาได้จากค่าความลาดชันของ reflectance map ในทำนองเดียวกันทิศทางที่เปลี่ยนค่าไปบน reflectance map

พิจารณาได้จากค่าความชันของระดับความเข้มแสงบนภาพ ดังรูป 4.1

เอกสารนี้เป็นเอกสารที่สงวนไว้สำหรับการใช้งานเพื่อการศึกษาเท่านั้น เมื่อนุญาตให้นำไปใช้ประโยชน์ด้านการค้า

ไม่ว่ากรณีใดๆทั้งสิ้น อีกทั้งห้ามมิให้ตัดแปลงเนื้อหา และต้องอ้างอิงถึงเจ้าของเอกสารทุกครั้งที่มีการนำไปใช้

สิ่งที่สำคัญกล่าวคือค่าต่าง ๆ ที่นำมาคำนวณนั้นถ้ามีความผิดพลาดใดเกิดขึ้น จะทำให้



รูป 4.1 ลักษณะของวิธีการ strip-expansion

รูป (ก) เป็นกลุ่มเส้นทางของแสง รูป (ข) เป็น reflectance map

ผลของ characteristic strip ทิศทางต่างไปจากทิศทางที่ถูกตั้งและเพิ่มมากขึ้นตามลำดับการคำนวณ วิธีการที่ใช้งานของ characteristic strip โดยลดผลของความผิดพลาดนี้คือการตั้งสมมติฐานให้พื้นที่ผิวมีลักษณะต่อเนื่องระหว่าง strip

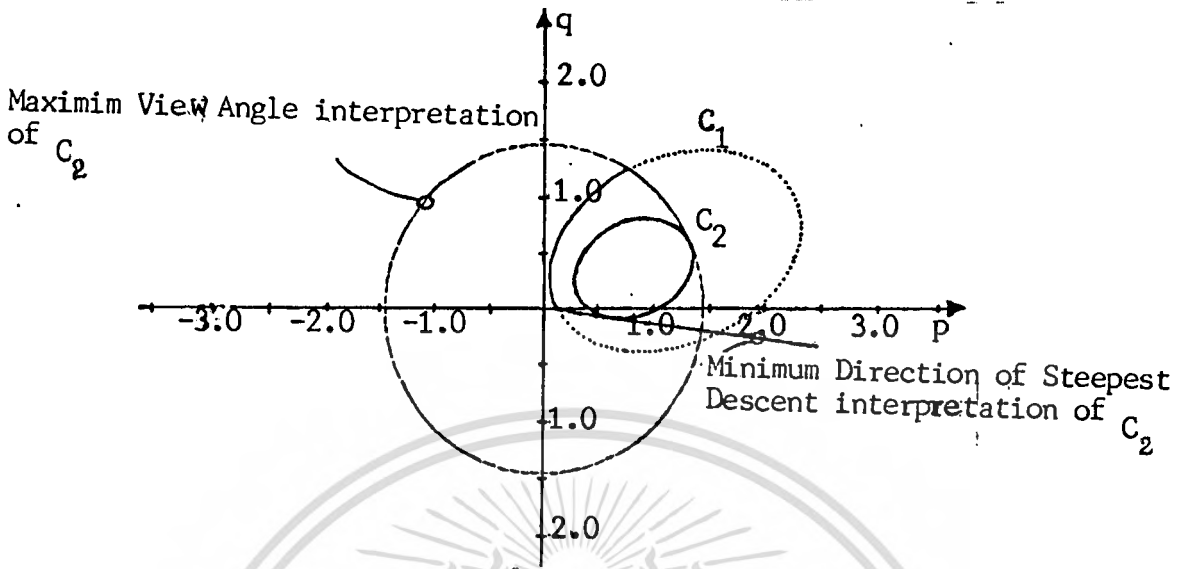
จุดเริ่มต้นของ strip อยู่ใกล้กับตำแหน่งซึ่งเรียกว่า singular point และเริ่มเคลื่อนการคำนวณห่างจากจุดนี้ไป แต่ขั้นตอนสำคัญของ characteristic strip นั้นไม่ได้อยู่ที่ขั้นตอนสุดท้าย ซึ่งปัญหาที่สามารถแก้ไขได้จากข้อมูลบริเวณที่เรียกว่า occluding boundary

การหาลักษณะ 3 มิติจากภาพ 2 มิติ แบ่งออกเป็น 2 วิธีคือ ให้ภาพหลายภาพจากตำแหน่งเดียวกันแต่ทิศทางแสงต่างกัน และใช้ภาพเพียงภาพเดียวร่วมกับการตั้งสมมติฐานเกี่ยวกับธรรมชาติของพื้นผิว

#### 4.1.2 วิธีการคำนวณหารูปทรง.<sup>[3]</sup>

วิธีการแยกคำตอบที่ถูกตั้ง จากค่าที่คำนวณได้ ซึ่งจากวิธีการของ Woodham [Woodham, 1977]<sup>[3]</sup> ได้หาข้อบังคับขึ้น 2 กรณี เช่น จุด P1 และ P2 ที่ตำแหน่ง  $(x_1, y_1)$  และ  $(x_2, y_2)$  ซึ่งอยู่ใกล้กันบนผิวของวัตถุที่เป็นพื้นผิวต่อเนื่องกัน ถ้ากำหนดว่ามุมของการมองระหว่างทิศทางตั้งฉากกับพื้นผิวกับทิศทางการมองมีค่าเพิ่มขึ้น และทิศทางของ steepest ascent มีค่าลดลง ขณะที่เคลื่อนที่จาก P1 ไปยัง P2 กำหนดให้ C1 และ C2 เป็นเส้นแสดงค่าที่เป็นไปได้ของระดับพื้นผิวที่ต่ำ เอกสารนี้เป็นเอกสารที่สงวนไว้สำหรับการใช้งานเพื่อการศึกษาเท่านั้น ไม่นอนุญาตให้นำไปใช้ประโยชน์ด้านการค้า ไม่ว่าจะกรณีใดๆทั้งสิ้น อีกทั้งห้ามมิให้ตัดแปลงเนื้อหา และต้องอ้างอิงถึงเจ้าของเอกสารทุกครั้งที่มีการนำไปใช้

แห่ง  $(x_1, y_1)$  และ  $(x_2, y_2)$  ใน gradient space โดยสัมพันธ์กับ  $R(p, q) = E(x_1, y_1)$  และ



รูป 4.2 ค่าความลาดชันที่เป็นไปได้ของจุด P1 และ P2

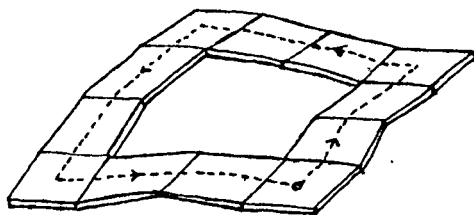
$R(p, q) = E(x_2, y_2)$  ค่า  $R(p, q)$  คือค่า Reflectance map และ  $E(x_1, y_1), E(x_2, y_2)$  เป็นระดับความเข้มที่ตำแหน่ง P1 และ P2 ดังรูป 4.2 เห็นได้ว่าทุก ๆ ค่า  $(p, q)$  ของ P1 อยู่บนเส้น C1 เฉพาะส่วนที่อยู่ในวงกลมที่แสดงค่ามุมการมองสูงสุดของ C2 นอกจากนี้ค่า  $(p, q)$  ของ P1 เป็นค่าอยู่บนเส้น C1 ซึ่งเหนือเส้นแสดงค่าต่ำสุดของ steepest decent ที่ P2

เพื่อให้เป็นไปตามสมมติฐานที่กำหนด ดังนั้นค่า partial derivative อันดับสองของระดับความสูงบนพื้นผิวมีค่าทุกค่าและต่อเนื่องกันค่า partial derivative ของ  $z$  โดยค่า  $x$  และ  $y$  เขียนได้เป็น

$$\partial p / \partial y = \partial^2 z / \partial y \partial x = \partial^2 z / \partial x \partial y = \partial q / \partial x \quad (4.4)$$

ถ้าพื้นที่ติดต่อกันในบริเวณ B ได้ว่า

$$\iint_B (\partial p / \partial y - \partial q / \partial x) = 0 \quad (4.5)$$



รูป 4.3 การ integral วงปิดของ  $(p, q)$

เอกสารนี้เป็นเอกสารที่สงวนไว้สำหรับการใช้งานเพื่อการศึกษาเท่านั้น เมื่อผู้ผู้ใดให้นำไปใช้ประโยชน์ด้านการค้าไม่ว่ากรณีใดๆทั้งสิ้น อีกทั้งห้ามมิให้ตัดแปลงเนื้อหา และต้องอ้างอิงถึงเจ้าของเอกสารทุกครั้งที่มีการนำไปใช้

ค่า integrand เป็นศูนย์ทุกค่า จาก Green's theorem [Hildebrand, 1965]<sup>[3]</sup> ค่า integral ของ  $p, q$  ตามเส้นโค้งปิด (ในขอบเขต  $\partial B$ ) จะมีค่าเป็นศูนย์

$$\int (pdx + qdy) = 0 \quad (4.6)$$

โดยทั่วไป line integral มีค่าแตกต่างกันระหว่างปลายทั้งสองแต่เราได้กำหนดให้อยู่ในพื้นที่ผิวบริเวณเดียวกัน ดังรูป 4.3 ถ้าเราใช้วิธีการทางตัวเลข ซึ่งข้อมูลทุกจุดบนพื้นผิวไม่สมบูรณ์พอ ค่าผลของการ integral ก็ไม่เป็นศูนย์ ดังนั้นจึงต้องพยายามที่จะหาผลของ loop integral โดยที่มีค่าผิดพลาดน้อยที่สุดและเป็นไปตามสมการของ image-irradiance ให้ใกล้เคียงที่สุด จากแนวคิดนี้ Start [Start, 1979]<sup>[3]</sup> และ Brooks [Brooks, 1979]<sup>[3]</sup> ทั้งคู่ได้ติดตามวิธีการนี้ต่อไป โดย Brooks แสดงให้เห็นว่าเขาสามารถหาค่า loop integral เล็ก ๆ บนระนาบของภาพ เขากำหนดค่าสภาพผิวตามควรจะเป็นในทุกจุด แล้วนำมาแยกหาความเป็นจริงโดยเปรียบเทียบกับบรรทัดฐานของ loop integral โดยใช้วิธี relaxation

Start ลดความผิดพลาดในการ integral บนพื้นที่วงปิดเล็ก ๆ และค่าผิดพลาดในสมการ image-irradiance เขาได้ปรับปรุงวิธีการหาที่เหมาะสม แต่มีข้อจำกัดว่าเป็นพื้นที่ของส่วนโค้งที่ปิดเท่านั้น

#### 4.1.3 โฟโตเมตริก สเตอริโอ<sup>[3]</sup>

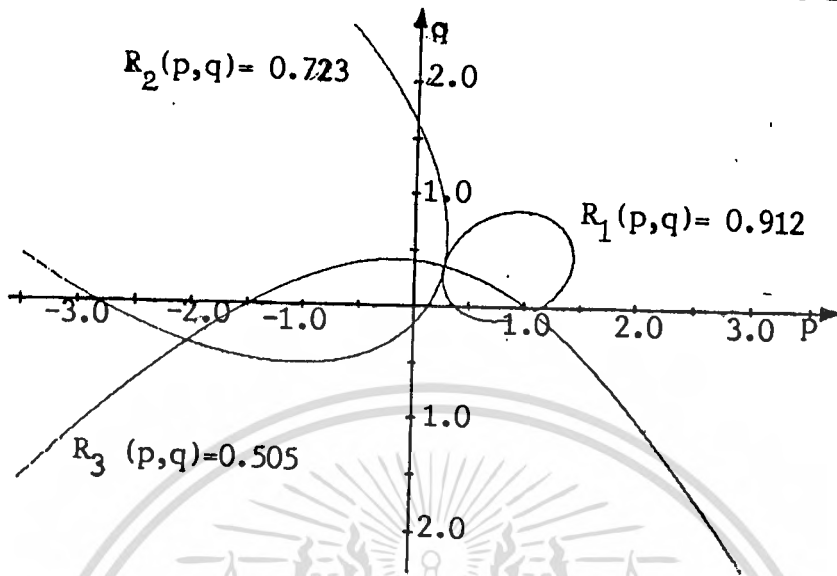
เราได้เพิ่มข้อกำหนดขึ้น โดยการสร้างภาพขึ้นหลายภาพและแต่ละภาพสร้างจากตำแหน่งเดียวกันแต่เปลี่ยนทิศทางของแสง เรียกว่า photometric stereo ทำให้สามารถพิจารณาหาค่าพื้นที่ของผิวได้ และไม่ต้องกำหนดสมมติฐานให้เป็นผิวชนิดต่อเนื่องกัน

เนื่องจากภาพถูกมองจากตำแหน่งเดียวกัน ดังนั้นค่า particular point บนวัตถุปรากฏที่ตำแหน่งเดียวกันทุกภาพ จึงไม่เกิดปัญหาจากลักษณะพื้นผิวเหมือนภาพที่มองจากหลายตำแหน่ง อย่างไรก็ตาม reflectance map ต่างกันไปในแต่ละภาพ เนื่องจากลักษณะของแสงแตกต่างกันไป เมื่อกำหนดจุดใดจุดหนึ่งบนภาพ เราจะได้ค่าของแสงที่ตำแหน่งนั้น  $(x_0, y_0)$  ค่าความสว่างนี้สามารถวัดได้ เราจะได้สมการ 2 สมการ

$$R_1(p, q) = E_1(x_0, y_0) \quad , \quad R_2(p, q) = E_2(x_0, y_0) \quad (4.7)$$

$R_1$  และ  $R_2$  เป็น reflectance map ที่เกิดจากแสงต่างตำแหน่งกัน ขณะที่  $E_i$  ค่าเอกสารนี้เป็นเอกสารที่สงวนไว้สำหรับการใช้งานเพื่อการศึกษาเท่านั้น ไม่นอนุญาตให้นำไปใช้โดยไม่ผ่านการยินยอมจากผู้เกี่ยวข้อง หากต้องการข้อมูลเพิ่มเติม กรุณาติดต่อผู้จัดทำเอกสาร

และ  $E_2$  เป็นค่าความสว่างของแสงจากตำแหน่งผู้สังเกต จุดตัดระหว่างเส้นทางเดินของแต่ละ



รูป 4.4 นิยามลักษณะพื้นผิวของจุดซึ่งกำหนดบนภาพ โดยวิธี photometric stereo ค่าของ gradient space นำไปสู่การค้นหาลักษณะที่ถูกต้องของพื้นผิว ซึ่งเป็นหลักการสำคัญของ photometric stereo จากสมการ nonlinear 2 สมการ เพื่อหาค่าตอบที่ชี้เฉพาะลงไปได้ ดังรูป 4.4

ค่า  $p, q$  หาได้ทุก ๆ จุดบนภาพนำไปสู่การหาค่าของสภาพพื้นผิวในบริเวณนั้น ขณะเดียวกันสามารถแสดงลักษณะรูปทรงของวัตถุและตำแหน่งของวัตถุใน 3 มิติได้

#### 4.2 แนวทางการวิเคราะห์<sup>[31]</sup>

เส้นขอบของเงาซึ่งปรากฏบนพื้นของภาพเรียกว่า silhouette ส่วนต่าง ๆ ของ silhouette สัมพันธ์กับส่วนของผิวที่เป็นขอบหรืออาจเป็นส่วนโค้งของพื้นผิว ส่วนโค้งของพื้นผิวที่ smooth นี้เราเรียกว่า occluding boundary ซึ่งเป็นส่วนที่บ่งบอกลักษณะข้อมูลของพื้นผิวได้อย่างดี อย่างไรก็ตามเราสามารถหาลักษณะของพื้นผิวได้ เพียงพิจารณาจากระดับความเข้มของแสงบนพื้นผิวนั้น โดยใช้ occluding boundary เป็นตัวกำหนดเงื่อนไขจากค่า partial derivative ของระดับความสูงที่บริเวณนั้นมีค่าเป็นอนันต์

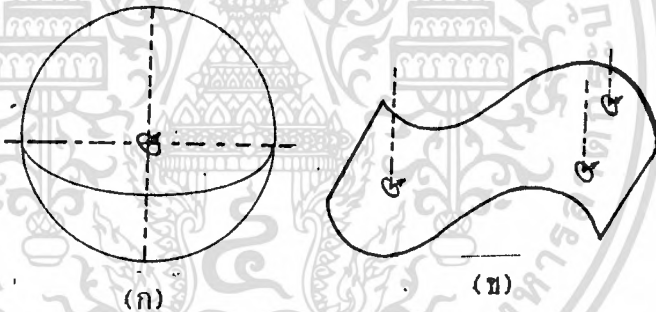
##### 4.2.1 รูปทรงกลมเกาส์เซียนและฟังก์ชัน reflectance

เรากำหนดให้พื้นที่ในสภาวะต่าง ๆ คือตำแหน่งของแต่ละจุดบนรูปทรงกลมมีรัศมีหนึ่ง เอกสารนี้เป็นเอกสารที่สงวนไว้สำหรับการใช้งานเพื่อการศึกษาเท่านั้น ไม่อนุญาตให้นำไปใช้โดยไม่ได้รับอนุญาต ไม่ว่ากรณีใดๆทั้งสิ้น อีกทั้งห้ามมิให้ตัดแปลงเนื้อหา และต้องอ้างอิงถึงเจ้าของเอกสารทุกครั้งที่มีการนำไปใช้

หน่วย ถ้ากำหนดตำแหน่งการมองอยู่ทางซ้ายเหนือของรูปทรงกลมตามแกน  $z$  ซึ่งแกน  $z$  นี้คือเส้นตรงที่ลากผ่านจุดศูนย์กลางสู่ขั้วด้านเหนือสมมุติให้บริเวณพื้นผิวของวัตถุถูกนำไปวางไว้ที่ศูนย์กลางของทรงกลม โดยไม่มีการเปลี่ยนทิศทางใด ๆ พื้นผิวบริเวณนั้นจะหันด้านหน้าสู่จุดใดจุดหนึ่งบนผิวทรงกลม นั่นคือทิศทางตั้งฉากกับพื้นผิวลากผ่านจุด ๆ นั้น พื้นผิวที่อยู่ในแนวอนแกน ได้ด้วยจุดตรงขั้วด้านเหนือของทรงกลมหรือทิศทางตรงไปสู่อำแหน่งการมอง ส่วนพื้นผิวที่ขนานกับทิศทางการมองแทนด้วยจุดบนเส้นศูนย์สูตร และพื้นผิวที่หันด้านกลับออกจากทิศทางการมองแทนด้วยส่วนล่างของรูปทรงกลม

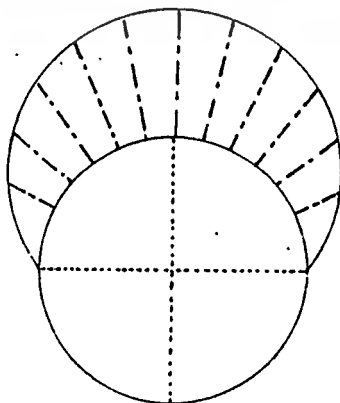
4.2.2 ความสัมพันธ์ระหว่างความสว่างบนพื้นผิวและทรงกลมเกาส์เซียน

ถ้าเราสมมุติให้การโปรเจกของ 3 มิติเป็นแบบขนาน ดังนั้นมุมระหว่างเส้นของการมองและทิศทางของผิวจะเป็นอิสระจากตำแหน่งที่ปรากฏบนวัตถุ จากลักษณะการสะท้อนแสงมันจะเกี่ยวข้องเฉพาะความเอียงของพื้นผิวบริเวณนั้นและแทนได้โดยจุดบนทรงกลมเกาส์เซียน ลักษณะพื้นผิวที่มี



รูป 4.5 บริเวณพื้นผิวเล็ก ๆ ของวัตถุ

(ก) ความลาดชันเดียวกันสัมพันธ์กันจุดเดียวกันบนทรงกลมเกาส์เซียน (ข) พื้นผิวบนวัตถุ



เอกสารนี้เป็นเอกสารที่สงวนไว้สำหรับการใช้งานเพื่อการศึกษาเท่านั้น ไม่อนุญาตให้นำไปใช้ประโยชน์ด้านการค้า  
 รูป 4.6 แสดงค่าความสว่างที่ปรากฏในแต่ละจุดของทรงกลม  
 ไม่ว่าการณีใดๆทั้งสิ้น อีกทั้งห้ามมิให้ดัดแปลงเนื้อหา และต้องอ้างอิงถึงเจ้าของเอกสารทุกครั้งที่มีการนำไปใช้

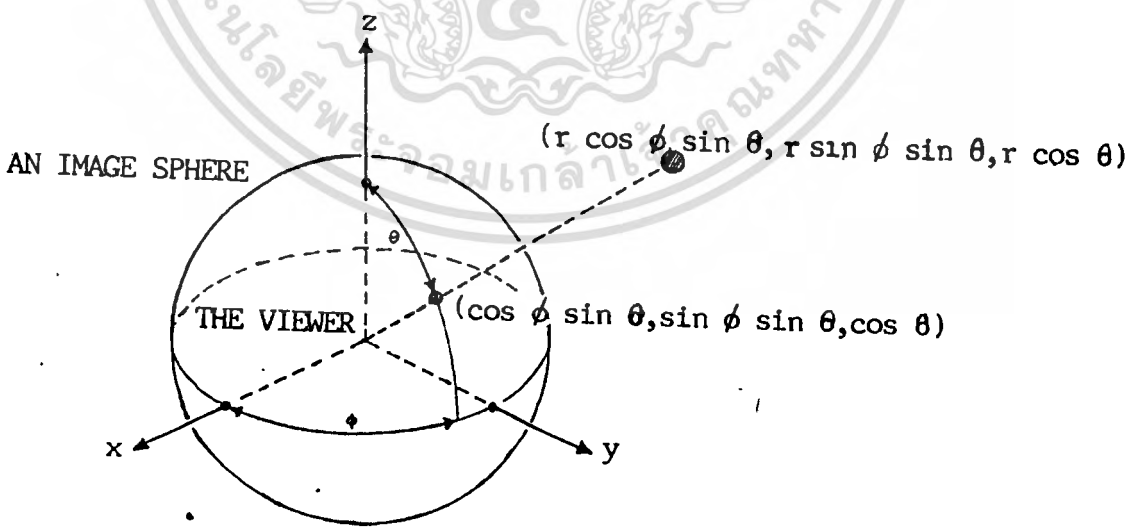
ความลาดเอียงคล้ายกัน จะสัมพันธ์กับจุดเพียงจุดเดียวบนทรงกลม และไม่เกี่ยวข้องกับตำแหน่งใน space ดังรูป 4.5

ความเข้มของแสงบนพื้นผิวขึ้นอยู่กับชนิดของผิววัตถุ และการสะท้อนตามหลักเรขาคณิต มุมระหว่างทิศทางการมองเห็นและทิศทางของพื้นผิวรวมทั้งแสงตกกระทบ เนื่องจากแต่ละจุดบนทรงกลมเกาส์เซียน สามารถอธิบายเป็นค่าเฉพาะทางเรขาคณิตเพียงค่าใดค่าหนึ่งซึ่งสัมพันธ์กัน เราจึงได้ค่าระดับความเข้มเพียงค่าเดียวบนพื้นผิวของมัน ตัวอย่างเช่น บริเวณพื้นผิวที่ตั้งฉากกับทิศทางการมองเห็นจะได้ค่าระดับความเข้มค่าหนึ่งเสมอ ในสภาวะนี้เรากำหนดค่าที่ขั้วด้านเหนือ และด้วยวิธีการเดียวกัน เราจึงกำหนดค่าทุกค่าบนทรงกลมเกาส์เซียนได้ แสดงในรูป 4.6

4.3 การโปรเจกต์แบบทรงกลม

เราใช้การโปรเจกต์แบบทรงกลมเป็นหลักในการพิจารณาระบบในการมองภาพ โดยกำหนดให้ผู้สังเกตอยู่ที่ศูนย์กลางของทรงกลม ลายเส้นต่าง ๆ ของภาพถูกโปรเจกต์ลงบนผิวของทรงกลมผ่านศูนย์กลางเดียวกัน ทิศทางการมองคือรัศมีของทรงกลม ดังรูป 4.7

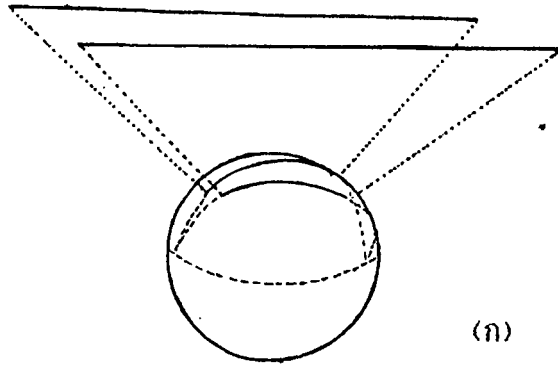
ถ้าให้จุดอยู่ที่ตำแหน่ง  $(r \cos(\phi) \sin(\theta), r \sin(\phi) \sin(\theta), r \cos(\theta))$  ซึ่ง  $r$  คือระยะทางระหว่างจุดและผู้สังเกต มุม  $\theta$  และ  $\phi$  เป็นมุมเปรียบเทียบกับขอดของทรงกลมและแนวแกนศูนย์สูตรตามลำดับ เพื่อให้ง่ายต่อการเข้าใจเราถือว่าภาพอยู่ด้านหน้าของผู้สังเกตและจุดนั้นถูกโปร



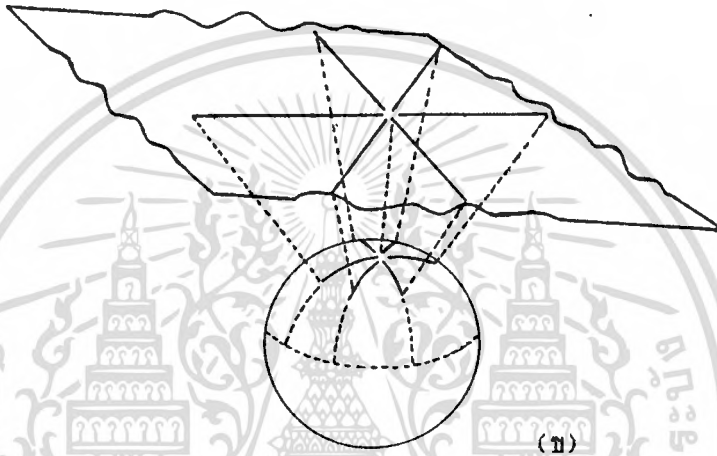
รูป 4.7 แสดง image sphere

ซึ่งเส้นทางเดินต่าง ๆ เกิดจากโปรเจกต์ภาพผ่านศูนย์กลางลงบนผิวทรงกลม

เอกสารนี้เป็นเอกสารที่สงวนไว้สำหรับการใช้งานเพื่อการศึกษาเท่านั้น ไม่อนุญาตให้นำไปใช้ประโยชน์ด้านการค้า ไม่ว่ากรณีใดๆทั้งสิ้น อีกทั้งห้ามมิให้ตัดแปลงเนื้อหา และต้องอ้างอิงถึงเจ้าของเอกสารทุกครั้งที่มีการนำไปใช้



(ก)



(ข)

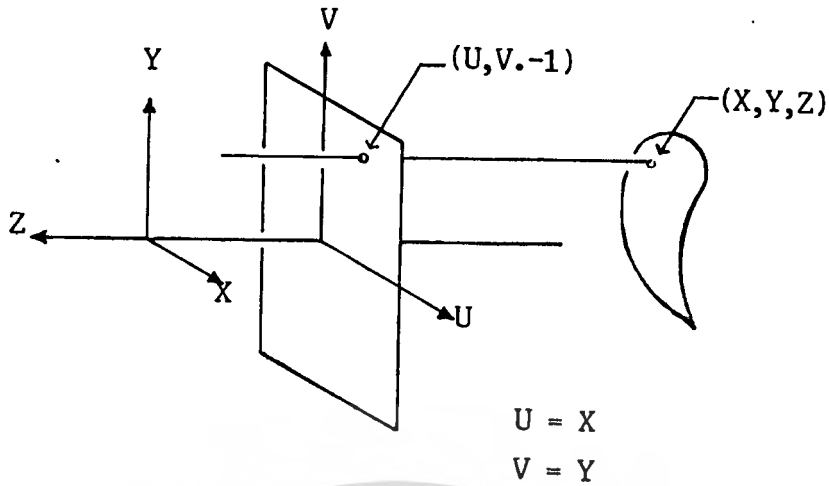
รูป 4.8 คุณลักษณะของการโปรเจคแบบ spherical perspective

จุดที่  $(\cos(\theta) \sin(\phi), \sin(\theta) \sin(\phi), \cos(\phi))$  ดังนั้นเส้นตรงที่มีความยาวอนันต์ย่อมถูกโปรเจคลงเป็นเส้นวงกลมขนาดใหญ่ ดังรูป 4.8(ก) ซึ่งเส้นวงกลมนั้นผ่านจุดรวมกันของเส้นสองจุด เส้นตรงสองเส้นที่ยาวอนันต์เกิดเส้นวงกลมสองวงตัดกันที่จุดรวมของเส้น และระนาบที่มีขนาดอนันต์สามารถโปรเจคคลุมซีกด้านบนของทรงกลม ทิศทางตั้งฉากของระนาบจะผ่านศูนย์กลางของซีกโลกดังรูป 4.8(ข)

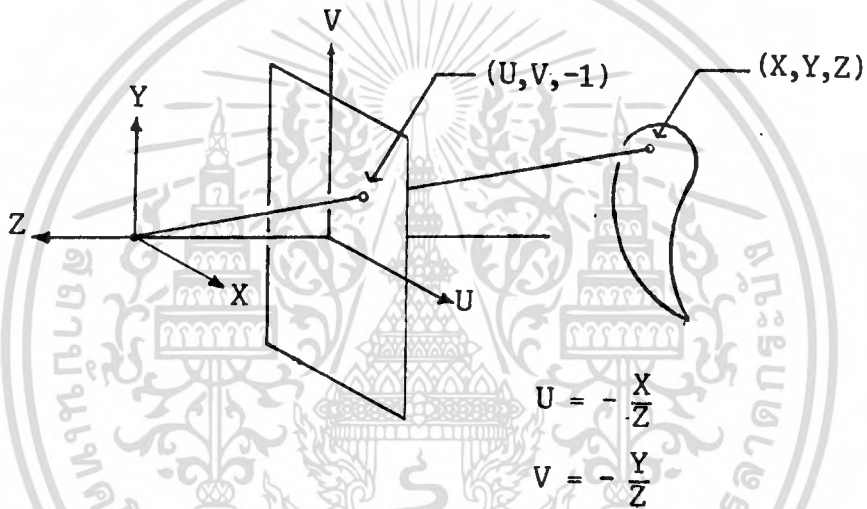
#### 4.3.1 เปรียบเทียบกับการโปรเจคชนิดอื่น

การโปรเจคที่นิยมใช้นั้นคือ orthographic และ perspective ซึ่งเราจะถือว่าเป็น perspective ของระนาบ ในกรณีของ orthographic นั้น ถ้าขนาดของวัตถุเล็กเมื่อเปรียบเทียบกับระยะการมอง ทำให้ระบบการมองเสมือนเป็น orthographic ซึ่งตามหลักมาตรฐานทางเรขาคณิตถือว่าเส้นการมองอยู่บนแกน  $z$  และจุดของวัตถุ  $(x, y, z)$  ปรากฏบนภาพ  $(u, v)$  ซึ่ง  $u = x$  และ  $v = y$  ดังรูป 4.9(ก) กรณีของ perspective บนระนาบ ดังรูป 4.9(ข) เห็นได้ว่าตำแหน่งบนวัตถุ  $(x, y, z)$  ปรากฏบนภาพ  $(u, v)$  ซึ่ง  $u = (x/-z)$  และ  $v = (y/-z)$

เอกสารนี้เป็นเอกสารที่สงวนไว้สำหรับการใช้งานเพื่อการศึกษาเท่านั้น ไม่อนุญาตให้นำไปใช้ประโยชน์ด้านการค้า ไม่ว่ากรณีใดๆทั้งสิ้น อีกทั้งห้ามมิให้ตัดแปลงเนื้อหา และต้องอ้างอิงถึงเจ้าของเอกสารทุกครั้งที่มีการนำไปใช้



รูป 4.9 (ก) การโปรเจคแบบ orthographic



รูป 4.9 (ข) การโปรเจคแบบ plane perspective

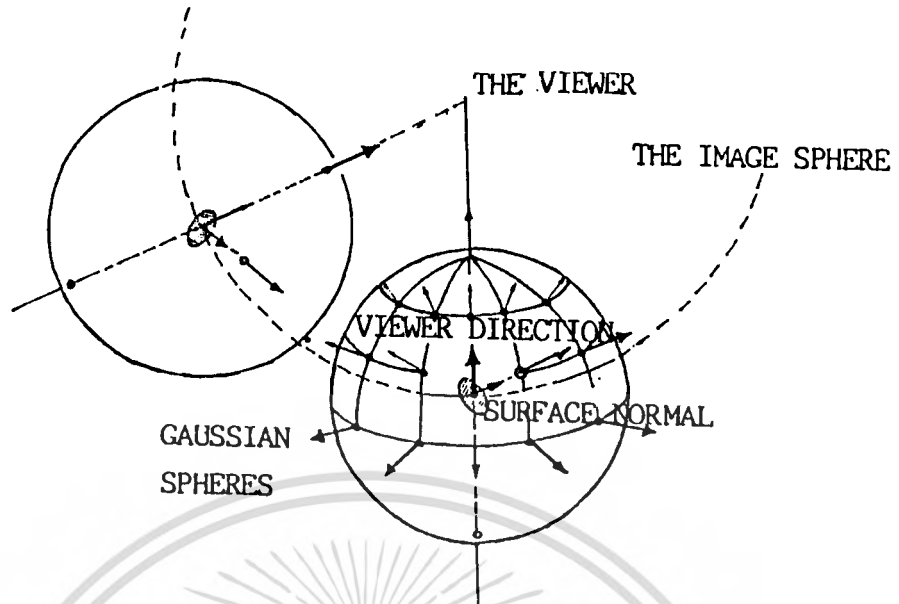
การโปรเจคทั้งแบบ orthographic และ spherical นั้น เส้นการมองตั้งฉาก

กับระนาบของภาพ(ทรงกลม)เสมอ และไม่มีผลการผิดเพี้ยนที่เกิดจากตำแหน่งบนระนาบของภาพ ซึ่งการโปรเจคแบบ perspective มีผลมากเนื่องจากมุมที่เกิดจากเส้นการมองและระนาบของภาพขึ้นอยู่กับระยะต่าง ๆ ของวัตถุ ทำให้รูปทรงของวัตถุที่ปรากฏบนภาพขึ้นอยู่กับตำแหน่งการวางของวัตถุ

ในกรณีของ spherical perspective นั้น เราสามารถสร้างรายละเอียดเป็นรูปแบบที่แน่นอนของ gradient map ได้ เนื่องจากทิศทางการมองตั้งฉากกับระนาบของภาพทุกตำแหน่ง และลักษณะการเกิดของภาพสอดคล้องกับความเป็นไปได้ทางฟิสิกส์

#### 4.3.2 Gaussian sphere และ Image sphere

gaussian sphere เป็นรูปทรงกลมซึ่งเส้นต่อระหว่างขั้วเหนือและขั้วใต้วางอยู่บนเอกสารถึงเป็นเอกสารถึงจำนวนได้สำหรับอาคารใช้งานสำหรับการศึกษาเท่านั้น ไม่อนุญาตให้นำไปใช้ประโยชน์ด้านอาคารแนวแกน z และมีรัศมีหนึ่งหน่วย ถ้าบริเวณพื้นผิววางอยู่ตรงศูนย์กลางของทรงกลมพื้นทึบนั้นจะมีค่าไม่มีการบิดงอใดๆทั้งสิ้น อีกทั้งห้ามมิให้ตัดแปลงเนื้อหา และต้องอ้างอิงถึงเจ้าของเอกสารทุกครั้งหากมีการนำไปใช้



รูป 4.10 ทรงกลมเกาส์เซียนและทรงกลมภาพ

ทางพุ่งออกสู่จุดใดจุดหนึ่งบนทรงกลม เมื่อกำหนดตำแหน่งการมองอยู่บนแนวแกน z จากทางขั้วเหนือของทรงกลม

ยังมีลักษณะทรงกลมอีกส่วนหนึ่ง ดังรูป 4.10 ซึ่งเรียกว่า image sphere ตำแหน่งผู้สังเกตอยู่ที่ศูนย์กลาง เส้นต่อขั้วเหนือและใต้ของ gaussian sphere จะผ่านศูนย์กลางของ image sphere

4.3.3 การโปรเจคของทรงกลมเกาส์เซียน<sup>[3]</sup>

เนื่องจากทรงกลมเกาส์เซียนเป็นรูป 3 มิติ จึงไม่สะดวกในการแทนลักษณะความเข้มของแสงบนระนาบของพื้นผิว จึงให้โปรเจคลงบนพื้นระนาบซึ่งการ mapping นี้มีหลายวิธีการ เมื่อกำหนดให้ n เป็น unit vector ของทิศทางที่พุ่งออกมาจากพื้นผิว ทำให้ coordinate ของจุดบน

$$n = (-p, -q, 1) / (1 + p^2 + q^2)^{1/2} \tag{4.8}$$

ผิวของทรงกลมสัมพันธ์กับค่าความลาดเอียง (p, q) ในกรณีนี้ พื้นระนาบของการโปรเจคเรียกว่า gradient space

เราพิจารณาการโปรเจคโดยใช้หลักการทางเรขาคณิต เสมือนเป็นลำแสงจากศูนย์กลางไปยังพื้นระนาบที่สัมผัสกับขั้วเหนือ (โดย p และ q มีแกนตรงข้ามกับ x และ y) การโปรเจคแบบนี้เรียกว่า gnomonic projection เห็นได้ว่าขั้วเหนือจะ map ลงบนจุด origin และส่วนบน

เอกสารนี้เป็นเอกสารที่สงวนไว้สำหรับการใช้งานเพื่อการศึกษเท่านั้น เมื่ออยู่ใต้เงื่อนไขของเว็บไซต์นี้  
ไม่ว่ากรณีใดๆทั้งสิ้น อีกทั้งห้ามมิให้ตัดแปลงเนื้อหา และต้องอ้างอิงถึงเจ้าของเอกสารทุกครั้งที่มีการนำไปใช้

ของทรงกลมจะโปรเจคลงบนระนาบ  $p-q$  จุดต่าง ๆ บนเส้นศูนย์สูตรจะอยู่ที่อนันต์ และจุดที่อยู่ส่วนล่างของทรงกลมจะไม่โปรเจคลงบนระนาบ  $p-q$

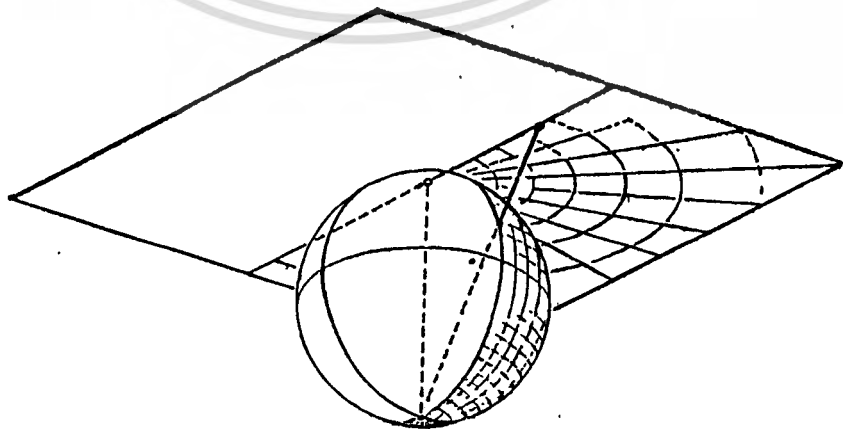
แต่ละจุดบน gradient space จะสัมพันธ์กับความลาดเอียงของผิว และสัมพันธ์กับระดับความเข้มของมันด้วย ผลอันนี้เรียกว่า reflectance map ซึ่งการใช้วิธีดังกล่าวมีเหตุผลจาก

- (1) ค่าต่าง ๆ บน coordinate สัมพันธ์กับ partial derivative อันดับแรกของความสูง  $z$
  - (2) สามารถคำนวณความสูงจากการ integrate ค่า  $p$  และ  $q$
  - (3) ค่า line integration ของ  $(p, q)$  บนเส้นทางวงปิดจะเป็นศูนย์เสมอ
- อย่างไรก็ดี เนื่องจากบนเส้นศูนย์สูตรของทรงกลมเกาส์เซียนนั้น สัมพันธ์โดยตรงกับ occluding boundary ซึ่ง gradient space ที่เกิดจากการโปรเจคของจุดเหล่านี้ที่อยู่อนันต์ทำให้ข้อมูลต่าง ๆ ของ occluding boundary ไม่สามารถโปรเจคลงใน gradient space

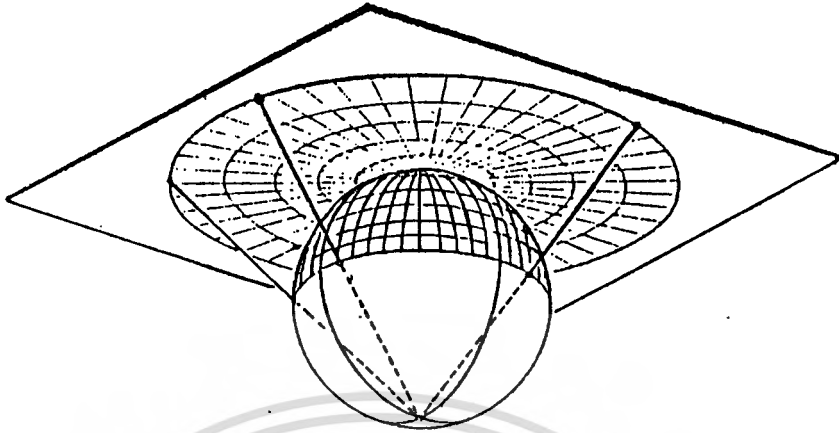
#### 4.3.4 การโปรเจคแบบ stereographic<sup>[3]</sup>

วิธีการหนึ่งที่ใช้แก้ปัญหานี้ได้คือ การใช้โปรเจคแบบ stereographic เราสามารถคิดในลักษณะเรขาคณิตโดยถือว่าเกิดการโปรเจคไปสู่ระนาบซึ่งสัมผัสกับขั้วด้านเหนือ และศูนย์กลางของการโปรเจคอยู่ที่ขั้วด้านใต้ ดังรูป 4.11 แกนของระนาบ stereographic คือ  $f$  และ  $g$  เพื่อให้ต่างจาก gradient space ซึ่งสามารถแสดงความสัมพันธ์ระหว่างกันได้ดังนี้

$$f = 2p[(1 + p^2 + q^2)^{1/2} - 1]/(p^2 + q^2)$$



รูป 4.11 การโปรเจคแต่ละจุดบนผิวทรงกลมตามแนวเส้นจากขั้วด้านหนึ่งไปสู่ขั้วตรงข้าม เอกสารนี้เป็นเอกสารที่สงวนไว้สำหรับการใช้งานเพื่อการศึกษาเท่านั้น ไม่นับผูกขาดเห็นาเบซบระโยชนดานการค้  
ไม่ว่ากรณีใดๆทั้งสิ้น อีกทั้งห้ามมิให้คัดแปลงเนื้อหา และต้องอ้างอิงถึงเจ้าของเอกสารทุกครั้งที่มีการนำไปใช้



รูป 4.12 การโปรเจคเส้นศูนย์สูตรเป็นวงกลมรัศมี 2 หน่วย

$$g = 2q[(1 + p^2 + q^2)^{1/2} - 1]/(p^2 + q^2) \quad (4.9)$$

หลังจากโปรเจคและ map วงกลมบนผิวของทรงกลมเกาส์เขียนไปสู่เส้นวงกลมบนระนาบแล้ว ทรงกลมทั้งหมดจึงถูก map ลงบนระนาบ มีจุดที่ชี้ได้เพียงจุดเดียวเท่านั้นซึ่งปลายของเส้นโปรเจคจะเป็นอนันต์ ขณะที่บริเวณเส้นศูนย์สูตรทั้งหมดได้ถูก map ไปสู่เส้นวงกลมที่มีค่ารัศมีเท่ากับสอง ดังรูป 4.12 ซึ่งสามารถกำหนดค่าความสว่างของแต่ละจุดบน stereo plane เช่นเดียวกับที่กำหนดลงบน gradient space

การโปรเจคอีกชนิดหนึ่งคือ azimuthal equidistant เส้นรุ้งบนทรงกลมกลายเป็นเส้นวงกลมบนระนาบ และความยาวจากศูนย์กลางในระนาบ เท่ากับความยาวของพื้นผิวบนทรงกลม ซึ่งวัดจากขั้วด้านเหนือ ไม่สามารถอธิบายในลักษณะการโปรเจคจากจุดใดที่คงที่ได้ เราสามารถมองในลักษณะของการกลิ้งลูกทรงกลมไปบนระนาบตามแนวของเส้นแวง โดยให้ศูนย์กลางบนระนาบอยู่ที่จุดบนขั้วด้านเหนือ ซึ่งเป็นจุดเริ่มต้น ถ้าเราให้แกนบนระนาบคือ a และ b ในกรณีนี้เราจะได้

$$\begin{aligned} a &= [p/(p^2 + q^2)] \tan^{-1}(p^2 + q^2)^{1/2} \\ b &= [q/(p^2 + q^2)] \tan^{-1}(p^2 + q^2)^{1/2} \end{aligned} \quad (4.10)$$

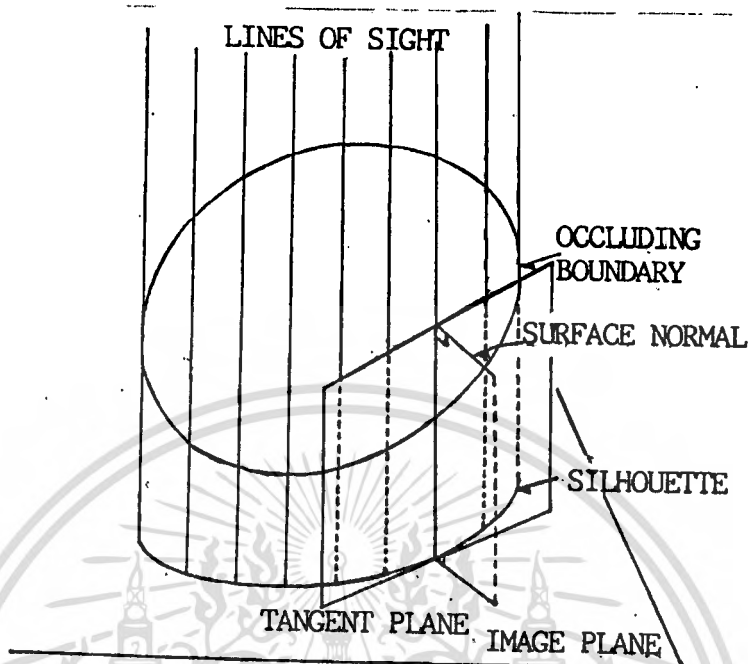
ในการทำงานเดียวกันกับ gnomonic projection นั่นคือมีการโปรเจคเฉพาะครึ่งบนของทรงกลม จุดบนเส้นศูนย์สูตรไม่ได้จบลงที่อนันต์ แต่ map ลงบนวงกลมรัศมี  $\pi/2$  และบางครั้งเรียกว่า orthographic projection

เอกสารนี้เป็นเอกสารที่สงวนไว้สำหรับการใช้งานเพื่อการศึกษาเท่านั้น ไม่อนุญาตให้นำไปใช้ประโยชน์ด้านการค้า

#### 4.3.5 Occluding boundary

ไม่ว่ากรณีใดๆทั้งสิ้น อีกทั้งยังมีให้ตัดแปลงเนื้อหา และต้องอ้างอิงถึงเจ้าของเอกสารทุกครั้งที่มีการนำไปใช้

ที่จุดต่าง ๆ บนขอบเขต occluding boundary เราสามารถหาค่าที่ถูกต้องของทิศ



รูป 4.13 เส้นสัมผัสของ occluding boundary

ทางตั้งฉากกับพื้นผิวได้ โดยยึดหลักความจริงดังนี้ กรณีแรกคือพิจารณา occluding boundary ซึ่งเส้นตรงลากจากพื้นผิวมายังตำแหน่งการมองจะต้องสัมผัสที่จุดนั้น ดังรูป 4.13 ซึ่งทิศทางการมองวางอยู่บนพื้นระนาบสัมผัสกับพื้นผิว บนจุดตำแหน่งซึ่งทิศทางการมองลากครูดไปตลอดแนวของพื้นผิว ทำมุมฉากกันทิศทางตั้งฉากของผิวที่ตำแหน่งนั้นด้วย กรณีที่สองคือเส้นแนวของการมองตั้งฉากกับระนาบของภาพ (เมื่อเรากำหนดให้เป็นการไปรเจคภาพแบบขนาน เส้นทางการมองทุกเส้นจึงขนานกับแกน  $z$  และตั้งฉากกับระนาบของภาพ) และระนาบสัมผัสย่อมตั้งฉากกับทิศทางตั้งฉากของพื้นผิวด้วย ดังนั้นจึงไปรเจคลงมาเป็นเส้นตรง และเส้นตรงนี้เป็นเส้นสัมผัสของ silhouette ในระนาบของภาพ

เห็นได้ว่าทิศทางตั้งฉากในระนาบของภาพขนานกับทิศทางตั้งฉากกับพื้นผิวที่สัมพันธ์กับจุดบน occluding boundary เราจึงสามารถหาลักษณะของพื้นผิวจากจุดทุกจุดบน occluding boundary

#### 4.3.6 Specular point และ singular point

สมมติให้ความส่องสว่างของแสงเกิดจากจุดกำเนิดแสงเพียงจุดเดียว ในขั้นตอนแรกพิจารณาได้ว่าลักษณะพื้นผิวที่ตำแหน่งของทิศทางตั้งฉากกับพื้นผิว เป็นทิศทางเดียวกับแหล่งกำเนิดแสง เราเรียกดั้งตำแหน่งของพื้นผิวอันนั้นบนทรงกลมเกาส์เขียนว่า source spot เพื่อให้เห็นชัดว่าเป็นทิศทางไม่ว่ากรณีใดๆทั้งสิ้น อีกทั้งยังมีให้ตัดแปลงเนื้อหา และต้องอ้างอิงถึงเงาของเอกสารทุกครั้งที่มีการนำไปใช้

เดียวกับแหล่งกำเนิดแสง สังเกตได้ว่าถ้าแสงมาจากด้านหลังของวัตถุ source spot ปรากฏที่หัว ด้านใต้ ดังนั้น source spot สามารถกำหนดเป็นจุดบนระนาบของ stereographic projection ขึ้นตอนต่อไปเราพิจารณาลักษณะการสะท้อนแสงแบบกระจกเงา พื้นผิวบริเวณที่แสงสะท้อนจากทิศทาง แหล่งกำเนิดพุ่งตรงเข้าสู่ตำแหน่งการมองเรียกว่า specular point ซึ่งจะเกิดขึ้นเฉพาะเมื่อมุม ตกกระทบ  $i$  เท่ากับมุม emittance  $e$  เมื่อลำแสงตกกระทบทิศทางตั้งฉากกับผิวและลำแสงสะท้อนวาง อยู่บนระนาบเดียวกัน พื้นผิวบริเวณนี้จะอยู่กึ่งกลางระหว่าง source spot บนทรงกลมเกาส์เซียนและ หัวด้านเหนือ

ถ้าเราให้  $(p_s, q_s)$  เป็นจุดใน gradient space ซึ่งสัมพันธ์กับ source spot บนทรงกลมเกาส์เซียน ดังนั้นพื้นผิวบริเวณของ specular reflection มีความลาดเอียง  $(p_m, q_m)$  จะได้

$$\begin{aligned} p_m &= p_s [(1 + p_s^2 + q_s^2)^{1/2}] / (p_s^2 + q_s^2) \\ q_m &= q_s [(1 + p_s^2 + q_s^2)^{1/2}] / (p_s^2 + q_s^2) \end{aligned} \quad (4.11)$$

สามารถแสดงให้เห็นจากข้อสังเกตว่า  $(p_m, q_m)$  วางอยู่บนทิศทางเดียวกันใน gradient space กับ  $(p_s, q_s)$  และมุมระหว่าง  $(0, 0, 1)$  และ  $(-p_m, -q_m, 1)$  ต้องเท่ากับมุมระหว่าง  $(-p_s, -q_s, 1)$  และ  $(-p_s, -q_s, 1)$  ในทำนองเดียวกันเราสามารถหาค่า specular spot บน stereographic plane ได้ดังนี้

$$\begin{aligned} f_m &= f_s [(1 + f_s^2 + g_s^2)^{1/2} - 1] / (f_s^2 + g_s^2) \\ g_m &= g_s [(1 + f_s^2 + g_s^2)^{1/2} - 1] / (f_s^2 + g_s^2) \end{aligned} \quad (4.12)$$

และสำหรับ azimuth equidistant คือ

$$a_m = a_s / 2 \quad \text{และ} \quad b_m = b_s / 2 \quad (4.13)$$

สำหรับ point source และพื้นผิว specular ซึ่งเป็นอุดมคติค่า specular point จะมีความสว่าง เป็นอนันต์ ส่วนแหล่งกำเนิดที่มีลำแสงกระจายและพื้นผิวที่ราบเรียบอย่างไม่สมบูรณ์ ทำให้การสะท้อน ของ specular เกิดการกระจายขึ้นได้ ค่าความสว่างจึงมีค่าสูงอยู่ในขอบเขตจำกัด

สำหรับพื้นผิวส่วนที่ไม่เกิด specular reflection จะยังคงเป็นค่าที่มีลักษณะของ เอกสารนี้เป็นเอกสารที่สงวนไว้สำหรับการใช้งานเพื่อการศึกษาเท่านั้น ไม่นอนุญาตให้ไปใช้ประโยชน์ด้านการค้า ผิวเป็นตัวกำหนดค่าความสว่างของแสง เช่น พื้นผิวของ Lambertian ค่าที่สว่างมากที่สุดคือบริเวณนั้น

ผิวตั้งฉากกับลำแสง เมื่อค่าความสว่างของแสงบนวัตถุสัมพันธ์กับลักษณะพื้นผิว จุดที่เรียกว่า singular point ก็คือจุดบนภาพซึ่งค่าระดับความเข้มของแสงปรากฏต่อผู้สังเกต ดังนั้น specular point ก็คือ singular point ตำแหน่งที่มีเงื่อนไขว้พิเศษ ด้วยเหตุผลดังกล่าว เราจึงพิจารณาลักษณะพื้นผิวโดยอ้างถึง singular point แต่เพียงอย่างเดียว

#### 4.4 การเกิดภาพวัตถุ

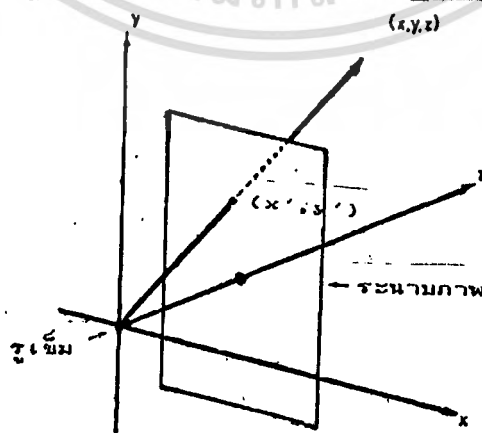
การที่เรามองเห็นวัตถุที่มีขนาดเทียบในดวงกลางโปร่งแสง ภาพที่ได้เป็นภาพ 2 มิติที่มีระดับความเข้มของแสง เราจึงแบ่งปัญหาออกได้เป็นสองส่วน ส่วนแรกเกี่ยวข้องกับลักษณะทางเรขาคณิตและส่วนที่สองเกี่ยวข้องกับความสัมพันธ์ของแสงที่ปรากฏบนภาพ ความสัมพันธ์ระหว่าง coordinate ของวัตถุและภาพนั้นพิจารณาจากสมการของการโปรเจกแบบ perspective ดังรูป 4.14 ซึ่ง  $f$  เป็นความยาวของโฟกัส

$$x' = (x/z)f \text{ และ } y' = (y/z)f \quad (4.14)$$

แต่เพื่อความสะดวกในกรณีที่ตั้งตำแหน่งผู้สังเกตอยู่ไกลจากวัตถุ ภาพที่เกิดขึ้นจึงเสมือนเป็นการโปรเจกแบบ orthographic และ  $z$  ในสมการถูกพิจารณาเป็นค่าคงที่

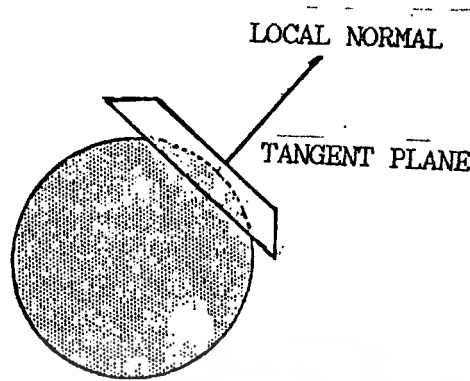
##### 4.4.1 ลักษณะของพื้นผิว<sup>[17]</sup>

เราต้องศึกษาลักษณะของเส้นต่อระหว่างลำแสงวัตถุและจุดสังเกต เพื่อพิจารณาค่าความเข้มของแสงสะท้อนไปยังจุดสังเกตซึ่งเกิดจากพื้นผิวของวัตถุ ในการหาพื้นผิวแต่ละบริเวณนั้นมีหลายวิธีการ ตัวอย่างเช่นการสร้างสมการกำหนดผิวของระนาบหรือทิศทางตั้งฉากกับพื้นผิว ถ้าสมการ



รูป 4.14 การโปรเจกภาพทางเรขาคณิต

เอกสารนี้เป็นเอกสารที่สงวนไว้สำหรับการใช้งานเพื่อการศึกษาเท่านั้น เมื่อนุญาตให้นำไปใช้ประโยชน์ด้านการค้าไม่ว่ากรณีใดๆทั้งสิ้น อีกทั้งห้ามมิให้ตัดแปลงเนื้อหา และต้องอ้างอิงถึงเจ้าของเอกสารทุกครั้งที่มีการนำไปใช้



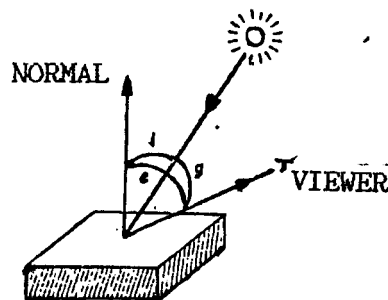
รูป 4.15 ลักษณะของผิววัตถุตามค่าจำกัดความ

ของพื้นระนาบคือ  $ax + by + cz = d$  ดังนั้น ค่าของทิศทางที่ตั้งฉากกับพื้นผิวคือ  $(a, b, c)$

เรานำสมการของแต่ละสมการมาประยุกต์ให้กับระนาบสัมผัสที่พื้นผิว ในช่วงบริเวณพื้นผิวซึ่ง smooth คือ  $(z_x, z_y, -1)$  ซึ่ง  $z_x$  และ  $z_y$  คือค่า partial derivative ของ  $z$  เพื่อความเหมาะสมจึงใช้ค่า  $p, q$  แทนค่า ดังนั้นทิศทางตั้งฉากของพื้นผิวมีค่าเป็น  $(p, q, -1)$  เห็นได้ว่าลักษณะของผิวกำหนดได้จากปริมาณ  $(p, q)$  ซึ่งเรียกว่า gradient ดูรูป 4.15

#### 4.4.2 ความเข้มแสงของภาพ

ปริมาณแสงสะท้อนโดยพื้นผิวเล็ก ๆ ขึ้นกับลักษณะโครงสร้างเล็ก ๆ ของพื้นผิวปริมาณแสงตกกระทบ ถ้าเราพิจารณาว่าพื้นระนาบสัมผัสสว่างอยู่เหนือจุดตำแหน่งของผิว หมายความว่าแสงได้มาจากทิศทางส่วนบนของทรงกลม ซึ่งเราเริ่มพิจารณาแต่ละส่วนก่อนจึงนำผลที่ได้มาประกอบกัน พื้นผิวส่วนใหญ่มีสภาพของการสะท้อนที่แน่นอน และด้วยเหตุนี้ความเข้มแสงบนภาพจึงให้ค่าลักษณะพื้นผิวได้โดยไม่คำนึงถึงลักษณะซับซ้อนของแหล่งกำเนิดแสง เรานำเอาการประยุกต์ใช้ reflectance map มาเป็นแนวทาง



เอกสารนี้เป็นเอกสารที่สงวนไว้สำหรับการใช้งานเพื่อการศึกษาเท่านั้น ไม่อนุญาตให้นำไปใช้ประโยชน์ด้านการค้า  
รูป 4.16 ลักษณะของมุมตกกระทบ มุมสะท้อน และมุม phase  
ไม่ว่ากรณีใดๆทั้งสิ้น อีกทั้งห้ามมิให้ตัดแปลงเนื้อหา และต้องอ้างอิงถึงเจ้าของเอกสารทุกครั้งที่มีการนำไปใช้

กำหนดให้แหล่งกำเนิดแสงเป็น point source ลักษณะทางเรขาคณิตประกอบด้วย มุม 3 มุม คือมุมตกกระทบ มุมสะท้อน และมุม phase ดังรูป 4.16 มุมตกกระทบ  $i$  คือมุมระหว่างลำแสงตกกระทบกับทิศทางตั้งฉากของพื้นผิว มุมสะท้อน  $e$  คือมุมระหว่างทิศทางการมองกับทิศทางตั้งฉากของพื้นผิว และมุม phase  $g$  เป็นมุมระหว่างมุมตกกระทบและมุมสะท้อน ฟังก์ชันของการสะท้อนหาได้จากปริมาณสะท้อนของแสงตกกระทบในแต่ละทิศทาง นั่นคืออัตราส่วนระหว่างปริมาณสะท้อนของแสงตกกระทบต่อหน่วยของพื้นที่ ต่อหน่วยของมุมในทิศทางการมอง

ถ้าความส่องสว่างของแสงคือ  $E$  และค่าความสว่างของแสงในทิศทางการมองคือ  $B$  ค่าการสะท้อนหาได้จาก  $E/B$  ซึ่งอาจเขียนเป็น  $\rho(i, e, g)$  เพื่อเน้นให้เห็นว่าขึ้นอยู่กับลักษณะมุมทั้งสาม

#### 4.4.3 Reflectance Map

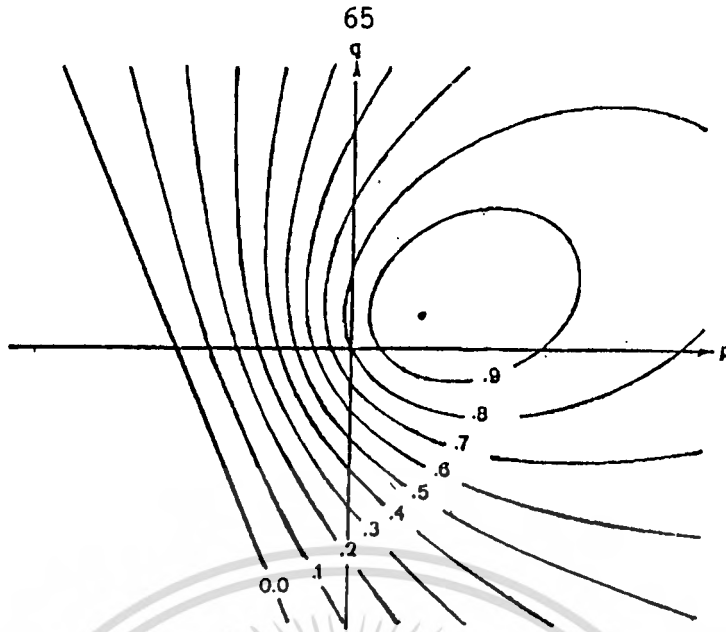
ปริมาณของแสงสะท้อนบนพื้นผิวขึ้นอยู่กับลักษณะของพื้นผิว และชนิดของแหล่งกำเนิดแสง เมื่อเรากำหนดชนิดของวัตถุและลักษณะของแหล่งกำเนิดแสง ทำให้สามารถกำหนดลักษณะของพื้นผิวจากทิศทางตั้งฉากของมัน ได้ทุก ๆ จุดใน gradient space ดังนั้นความเข้มบนภาพเป็นฟังก์ชันของ  $p, q$  ซึ่งไม่ใช่การเปลี่ยนจากภาพโดยการมอง แต่มันขึ้นอยู่กับคุณสมบัติของผิวและตำแหน่งจุดกำเนิดแสง

ถ้าเราวัดแสงจากจุดใดจุดหนึ่งบนวัตถุ เราทราบแต่เพียงว่าค่าพื้นผิวนั้น เป็นหนึ่งในหลาย ๆ ค่าที่น่าจะเป็นไปได้ แต่ไม่อาจกำหนดให้แน่นอนลงไป เราอาจจำกัดลงได้ว่ามันเป็นจุด ๆ หนึ่งบน gradient space ซึ่งมีระดับความเข้มของแสงเท่า ๆ กัน

บนพื้นผิวที่ราบเรียบและทิศทางแหล่งกำเนิดแสงอยู่ในทิศทางเดียวกัน บนพื้นผิวที่มีลักษณะการสะท้อนเท่ากันทุกทิศทาง ขนาดของแสงสะท้อนขึ้นอยู่กับค่าโคซายน์ของมุมตกกระทบ เพื่อแสดงการคำนวณให้เห็นได้ชัด เราจะกำหนดให้แหล่งกำเนิดแสงวางอยู่ใกล้ผู้สังเกต มุมตกกระทบเท่ากับมุมซึ่งเกิดจากทิศทางตั้งฉากของพื้นผิวและผู้สังเกต ค่าโคซายน์ของมุมตกกระทบคือการ dot product ของ unit vector ต่อไปนี้

$$\begin{aligned} \cos(i) &= [(p, q, -1) \cdot (0, 0, -1)] / [|(p, q, -1)| |(0, 0, -1)|] \\ &= 1 / [(1+p^2+q^2)^{1/2}] \end{aligned} \quad (4.15)$$

เอกสารนี้เป็นเอกสารที่สงวนไว้สำหรับใช้เฉพาะในโครงการวิจัยเท่านั้น ไม่ควรเผยแพร่ไปโดยไม่ได้รับอนุญาต  
เราอาจหาคำตอบเดียวกันได้จากการหาระยะทางจากศูนย์กลางใน gradient  
ไม่ว่ากรณีใดๆทั้งสิ้น อีกทั้งห้ามมิให้คัดแปลงเนื้อหา และต้องอ้างอิงถึงเจ้าของเอกสารทุกครั้งที่มีการนำไปใช้



รูป 4.17 เส้นทางเดินของ  $E = \cos(e)$

space ซึ่งเป็นค่า tangent ของมุมระหว่างทิศทางตั้งฉากพื้นผิวและทิศทางการมอง

$$(p^2 + q^2)^{1/2} = \tan(e) \quad (4.16)$$

$$\cos(e) = 1 / (1 + \tan^2(e))^{1/2} \quad (4.17)$$

และ  $i = e$

ถ้าเขียน reflectance ในฟังก์ชันของ  $p$  และ  $q$  เราจะได้ค่าสูงสุดอยู่ที่ศูนย์กลางเท่ากับ 1 และรูปวงกลมที่สมดุลง่ายเรียงลำดับลงไปถึงศูนย์ ซึ่งเขียนได้ใน gradient space ที่ตำแหน่งอนันต์ ได้เป็น reflectance map ที่มีลักษณะดังรูป 4.17

ค่าความเข้มของแสงตามที่กำหนดนั้นเป็นแนวเส้นทางเดินบน gradient space ในกรณีนี้เป็นเส้นวงกลม ค่าความเข้มบนภาพบอกเราได้เพียงว่ามีมันอยู่บนวงกลมหนึ่งใน gradient space เมื่อแหล่งกำเนิดแสงอยู่ห่างจากจุดสังเกต เราจะพบความยุ่งยากทางเรขาคณิตของมุมตกกระทบและมุมสะท้อนที่เกิดจากทิศทางของแหล่งกำเนิดแสงนั้น

มุมตกกระทบ มุมสะท้อน และมุม phase<sup>[17]</sup> สำหรับพื้นผิวที่มีการสะท้อนของมุมตกกระทบ มุมสะท้อนและมุม phase อย่างราบรื่น เราเขียนสมการได้เป็น  $I = \cos(i), E = \cos(e)$  และ  $G = \cos(g)$  ซึ่งหาได้จากการคูณทางเวกเตอร์ มีแหล่งกำเนิดแสงหนึ่งตำแหน่งในทิศทาง  $(p_s, q_s, -1)$  และตำแหน่งการมองในทิศทาง  $(0, 0, -1)$  ดังนั้น

$$G = 1 / (1 + p_s^2 + q_s^2)^{1/2} \quad (4.18)$$

เอกสารนี้เป็นเอกสารที่สงวนไว้สำหรับการใช้งานเพื่อการศึกษาเท่านั้น ไม่อนุญาตให้นำไปใช้ประโยชน์ด้านการค้าไม่ว่ากรณีใดๆทั้งสิ้น อีกทั้งห้ามมิให้ตัดแปลงเนื้อหา และต้องอ้างอิงถึงเจ้าของเอกสารทุกครั้งที่มีการนำไปใช้

$$E = 1/(1+p^2+q^2)^{1/2} \quad (4.19)$$

และ

$$I = (1+p_p p + q_q q) / [(1+p^2+q^2)^{1/2} (1+p_p^2+q_q^2)^{1/2}]$$

$$= (1+p_p p + q_q q) EG \quad (4.20)$$

เราสามารถที่จะคำนวณหาค่า  $I, E, G$  ของจุดใด ๆ บน gradient space เนื่องจาก  $G$  เป็นค่าคงที่และสมมติฐานของการโปรเจกแบบ orthogonal เราจึงเห็นว่าเส้นเดินทางของค่าคงที่  $E$  เป็นรูปวงกลมโดยรอบจุดศูนย์กลางบน gradient space เมื่อกำหนดให้  $I$  มีค่าคงที่ เราจะได้สมการ polynomial อันดับสองใน  $p$  และ  $q$  และเส้นทางการเดินทางของค่า  $I$  คงที่เป็นภาคตัดขวางของรูปทรงกรวย โดยมีเส้นตรงเป็นส่วนแยกระหว่างส่วนเงาและส่วนสว่าง ตัวอย่างเช่น เส้นตรงเกิดเมื่อ  $i = \pi/2$  นั่นคือ  $I = 0$  หรือ  $1+p_p p + q_q q = 0$  และถ้า  $I = 1$  ผลคือจุดเพียงจุดเดียวที่  $p = p_p$  และ  $q = q_q$

จากวิธีการทางเรขาคณิตซึ่งทำให้เส้นทางการเดินทางที่เป็นภาคส่วนตัดของทรงกรวยซึ่งเกิดจากทิศทางของมุมตกกระทบ แกนของรูปกรวยอยู่ที่ทิศทางของแสง  $(p_p, q_q, -1)$  เราหาจุดอื่น ๆ บน gradient space ด้วยการหาค่าเส้นตัดของรูปทรงกรวยบนแผ่นระนาบที่มีระยะห่างจากศูนย์กลางหนึ่งหน่วย เมื่อเปลี่ยนค่ามุมของ  $I$  ไปย่อมเกิดเป็นเส้นทางการเปลี่ยนแปลงเส้นโอบรอบต่อเนื่องกันไป ในลักษณะรูปตัดขวางของทรงกรวย

#### 4.4.4 การหาค่า reflectance map<sup>[1]</sup>

จากสมมติฐานของความ smooth เราหาค่าส่วนของความกลมกลืนได้คือ

$$s_{i,j} = \frac{1}{2} [(f_{i+1,j} - f_{i,j})^2 + (f_{i,j+1} - f_{i,j})^2 + (g_{i+1,j} - g_{i,j})^2 + (g_{i,j+1} - g_{i,j})^2] \quad (4.21)$$

ค่าความผิดพลาดหาได้จาก

$$r_{i,j} = [I_{i,j} - R(f_{i,j}, g_{i,j})]^2 \quad (4.22)$$

ค่า  $f$  และ  $g$  เป็นลักษณะพื้นผิว  $I_{i,j}$  เป็นค่าความเข้มวัดที่  $(i, j)$  ส่วน  $R$  เป็น reflectance map ผลรวมของค่าความเพี้ยนคือ

$$e = \sum_i \sum_j (s_{i,j} + \lambda r_{i,j}) \quad (4.23)$$

factor  $\lambda$  เป็นค่าที่ปรับความเกี่ยวเนื่องระหว่างความผิดพลาดกับส่วนที่เกิดจากความ smooth ค่าอนุเอกสารนี้เป็นอนุเอกสารที่สงวนไว้สำหรับการใช้งานเพื่อการศึกษาเท่านั้น ไม่นิยามไปใช้ประโยชน์ด้านการศึกษา  
ไม่ว่ากรณีใดๆทั้งสิ้น อีกทั้งห้ามมิให้คัดลอกเนื้อหา และต้องอ้างอิงถึงเจ้าของเอกสารทุกครั้งที่มีการนำไปใช้

พันธ์ของ  $e$  สามารถนำมาสู่สมการ

$$f_{1,j}^{n+1} = f_{1,j}^{*n} + \lambda [I_{1,j} - R(f_{1,j}^{*n}, g_{1,j}^{*n})] (\partial R / \partial f) \quad (4.24)$$

$$g_{1,j}^{n+1} = g_{1,j}^{*n} + \lambda [I_{1,j} - R(f_{1,j}^{*n}, g_{1,j}^{*n})] (\partial R / \partial g) \quad (4.25)$$

ซึ่ง

$$f_{1,j}^{*n} = \frac{1}{4} [f_{1+1,j}^n + f_{1,j+1}^n + f_{1-1,j}^n + f_{1,j-1}^n]$$

$$g_{1,j}^{*n} = \frac{1}{4} [g_{1+1,j}^n + g_{1,j+1}^n + g_{1-1,j}^n + g_{1,j-1}^n]$$

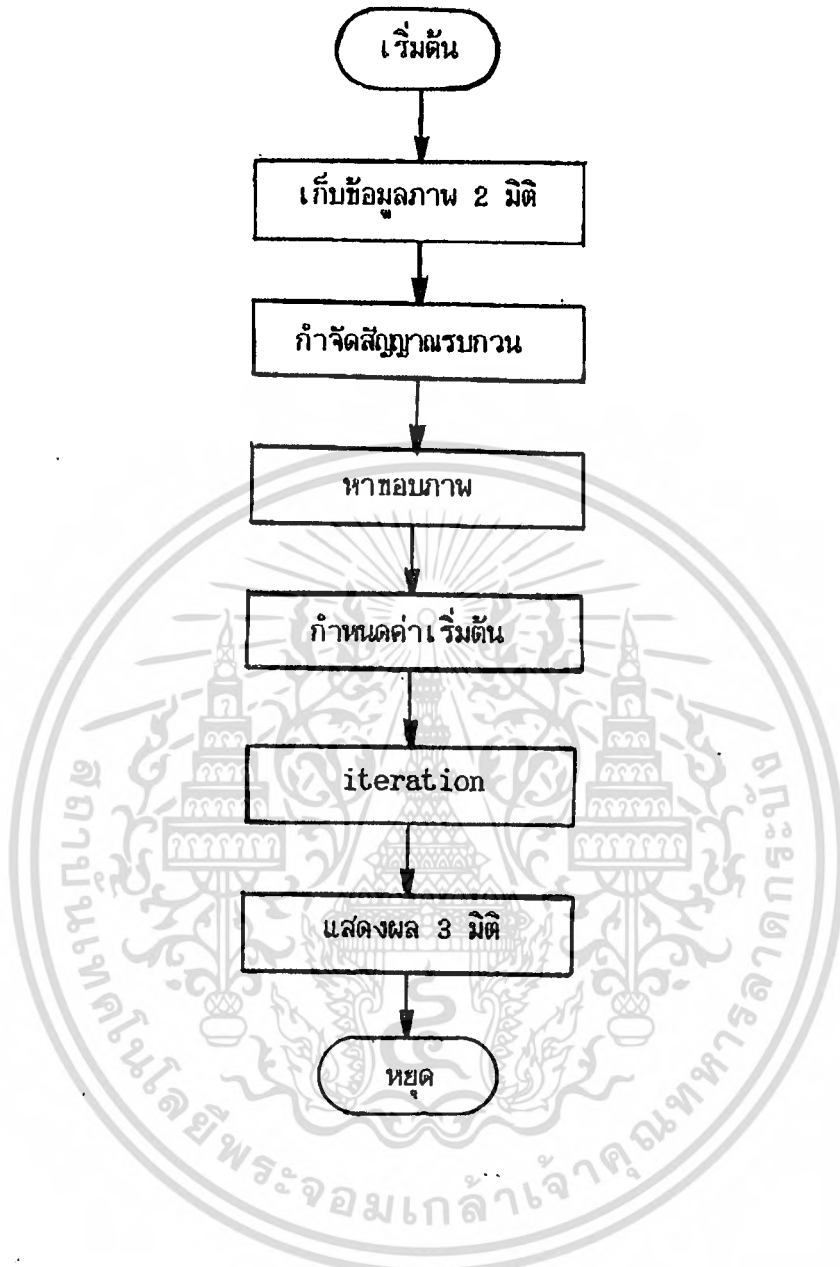
ค่า  $f$  และ  $g$  ที่หาได้นี้จะเป็นค่าที่บอกลักษณะพื้นผิวของรูปภาพ 2 มิติของความเข้มแสงที่ตำแหน่งต่าง ๆ

#### 4.5 การหารูปทรง 3 มิติจากภาพ 2 มิติ

จากทฤษฎีพื้นฐานที่ได้ค้นคว้ามานั้น ความเป็นไปได้ในการที่จะเริ่มต้นทดลองหาโครงสร้าง 3 มิติจากภาพ 2 มิติ นั้น จำเป็นต้องกำหนดขอบเขตและเงื่อนไขของข้อมูลภาพที่นำมาประมวลผล ข้อมูลภาพวัตถุนั้นจะต้องเป็นภาพที่มีพื้นผิวต่อเนื่อง มีความกลมกลืนของระดับพื้นผิว และใช้ข้อมูลแสงเป็นสิ่งที่บ่งบอกระดับความลึกของพื้นผิววัตถุ ในขั้นตอนแรกนั้นการกำหนดทิศทางของแหล่งกำเนิดแสงให้เป็นทิศทางเดียวกับทิศทางการมองเห็น เพื่อให้สามารถวิเคราะห์พื้นผิวที่มีระนาบในทิศทางซึ่งมองเห็นได้ มีระดับความเข้มแสงมากกว่าศูนย์ เพราะค่าโคไซน์ของมุมระหว่างทิศทางการมองเห็นกับทิศทางตั้งฉากกับพื้นระนาบมากกว่าศูนย์ ตามทฤษฎีในบทที่ 3 ข้อมูลแสงนั้นจะถูกนำมาเป็นข้อมูลชดเชยในการที่ค่าระดับความลึกสูญเสียไปเมื่อมีการโปรเจกภาพ 3 มิติลงบนระนาบ 2 มิติ แต่ข้อมูลที่จะถูกนำมาเป็นค่าเริ่มต้นนั้นต้องเป็นข้อมูลที่กำหนดระดับพื้นผิวบริเวณนั้นได้อย่างถูกต้อง ดังนั้นภาพวัตถุจึงต้องเป็นภาพที่มีบริเวณของ occluding boundary โดยรอบวัตถุนั้นและมีทิศทางจากบริเวณดังกล่าวต่อเนื่องกันตลอดพื้นผิวของวัตถุ เมื่อได้ข้อมูลภาพภายใต้เงื่อนไขที่กำหนดไว้แล้ว นำมากำจัดสัญญาณรบกวน จากทฤษฎีในบทที่ 2 หัวข้อ 2.3 เมื่อได้ภาพที่มีสัญญาณรบกวนน้อยโดยที่ไม่สูญเสียข้อมูลบริเวณขอบภาพ นำมาหาเส้นขอบของวัตถุ เนื่องจากเป็นบริเวณ occluding boundary โดยใช้ zero crossing จากทฤษฎีในหัวข้อ 4.3.4 ค่าบริเวณนี้จะมีทิศทางพื้นผิวสัมพันธ์กับแสงเป็นมุมฉาก หมายความว่า  $(p^2 + q^2)^{1/2}$  เป็นค่าอันันต์ หรือ  $(f^2 + g^2)^{1/2}$  มีค่าเท่ากับ 2 ทุกค่าบนเส้นขอบนั้น และนำค่ามาเป็นค่าเริ่มต้นประมวลผลตามทฤษฎีในหัวข้อ 4.4.4 ใช้วิธี iteration จนได้ค่าพื้นผิว จากนั้นนำเอาคอมพิวเตอร์กราฟิกและหลักการเรขาคณิตมาเขียนภาพวัตถุให้สามารถสื่อความหมายความลึกของภาพบนจอภาพได้

เอกสารนี้เป็นเอกสารที่สงวนไว้สำหรับการใช้งานเพื่อการศึกษาเท่านั้น เมื่ออนุญาตให้นำไปใช้ประโยชน์ด้านการค้า

ไม่ว่ากรณีใดๆทั้งสิ้น อีกทั้งห้ามมิให้ดัดแปลงเนื้อหา และต้องอ้างอิงถึงเจ้าของเอกสารทุกครั้งที่มีการนำไปใช้



รูป 4.18 แสดงผังงานของการหารูปทรง 3 มิติจากภาพ 2 มิติ

เอกสารนี้เป็นเอกสารที่สงวนไว้สำหรับการใช้งานเพื่อการศึกษาเท่านั้น ไม่อนุญาตให้นำไปใช้ประโยชน์ด้านการค้า  
ไม่ว่ากรณีใดๆทั้งสิ้น อีกทั้งห้ามมิให้ดัดแปลงเนื้อหา และต้องอ้างอิงถึงเจ้าของเอกสารทุกครั้งที่มีการนำไปใช้

## บทที่ 5

## การทดลอง

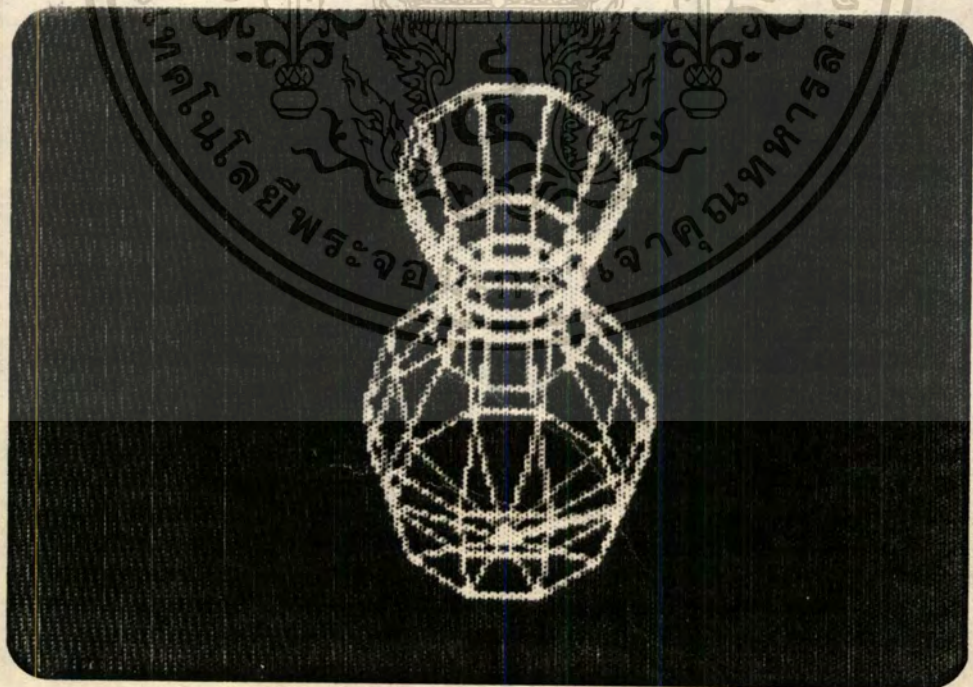
การคืนรูปทรง 3 มิติจากรูปภาพ 2 มิตินั้น ประกอบด้วยการทดลอง 2 ขั้นตอนคือ การจำลองภาพวัตถุบนระนาบ 2 มิติ และการทำย้อนกลับเพื่อหาค่าโครงสร้าง 3 มิติที่ปรากฏอยู่ในภาพบนระนาบ 2 มิติ ตามลำดับดังนี้

## 5.1 การจำลองภาพ

การพิจารณาความสัมพันธ์ระหว่างโครงสร้าง 3 มิติที่ปรากฏอยู่ในรูปวัตถุ 2 มิตินั้น เราต้องเริ่มจากการใช้หลักการของคอมพิวเตอร์กราฟฟิกสร้างภาพจำลองของวัตถุขึ้น โปรเจคลงบนพื้นระนาบ 2 มิติ และกำหนดระดับความเข้มของแสงให้แก่ภาพวัตถุบนระนาบ 2 มิติ ตามลำดับดังนี้

## 1. โครงสร้างวัตถุ

สร้างโครงสร้างภาพวัตถุ 3 มิติ โดยแบ่งส่วนของวัตถุเป็นรูปเหลี่ยมเล็ก ๆ การ

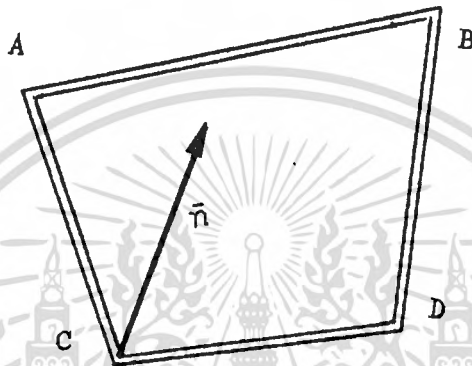


เอกสารนี้เป็นเอกสารที่สงวนไว้สำหรับรูป 5.1 ส่วนประกอบเล็ก ๆ บนพื้นวัตถุภายใต้เงื่อนไขการนำไปใช้ประโยชน์ด้านการค้าไม่ว่ากรณีใดๆทั้งสิ้น อีกทั้งห้ามมิให้ตัดแปลงเนื้อหา และต้องอ้างอิงถึงเจ้าของเอกสารทุกครั้งที่มีการนำไปใช้

สร้างภาพวัตถุนั้น เราอาจสร้างสมการของรูปวัตถุตามที่กำหนดขึ้น หรือสร้างจากส่วนประกอบจาก โครงสร้างของวัตถุ แบ่งพื้นผิวของวัตถุเป็นส่วนย่อย ๆ ดังรูป 5.1

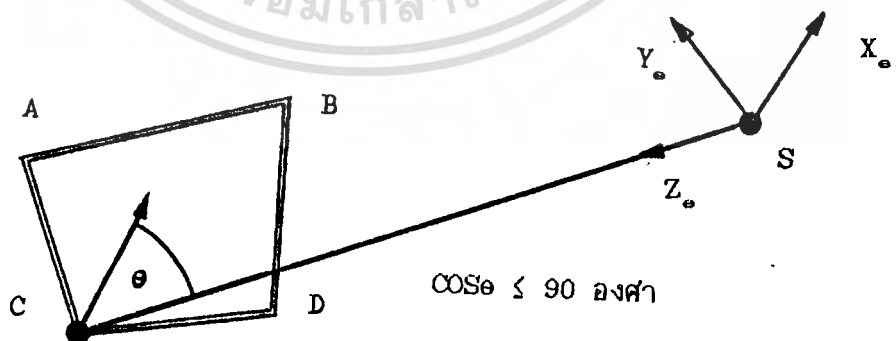
## 2. หาสมการพื้นระนาบของพื้นผิววัตถุ

วิธีที่ง่าย ๆ ในการหาสมการพื้นผิวบนรูปเหลี่ยมเล็ก ๆ ของวัตถุ หากจากการผล คูณทางเวกเตอร์ของด้านประกอบมุมยอดของรูปพื้นผิวเหลี่ยมเล็ก ๆ ดังกล่าว



รูป 5.2 พื้นระนาบของรูปเหลี่ยม

สมการพื้นระนาบจะ ได้จาก  $CD \times CA$  ถ้ากำหนดลักษณะพื้นระนาบและจุดยอดเรียง ไปตามลำดับ การหา ค่าของสมการพื้นระนาบเหล่านี้จะมีการคำนวณต่อเนื่องกันไป



รูป 5.3 การพิจารณากันส่วนที่มองเห็นได้ของวัตถุ

เอกสารนี้เป็นเอกสารที่สงวนไว้สำหรับการใช้งานเพื่อการศึกษาเท่านั้น ไม่นอนุญาตให้นำไปใช้ประโยชน์ด้านการค้า ไม่ว่ากรณีใดๆทั้งสิ้น อีกทั้งห้ามมิให้ตัดแปลงเนื้อหา และต้องอ้างอิงถึงเจ้าของเอกสารทุกครั้งที่มีการนำไปใช้

### 3 คำนวณหาชั้นส่วนของวัตถุที่สามารถมองเห็นได้

คำนวณหาชั้นส่วนบนพื้นผิววัตถุ โดยแยกเฉพาะแต่ละชั้นส่วนที่มองเห็นได้ จากการคำนวณหามุมที่เกิดขึ้นระหว่างทิศทางตั้งฉากของชั้นระนาบและทิศทางของตำแหน่งจุดมอง ซึ่งถ้ามุมที่เกิดขึ้นมีค่ามากกว่า 90 องศา ชั้นส่วนนั้นจะเป็นชั้นส่วนที่ไม่อาจมองเห็นได้

### 4 คำนวณระดับความเข้มแสง

ค่าความเข้มแสงบนพื้นผิววัตถุที่มองเห็น ได้สัมพันธ์กับค่า โคไซน์ของมุมระหว่างทิศทางแสง ทิศทางการมอง และทิศทางตั้งฉากกับพื้นผิวระนาบนั้น



รูป 5.4 เวกเตอร์ที่ใช้คำนวณความเข้มของผิววัตถุ

I ความเข้มแสงที่ปรากฏบนพื้นผิววัตถุ

N ทิศทางตั้งฉากกับพื้นผิววัตถุ

I. ทิศทางของแสง

R ทิศทางของแสงสะท้อน

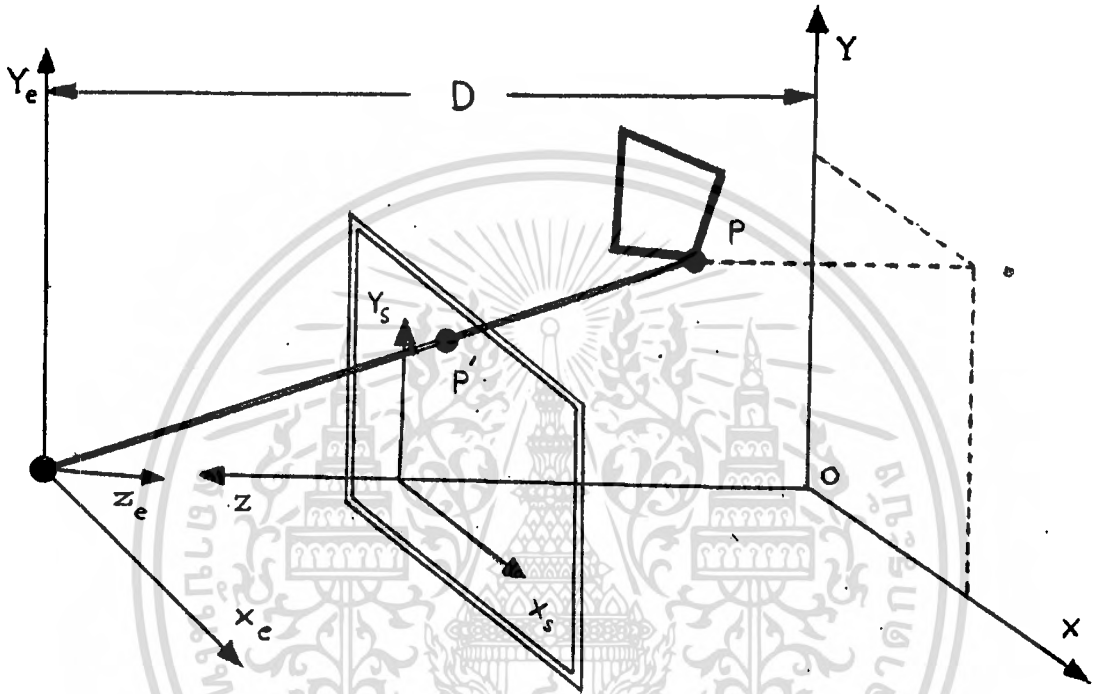
S ทิศทางจากตำแหน่งการมอง

ค่า L และ S เป็นค่าที่กำหนดให้ ส่วนค่า R คำนวณจากทฤษฎีสัมการที่ 3.24 ค่า N คำนวณจากเวกเตอร์บนขอบระนาบของชั้นภาพแต่ละชั้น ค่า I คำนวณจากสมการที่ 3.16 โดยกำหนดค่าคงที่ตามสมควร ( $d = 0, k = 1, I_{\infty} = 1, I_1 = 10, K_{\infty} = 0.8, K_d = K_r = 0.15, n = 1$ )

### 5 ทำเป็นภาพ 2 มิติ

โปรเจกชันส่วนของพื้นผิววัตถุทุกชั้นที่สามารถมองเห็นได้ ลงบนระนาบ 2 มิติ ซึ่งเป็นจอมอนิเตอร์ที่มีค่าต่างระดับสัญญาณความเข้มแสง 127 ระดับ เอกสารนี้เป็นเอกสารที่สงวนไว้สำหรับการใช้งานเพื่อการศึกษาเท่านั้น เมื่อนุญาตให้นำไปใช้ประโยชน์ด้านการค้าไม่ว่ากรณีใดๆทั้งสิ้น อีกทั้งห้ามมิให้ดัดแปลงเนื้อหา และต้องอ้างอิงถึงเจ้าของเอกสารทุกครั้งที่มีการนำไปใช้

ใช้การโปรเจคแบบขนานของชั้นภาพซึ่งมองเห็นได้ลงบนระนาบ 2 มิติบนจอคอมพิวเตอร์ในขณะเดียวกัน ค่าขนาดของชั้นภาพนี้ก็โปรเจคลงบนหน่วยความจำที่ เซกเมนต์ (Segment) 8000 ขนาด  $256 \times 256$  หน่วย โดยมีขนาดสัมพันธ์กัน การคำนวณแต่ละชั้นของภาพซึ่งได้ผลว่าสามารถมองเห็นได้จะถูกคำนวณค่าความเข้มแสงในขั้นตอนที่ 4 และเก็บค่าลงในหน่วยความจำเพื่อนำค่าที่ได้ไป



รูป 5.5 การโปรเจคภาพชั้นส่วนวัตถุบนพื้นระนาบ 2 มิติ 127 ระดับ

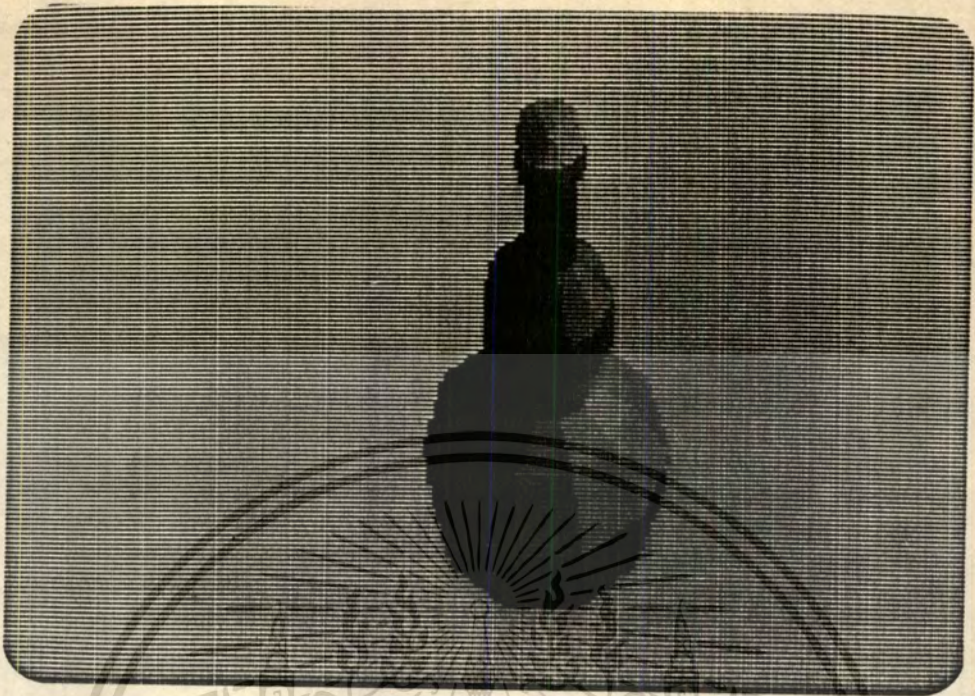
สร้างบนจอภาพมอโนเตอร์ให้เป็นภาพวัตถุที่มีค่าความต่างระดับสัญญาณเทา

จากผลการทดลองเราจะ ได้ภาพที่มีความ ไม่ต่อเนื่องบนแต่ละชั้นของภาพ ดังรูปที่ 5.6 ซึ่งเป็นภาพที่ยังไม่เหมือนภาพวัตถุจริง

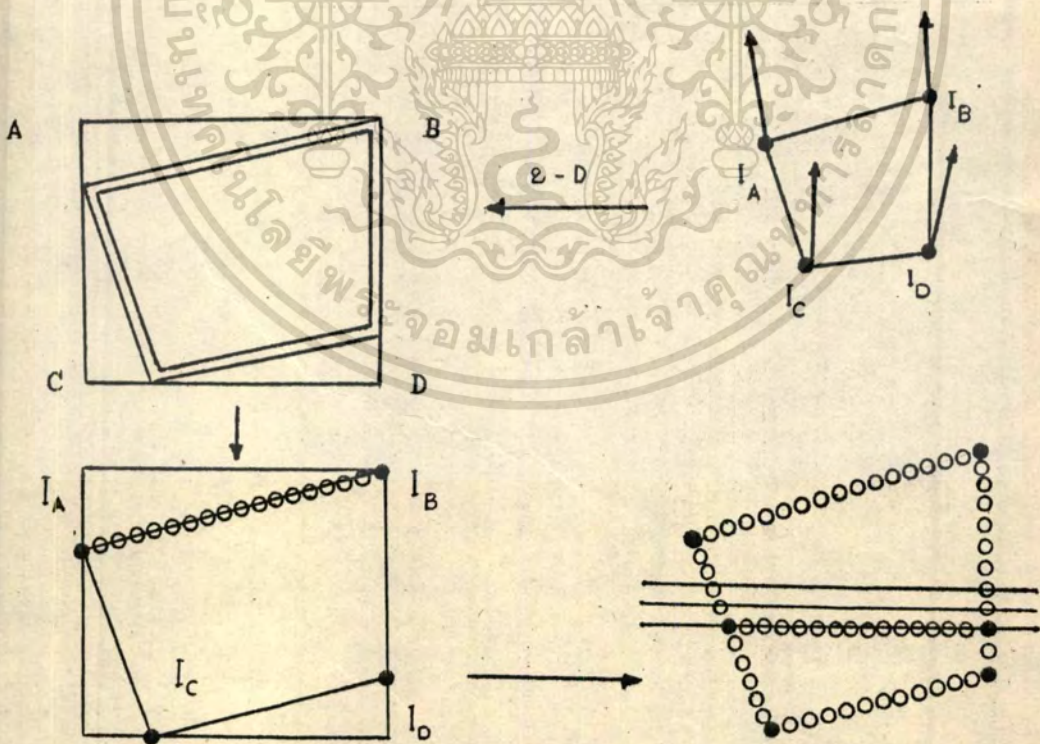
#### 6 เจลี่ยความเข้มแสงบนชั้นวัตถุ

จากผลที่ได้ในขั้นตอนที่ 5 เราจำเป็นต้องแก้ไข โดยต้องเจลี่ยค่าของแสงบนทุกชั้นภาพให้มีค่าความเข้มต่อเนื่องกันไป การคำนวณค่าของความเข้มจะใช้การคำนวณ 1 ค่าต่อ 1 ชั้นเช่นเดิมไม่ได้ ต้องคำนวณหาค่าความเข้มบนแต่ละยอดเหลี่ยมของชั้นภาพแต่ละชั้นนั้น จากการแทนค่า  $N$  ด้วยค่าเจลี่ยของทิศทางตั้งฉากบนระนาบของชั้นภาพที่อยู่โดยรอบของจุดยอดเหลี่ยมนั้น ส่วนค่าอื่นแทนค่าแทนเดียวกับในขั้นตอนที่ 4

เอกสารนี้เป็นเอกสารที่สงวนไว้สำหรับการใช้งานเพื่อการศึกษาเท่านั้น ไม่อนุญาตให้นำไปใช้ประโยชน์ด้านการค้าไม่ว่ากรณีใดๆทั้งสิ้น อีกทั้งห้ามมิให้ดัดแปลงเนื้อหา และต้องอ้างอิงถึงเจ้าของเอกสารทุกครั้งที่มีการนำไปใช้

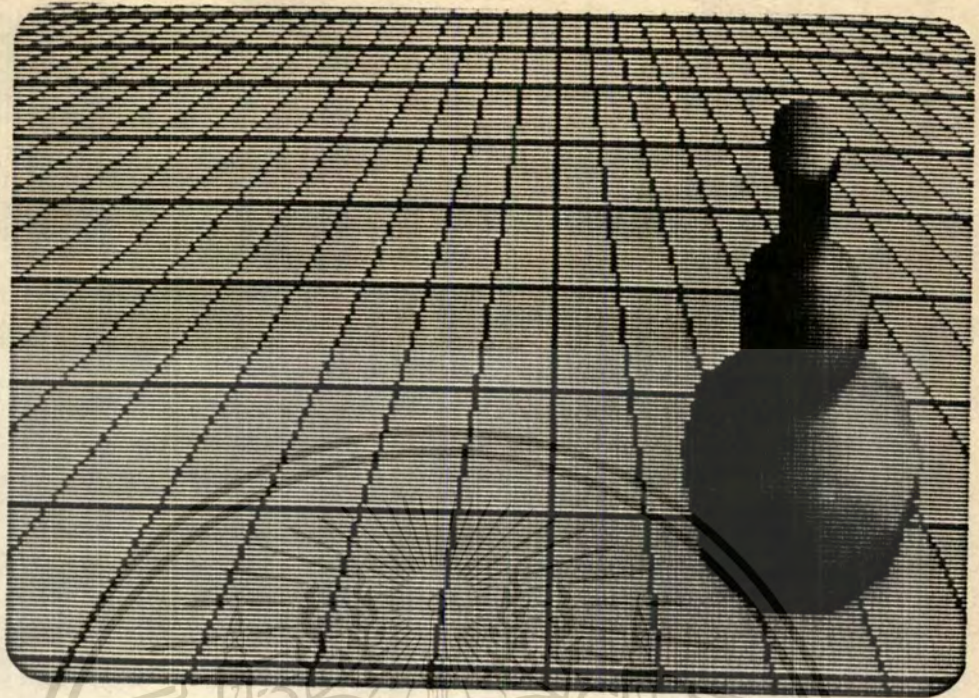


รูป 5.6 ภาพจำลองที่มีระดับความเข้มบนแต่ละชั้นภาพไม่ต่อเนื่องกัน

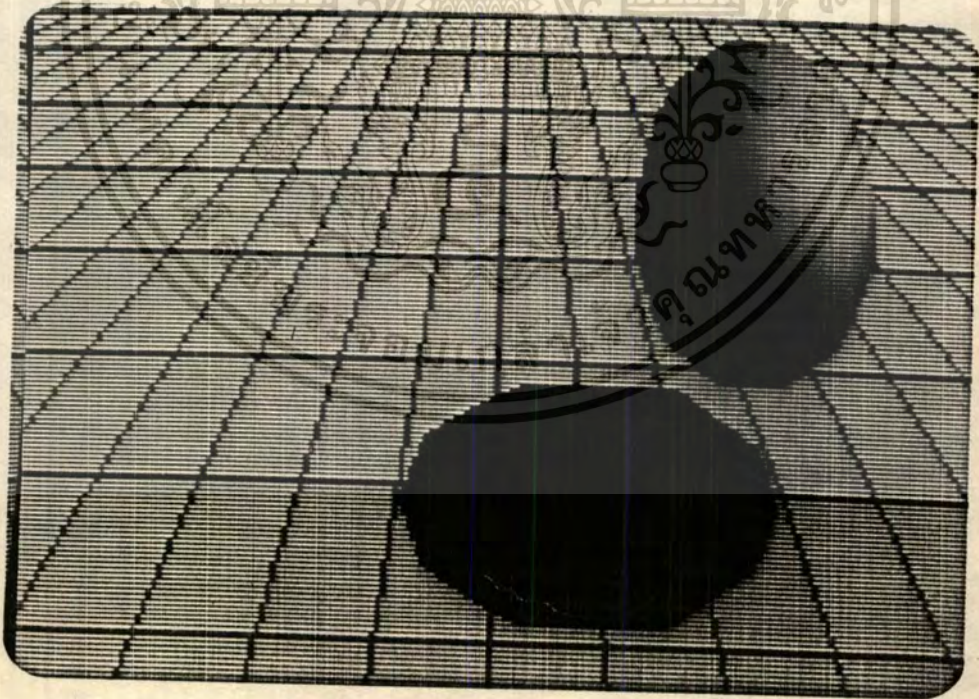


รูป 5.7 แสดงการเฉลี่ยความเข้มระดับแสงบนชั้นภาพของวัตถุ

เอกสารนี้เป็นเอกสารที่สงวนไว้สำหรับการใช้งานเพื่อการศึกษาเท่านั้น ไม่อนุญาตให้นำไปใช้ประโยชน์ด้านการค้า  
ไม่ว่ากรณีใดๆทั้งสิ้น อีกทั้งห้ามมิให้ดัดแปลงเนื้อหา และต้องอ้างอิงถึงเจ้าของเอกสารทุกครั้งที่มีการนำไปใช้



รูป 5.8 ตัวอย่างภาพจำลองวัตถุ



รูป 5.9 รูปจำลองของวัตถุอีกลักษณะ

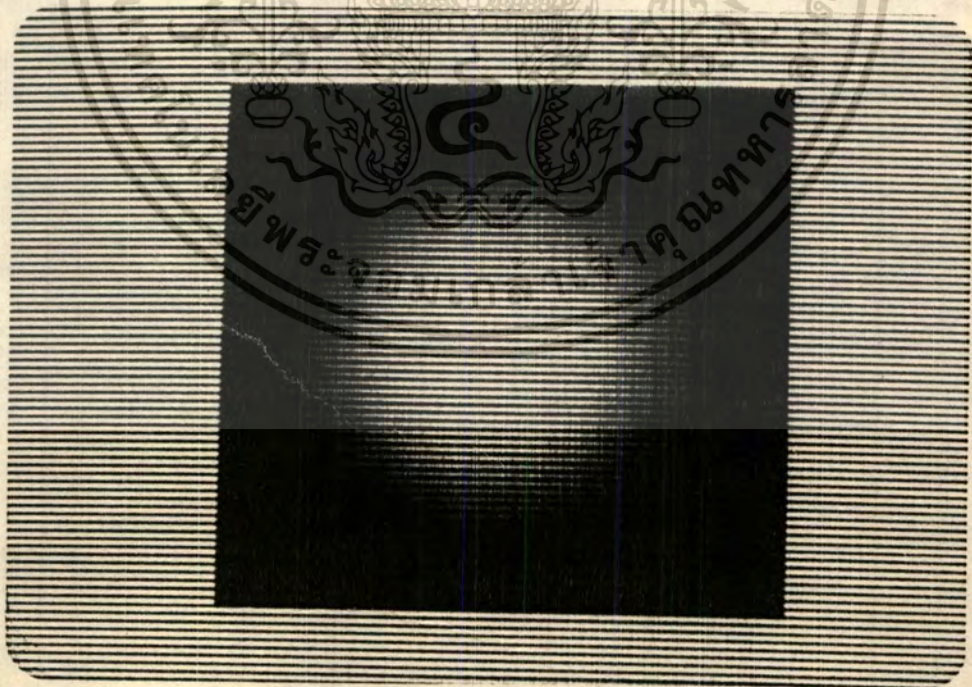
เอกสารนี้เป็นเอกสารที่สงวนไว้สำหรับการใช้งานเพื่อการศึกษาเท่านั้น ไม่นิยมนำไปใช้ประโยชน์ด้านการค้า  
ไม่ว่ากรณีใดๆทั้งสิ้น อีกทั้งห้ามมิให้ดัดแปลงเนื้อหา และต้องอ้างอิงถึงเจ้าของเอกสารทุกครั้งที่มีการนำไปใช้

คำนวณค่าความเข้มแสงบนจุดยอดทุกจุดบนพื้นผิวรูปเหลี่ยมของชั้นวัตถุนั้น เจลี่ยความเข้มจากจุดยอดดังกล่าวตามแนวเส้นขอบทุกด้านของรูปเหลี่ยมเล็ก ๆ นั้น ลากเส้นสแกนผ่านรูปเหลี่ยม โดยเจลี่ยแสงแบบเชิงเส้นตามแนวเส้นสแกนนั้นจากค่าความเข้มแสงบนเส้นขอบของรูปเหลี่ยม ของแต่ละเส้นสแกนที่ผ่านไป เจลี่ยตามแนวสแกนทุกเส้นที่ผ่านรูปเหลี่ยมของพื้นผิววัตถุแต่ละชั้นจนครบบริเวณพื้นผิววัตถุในส่วนที่มองเห็นทั้งหมด

เมื่อทำครบทุกชั้นจะได้ภาพจำลองวัตถุที่มีความเหมือนจริง ดังตัวอย่างรูป 5.8 และ 5.9

## 5.2 การหารูปทรง 3 มิติ จากภาพจำลอง 2 มิติ

จากทฤษฎีของคอมพิวเตอร์กราฟิกในการจำลองภาพ เรานำข้อมูลที่ได้ศึกษานี้มาเป็นสมมุติฐานใช้ในการพิจารณาค่าความถี่ของวัตถุที่ปรากฏในภาพขรรษชาติ  $E(x,y)$  และได้ทำการจัดข้อมูลภาพให้เหมาะสม ( ภาษา BASIC ขนาด  $64 \times 64$  และ PASCAL ขนาด  $128 \times 128$  ) กำหนดตามตำแหน่งแบบดิจิตอลด้วยค่า  $i, j$  เป็นค่า  $I(i, j)$  ค่าความเข้มแสงซึ่งจัดขนาดได้นี้นำมาเป็นฟังก์ชันของความเข้มแสงบนวัตถุ  $R(f, g)$  เป็นฟังก์ชันของ reflectance map และอยู่ภายใต้ข้อกำ



รูป 5.10 แสดงรูปทรงกลมจำลองบนคอมพิวเตอร์ 256 ระดับ

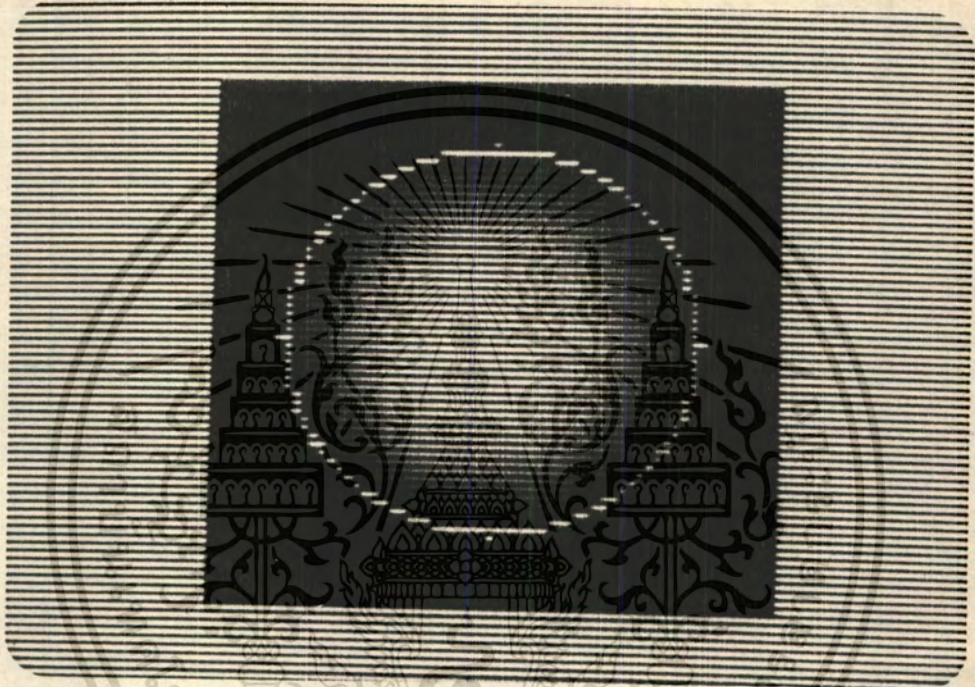
เอกสารนี้เป็นเอกสารที่สงวนไว้สำหรับการใช้งานเพื่อการศึกษาเท่านั้น ไม่นอนุญาตให้นำไปใช้ประโยชน์ด้านการค้า  
ไม่ว่ากรณีใดๆทั้งสิ้น อีกทั้งห้ามมิให้คัดแปลงเนื้อหา และต้องอ้างอิงถึงเจ้าของเอกสารทุกครั้งที่มีการนำไปใช้

หนดของความล้มพันธ์ดังนี้

$$E(x,y) = I(i,j) = R(f,g)$$

ขั้นตอน 1

จำลองรูปทรงกลม คำนวณหาระดับแสง และโปรเจคลงบนจอมอนิเตอร์ดังรูป 5.10

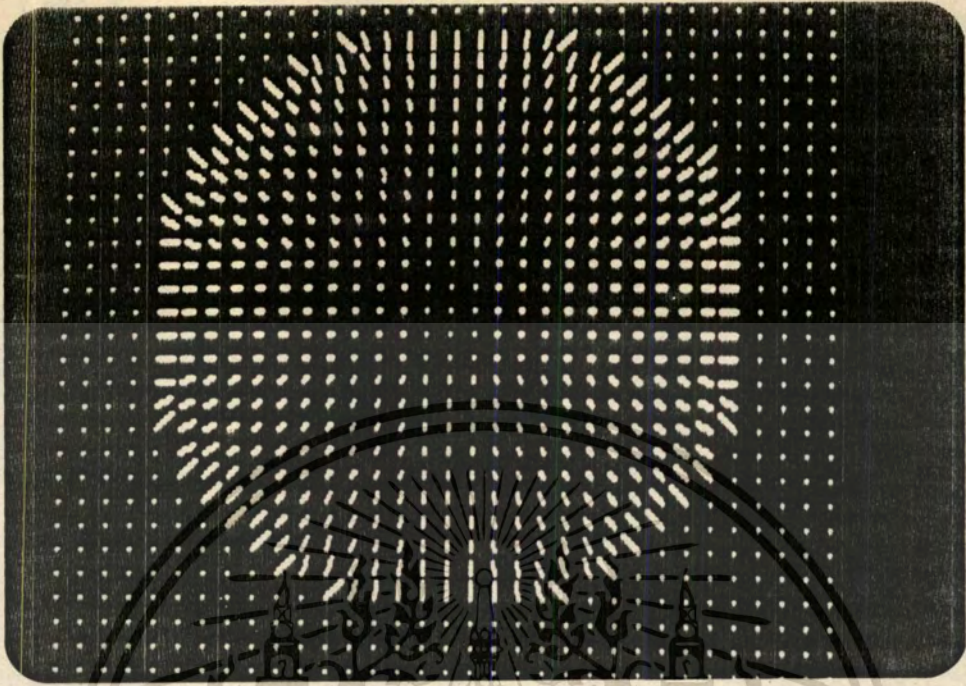


รูป 5.11 แสดงลักษณะพื้นผิวจากบริเวณ occluding boundary

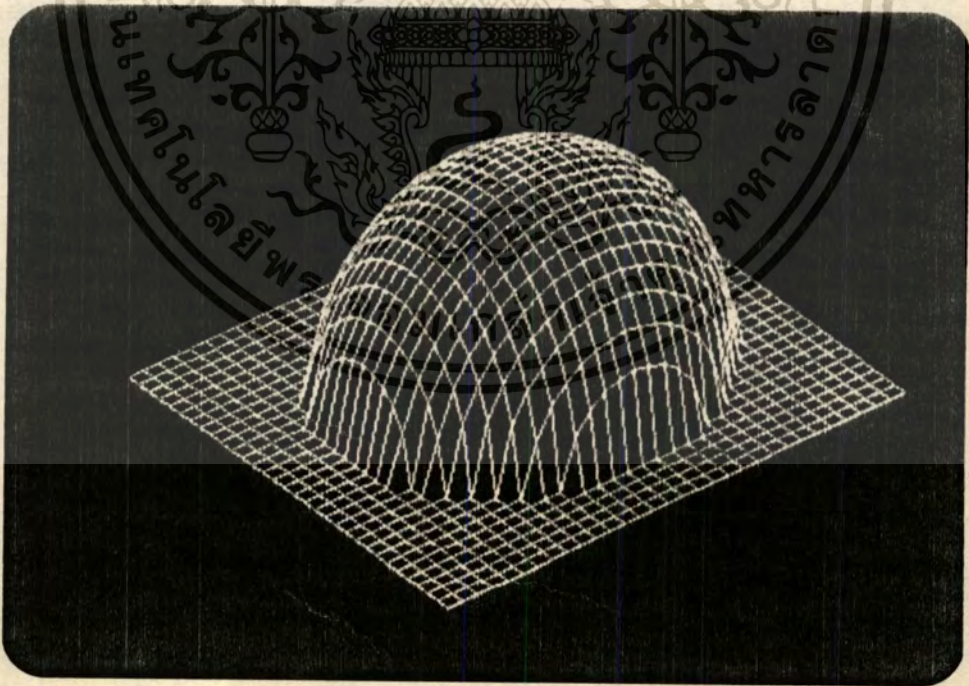
ขั้นตอน 2

นำภาพที่ได้มาตัดขอบโดยวิธี zero crossing กำหนดค่าที่ขอบเป็น occluding boundary ในกรณีนี้มีค่าเป็นมุมตั้งฉากกับพื้นผิว 90 องศา นำไปเป็นค่าเริ่มต้นของการคำนวณแบบ propagation ตามทฤษฎีบทที่ 4 สมการ 2.24 และ 2.25

จากการเริ่มต้นด้วยค่าเฉพาะขอบให้มีค่า  $(f^2 + g^2)^{1/2} = 2$  และค่าอื่นทุกค่าเป็นศูนย์หมด ผลปรากฏว่าในบริเวณพื้นผิวที่มีมุมสัมพันธ์มีค่าน้อย ค่าเริ่มต้นซึ่งเป็นค่าเฉลี่ยของ  $f, g$  จากจุดภาพโดยรอบมีค่าน้อยมากทำให้ค่าเริ่มต้นในสมการที่ 2.24 และ 2.25 มีค่าเป็นศูนย์ ดังนั้นการคำนวณจึงไม่สามารถให้ผลออกมาได้ หลังจากได้ทดลองโดยการให้ค่าคงที่ใด ๆ เป็นค่าเริ่มต้นเมื่อเกิดเอกสารนี้เป็นเอกสารที่สงวนไว้สำหรับการใช้งานเพื่อการศึกษาเท่านั้น ไม่นิยมนำไปใช้ประโยชน์อื่นใด ๆ ทั้งสิ้น อีกทั้งห้ามมิให้ตัดแปลงเนื้อหา และต้องอ้างอิงถึงเจ้าของเอกสารทุกครั้งที่มีการนำไปใช้

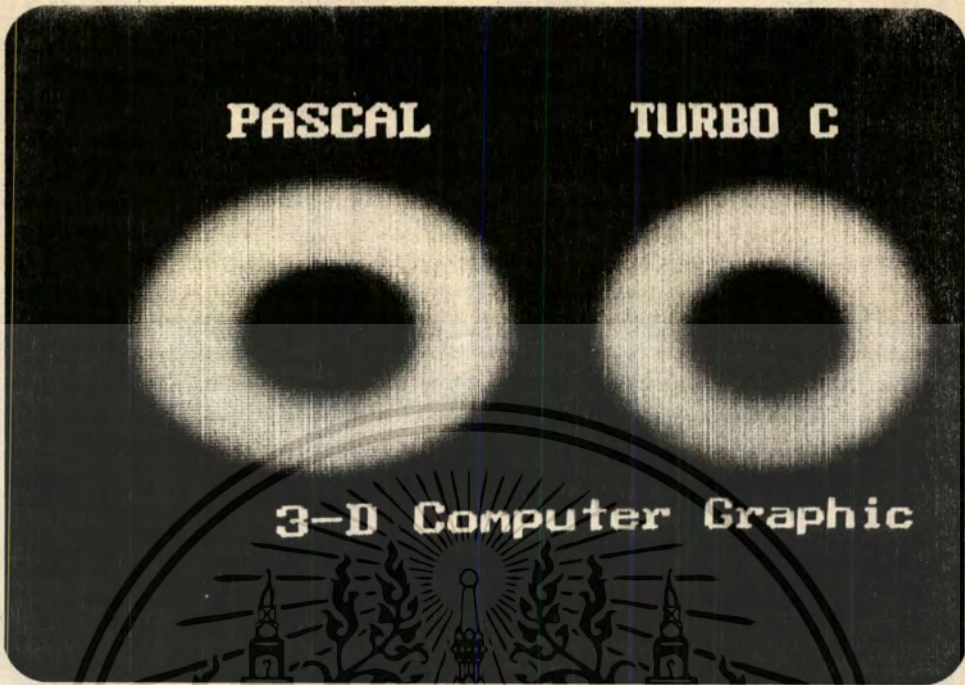


รูป 5.12 แสดงผลของการคำนวณพื้นผิวด้วย needle diagram

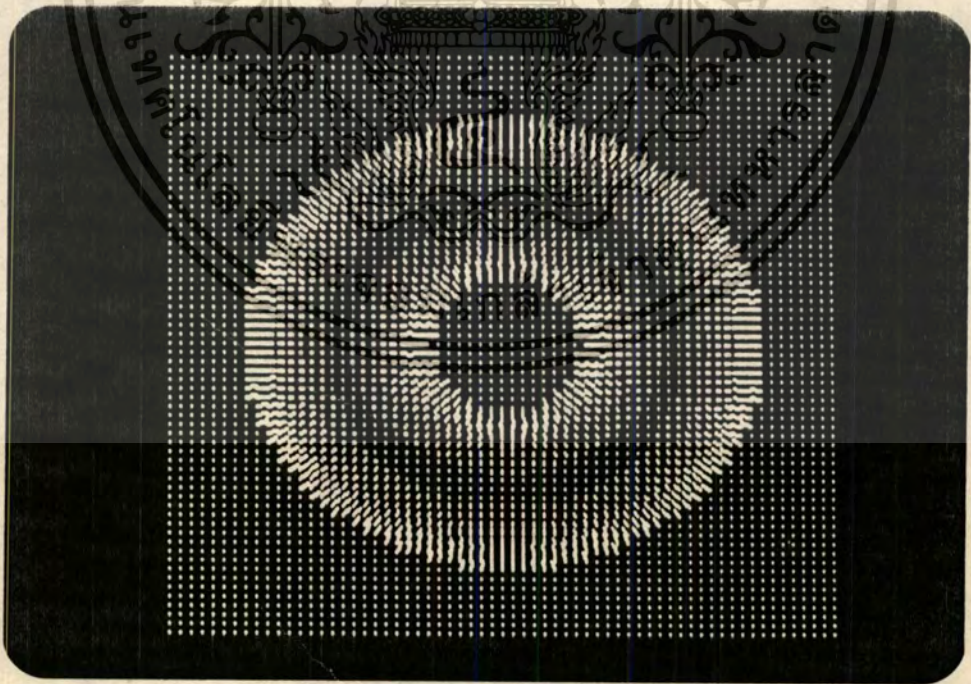


รูป 5.13 แสดงพื้นผิวของวัตถุในระบบแกนมิติ

เอกสารนี้เป็นเอกสารที่สงวนไว้สำหรับบริการใช้งานเพื่อการศึกษาเท่านั้น เมื่อนำไปใช้ประโยชน์ด้านการค้าไม่ว่ากรณีใดๆทั้งสิ้น อีกทั้งห้ามมิให้ตัดแปลงเนื้อหา และต้องอ้างอิงถึงเจ้าของเอกสารทุกครั้งที่มีการนำไปใช้

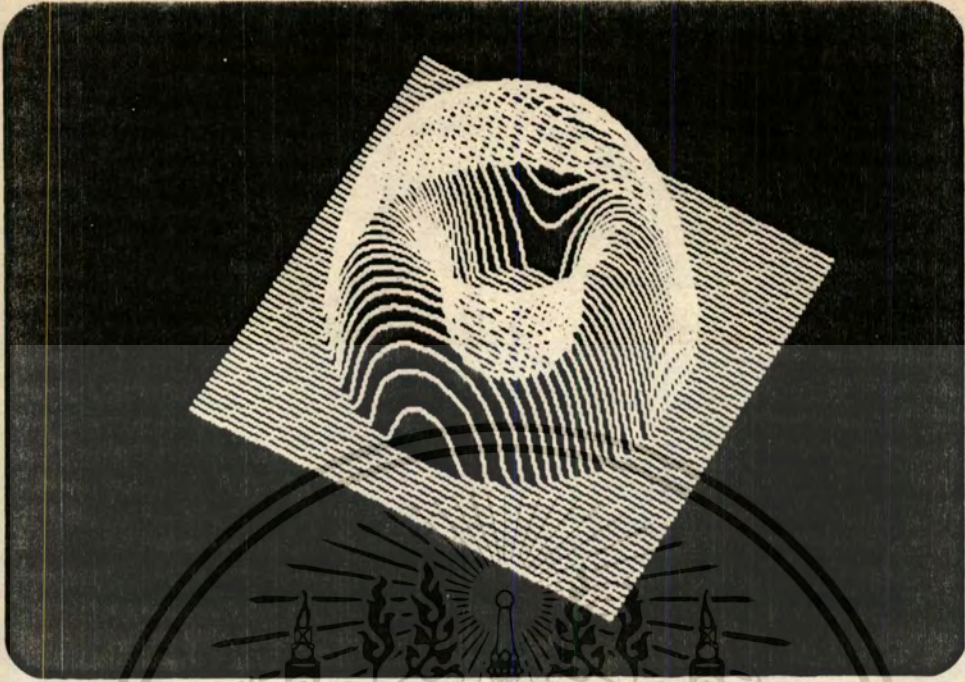


รูป 5.14 ภาพจำลองรูปโดนัท

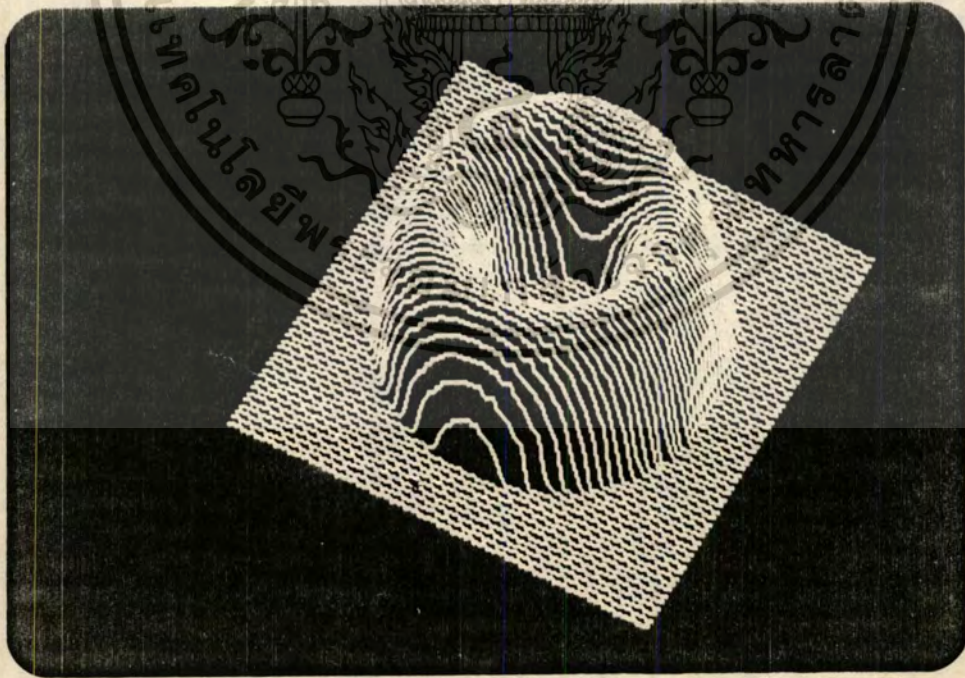


รูป 5.15 แสดง needle diagram ของรูปโดนัท

เอกสารนี้เป็นเอกสารที่สงวนไว้สำหรับการใช้งานเพื่อการศึกษาเท่านั้น ไม่อนุญาตให้นำไปใช้ประโยชน์ด้านการค้า  
ไม่ว่ากรณีใดๆทั้งสิ้น อีกทั้งห้ามมิให้ตัดแปลงเนื้อหา และต้องอ้างอิงถึงเจ้าของเอกสารทุกครั้งที่มีการนำไปใช้



รูป 5.16 แสดงพื้นผิวของรูปโดนัทในระบบแกนมิติ



รูป 5.17 แสดงพื้นผิวของรูปโดนัทในระบบแกนมิติ

เอกสารนี้เป็นเอกสารที่สงวนไว้สำหรับการใช้งานเพื่อการศึกษาเท่านั้น ไม่อนุญาตให้นำไปใช้ประโยชน์ด้านการค้า  
ไม่ว่ากรณีใดๆทั้งสิ้น อีกทั้งห้ามมิให้ดัดแปลงเนื้อหา และต้องอ้างอิงถึงเจ้าของเอกสารทุกครั้งที่มีการนำไปใช้

เงื่อนไขดังกล่าว ผลของการคำนวณจะได้ขนาดของมุมสัมผัสที่ถูกต้องแต่ทิศทางผิดพลาด จึงได้แทนค่าดังกล่าวด้วยค่าความชันของความเข้มแสง (gradient) โดยจัดขนาดให้เหมาะสม

ผลของการคำนวณที่ได้จะเป็นค่า normal vector ของพื้นผิวในแต่ละตำแหน่ง สามารถนำมาเขียนแสดงได้ดังรูป 5.12

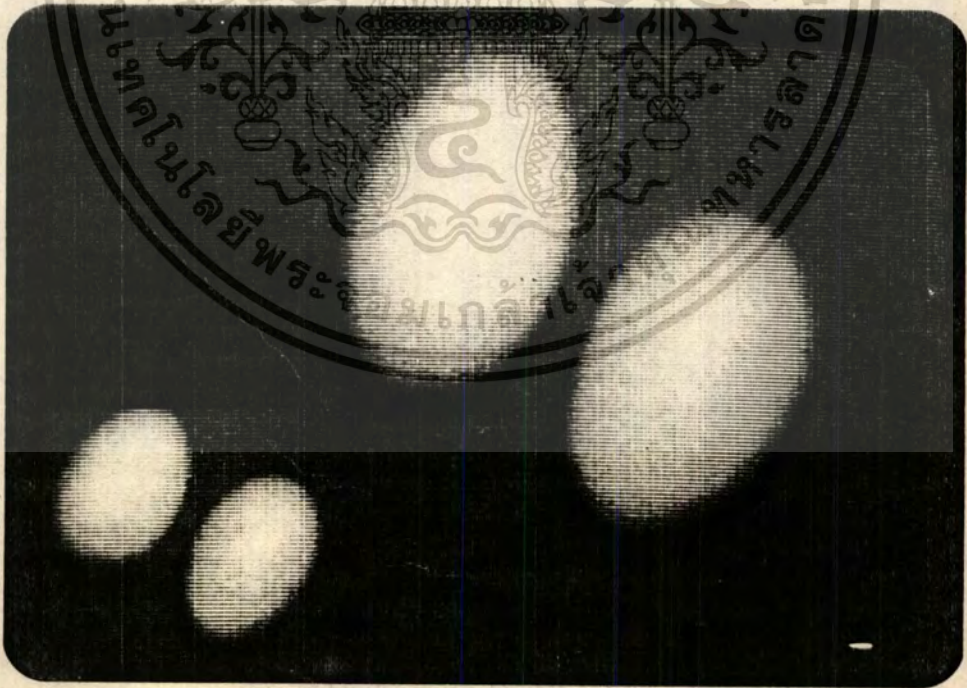
### ขั้นตอน 3

นำผลที่คำนวณได้นี้มาแสดงผลในแกน 3 มิติ โดยวิธีการของคอมพิวเตอร์กราฟฟิก ดังรูป 5.13

เมื่อทดลองได้ผลดังกล่าว จึงได้ทดลองจำลองภาพวัตถุลักษณะอื่น ๆ ซึ่งอยู่ภายใต้ข้อจำกัดเดิม ดังตัวอย่างรูปที่ 5.14 และรูป 5.15

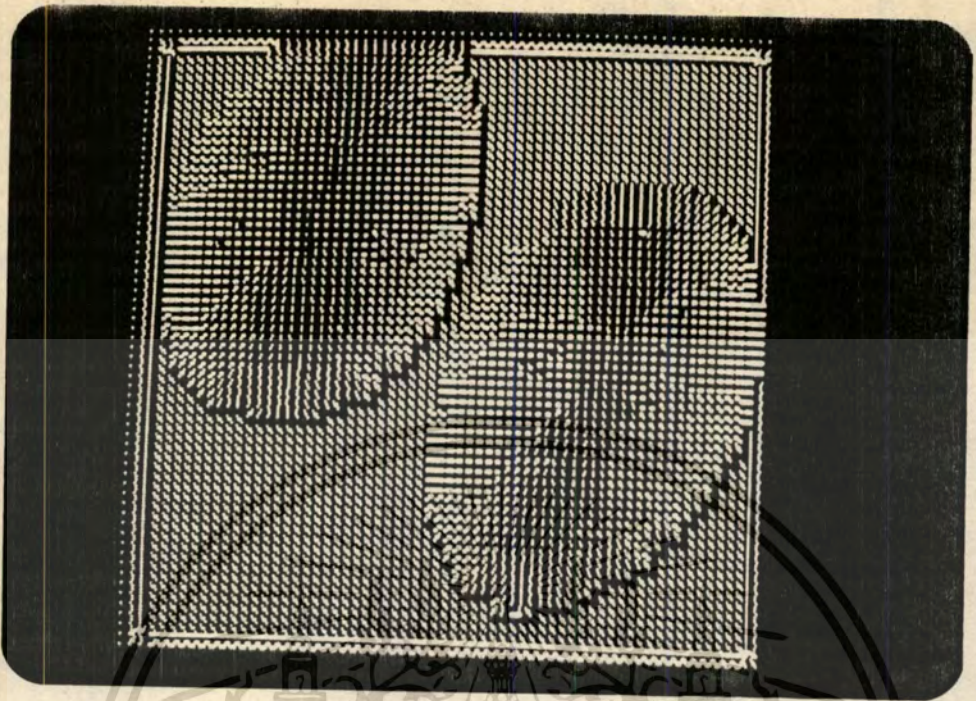
### 5.3 การหารูปทรง 3 มิติจากภาพจริงตามธรรมชาติ

ไซโกเป็นวัตถุที่นำมาใช้ในทดลอง ถ่ายภาพด้วยกล้อง vidicon เก็บภาพเข้าไฟล์ข้อมูล นำภาพที่ได้มาประมวลผลตามวิธีการเดิม

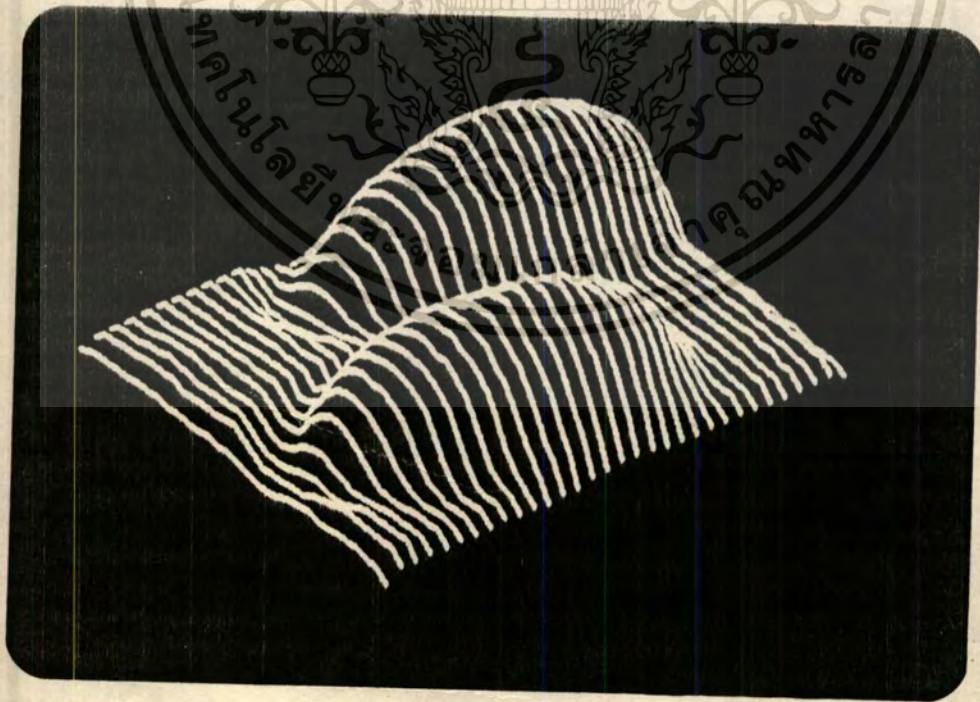


รูป 5.18 แสดงรูปวัตถุจากกล้องบนจอมอนิเตอร์ 127 ระดับ

เอกสารนี้เป็นเอกสารที่สงวนไว้สำหรับการใช้งานเพื่อการศึกษาเท่านั้น ไม่อนุญาตให้นำไปใช้ประโยชน์ด้านการค้า ไม่ว่ากรณีใดๆทั้งสิ้น อีกทั้งห้ามมิให้ตัดแปลงเนื้อหา และต้องอ้างอิงถึงเจ้าของเอกสารทุกครั้งที่มีการนำไปใช้



รูป 5.19 แสดงผลของการคำนวณท่อนผ้าด้วย needle diagram



รูป 5.20 แสดงพื้นผ้าของวัตถุในระบบแกมมิติ

เอกสารนี้เป็นเอกสารที่สงวนไว้สำหรับการใช้งานเพื่อการศึกษาเท่านั้น ไม่อนุญาตให้นำไปใช้ประโยชน์ด้านการค้า  
ไม่ว่ากรณีใดๆทั้งสิ้น อีกทั้งห้ามมิให้ตัดแปลงเนื้อหา และต้องอ้างอิงถึงเจ้าของเอกสารทุกครั้งที่มีการนำไปใช้

### ขั้นตอน 1

ภาพวัตถุจากกล้องถ่ายภาพ vidicon บนจอมอนิเตอร์ดังรูป 5.18 จากนั้นจึงได้

ลุ่มข้อมูลให้ได้ภาพขนาด 64 x 64 ระดับ

### ขั้นตอน 2

นำภาพที่ได้มาตัดขอบโดยวิธี zero crossing กำหนดค่าที่ขอบเป็น occluding boundary ในกรณีที่ไม่มีค่าเป็นมุมตั้งฉากกับพื้นผิว 90 องศา นำไปเป็นค่าเริ่มต้นของการคำนวณแบบ propagation แต่เนื่องจากภาพที่ได้เป็นภาพที่ได้จากภาพตามธรรมชาติ ดังนั้นจึงมีสัญญาณรบกวนซึ่งเกิดการไม่เป็นไปตามข้อจำกัดทางทฤษฎี ดังนั้นจึงต้องทำการกำจัดการรบกวนตามทฤษฎีในบทที่สอง แต่เนื่องจากพื้นของรูปภาพบริเวณที่เป็นฉากมีความเข้มของแสงน้อยมาก จึงสามารถตัดรูปวัตถุออกจากฉากได้โดยง่ายและกำหนดค่าบริเวณฉากให้เป็นศูนย์ ดังนั้นจึงสามารถใช้วิธี zero crossing ตัดขอบของวัตถุได้โดยปรับขนาดของช่องหน้าต่างให้เหมาะสมกับลักษณะความถี่ของรูปภาพ และให้ได้เส้นขอบชัดเจนบริเวณที่ทิศทางแสงสัมผัสกับแสง (occluding boundary) และกำหนดค่าเริ่มต้นด้วยค่าความชันของความเข้มแสงเพื่อให้ค่าผลของการคำนวณมีทิศทางถูกต้อง เช่นเดียวกับการวิธีกារคำนวณหาโครงสร้าง 3 มิติจากภาพจำลองวัตถุบนระนาบ 2 มิติ

ผลของการคำนวณที่ได้จะเป็นค่า normal vector ของพื้นผิวในแต่ละตำแหน่ง สามารถนำมาเขียนแสดงได้ดังรูป 5.19

### ขั้นตอน 3

นำผลที่คำนวณได้นั้นมาแสดงผลในแกน 3 มิติ โดยวิธีการของคอมพิวเตอร์กราฟิกส์ ดังรูป 5.18

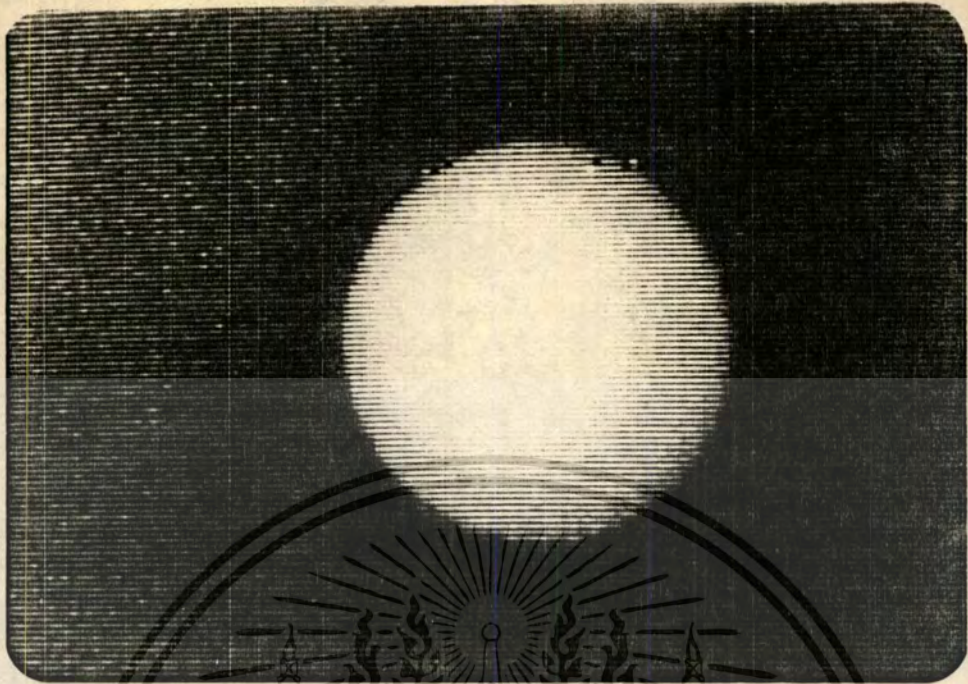
จากการทดลองทุกขั้นตอนจะพบว่าการคำนวณใช้เวลานานมาก ซึ่งขึ้นอยู่กับลักษณะของรูปวัตถุ โดยเฉพาะวัตถุซึ่งมีค่ายอดเนินของพื้นผิวมาก เช่น รูปโดนัท ใช้เวลา 1 ชั่วโมง 25 นาที รูปทรงกลมใช้เวลา 35 นาที (เครื่องคอมพิวเตอร์ IBM PC/AT) และรูปไข่ไก่ซึ่งเป็นรูปภาพจากธรรมชาติใช้เวลา 45 นาที สำหรับค่าผิดพลาดของลักษณะพื้นผิวจากรูปทรงกลม โดยเปรียบเทียบโครงสร้างสามมิติของภาพจำลองกับผลจากการทดลอง ดังรูปที่ 5.21 เป็นค่าความผิดพลาดคิดเป็นเปอร์เซ็นต์ต่อมุมเส้น เอกสารนี้เป็นเอกสารที่สงวนไว้สำหรับการใช้งานเพื่อการศึกษาเท่านั้น ไม่นอนุญาตให้นำไปใช้ประโยชน์ด้านการค้า ไม่ว่ากรณีใดๆทั้งสิ้น อีกทั้งห้ามมิให้ตัดแปลงเนื้อหา และต้องอ้างอิงถึงเจ้าของเอกสารทุกครั้งที่มีการนำไปใช้

สัมผัสของพื้นระนาบบนพื้นผิววัตถุ ค่าผิดพลาดที่เกิดขึ้นนี้เกิดจากวิธีการคำนวณด้วยคอมพิวเตอร์เนื่องจากการคำนวณที่มีการรบกวนที่มีการรบกวนกำลังของค่าโคไซน์และไซน์ซึ่งเป็นค่าจุดทศนิยม เมื่อมีขั้นตอนการการคำนวณหลายขั้นตอนและการคำนวณซ้ำ จากวิธี propagation

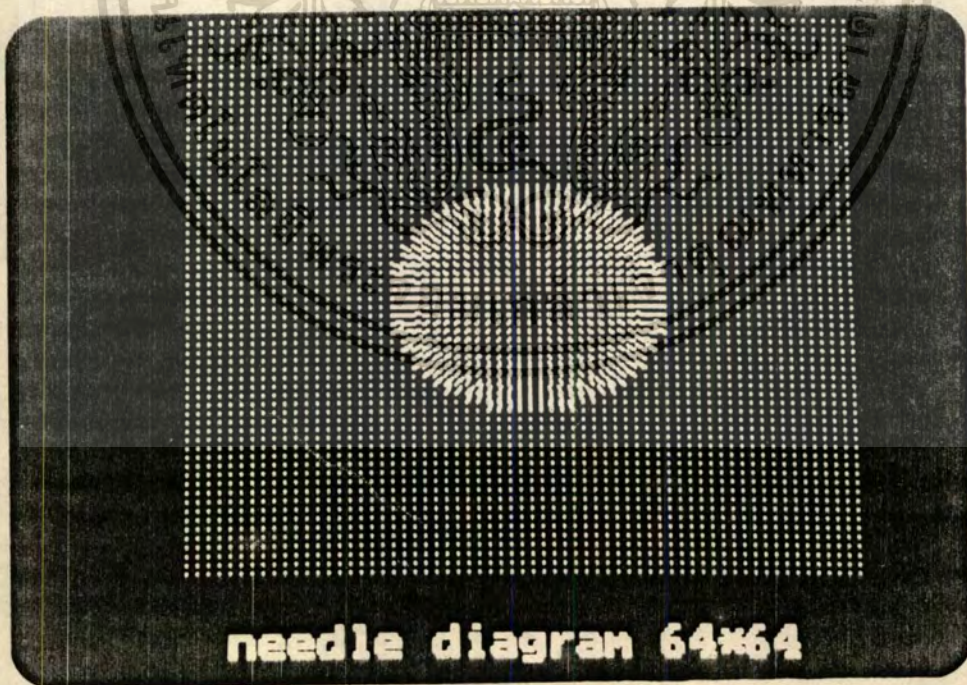


รูป 5.21 ค่าผิดพลาดต่อมุมเส้นสัมผัสกับจุดบนพื้นผิววัตถุ

เมื่อทดลอง ได้ผลดังกล่าว จึงได้ทดลองจำลองภาพวัตถุลักษณะอื่น ๆ ซึ่งอยู่ภายใต้ข้อจำกัดเดิม ดังตัวอย่างรูปลูกบิ๊งซึ่งถ่ายจากสภาพแวดล้อมตามธรรมชาติ แสดงผลการคำนวณหาลักษณะพื้นผิวด้วย needle diagram และรูปทรงในระบบแกนมิติ

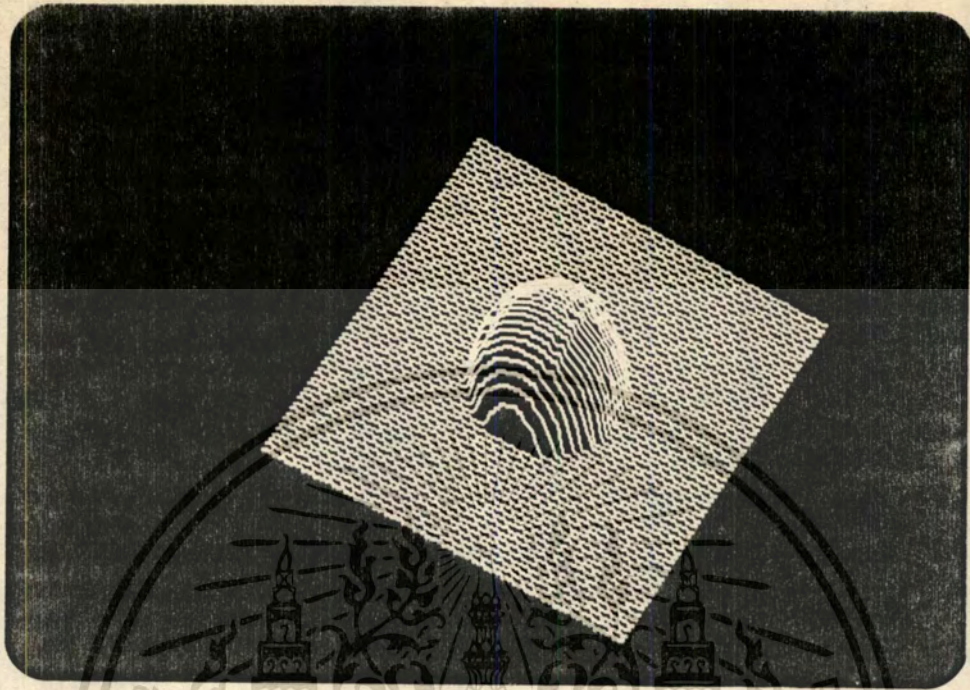


รูป 5.22 แสดงรูปลูกปัดป้องกันจากกล้องจุลทรรศน์ 127 ระดับ



รูป 5.23 แสดงผลของการคำนวณเพิ่มพิวด้วย needle diagram

เอกสารนี้เป็นเอกสารที่สงวนไว้สำหรับการใช้งานเพื่อการศึกษาเท่านั้น ไม่อนุญาตให้拿去ใช้ประโยชน์ด้านการค้า  
ไม่ว่ากรณีใดๆทั้งสิ้น อีกทั้งห้ามมิให้ตัดแปลงเนื้อหา และต้องอ้างอิงถึงเจ้าของเอกสารทุกครั้งที่มีการนำไปใช้



รูป 5.24 แสดงพื้นผิวของวัตถุในระบบแกมมิติ



เอกสารนี้เป็นเอกสารที่สงวนไว้สำหรับการใช้งานเพื่อการศึกษาเท่านั้น ไม่อนุญาตให้นำไปใช้ประโยชน์ด้านการค้า  
ไม่ว่ากรณีใดๆทั้งสิ้น อีกทั้งห้ามมิให้ดัดแปลงเนื้อหา และต้องอ้างอิงถึงเจ้าของเอกสารทุกครั้งที่มีการนำไปใช้

## บทที่ 6

## บทสรุป

การคำนวณหาภาพ 3 มิติจากรูปภาพ 2 มิติด้วยวิธีการนี้ ยังต้องอยู่ภายใต้ข้อจำกัดทางทฤษฎีหลายอย่าง และผลของการทดลองย่อมขึ้นอยู่กับความถูกต้องของสมมุติฐานในทฤษฎีซึ่งเกี่ยวกับการเกิดควมสว่างของแสงบนวัตถุที่ปรากฏบนภาพ

ส่วนวิธีการทดลอง รูปภาพที่นำมาถ่ายด้วยกล้องวัดทัศนนั้น เป็นรูปภาพซึ่งเกิดในสิ่งแวดล้อมตามธรรมชาติ ย่อมไม่สามารถทำให้เป็นไปตามข้อจำกัดทางทฤษฎี อย่างไรก็ตามที่ได้จากการทดลองนับว่าเป็นที่น่าพอใจ ค่าความผิดพลาดที่เกิดจากวิธีการทางตัวเลขขึ้นอยู่กับความสามารถของเครื่องคอมพิวเตอร์ที่ใช้ รวมทั้งสาเหตุจากขนาดจำนวนจุดของภาพและค่าหน่วยความจำที่มี ความเร็วในการประมวลผลนั้นขึ้นอยู่กับขนาดของภาพและลักษณะของโครงสร้างของวัตถุ ทั้งค่าความผิดพลาดและความเร็วในการประมวลผลนั้น อาจลดลงได้ถ้าการกำหนดค่า เริ่มต้นมีค่าของขนาดและทิศทางใกล้เคียงกับความเป็นจริงของพื้นผิววัตถุของแต่ละตำแหน่ง ในการทดลองนี้ ใช้ค่าความชันของสัญญาณแสงที่มีขนาดพอเหมาะมาใช้เป็นค่า เริ่มต้นซึ่งช่วยให้ทิศทางของพื้นผิวสามารถประมวลผลได้อย่างถูกต้อง

สิ่งที่น่าทำการศึกษาค้นคว้าต่อไปก็คือ ถ้าลักษณะพื้นผิวมีลักษณะต่างไปจากการทดลองนี้ เช่น ถ้ารูปวัตถุมีพื้นผิวขรุขระชันสูงชันและขรุขระที่กลับลาดต่ำลงมานั้น ก่อนที่จะลาดลงมาสู่ค่าต่ำสุด ได้ย้อนกลับขึ้นไปใหม่ดังลักษณะของหลุมภูเขาไฟ ลักษณะพื้นผิว เช่นนี้ย่อมอยู่ในข้อจำกัดของพื้นผิวต่อเนื่องแต่การใช้ค่า เริ่มต้นระหว่างรอยต่อของการย้อนกลับนั้นควรจะเป็น เช่นใด สิ่งที่น่าสนใจอีกประการก็คือการหาวิธีการที่จะจดจำวัตถุ 3 มิติ ซึ่งจะต้องมีวิธีการที่ยุงยากซับซ้อนแตกต่างไปจากวิธีการในวัตถุ 2 มิติ การใช้ข้อมูลจากแสง เงา และลายเส้นขอบในลักษณะ perspective และอื่น ๆ ย่อมเป็นแนวทางในการวิจัยต่อไป

## บรรณานุกรม

1. Ikuechi, K., "Shape from Regular Patterns", Artificial Intelligence , Vol. 22, pp.49-75, 1984.
2. Witkin, A.P., "Recovering surface shape and orientation from texture", Artificial Intelligence , Vol.17, pp.17-45, 1981.
3. Ikuechi, K. Horn, B.K.P., "Numerical shape from shading and occluding boundaries", Artificial Intelligence , Vol.17, pp.141-181, 1981.
4. Lowe, D.G., "Three-Dimensional Object Recognition from Single Two-Dimensional Images", Artificial Intelligence , Vol.31, pp.355-395, 1987.
5. Steven, K.A., "The visual interpretation of surface contours", Artificial Intelligence, Vol. 17, pp. 47-73, 1981.
6. Barnard, S.T., "Interpreting perspective images", Artificial Intelligence, Vol.21, pp. 435-462, 1983.
7. Brooks, R.A., "Symbolic reasoning among 3-D model and 3-D images", Artificial Intelligence, Vol. 17, pp. 285-348, 1981.
8. Kanade, T., "Recovery of the Three-Dimensional Shape of an Object from a Single View", Artificial Intelligence, Vol.17, pp. 409-460, 1981.
9. H.G. Barrow, J.M. Tenenbaum, "Interpreting Line Drawings as Three-Dimensional Surface", Artificial Intelligence, Vol.17, pp.75-166, 1981.
10. Terzopoulos, D., "The Computation of Visible-Surface Representations", IEEE Trans Pattern Anal. Machine Intell., Vol. 10, pp.417-437, 1988.
11. Frankot, R.T., "A Method for Enforcing Integrability in Shape from

เอกสารนี้เป็นเอกสารที่สงวนไว้สำหรับการใช้งานเพื่อการศึกษาเท่านั้น ไม่อนุญาตให้นำไปใช้ประโยชน์ด้านการค้า  
ไม่ว่ากรณีใดๆทั้งสิ้น อีกทั้งห้ามมิให้ดัดแปลงเนื้อหา และต้องอ้างอิงถึงเจ้าของเอกสารทุกครั้งที่มีการนำไปใช้

- Shading Algorithms", IEEE Trans Pattern Anal. Machine Intell., Vol. 10, pp.439-451, 1988.
12. Gouraud, H., "Computer Display of Curve Surfaces", IEEE Trans.C-20, pp.623-628, 1971.
13. ช่างชัย นิลทิพย์วิทยานนท์, "การติดตามขอบวัตถุโดยใช้ตารางขอบหน้าต่าง", บทความทางวิชาการ Seminar MI, คณะวิศวกรรมศาสตร์ สถาบันเทคโนโลยีพระจอมเกล้าลาดกระบัง, พฤศจิกายน 2529.
14. Chan S.Park, "Interactive Microcomputer Graphics", Addison-Wesley Publishing Company, Inc., 1985.
15. Steven Harrington, "COMPUTER GRAPHICS A Programming Approach", McGraw-Hill, Inc., 1983.
16. Roy A. Plastock, Gordon Kalley, "COMPUTER GRAPHICS", McGraw-Hill, Inc., 1986.
17. Yoshiaki Shirai, "Three Dimentional Computer Vision", Springer-Verlag Berlin Heidellberge, 1987.
18. Levine, Martin D., "VISION IN MAN AND MACHINE" , McGraw-Hill, Inc., 1985.
19. G.Springer, "International Series in Pure and Applied Mathematics", McGraw-Hill, Inc., 1980.
20. David F. Roger, "PROCEDURAL ELEMENTS FOR COMPUTER GRAPHICS", McGraw-Hill, Inc., 1985.
21. Grimson, William Eric Leifur, "FROM IMAGES TO SURFACES", The Massachusetts Institute of Technology, 1981.
22. Richard O. Duda, Peter E. Hart, "PATTERN CLASSIFICATION AND SCENE ANALYSIS", John Wiley & Sons, Inc., 1973.

เอกสารนี้เป็นเอกสารที่สงวนไว้สำหรับการใช้งานเพื่อการศึกษาเท่านั้น ไม่อนุญาตให้นำไปใช้ประโยชน์ด้านการค้า  
ไม่ว่ากรณีใดๆทั้งสิ้น อีกทั้งห้ามมิให้ตัดแปลงเนื้อหา และต้องอ้างอิงถึงเจ้าของเอกสารทุกครั้งที่มีการนำไปใช้

### กิติกรรมประกาศ

วิทยานิพนธ์ฉบับนี้สามารถสำเร็จได้ด้วยดี ก็เนื่องด้วยได้รับความกรุณาให้คำปรึกษา และแนะนำจาก รองศาสตราจารย์ มนัส สังวรศิลป์ และ รองศาสตราจารย์ ดร.สมเกียรติ ศุภเดช ตลอดจนอาจารย์ เจ้าหน้าที่ และนักศึกษาปริญญาโท แผนกวิชาอิเล็กทรอนิกส์ สถาบันเทคโนโลยีพระจอมเกล้าเจ้าคุณทหาร ลาดกระบัง ทุก ๆ ท่านที่ให้การสนับสนุนเป็นอย่างดี โดยเฉพาะอย่างยิ่งอาจารย์ ประภากร สุวรรณ ได้ช่วยถ่ายภาพผลการทดลองงานวิทยานิพนธ์ ตั้งแต่เริ่มต้นการทดลองจนจบจนกระทั่ง ผลงานทั้งหมดสำเร็จลุล่วงไป รวมทั้งคณะอาจารย์แผนกไฟฟ้ากำลัง สถาบันเทคโนโลยีราชมงคล วิทยาเขตเทคนิคภาคตะวันออกเฉียงเหนือ นครราชสีมา ที่กรุณาให้ความอนุเคราะห์อุปกรณ์เครื่องพิมพ์และร่วมมือช่วยเหลือด้วยความเต็มใจ จึงใคร่ขอขอบพระคุณท่านผู้ได้กล่าวนามมา ณ ที่นี้

ผู้จัดทำ



เอกสารนี้เป็นเอกสารที่สงวนไว้สำหรับการใช้งานเพื่อการศึกษาเท่านั้น ไม่อนุญาตให้นำไปใช้ประโยชน์ด้านการค้า  
ไม่ว่ากรณีใดๆทั้งสิ้น อีกทั้งห้ามมิให้ดัดแปลงเนื้อหา และต้องอ้างอิงถึงเจ้าของเอกสารทุกครั้งที่มีการนำไปใช้

```
1: program trgr;
2: uses tsort,image2;
3: procedure loopy;
4: var h,sm,lmax,q,a :integer;
5: begin
6:   norli;      {*** simulate picture ***}
7:   w1;        {*** save picture ***}
8:   r1;        {*** read image for a procedure ***}
9:   dimage;    {*** load image to digitizer buffer ***}
10:  cle9;      {*** clear memory seg 9000}
11:  smooth;
12:  i9tol;     {*** load memory to array ***}
13:  zeroc;     {*** cal window zerocrossing ***}
14:  cle9;
15:  ezero;     {*** find occluding boundary ***}
16:  i9tol;
17:  dl84ge;    {*** linear data for plotting ***}
18:  writeln('... min zero crossing value ...');
19:  readln(q); {*** select threshold ***}
20:  pt(q,0);   {*** plote freq of data ***}
21:  { zero circle = q which plane = 0 on ..light[i,j]..}
22:  { integer image in linear ..8000:0.. }
23:  { zero crossing from ezero(true) save in linear ..8400:0..}
24:  writeln('***** gradient of image *****');
25:  r1;        {*** read image ***}
26:  gxy;
27:  w2gfile;   {*** save gradient ***}
28:  iteration;
29:  w2ffile;   {*** save normal plane vecter ***}
30:  readln(a);
31:  if a <>10 then loopy;
32: end;
33: begin
34:   loopy;
35: end.
```

```
1: program demon;
2: uses tsort,image2;
3: procedure loopy;
4: var h,sm,lmax,q,a :integer;
5: begin
6:   norli;
7:   zeroc;
8:   lmax:=200;
9:   rlze;
10:  writeln('..... min zero crossing value .....');
11:  readln(q);
12:  pt(q,0);
13:  { zeroc circle = 10  which plane = 0 on ..light[i,j]..}
14:  { integer image in linear ..8000:0.. }
15:  { zero crossing from ezeroc(true) save in linear ..8400:0..}
16:   writeln('***** gradient of image *****');
17:   igslope;
18:   ifslope;
19:   writeln ('***** read plane normal vector *****');
20:   r2ffile; {read gy,gx}
21:   tpny;
22:   tpnyl;
23:   writeln('***** read 3-D contour of image *****');
24:   tangent;
25:   wrefile;
26:   readln;
27:   rl;
28:   writeln('***** read 3 dimension surface *****');
29:   r64file;
30:   v3dl;
31:   readln(a);
32:   if a <>10 then loopy;
33: end;
34: begin
35:   loopy;
36: end.
```

## Listing of b:tsort.pas

Page No. 1

```
1:
2: {           Copyright (c) 1985, 87 by Borland International, Inc.}
3:
4: unit tsort;
5: interface
6: {$R-}
7: {$S-}
8: uses Crt,graph;
9:
10: const max =16383;
11: var
12:   v : word;
13:   i : integer;
14: procedure isort(var b,smax:integer);{** qsort seg 9400 4k **}
15: procedure m9pt(var j:integer); {** plot data seg 9000 4k **}
16: procedure w2ffile;{** write f,g to fx.dta & fy.dta **}
17: procedure r2ffile;{** read f,g from fx.dta & fy.dta **}
18: procedure w2gfile;{** write gradient to gx.dta & gy.dta **}
19: procedure r2gfile;{** read gradient from gx.dta & gy.dta **}
20: procedure igslope; {***** needle of gradient *****}
21: procedure ifslope; {***** needle of normal plane *****}
22: procedure tpx; {***** needle 128 from memory *****}
23: procedure tpy; {***** needle 64 from mem *****}
24: procedure tpy1; {***** needle 32 from memory *****}
25:
26: implementation
27:
28: procedure quicksort( Lo,Hi: integer);
29: procedure sort(l,r: integer);
30: var
31:   i,j,x,y,s: integer;
32: begin
33:   v:=0;
34:   i:=1; j:=r; x:=mem[$9400 :v+((l+r) DIV 2)];
35:   repeat
36:     while mem[$9400 :v+i]<x do i:=i+1;
37:     while x<mem[$9400:v+j] do j:=j-1;
38:     if i<=j then
39:       begin
40:         y:=mem[$9400:v+i];
```

เอกสารนี้เป็นเอกสารที่สงวนไว้สำหรับการใช้งานเพื่อการศึกษาเท่านั้น ไม่อนุญาตให้นำไปใช้ประโยชน์ด้านการค้า  
ไม่ว่ากรณีใดๆทั้งสิ้น อีกทั้งห้ามมิให้ตัดแปลงเนื้อหา และต้องอ้างอิงถึงเจ้าของเอกสารทุกครั้งที่มีการนำไปใช้

```
41:         mem[$9400:v+i]:=mem[$9400:v+j];
42:         mem[$9400:v+j]:=y;
43:         i:=i+1; j:=j-1;
44:     end;
45: until i>j;
46: if l<j then sort(l,j);
47: if i<r then sort(i,r);
48: end;
49:
50: begin {quicksort};
51:   sort(Lo,Hi);
52: end;
53: procedure m9pt(var j:integer); {***** plote freq of light *****}
54: var
55:   Gd, Gm : integer;
56:   s,k,b,l,s1,s2 : integer;
57:   v : word;
58: const Clipon=true;
59: begin
60:   writeln('***** plote freq of data *****');
61:   Gd := Detect;
62:   InitGraph(Gd, Gm, '');
63:   if GraphResult <> grok then
64:     Halt(1);
65:     v :=0;
66:     setlinestyle(dottedln,0,normwidth);
67:     line(45,270,45,10);
68:     line(45,270,715,270);
69:     setlinestyle(solidln,0,normwidth);
70:     for i:= 1 to 20 do
71:       begin
72:         line(46,270-i*10,44,270-i*10);
73:       end;
74:     for i:= 1 to 10 do
75:       begin
76:         line(47,270-i*20,43,270-i*20);
77:       end;
78:     for i:=1 to 30 do
79:       begin
80:         line (45+i*20,271,45+i*20,269);
```

```
81:         end;
82:     for i:=1 to 15 do
83:         begin
84:             line (45+i*40,272,45+i*40,268);
85:         end;
86:     SetTextStyle(DefaultFont, horizDir,2);
87:     OutTextXY(200, 50, 'frequency of data');
88:     SetTextStyle(DefaultFont, horizDir,1);
89:     OutTextXY(260, 80, ' scale 1 : 20 ');
90:     SetTextStyle(DefaultFont, vertDir,1);
91:     OutTextXY(25, 100, 'frequency of data ');
92:     SetTextStyle(DefaultFont, horizDir,1);
93:     OutTextXY(305, 285, 'qsort data ');
94:     k:=1;b:=0;
95:     while j > b do
96:         begin
97:             s1:=45+2*(mem[$9000:v+k]);
98:             s2:=270-(mem[$9000:v+k+1]);
99:             line(s1,s2,s1,270);
100:            k:=k+2; inc(b);
101:        end;
102:        delay(1000);readln;
103:        CloseGraph;
104:    end;
105:    procedure isort(var b,smax:integer);
106:    var    v      : word;
107:          i,s,j,k : integer;
108:          ch      : char;
109:    begin {qsort}
110:        v:=0;
111:        Writeln('***** Now sorting 0-16384 from $9400:00 *****');
112:        quicksort(0,max);
113:        writeln('***** list data [Y/N] ***** ');
114:        smax:=mem[$9400:v+max];
115:        writeln(smax);
116:        ch :=Readkey;
117:        if ch = 'y' then
118:            begin
119:                writeln('location : data');
120:                delay(1000);
```

```
121:         i:=0;
122:         while i <= max do
123:             begin
124:                 write(i:8,' ');
125:                 for j:=1 to 16 do
126:                     begin
127:                         Write(mem[$9400:v+i]:4);
128:                         i:=i+1;
129:                     end;
130:                 writeln;
131:             end;
132:         end;
133:         Write('***** Now count level 0-16384 from $9400:00 *****');
134:         v:=0;
135:         s:=mem[$9400 : v];
136:         j:=1; k:=0; b:=0;
137:         for i:=1 to max+1 do
138:             begin
139:                 k:=k+1;
140:                 if i= max+1 then
141:                     begin
142:                         mem[$9000 : v+j]:=s;
143:                         mem[$9000 : v+j+1]:=k;
144:                         b:=b+1;
145:                     end;
146:                 if mem[$9400 : v+i] > s then
147:                     begin
148:                         mem[$9000 : v+j] := s;
149:                         s:=mem[$9400 : v+i];
150:                         j:=j+1; mem[$9000 : v+j]:=k;
151:                         j:=j+1;b:=b+1;
152:                         k:=0;
153:                     end;
154:                 end;
155:             writeln(b);
156:             i:=0;
157:             writeln('***** list level data [Y/N] *****');
158:             ch:=readkey;
159:             if ch = 'y' then
160:                 begin
```

```
161:         writeln ('[ order ]      : data : frequency ');
162:         delay(1000);
163:         j:=0;
164:         while j < b do
165:             begin
166:                 write(' ',j:3,');
167:                 k:=wherey;
168:                 gotoxy(15,k);
169:                 for s:=0 to 4 do
170:                     begin
171:                         i:=i+1;
172:                         write(' ',mem[$9000:v+i]:4,mem[$9000:v+i+1]:4);
173:                         i:=i+1;j:=j+1;
174:                     end;
175:                 writeln(' ');
176:                 delay(200);
177:             end;
178:         end;
179:         delay(1000);
180:         clrscr;
181:     end;
182: procedure w2ffile;{** write f,g to fx.dta & fy.dta **}
183: type   rfile = file of integer;
184: var
185:     w : word;
186:     i,j,t1,t2 : integer;
187:     infd1,inf2 : word;
188:     gxfile : rfile;
189:     gyfile : rfile;
190: begin
191:     assign(gxfile,'b:fx.dta');
192:     assign(gyfile,'b:fy.dta');
193:     rewrite(gxfile);
194:     rewrite(gyfile);
195:     w:=0;
196:     for i := 0 to 127 do
197:         begin
198:             for j := 0 to 127 do
199:                 begin
200:                     infd1 := memw[$8800:w];
```

```
201:         infd2 := memw[$9000:w];
202:         t1:=infd1;t2:=infd2;
203:         write(gxfile ,t1);
204:         write(gyfile ,t2);
205:         w:=w+2;
206:     end;
207: end;
208: close(gxfile); close(gyfile);
209: end;
210: procedure r2ffile;{** read f,g from fx.dta & fy.dta **}
211: var
212:     infd1,infid2 : word;
213:     i,j,t1,t2 : integer;
214:     code : integer;
215:     gxfile : file of integer;
216:     gyfile : file of integer;
217:     w : word;
218: begin
219:     assign(gxfile,'b:fx.dta');
220:     assign(gyfile,'b:fy.dta');
221:     reset(gxfile);
222:     reset(gyfile);
223:     w:=0;
224:     for i := 0 to 127 do
225:     begin
226:         for j := 0 to 127 do
227:         begin
228:             read(gxfile ,t1);
229:             read(gyfile ,t2);
230:             infd1:=t1;infid2:=t2;
231:             memw[$8800:w]:=infd1;
232:             memw[$9000:w]:=infid2;
233:             w:=w+2;
234:         end;
235:     end;
236:     close(gxfile); close(gyfile);
237: end;
238: procedure w2gfile;
239: type rfile = file of integer;
240: var
```

```
241:     w : word;
242:     i,j,t1,t2 : integer;
243:     infd1,infd2 : word;
244:     gxfile : rfile;
245:     gyfile : rfile;
246: begin
247:     assign(gxfile,'b:gx.dta');
248:     assign(gyfile,'b:gy.dta');
249:     rewrite(gxfile);
250:     rewrite(gyfile);
251:     w:=0;
252:     for i := 0 to 127 do
253:     begin
254:         for j := 0 to 127 do
255:         begin
256:             infd1 := memw[$8800:w];
257:             infd2 := memw[$9000:w];
258:             t1:=infd1;t2:=infd2;
259:             write(gxfile ,t1);
260:             write(gyfile ,t2);
261:             w:=w+2;
262:         end;
263:     end;
264:     close(gxfile); close(gyfile);
265: end;
266: procedure r2gfile;
267: var
268:     infd1,infd2 : word;
269:     i,j,t1,t2 : integer;
270:     code : integer;
271:     gxfile : file of integer;
272:     gyfile : file of integer;
273:     w : word;
274: begin
275:     assign(gxfile,'b:gx.dta');
276:     assign(gyfile,'b:gy.dta');
277:     reset(gxfile);
278:     reset(gyfile);
279:     w:=0;
280:     for i := 0 to 127 do
```

```
281:      begin
282:      for j := 0 to 127 do
283:      begin
284:      read(gxfile ,t1);
285:      read(gyfile ,t2);
286:      infd1:=t1;infd2:=t2;
287:      memw[$8800:w]:=infd1;
288:      memw[$9000:w]:=infd2;
289:      w:=w+2;
290:      end;
291:      end;
292:      close(gxfile); close(gyfile);
293: end;
294: procedure ifslope; {***** needle *****)
295: var
296:   Gd, Gm : integer;
297:   s,x,y : integer;
298:   v : word;
299:   infd1,infd2 : integer;
300:   i,j,t1,t2 : integer;
301:   tx,ty:real;
302:   code : integer;
303:   gxfile : file of integer;
304:   gyfile : file of integer;
305:   w : word;
306: const Clipon =true;
307: begin
308:   writeln('***** 0 plote zero crossing ****');
309:   Gd := Detect;
310:   InitGraph(Gd, Gm, '');
311:   if GraphResult <> grok then
312:     Halt(1);
313:     settextstyle(0;0,2);
314:     moveto(180,290);
315:     outtext('normal plane vector');
316:     assign(gxfile,'b:fx.dta');
317:     assign(gyfile,'b:fy.dta');
318:     reset(gxfile);
319:     reset(gyfile);
320:     w:=0; v := 0;
```

```
321:     for i:= 0 to 127 do
322:     begin
323:         for j := 0 to 127 do
324:         begin
325:             read(gxfile ,t1);
326:             read(gyfile ,t2);
327:             if t1 >=3000 then t1:=t1-5000;
328:             if t2 >=3000 then t2:=t2-5000;
329:             tx := t1/250;ty := t2/500;
330:             infd1:=round(tx);infd2:=round(ty);
331:             x:=3*(j)+150; y:=2*(i+20);
332:             line(x,y,x+infd1,y+infd2);
333:             w:=w+2;
334:
335:         end;
336:     end;
337:     delay(4000);
338:     close(gxfile); close(gyfile);
339:     readln;
340:     CloseGraph;
341: end;
342: procedure igslope; {***** needle *****}
343: var
344:     Gd, Gm : integer;
345:     s,x,y : integer;
346:     v : word;
347:     infd1,infd2 : integer;
348:     i,j,t1,t2 : integer;
349:     tx,ty:real;
350:     code : integer;
351:     gxfile : file of integer;
352:     gyfile : file of integer;
353:     w : word;
354: const Clipon =true;
355: begin
356:     writeln('***** 0 plote zero crossing *****');
357:     Gd := Detect;
358:     InitGraph(Gd, Gm, '');
359:     if GraphResult <> grOk then
360:         Halt(1);
```

```
361:      settextstyle(0,0,2);
362:      moveto(180,290);
363:      outtext('gradient of surface');
364:      assign(gxfile,'b:gx.dta');
365:      assign(gyfile,'b:gy.dta');
366:      reset(gxfile);
367:      reset(gyfile);
368:      w:=0;      v := '0';
369:      for i:= 0 to 127 do
370:      begin
371:          for j := 0 to 127 do
372:          begin
373:              read(gxfile ,t1);
374:              read(gyfile ,t2);
375:              if t1 >=3000 then t1:=t1-5000;
376:              if t2 >=3000 then t2:=t2-5000;
377:              tx := t1/250;ty := t2/500;
378:              infd1:=round(tx);infd2:=round(ty);
379:              x:=3*(j)+150; y:=2*(i+20);
380:              line(x,y,x+infd1,y+infd2);
381:              w:=w+2;
382:          end;
383:      end;
384:      delay(4000);
385:      close(gxfile); close(gyfile);
386:      readln;
387:      CloseGraph;
388: end;
389: end;
390: procedure tpx; {***** needle 128 from memory *****}
391: var
392:   Gd, Gm : integer;
393:   s,x,y : integer;
394:   v : word;
395:   infd1,infd2 : integer;
396:   i,j,t1,t2 : integer;
397:   tx,ty:real;
398:   code : integer;
399:   gxfile : file of integer;
400:   gyfile : file of integer;
```

```
401:   w : word;
402:   const Clipon =true;
403:   begin
404:     writeln('***** 0 plote zero crossing *****');
405:     Gd := Detect;
406:     InitGraph(Gd, Gm, '');
407:     if GraphResult <> grOk then
408:       Halt(1);
409:     setttextstyle(0,0,2);
410:     moveto(180,290);
411:     outtext('needle diagram 128*128');
412:     w:=0;
413:     for i:= 0 to 127 do
414:       begin
415:         for j := 0 to 127 do
416:           begin
417:             t1:= memw[$8800:w];
418:             t2 := memw[$9000:w];
419:             if t1 >=3000 then t1:=t1-5000;
420:             if t2 >=3000 then t2:=t2-5000;
421:             tx :=t1/1000;ty := t2/1000;
422:             infd1:=round(3*tx);infd2:=round(2*ty);
423:             x:=3*(j)+150; y:=2*(i);
424:             line(x,y,x+infd1,y+infd2);
425:             w:=w+2;
426:           end;
427:         end;
428:         delay(4000);readln;
429:         CloseGraph;
430:       end;
431:   procedure tpony; {***** needle 64 from mem *****}
432:   var
433:     Gd, Gm : integer;
434:     s,x,y : integer;
435:     v : word;
436:     infd1,infd2 : integer;
437:     i,j,t1,t2 : integer;
438:     tx,ty:real;
439:     code : integer;
440:     gxfile : file of integer;
```

```
441:   gyfile : file of integer;
442:   w : word;
443: const Clipon =true;
444: begin
445:   writeln('***** 0 plote zero crossing *****');
446:   Gd := Detect;
447:   InitGraph(Gd, Gm, '');
448:   if GraphResult <> grOk then
449:     Halt(1);
450:     settxtstyle(0,0,2);
451:     moveto(180,280);
452:     outtext('needle diagram 64*64');
453:     w:=0;
454:     for i:= 1 to 64 do
455:       begin
456:         for j := 1 to 64 do
457:           begin
458:             t1 := memw[$8800:w];
459:             t2 := memw[$9000:w];
460:             if t1 >=3000 then t1:=t1-5000;
461:             if t2 >=3000 then t2:=t2-5000;
462:             tx :=t1/1000;ty := t2/1000;
463:             infd1:=round(3*tx);infd2:=round(2*ty);
464:             x:=6*(j)+150; y:=4*(i);
465:             line(x,y,x+infd1,y+infd2);
466:             w:=w+4;
467:           end;
468:         w:=w+2*128;
469:       end;
470:       delay(4000);readln;
471:       CloseGraph;
472:     end;
473: procedure tpnyl; {***** needle 32 from memory *****}
474: var
475:   Gd, Gm : integer;
476:   s,x,y : integer;
477:   v : word;
478:   infd1,infd2 : integer;
479:   i,j,t1,t2 : integer;
480:   tx,ty:real;
```

```
481:   code : integer;
482:   gxfile : file of integer;
483:   gyfile : file of integer;
484:   w : word;
485: const Clipon.=true;
486: begin
487:   writeln('***** 0 plote zero crossing *****');
488:   Gd := Detect;
489:   InitGraph(Gd, Gm, '');
490:   if GraphResult <> grok then
491:     Halt(1);
492:     settxtstyle(0,0,2);
493:     moveto(180,280);
494:     outtext('needle diagram 32*32');
495:     w:=0;
496:     for i:= 1 to 32 do
497:       begin
498:         for j := 1 to 32 do
499:           begin
500:             t1 := memw[$8800:w];
501:             t2 := memw[$9000:w];
502:             if t1 >=3000 then t1:=t1-5000;
503:             if t2 >=3000 then t2:=t2-5000;
504:             tx :=t1/1000;ty := t2/1000;
505:             infd1:=round(3*tx);infd2:=round(2*ty);
506:             x:=12*(j)+150; y:=8*(i);
507:             line(x,y,x+infd1,y+infd2);
508:             w:=w+8;
509:           end;
510:           w:=w+2*3*128;
511:         end;
512:         delay(4000);readln;
513:       closeGraph;
514:     end;
515:   end;
516: begin
517: end.
```

```
41: procedure rrefile; {***** read gradient data *****}
42: procedure wlze; {***** write zercrossing.dta to light[i,j] ***** }
43: procedure rlze; {***** read zercrossing.dta to light[i,j] ***** }
44: procedure contour; {***** plote contour *****}
45: procedure tangent; {***** needle *****}
46: procedure error; {***** . plote error *****}
47: procedure v3d; {***** hidden line process *****}
48:
49: implementation
50: procedure norli; { *****simulate picture vary light***** }
51: var
52:   rdot,md,mdl,zz1,md2,sz,k: real;
53:   xx,yy,zz : integer;
54:   lx,ly,lz,r,s1 : integer;
55: begin
56:   writeln( '*****simulate picture vary light*****' );
57:   r:=50;
58:   s1:=64;
59:   writeln ('enter vecter of light [lx ly lz]');
60:   readln (lx,ly,lz);
61:   for i:= 0 to 127 do
62:   begin
63:     for j := 0 to 127 do
64:     begin
65:       xx:=j-s1;
66:       yy:=s1-i;
67:       sz:=(r*r)-(xx*xx+yy*yy);
68:       if sz <= 0 then
69:         light[i,j]:=0 else
70:         begin
71:           zz1:=(sqrt(sz));
72:           if sz = 0 then zz1 :=0;
73:           zz:=round(zz1);
74:           rdot:=(lx*xx+ly*yy+lz*zz);
75:           if rdot < 0 then
76:             light[i,j] :=0 else
77:             begin
78:               mdl:=sqrt(lx*lx+ly*ly+lz*lz);
79:               md2:=sqrt(xx*xx+yy*yy+zz*zz);
80:               md:=170*rdot/(mdl*md2);
```

```
81:                                light [i,j] := round(md);
82:
83:                                end;
84:                                end;
85:
86:                                end;
87:
88:                                end;
89: end;
90: procedure norli1; { *****simulate picture vary light***** }
91: var
92:   rdot,md,md1,zz1,md2,sz: real;
93:   xx,yy,zz,k : integer;
94:   lx,ly,lz,r,s1 : integer;
95: begin
96:   writeln( '*****simulate picture vary light*****' );
97:   r:=30;
98:   s1:=64;
99:   writeln( 'enter vecter of light [lx ly lz]');
100:  readln (lx,ly,lz);
101:  for i:= 0 to 127 do
102:  begin
103:    for j := 0 to 127 do
104:    begin
105:      k:=light[i,j];
106:      xx:=j-s1;
107:      yy:=s1-i;
108:      sz:=(r*r)-(xx*xx+yy*yy);
109:      if sz <= 0 then
110:        light[i,j]:=k else
111:        begin
112:          zz1:=(sqrt(sz));
113:          if sz = 0 then zz1 :=0;
114:          zz:=round(zz1);
115:          rdot:=(lx*xx+ly*yy+lz*zz);
116:          if rdot < 0 then
117:            light[i,j] :=0 else
118:            begin
119:              md1:=sqrt(lx*lx+ly*ly+lz*lz);
120:              md2:=sqrt(xx*xx+yy*yy+zz*zz);
```

```
121:                                     md:=80*rdot/(md1*md2);
122:                                     light [i,j] :=k+ round(md);
123:                                     end;
124:                                 end;
125:                             end;
126:                         end;
127: end;
128:
129: procedure dimage; { *****put l[i,j] to memory seg 8000***** }
130: var
131:     s : integer;
132:     v : word;
133: begin
134:     writeln( '*****put l[i,j] to memory seg 8000***** ' );
135:     writeln ('use memory nonlinear seg 8000:00');
136:     v := 64*256+64;
137:     for i:= 0 to 127 do
138:     begin
139:         for j := 0 to 127 do
140:         begin
141:             Mem[$8000 : v] := light[i,j];
142:             v:= v + 1;
143:         end;
144:         v := v + 128;
145:     end;
146: end;
147: procedure uimage; { ***** pull memory seg 8000 to light[i,j] ***** }
148: var
149:     s : integer;
150:     v : word;
151: begin
152:     writeln( '***** pull memory seg 8000 to light[i,j] ***** ' );
153:     v := 64*256+64;
154:     for i:= 0 to 127 do
155:     begin
156:         for j := 0 to 127 do
157:         begin
158:             light[i,j] := Mem[$8000 : v] ;
159:             v:= v + 1;
160:         end;

```

```
161:     v := v + 128;
162:     end;
163: end;
164: procedure dl8age; { *****put l[i,j] to memory seg 8000***** }
165: var
166:     s : integer;
167:     v : word;
168: begin
169:     writeln( '*****put l[i,j] to memory seg 8000***** ' );
170:     writeln ( 'use memory linear seg 8000:00' );
171:     v := 0;
172:     for i:= 0 to 127 do
173:     begin
174:         for j := 0 to 127 do
175:         begin
176:             Mem[$8000 : v] := light[i,j];
177:             v:= v + 1;
178:         end;
179:     end;
180: end;
181: procedure ul8age; { ***** pull memory seg 8000 to light[i,j] ***** }
182: var
183:     s : integer;
184:     v : word;
185: begin
186:     writeln( '***** pull linear memory seg 8000 to light[i,j] ***** ' );
187:     v := 0;
188:     for i:= 0 to 127 do
189:     begin
190:         for j := 0 to 127 do
191:         begin
192:             light[i,j] := Mem[$8000 : v] ;
193:             v:= v + 1;
194:         end;
195:     end;
196: end;
197: procedure l94age; { ***** linear l[i,j] to memory seg 9400:00 ***** }
198: var
199:     s : integer;
200:     v : word;
```

```
201: begin
202:   writeln( '***** linear l[i,j] to memory seg 9400:00 *****');
203:   v := 0;
204:   for i:= 0 to 127 do
205:     begin
206:       for j := 0 to 127 do
207:         begin
208:           Mem[$9400 : v] := light[i,j];
209:           v:= v + 1;
210:         end;
211:       end;
212:     end;
213:   procedure dl84ge; { *****put l[i,j] to memory seg 8400***** }
214:   var
215:     s : integer;
216:     v : word;
217:   begin
218:     writeln( '*****put l[i,j] to memory seg 8400***** ' );
219:     writeln( 'use memory linear seg 8000:00' );
220:     v := 0;
221:     for i:= 0 to 127 do
222:       begin
223:         for j := 0 to 127 do
224:           begin
225:             Mem[$8400 : v] := light[i,j];
226:             v:= v + 1;
227:           end;
228:         end;
229:       end;
230:     procedure ul84ge; { ***** pull memory seg 8400 to light[i,j] ***** }
231:     var
232:       s : integer;
233:       v : word;
234:     begin
235:       writeln( '***** pull linear memory seg 8400 to light[i,j] ***** '
236:         v := 0;
237:       for i:= 0 to 127 do
238:         begin
239:           for j := 0 to 127 do
240:             begin
```

```
'241:          light[i,j] := Mem[$8400 : v] ;
242:          v:= v + 1;
243:      end;
244:  end;
245: end;
246: procedure ltoi9;      { *****put l[i,j] to mem 9000***** }
247: var
248:     s : integer;
249:     v : word;
250: begin
251:     writeln( '*****put l[i,j] to mem 9000*****');
252:     v := 64*256+64;
253:     for i:= 0 to 127 do
254:     begin
255:         for j := 0 to 127 do
256:         begin
257:             Mem[$9000 : v] := light[i,j];
258:             v:= v + 1;
259:         end;
260:         v := v + 128;
261:     end;
262: end;
263: procedure cle9;      { *****clear 1 page memory at 9000***** }
264: var
265:     s : integer;
266:     v : word;
267: begin
268:     writeln( '***** clear page memory at 9000*****');
269:     v := 0;
270:     for i:= 0 to 255 do
271:     begin
272:         for j := 0 to 255 do
273:         begin
274:             Mem[$9000 : v] :=0;
275:             v:= v + 1;
276:         end;
277:     end;
278: end;
279: end;
280: procedure istol;      { *****load mem 9000 to l[i,j]***** }
```

```
281: var
282:     s : integer;
283:     v : word;
284: begin
285:     writeln( '*****load mem 9000 to l[i,j]*****');
286:     v := 64*256+64 ;
287:     for i:= 0 to 127 do
288:     begin
289:         for j := 0 to 127 do
290:         begin
291:             light[i,j]:= Mem[$9000 : v];
292:             v:= v + 1;
293:         end;
294:         v := v + 128;
295:     end;
296: end;
297: procedure smooth; { ***** everage put on seg 9000 ***** }
298: var
299:     s1,s2,s3 : real;
300:     s : integer;
301:     v : word;
302: begin
303:     writeln( '***** everage put on nonlinear seg 9000 *****');
304:     v := 64*256+64;
305:     for i:= 1 to 126 do
306:     begin
307:         for j := 1 to 126 do
308:         begin
309:             if i=0 then light[i-1,j]:=light[i,j]
310:             else
311:                 begin
312:                     if i = 127 then light[i+1,j]:=light[i,j]
313:                     else
314:                         begin
315:                             if j = 0 then light[i,j-1]:=light[i,j]
316:                             else
317:                                 begin
318:                                     if j=127 then light[i,j+1] := light[i,j]
319:                                     else
320:                                         begin
```

```
321:                                     s1:=light[i+1,j]+light[i-1,j];
322:                                     s2:=light[i,j+1]+light[i,j-1];
323:                                     s3:=0.25*(s1+s2);
324:                                     Mem[$9000 : v]:=round(s3);
325:                                     end;
326:                                     end;
327:                                     end;
328:                                     end;
329:                                     v:= v + 1;
330:                                     end;
331: v := v + 126;
332: end;
333: v := 64*256+64;
334: for i:= 1 to 126 do
335:   begin
336:     for j := 1 to 126 do
337:       begin
338:         light[i,j]:= Mem[$9000 : v];
339:         v:= v + 1;
340:       end;
341:     v := v + 126;
342:   end;
343: end;
344: procedure iedge; { ***** edge detect put on seg 9000 *****}
345: var
346:   s1,s2,s3,s4,s5,s6,s7 : real;
347:   s : integer;
348:   v : word;
349: begin
350:   writeln( '***** edge detect put on seg 9000 *****');
351:   v := 64*256+64;
352:   for i:= 1 to 126 do
353:     begin
354:       for j := 1 to 126 do
355:         begin
356:           if i=0 then light[i-1,j]:=light[i,j]
357:           else
358:             begin
359:               if i = 127 then light[i+1,j]:=light[i,j]
360:               else
```

```
361:         begin
362:             if j = 0 then light[i,j-1]:=light[i,j]
363:             else
364:                 begin
365:                     if j=127 then light[i,j+1] := light[i,j]
366:                     else
367:                         begin
368:                             s1:=light[i+1,j]+light[i-1,j];
369:                             s2:=light[i,j+1]+light[i,j-1];
370:                             s3:=light[i+1,j+1]+light[i+1,j-1];
371:                             s4:=light[i-1,j+1]+light[i-1,j-1];
372:                             s5:=8*light[i,j];
373:                             s6:=s5-(s1+s2+s3+s4);
374:                             s7:=abs(s6);
375:                             if s7 >=38 then s7:=255 ;
376:                             if s7 < 38 then s7:=0;
377:                             Mem[$9000 : v]:=round(s7);
378:                             end;
379:                         end;
380:                     end;
381:                 end;
382:                 v:= v + 1;
383:             end;
384:             v := v + 126;
385:         end;
386:         v := 64*256+64;
387:         for i:= 1 to 126 do
388:             begin
389:                 for j := 1 to 126 do
390:                     begin
391:                         light[i,j]:= Mem[$9000 : v];
392:                         v:= v + 1;
393:                     end;
394:                 v := v + 126;
395:             end;
396:         end;
397:         procedure zeroc;
398:         var i,j,k : integer;
399:             r,s,t1,t2,l : real;
400:             t,t3,r1,r2 : real;
```

```
401: begin
402:   l:=0.4 ;
403:   for i:= 1 to 7 do
404:     begin
405:       for j:= 1 to 7 do
406:         begin
407:           s:=(i*0.5-2)*(i*0.5-2)+(j*0.5-2)*(j*0.5-2);
408:           t1:=(s-2*l)/(l*l);
409:           t2:=-s/(2*l);
410:           t3:=exp(t2);
411:           t :=t1*t3;
412:           k :=round(t);
413:           zc[i,j] := k;
414:         end;
415:       end;
416:     for i:= 1 to 7 do
417:       begin
418:         for j:= 1 to 7 do
419:           begin
420:             k:=zc[i,j];
421:             write(k:3);
422:           end;
423:           writeln;
424:         end;
425:       end;
426:     procedure ezero; { ***** edge zero crossing put on seg 9000 *****}
427:     var
428:       s1,s2,s : real;
429:       i1,j1,i2,j2 : integer;
430:       v : word;
431:   begin
432:     writeln( '***** light[i,j] edge zero crossing put on seg 9000 *****' );
433:     writeln( 'use nonlinear $9000:00and put data in light[i,j]');
434:     v := 64*256+64;
435:     for i:=3 to 124 do
436:       begin
437:         for j := 3 to 124 do
438:           begin
439:             s:=0.0;
440:             s2:=0.0;
```

```
441:                 for i1:=-3 to 3 do
442:                   begin
443:                     for j1:=-3 to 3 do
444:                       begin
445:                         s2:=light[i+i1,j+j1]*zc[i1+4,j1+4];
446:                         s:=s2+s;
447:                         s1:=Abs(s);
448:                       end;
449:                     end;
450:                   if s1>=255 then
451:                     begin
452:                       s1:=255.0;
453:                     end;
454:                   Mem[$9000 : v] :=round(s1);
455:                   v:=v+1;
456:                 end;
457: v := v + 122
458: end;
459: v := 64*256+64;
460: for i:= 3 to 124 do
461:   begin
462:     for j := 3 to 124 do
463:       begin
464:         light[i,j]:= Mem[$9000 : v];
465:         v:= v + 1;
466:       end;
467:     v := v + 122;
468:   end;
469: end;
470: procedure pt(p,q:integer); (***** plote zero crossing *****)
471: var
472:   Gd, Gm : integer;
473:   s,k : integer;
474:   v : word;
475: const Clipon =true;
476: begin
477:   writeln('***** plote zero crossing *****');
478:   writeln('..... 0 to cover.....');
479:   k:=0;
480:   Gd := Detect;
```

```
481:   InitGraph(Gd, Gm, '');
482:   if GraphResult (<) grOk then
483:     Halt(1);
484:     settextstyle(0,0,2);
485:     moveto(350,40);
486:     outtext('zero crossing');
487:     v := 64*256+64;
488:     for i:= 0 to 127 do
489:     begin
490:       for j := 0 to 127 do
491:       begin
492:         s := light[i,j];
493:         if s>=p then
494:         begin
495:           putpixel(3*j+100,2*(i+20),2);
496:           putpixel(j+500,i+150,2);
497:         end;
498:       end;
499:       v := v + 128;
500:     end;
501:     delay(500);
502:     if k=0 then
503:     begin
504:       v := 64*256+64;
505:       for i:= 0 to 127 do
506:       begin
507:         for j := 0 to 127 do
508:         begin
509:           s := light[i,j];
510:           if s=q then
511:           begin
512:             putpixel(3*j+100,2*(i+20),2);
513:             putpixel(j+500,i+150,2);
514:           end;
515:         end;
516:       v := v + 128;
517:     end;
518:   end;
519:   delay(2000);
520:   CloseGraph;
```

```
521: end;
522: procedure tpt(q:integer); {***** 0 plote zero crossing *****)
523: var
524:   Gd, Gm : integer;
525:   s : integer;
526:   v : word;
527: const Clipon =true;
528: begin
529:   writeln('***** 0 plote zero crossing ****');
530:   Gd := Detect;
531:   InitGraph(Gd, Gm, '');
532:   if GraphResult <> grOk then
533:     Halt(1);
534:     settxtstyle(0,0,2);
535:     moveto(350,80);
536:     outtext('zero crossing');
537:     v := 64*256+64;
538:     for i:= 0 to 127 do
539:       begin
540:         for j := 0 to 127 do
541:           begin
542:             s := light[i,j];
543:             if s=q then
544:               begin
545:                 putpixel(3*j+100,2*i,2);
546:                 putpixel(j+500,i+150,2);
547:               end;
548:             end;
549:           v := v + 128;
550:         end;
551:         delay(2000);
552:         CloseGraph;
553:       end;
554: procedure wl;{***** write light[i,j] to file newfile.dta *****)
555: var
556:   i,j : integer;
557:   infd : integer;
558:   outfile : file of integer;
559: begin
560:   writeln('***** write newfile.dta to light[i,j] ****');
```

```
561:    assign(outfile , 'b:newfi.dta');
562:    rewrite(outfile);
563:    for i := 0 to 127 do
564:        begin
565:            for j := 0 to 127 do
566:                begin
567:                    infd := light[i,j];
568:                    write(outfile , infd);
569:                end;
570:            end;
571:        close(outfile);
572:    end;
573: procedure wlze; {***** write light[i,j] to file zercr.dta *****)
574: var
575:     i,j : integer;
576:     infd : integer;
577:     outfile : file of integer;
578: begin
579:     writeln('***** write zercr.dta to light[i,j] *****');
580:     assign(outfile , 'b:zercr.dta');
581:     rewrite(outfile);
582:     for i := 0 to 127 do
583:         begin
584:             for j := 0 to 127 do
585:                 begin
586:                     infd := light[i,j];
587:                     write(outfile , infd);
588:                 end;
589:             end;
590:         close(outfile);
591:     end;
592: procedure r1; {***** read newfile.dta to light[i,j] *****)
593: var
594:     infd,i,j,k : integer;
595:     infile : file of integer;
596: begin
597:     writeln('***** read newfile.dta to light[i,j] *****');
598:     assign(infile , 'b:newfi.dta');
599:     reset(infile);
600:     for i := 0 to 127 do
```

```
601:         begin
602:           for j := 0 to 127 do
603:             begin
604:               read(infile ,infd);
605:               if infd < 10 then infd:=0;
606:               light[i,j] := infd;
607:               if i=64 then
608:                 begin
609:                   k:=light[i,j];
610:                   rel[j]:=round(k);
611:                   write(rel[j]:10);
612:                 end;
613:             end;
614:         end;
615:     close(infile);
616: end;
617: procedure rlze; {***** read zerocr.dta to light[i,j] ***** }
618: var
619:     infd,i,j : integer;
620:     infile : file of integer;
621: begin
622:     writeln('***** zerocr.dta to light[i,j] *****');
623:     assign(infile , 'b:zerocr.dta');
624:     reset(infile);
625:     for i := 0 to 127 do
626:         begin
627:             for j := 0 to 127 do
628:                 begin
629:                     read(infile ,infd);
630:                     light[i,j] := infd;
631:                 end;
632:             end;
633:         close(infile);
634:     end;
635: procedure setzec; {***** set threshold of scene *****}
636: var i,j,s :integer;
637: begin
638:     for i:= 0 to 127 do
639:         begin
640:             for j:= 0 to 127 do
```

```

641:         begin
642:             s:=light[i,j];
643:             if s > 0 then light[i,j]:=10;
644:         end;
645:     end;
646:     tpt(0);
647: end;
648: procedure gxy; {***** initial gradint for iteration *****}
649: var
650:     i,j : integer;
651:     a,b,c,d,ia,ib,ic,id ,s :integer;
652:     ax,ay,bx,by,iax,iay,ibx,iby : integer;
653:     gx1,igx1,gx,igx,gy1,igy1,gy,igy : integer;
654:     gx2,igx2,gy2,igy2 : real;
655:     infd,iinfd : real ;
656:     v,w : word;
657: begin
658:     writeln('use 8800 fo gx,9000 for gy');
659:     v:=0;w:=0;
660:     for i := 0 to 127 do
661:         begin
662:             for j := 0 to 127 do
663:                 begin
664:                     s:=mem[$8400:w];
665:                     if s > 0 then
666:                         begin
667:                             ax:=2*light[i,j+5];bx:=2*light[i,j-5];
668:                             ay:=2*light[i+5,j];by:=2*light[i-5,j];
669:                             a:=light[i+5,j-5]; b :=light[i+5,j+5];
670:                             c:=light[i-5,j-5]; d :=light[i-5,j+5];
671:                             gx1 := ((d+ax+b)-(c+bx+a));
672:                             gy1 := ((a+ay+b)-(c+by+d));
673:                             infd := 0.1 + abs(gx1)+abs(gy1);
674:                             gx2 := 2000*(gx1/infd);
675:                             gy2 := 2000*(gy1/infd);
676:                             gx := round(gx2);
677:                             gy := round(gy2);
678:                             iax:=2*light[i,j+1];ibx:=2*light[i,j-1];
679:                             iay:=2*light[i+1,j];iby:=2*light[i-1,j];
680:                             ia:=light[i+1,j-1]; ib :=light[i+1,j+1];

```

```

681:         ic:=light[i-1,j-1]; id :=light[i-1,j+1];
682:         igx1 := ((id+iax+ib)-(ic+ibx+ia));
683:         igy1 := ((ia+iay+ib)-(ic+iby+id));
684:         iinfd := 0.1 + abs(igx1)+abs(igy1);
685:         igx2 := 2000*(igx1/iinfd);
686:         igy2 := 2000*(igy1/iinfd);
687:         igx:=round(igx2); igy:=round(igy2);
688:         if igx<0 then igx:=igx+5000;
689:         if igy<0 then igy:=igy+5000;
690:
691:         if gx = 0 then gx :=igx;
692:         if gy = 0 then gy :=igy;
693:
694:         if gx<0 then gx:=gx+5000;
695:         if gy<0 then gy:=gy+5000;
696:         memw[$8800:v] :=gx;
697:         memw[$9000:v] :=gy;
698:         end
699:     else
700:     begin
701:         memw[$8800:v] := 0;
702:         memw[$9000:v] := 0;
703:     end;
704:     v:=v+2; w:=w+1;
705: end;
706: write('w');
707: end;
708: end;
709: procedure iteration(var lmax : integer);
710: var i,j,a,b,qc : integer;
711:     tp1,tp2,a2,b2 : integer;
712:     v,w : word;
713:     ze : byte;
714:     c,c1,c2,c3,d,d1,t1 : real;
715:     f,g,a1,b1,a3,ex,ey : real;
716: begin
717:     v:=0;w:=0;
718:     for i:=0 to 127 do
719:         begin
720:             for j:= 0 to 127 do

```

```
721:         begin
722:             ze := mem[$8400:v];
723:             if ze > 0 then
724:                 begin
725:                     a:=memw[$8800:w];b:=memw[$9000:w];
726:                     if a>=3000 then a:=a-5000;
727:                     if b>=3000 then b:=b-5000;
728:                     a1:=a/1000; b1:=b/1000;
729:                     d1 := 10;
730:                     while d1>0.1 do
731:                         begin
732:                             t1:=a1*a1+b1*b1;
733:                             c:=(t1)+4;c1:=8/c;
734:                             c2:=c*c; c3:=c1-1;
735:                             d:=light[i,j]-c3*lmax;
736:                             d1:=abs(d);
737:                             a3:=16/c2;
738:                             ex:=(-a1)*a3;
739:                             ey:=(-b1)*a3;
740:                             f:=a1+1*(d*ex)/lmax;
741:                             g:=b1+1*(d*ey)/lmax;
742:                             a1:=f;b1:=g;
743:                         end; {while}
744:
745:                     tp1:=round(1000*a1);tp2:=round(1000*b1);
746:                     if tp1<0 then tp1:=tp1+5000;
747:                     if tp2<0 then tp2:=tp2+5000;
748:                     a2:=tp1;b2:=tp2;
749:                     memw[$8800:w]:=a2;
750:                     memw[$9000:w]:=b2;
751:                 end; {zero}
752:                 v:=v+1;w:=w+2;write('j');
753:             end;
754:         writeln('w',i);
755:     end;
756: end;
757: procedure v3d1; {*** computer graphic non hidden line process ***}
758: type initia = array[0..640] of integer;
759: var x,y,i,j : integer;
760:     th1,th2 : real;
```

```
761:     ymin,ymax : initia;
762:     flag,flag1,flag2 : integer;
763:     oldx,oldy,xs,ys,xsi,ysi,deltax,deltay : integer;
764:     tempx,tempy,newx:integer;
765:     slope : integer;
766:     tempy2,tempx2 : boolean;
767:     Gd, Gm : integer;
768:     const Clipon =true;
769:     begin
770:     Gd := Detect;
771:     InitGraph(Gd, Gm, '');
772:     if GraphResult <> grOk then
773:     Halt(1);
774:     th1:=3.14159/4;th2:=3.14159/3;
775:     for i:=63 downto 2 do
776:     begin
777:     for j := 63 downto 1 do
778:     begin
779:     xs:=xe[i,j];xsi:=xe[i,j+1];
780:     ys:=ye[i,j];ysi:=ye[i,j+1];
781:     xs:=350+xs;xsi:=350+xsi;
782:     ys:=100-ys;ysi:=100-ysi;
783:     line(xs,ys,xsi,ysi);
784:     end;
785:     end;
786:     readln;
787:     CloseGraph;
788:     end;
789:     procedure c3d; {*** cal rotation 3-D image ***}
790:     var x,y,i,j,xs,ys : integer;
791:     xc,yc,z : real;
792:     th1,th2 : real;
793:     w : word;
794:     begin
795:     th1:=3.14159/3;th2:=3.14159/4;
796:     for i:=1 to 64 do
797:     begin
798:     for j := 1 to 64 do
799:     begin
800:     x:=(i*4)-64;y:=(j*4)-64;
```

```
801:          z:=light[2*i,2*j]/3;
802:          xc:=-x*sin(th1)+y*cos(th2);
803:          yc:=-x*cos(th1)*cos(th2)-y*sin(th1)*cos(th2)+z*sin(th2);
804:          xs:=round(xc);
805:          ys:=round(yc);
806:          xe[i,j]:=xs;
807:          ye[i,j]:=ys;
808:      end;
809:  end;
810: end;
811: procedure w64file;      {***** write gradient of 64 x 64      *****)
812: type rfile = file of integer;
813: var
814:     w : word;
815:     i,j,t1,t2 : integer;
816:     gxfile : rfile;
817:     gyfile : rfile;
818: begin
819:     assign(gxfile,'b:xs.dta');
820:     assign(gyfile,'b:ys.dta');
821:     rewrite(gxfile);
822:     rewrite(gyfile);
823:     w:=0;
824:     for i := 1 to 64 do
825:         begin
826:             for j := 1 to 64 do
827:                 begin
828:                     t1 := xe[i,j];
829:                     t2 := ye[i,j];
830:                     write(gxfile ,t1);
831:                     write(gyfile ,t2);
832:                 end;
833:             end;
834:             close(gxfile); close(gyfile);
835:         end;
836: procedure wrefile;      {***** write gradient data      *****)
837: type rfile = file of integer;
838: var
839:     w : word;
840:     i,j,t1,t2 : integer;
```

```
841:      gxfile : rfile;
842:      gyfile : rfile;
843: begin
844:   assign(gxfile,'b:re1.dta');
845:   assign(gyfile,'b:re2.dta');
846:   rewrite(gxfile);
847:   rewrite(gyfile);
848:   w:=0;
849:   for j := 0 to 127 do
850:     begin
851:       t1 := re1[j];
852:       t2 := re2[j];
853:       write(gxfile ,t1);
854:       write(gyfile ,t2);
855:     end;
856:   close(gxfile); close(gyfile);
857: end;
858: procedure r64file; {***** read gradient of 64 x 64 *****}
859: var
860:   i,j,t1,t2 : integer;
861:   code : integer;
862:   gxfile : file of integer;
863:   gyfile : file of integer;
864:   w : word;
865: begin
866:   assign(gxfile,'b:xs.dta');
867:   assign(gyfile,'b:ys.dta');
868:   reset(gxfile);
869:   reset(gyfile);
870:   w:=0;
871:   for i := 1 to 64 do
872:     begin
873:       for j := 1 to 64 do
874:         begin
875:           read(gxfile ,t1);
876:           read(gyfile ,t2);
877:           xe[i,j]:=t1;
878:           ye[i,j]:=t2;
879:         end;
880:       end;
```

```
881:      close(gxfile); close(gyfile);
882: end;
883: procedure rrefile; {***** read gradient data *****)
884: var
885:     i,j,t1,t2 : integer;
886:     code : integer;
887:     gxfile : file of integer;
888:     gyfile : file of integer;
889:     w : word;
890: begin
891:     assign(gxfile,'b:re1.dta');
892:     assign(gyfile,'b:re2.dta');
893:     reset(gxfile);
894:     reset(gyfile);
895:     w:=0;
896:     for i := 0 to 127 do
897:     begin
898:         read(gxfile ,t1);
899:         read(gyfile ,t2);
900:         re1[j]:=t1;
901:         re2[j]:=t2;
902:     end;
903:     close(gxfile); close(gyfile);
904: end;
905: procedure contour; {***** plote contour *****)
906: var
907:     Gd, Gm : integer;
908:     s : integer;
909:     v : word;
910: const Clipon =true;
911: begin
912:     Gd := Detect;
913:     InitGraph(Gd, Gm, '');
914:     if GraphResult <> grOk then
915:         Halt(1);
916:     .settextstyle(0,0,2);
917:     moveto(150,290);
918:     outtext('contour line');
919:     for i:= 0 to 127 do
920:     begin
```

```
921:         for j := 0 to 127 do
922:         begin
923:             s := light[i,j];
924:             case s of
925:                 1..40 : putpixel(3*j+150,2*i,1);
926:                 96  : putpixel(3*j+150,2*i,1);
927:                 124 : putpixel(3*j+150,2*i,1);
928:                 147 : putpixel(3*j+150,2*i,1);
929:                 163 : putpixel(3*j+150,2*i,1);
930:                 176 : putpixel(3*j+150,2*i,1);
931:                 185 : putpixel(3*j+150,2*i,1);
932:                 192 : putpixel(3*j+150,2*i,1);
933:                 197 : putpixel(3*j+150,2*i,1);
934:                 197 : putpixel(3*j+150,2*i,1);
935:                 200 : putpixel(3*j+150,2*i,1);
936:             end;
937:         end;
938:     end;
939:     delay(4000);
940:     CloseGraph;
941: end;
942: procedure tangent; {***** needle *****}
943: var
944:     s,x,y : integer;
945:     infd1,infid2 : integer;
946:     i,j,t1,t2,t5 : integer;
947:     tx,ty,t3,t4,k:real;
948:     code : integer;
949:     gxfile : file of integer;
950:     gyfile : file of integer;
951:     w,v : word;
952:     Gd, Gm : integer;
953:     const Clipon =true;
954: begin
955:     writeln('***** 0 plote zero crossing *****');
956:     Gd := Detect;
957:     InitGraph(Gd, Gm, '');
958:     if GraphResult <> grOk then
959:         Halt(1);
960:         settextstyle(0,0,2);
```

```
961:      moveto(350,80);
962:      outtext('tangent contour');
963:      w:=0;v:=0;
964:      for i:= 0 to 127 do
965:      begin
966:          for j := 0 to 127 do
967:          begin
968:              if light[i,j]>0 then
969:              begin
970:                  t1 := memw[$8800:w];
971:                  t2 := memw[$9000:w];
972:                  if t1 >=3000 then t1:=t1-5000;
973:                  if t2 >=3000 then t2:=t2-5000;
974:                  tx :=t1/1000;ty := t2/1000;
975:                  t3:=0.5*sqrt(tx*tx+ty*ty);t4:=2*180*ArcTan(t3);
976:                  t5:=round(t4/3.14159);
977:                  if i=64 then
978:                  begin
979:                      k:=2*arctan(t3);
980:                      re2[j]:=round(170*cos(k));
981:                  end;
982:                  mem[$8000:v]:=t5;
983:              end
984:              else
985:              begin
986:                  mem[$8000:v]:=90;
987:                  if i=64 then re2[j]:=0;
988:              end;
989:              case mem[$8000:v] of
990:                  0:putpixel(3*i+150,2*j+50,2);
991:                  3:putpixel(3*i+150,2*j+50,3);
992:                  5:putpixel(3*i+150,2*j+50,2);
993:                  9..10:putpixel(3*i+150,2*j+50,3);
994:                  14..15:putpixel(3*i+150,2*j+50,2);
995:                  19..20:putpixel(3*i+150,2*j+50,3);
996:                  24..25:putpixel(3*i+150,2*j+50,2);
997:                  29..30:putpixel(3*i+150,2*j+50,3);
998:                  34..35:putpixel(3*i+150,2*j+50,2);
999:                  39..40:putpixel(3*i+150,2*j+50,3);
1000:                 44..45:putpixel(3*i+150,2*j+50,2);
```

```
1001:          49..50:putpixel(3*i+150,2*j+50,3);
1002:          54..55:putpixel(3*i+150,2*j+50,2);
1003:          59..60:putpixel(3*i+150,2*j+50,3);
1004:          64..65:putpixel(3*i+150,2*j+50,2);
1005:          69..70:putpixel(3*i+150,2*j+50,3);
1006:          79..80:putpixel(3*i+150,2*j+50,2);
1007:
1008:          90:putpixel(3*i+150,2*j+50,2);
1009:          end;
1010:
1011:          w:=w+2;v:=v+1;
1012:          end;
1013:
1014:          end;
1015:          readln;delay(4000);
1016:          closegraph;
1017: end;
1018: procedure error; {***** plote error *****)
1019: var
1020:   Gd, Gm : integer;
1021:   s,t1,t2 : integer;
1022:   tt1,tt2 : real;
1023:   v : word;
1024: const Clipon =true;
1025: begin
1026:   Gd := Detect;
1027:   InitGraph(Gd, Gm, '');
1028:   if GraphResult <> grOk then
1029:     Halt(1);
1030:     settextstyle(0,0,2);
1031:     moveto(150,290);
1032:     outtext('error line');
1033:     for j := 0 to 127 do
1034:       begin
1035:         t1:=180-round(re1[j]/2 );
1036:         putpixel(j*4+20,t1,2);
1037:         t2 :=180-round(re2[j]/2);
1038:         putpixel(j*4+20,t2,5);
1039:       end;
1040:     delay(4000);
```

```
1041:      CloseGraph;
1042: end;
1043: procedure v3d; {***** hidden line process *****}
1044: type initia = array[0..640] of integer;
1045: var x,y,z,i,j : integer;
1046:     xe,ye : real;
1047:     th1,th2 : real;
1048:     ymin,ymax : initia;
1049:     flag,flag1,flag2 : integer;
1050:     oldx,oldy,xs,ys,deltax,deltay : integer;
1051:     tempx,tempy,newx:integer;
1052:     slope : integer;
1053:     tempy2,tempx2 : boolean;
1054: begin
1055:   for j:= 1 to 640 do;
1056:     begin
1057:       ymax[j]:=0;ymin[j]:=399;
1058:     end;
1059:     th1:=3.14159/3;th2:=3.14159/4;
1060:     for j:=31 downto 0 do
1061:       begin
1062:         for i := 31 downto 0 do
1063:           begin
1064:             x:=4*i;y:=4*j;
1065:             z:=light[x,y];
1066:             xe:=-x*sin(th1)+y*cos(th2);
1067:             ye:=-x*cos(th1)*cos(th2)-y*sin(th1)*cos(th2)+z*sin(th2);
1068:             xs:=round(300+xe);
1069:             ys:=round(100-ye);
1070:             tempx2:=(tempx < 0) or (tempx > 639);
1071:             tempy2:=(tempy<0) or (tempy>399);
1072:             if flag=0 then
1073:               begin {540}
1074:                 flag :=1;flag2 :=0;
1075:                 oldx:=xs; oldy:=ys;
1076:               end
1077:             else
1078:               begin {570}
1079:                 deltax:=oldx-xs;
1080:                 slope:=round(deltay/deltax);
```

```
1081:         tempy:=oldy;
1082:         newx:=oldx+1;
1083:         {b620}
1084:         for tempx:=newx to xs do
1085:             begin
1086:                 flag1:=1;tempy:=tempy+slope;
1087:                 if tempx2 then {650}
1088:                     begin
1089:                         flag1:=0;flag2:=0;
1090:                     end
1091:                 else
1092:                     begin
1093:                         if tempy2 then {660}
1094:                             begin
1095:                                 flag1:=0;flag2:=0;
1096:                             end
1097:                         else
1098:                             begin
1099:                                 if tempy <= ymin[tempx] then {670}
1100:                                     begin {b730}
1101:                                         ymin[tempx]:=tempy;
1102:                                         if flag1=0 then
1103:                                             begin {770}
1104:                                                 if tempy < ymax[tempx] then {680}
1105:                                                     begin
1106:                                                         writeln;
1107:                                                     end
1108:                                                 else
1109:                                                     begin {780}
1110:                                                         ymax[tempx]:=tempy; {b780}
1111:                                                         if flag1=0 then
1112:                                                             begin
1113:                                                                 writeln;
1114:                                                             end
1115:                                                         else
1116:                                                             begin {e800}
1117:                                                                 if flag2=0 then
1118:                                                                     begin
1119:                                                                         putpixel(tempx,tempy,1);
1120:                                                                         flag2:=1;
```

```
1121:                                     end;
1122:                                     line(getx,gety,tempx,tempy)
1123:                                     end; {e800}
1124:                                     end; {780}
1125:                                     end {770}
1126:                                     else
1127:                                     begin {750}
1128:                                     if flag2=0 then
1129:                                     begin
1130:                                     putpixel(tempx,tempy,1);
1131:                                     flag:=2;
1132:                                     end;
1133:                                     line(getx,gety,tempx,tempy);
1134:                                     if tempy < ymax[tempx] then
1135:                                     begin
1136:                                     writeln;
1137:                                     end
1138:                                     else
1139:                                     begin {780}
1140:                                     ymax[tempx]:=tempy; {b780}
1141:                                     if flag1=0 then
1142:                                     begin
1143:                                     writeln;
1144:                                     end
1145:                                     else
1146:                                     begin {e800}
1147:                                     if flag2=0 then
1148:                                     begin
1149:                                     putpixel(tempx,tempy,1);
1150:                                     flag2:=1;
1151:                                     end;
1152:                                     line(getx,gety,tempx,tempy);
1153:                                     end; {e800}
1154:                                     end; {780}
1155:                                     end; {750}
1156:                                     end {e730}
1157:                                     else
1158:                                     begin
1159:                                     if tempy>=ymax[tempx] then
1160:                                     begin {b780}
```



```
1161:                                ymax[tempx]:=tempy;
1162:                                if flag1=0 then
1163:                                    begin
1164:                                        writeln;
1165:                                    end
1166:                                else
1167:                                    begin {e800}
1168:                                        if flag2=0 then
1169:                                            begin
1170:                                                putpixel(tempx,tempy,1);
1171:                                                flag2:=1;
1172:                                            end;
1173:                                        line(getx,gety,tempx,tempy);
1174:                                        end; {e800}
1175:                                    end {e780}
1176:                                else
1177:                                    begin
1178:                                        flag2:=0;
1179:                                        end; {e680}
1180:                                    end; {e670}
1181:                                end; {e660}
1182:                            end; {e650}
1183:                        end; {e620}
1184:                    end; {e570}
1185:                    flag:=1;flag2:=0;
1186:                    oldx:=xs;oldy:=ys;
1187:                    end; {i loop}
1188:                end; {j loop}
1189:            end;
1190:        begin
1191:            end.
```